

UNIVERSITE AIX-MARSEILLE I-Université de Provence
U.F.R. Civilisation et Humanité

N° attribué par la bibliothèque

|_|_|_|_|_|_|_|_|_|

THESE

Pour obtenir le grade de

DOCTEUR DE L'UNIVERSITE AIX-MARSEILLE I

Formation doctorale :Espace, Cultures, Sociétés

Présentée et soutenue publiquement

Par

Magali FABRE

le 13 décembre 2010

Volume d'Annexes

**ENVIRONNEMENT ET SUBSISTANCE AU
PLEISTOCENE SUPERIEUR DANS L'EST DE LA FRANCE
ET AU LUXEMBOURG. ETUDE OSTEOLOGIQUE DES
GISEMENTS DE LA BAUME DE GIGNY (JURA),
VERGISSON II (SAONE-ET-LOIRE) et OETRANGE
(LUXEMBOURG)**

Directeur de thèse :
Jean-Philip BRUGAL

JURY

GAUDZINSKI-WINDHEUSER S., Professeur à l'université, Allemagne

LECUYER Ch., Professeur à l'université, Lyon

BRUGAL J.-Ph., Directeur de recherche au CNRS

CHENORKIAN R., Professeur à l'université de Provence, Aix-Marseille I

FERNANDEZ Ph., Chargé de recherche au CNRS

GUADELLI J.-L., Chargé de recherche au CNRS

LE BRUN-RICALENS F., Conservateur sect. préhistoire MNHA, Luxembourg

Rapporteur

Rapporteur

Directeur

Examineur

Examineur

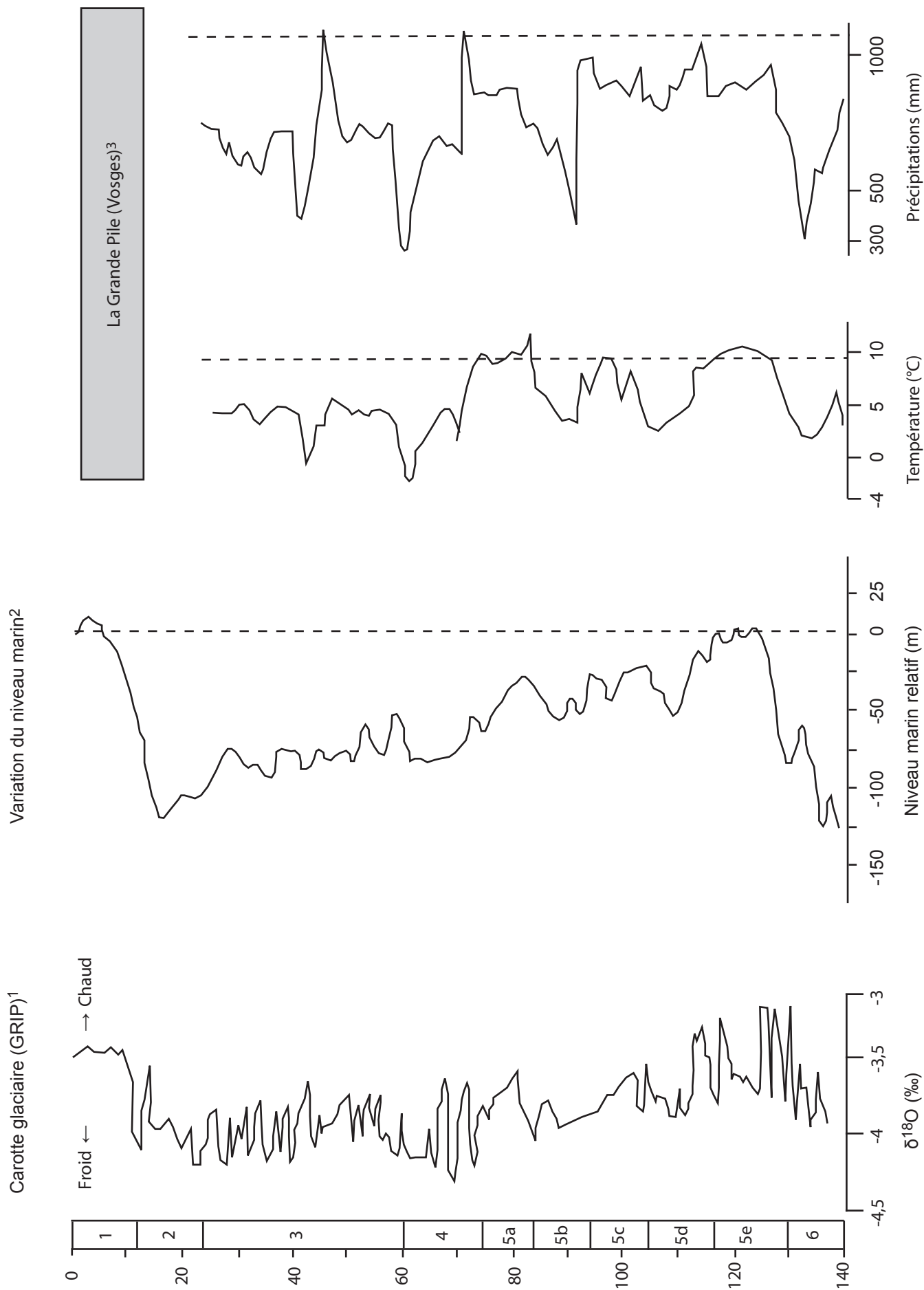
Examineur

Invité

Age (Ka)	Stade isotopique	Dénomination Alpine	Dénomination NW Europe	Evènement d'Heinrich	Stade et Interstade en France	Stade et Interstade NW Europe	Niveau marin comparé à l'actuel	Climat (NE France)	Végétation (NE France)
24	3	Würm	Weichselien	H2	Grand Bois	Denekamp	-80m	Conditions douces bien que plus fraîches qu'aujourd'hui 38-34 ka : tempéré	36-34 ka : conifère et chênaie
30				H3	Charbon	Hengelo			
40				H4	Pile	Glinde/ Moershoofd	-50m	H4 : T° moy annuelle : -4°C T° moy hiver : -20°C T° moy été : 10°C	Steppe
50				H5	Coulotte	Oerel		Climat instable	
60				4			H6		
70	5a				St Germain II	Odderade	-30m	T° été : 16-19°C	
80					Mélisey II	Rederstall	-45m	Plus froid que Mélisey I	Steppe à Graminées + <i>Artémisia</i>
90	5b				St Germain Ia	Brørup	-20m	T° été : 16-19°C	Développement de la forêt
100	5c				St Germain Ib	Amersfoort			
110	5d				Mélisey I	Herning	-50m		Steppe à Graminées + <i>Artémisia</i>
120	5e	Eémien					+2 à 12m	T° moy. hiver : +2°C / actuel T° moy. été : +2 à 3°C / actuel Précipitation annuelle : +100 à 300 mm	Forêt : Charme Sapin-Epicéa Chêne mixte
130									

Annexe 1 : Synthèse chrono-climatique depuis le stade isotopique 5e jusqu'à la fin du stade 3 (d'après : Woilard, 1978 ; Cordy, 1988 ; Raynal & Guadelli, 1988 ; De Beaulieu & Reille, 1989 ; Reille & De Beaulieu, 1990 ; Bard *et al.*, 1990 ; Velichko *et al.*, 1992 ; Guiot *et al.*, 1993 ; Ponel, 1995 ; Van Andel & Tzedakis, 1996 ; Jost-Stauffer *et al.*, 2001, 2005; Kukla *et al.*, 2002; Bosselin, 2003 ; Sanchez-Goni *et al.*, 2005)

--- Actuel

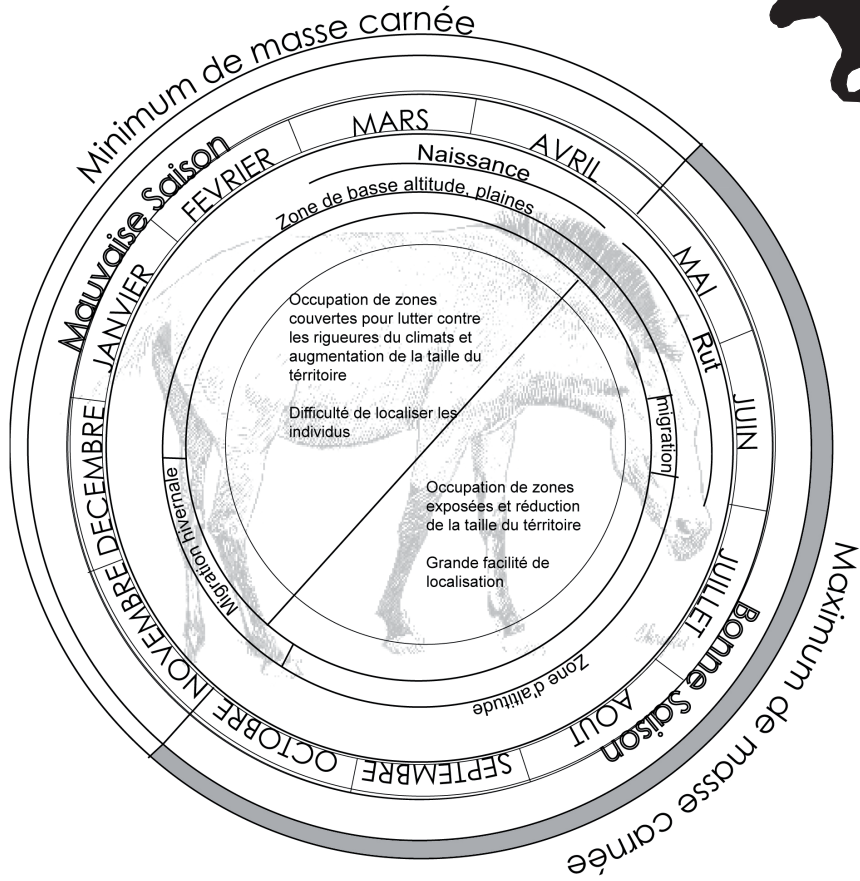
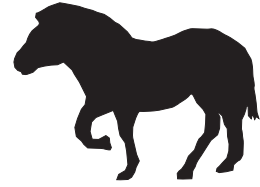


Annexe 2 : Variation des paramètres au cours du Quaternaire à l'échelle globale (1 et 2) et à l'échelle régionale (3) d'après 1: GRIP, 1993 ; 2: Shackleton, 1987 ; 3: Guiot et al., 1989

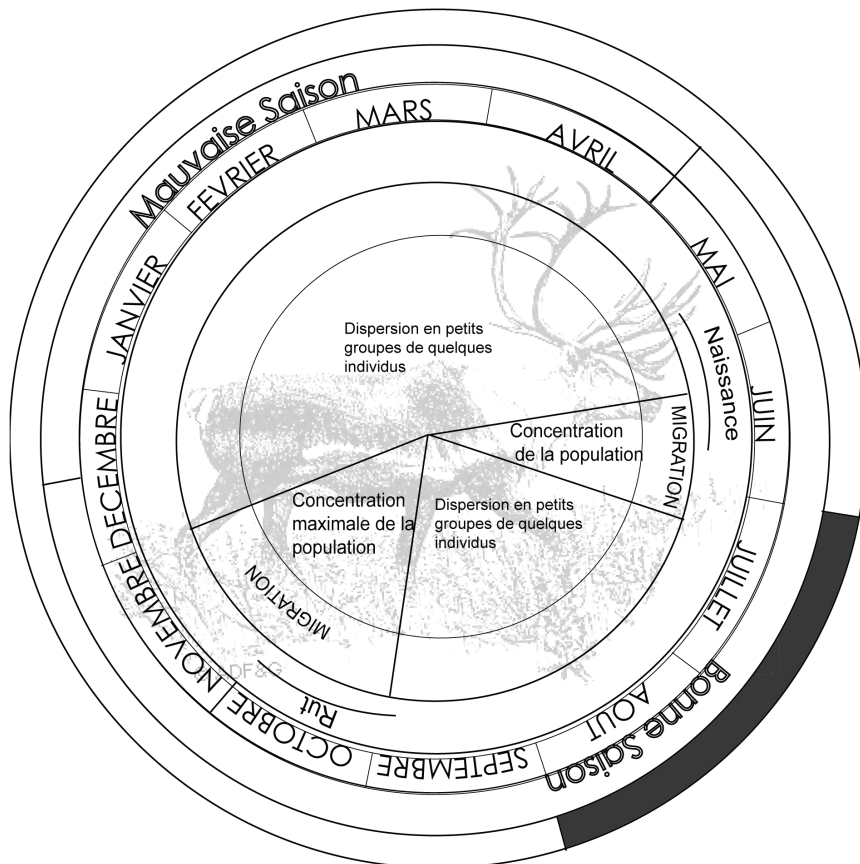
Espèce	Taxonomie	Poids (g)	ln (poids)	Masse	Rég. Alim.	Locomotion
<i>Cervus elaphus</i>	Art	290000	12,59	G	HB	GTf
<i>Capreolus capreolus</i>	Art	22000	10,00	D	HB	GTf
<i>Rangifer tarandus</i>	Art	103000	11,56	F	HB	Gtu
<i>Megaceros giganteus</i>	Art	400000	12,90	G	HB	GTu
<i>Capra ibex</i>	Art	70000	11,16	E	HH	GTc
<i>Rupicapra rupicapra</i>	Art	45000	10,71	D	HH	GTc
<i>Bison priscus</i>	Art	510000	13,14	G	HH	GTu
<i>Bos primigenius</i>	Art	600000	13,30	G	HH	GTu
<i>Equus caballus</i>	Per	390000	12,88	G	HH	GTc
<i>Equus hydruntinus</i>	Per	260000	12,47	F	HH	GTc
<i>Mammuthus primigenius</i>	Art	5000000	15,42	H	HH	GTu
<i>Coelodonta antiquitatis</i>	Per	2000000	14,51	H	HH	GTu
<i>Sus scrofa</i>	Art	103000	11,56	F	O	GTf
<i>Ursus spelaeus</i>	C	670000	13,42	G	HB	GTf
<i>Ursus arctos</i>	C	300000	12,61	G	O	GTf
<i>Canis lupus</i>	C	35000	10,46	E	C	GTu
<i>Vulpes vulpes</i>	C	8000	8,99	C	C	GTu
<i>Alopex lagopus</i>	C	3500	8,16	C	C	GTu
<i>Crocuta crocuta</i>	C	60000	11,00	E	O	GTu
<i>Meles meles</i>	C	13000	9,47	D	O	F/Gtu
<i>Mustela nivalis</i>	C	100	4,61	AB	C	F/Gtu
<i>Mustela erminae</i>	C	260	5,56	AB	C	F/Gtu
<i>Felis sylvestris</i>	C	7500	8,92	C	C	F/Gtu
<i>Panthera spelaea</i>	C	180000	12,10	G	C	GTu
<i>Lepus timidus</i>	A	3500	8,16	C	HH	PT
<i>Oryctolagus cuniculus</i>	A	2000	7,60	C	FG	PT
<i>Marmota marmota</i>	R	6000	8,70	C	O	PT/F
<i>Castor fiber</i>	R	22000	10,00	D	HH	PT/Aq
<i>Microtus malei</i>	R	60	4,09	AB	O	PT/F
<i>Clethrionomys glareolus</i>	R	20	3,00	AB	O	PT/AG
<i>Microtus agrestis</i>	R	35	3,56	AB	O	PT/Aq/F
<i>Arvicola terrestris</i>	R	110	4,70	AB	O	PT/Aq
<i>Microtus nivalis</i>	R	40	3,66	AB	HH	PT/F
<i>Microtus arvalis</i>	R	30	3,35	AB	O	PT/AG/Aq/F
<i>Allocricetus bursae</i>	R	500	6,21	AB	O	PT
<i>Dicrostonyx torquatus</i>	R	85	4,42	AB	O	PT/Aq
<i>Citellus superciliosus</i>	R	20	3,00	AB	O	PT
<i>Microtus gregalis</i>	R	30	3,35	AB	O	PT/F
<i>Apodemus sylvaticus</i>	R	20	3,00	AB	O	PT/F
<i>Lagurus lagurus</i>	R	30	3,35	AB	O	PT
<i>Sicista subtilis</i>	R	12	2,48	AB	O	PT/AG
<i>Microtus subterraneus</i>	R	20	3,00	AB	O	PT/F
<i>Eliomys quercinus</i>	R	70	4,28	AB	O	PT/AG/Aq
<i>Cricetus cricetus</i>	R	500	6,21	AB	O	PT
<i>Homo neanderthalensis</i>	Pri	80	4,38	E	O	GTu

Annexe 3 : Paramètres utilisés pour chaque espèce

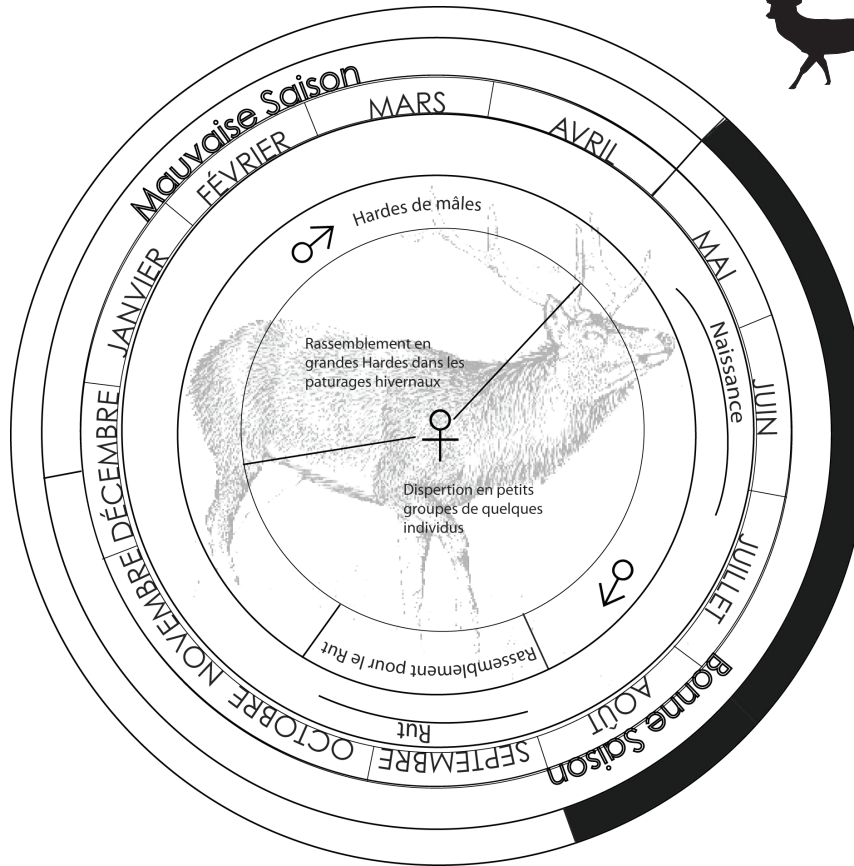
Ethologie du Cheval (Rendu, 2007)



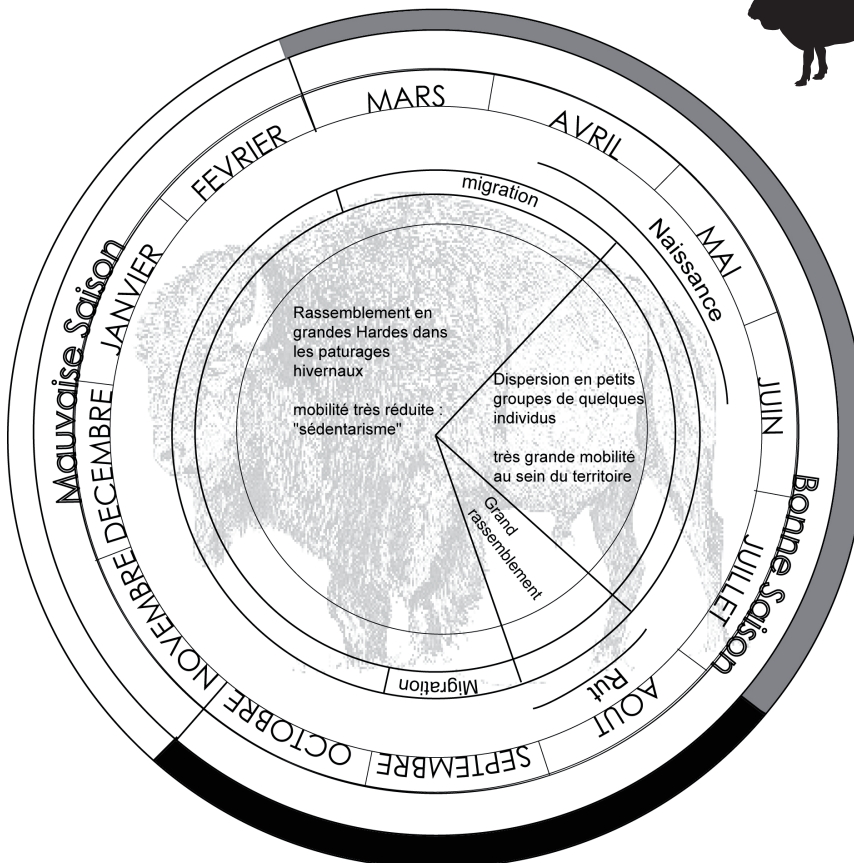
Ethologie du Renne (Rendu, 2007)

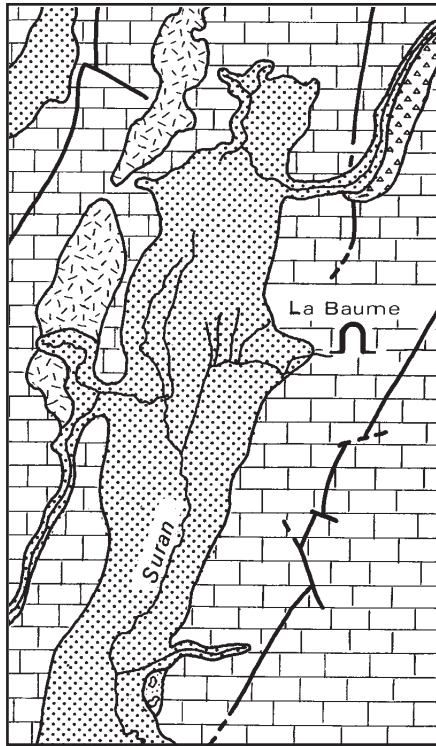







Ethologie du Cerf (Rendu, 2007)



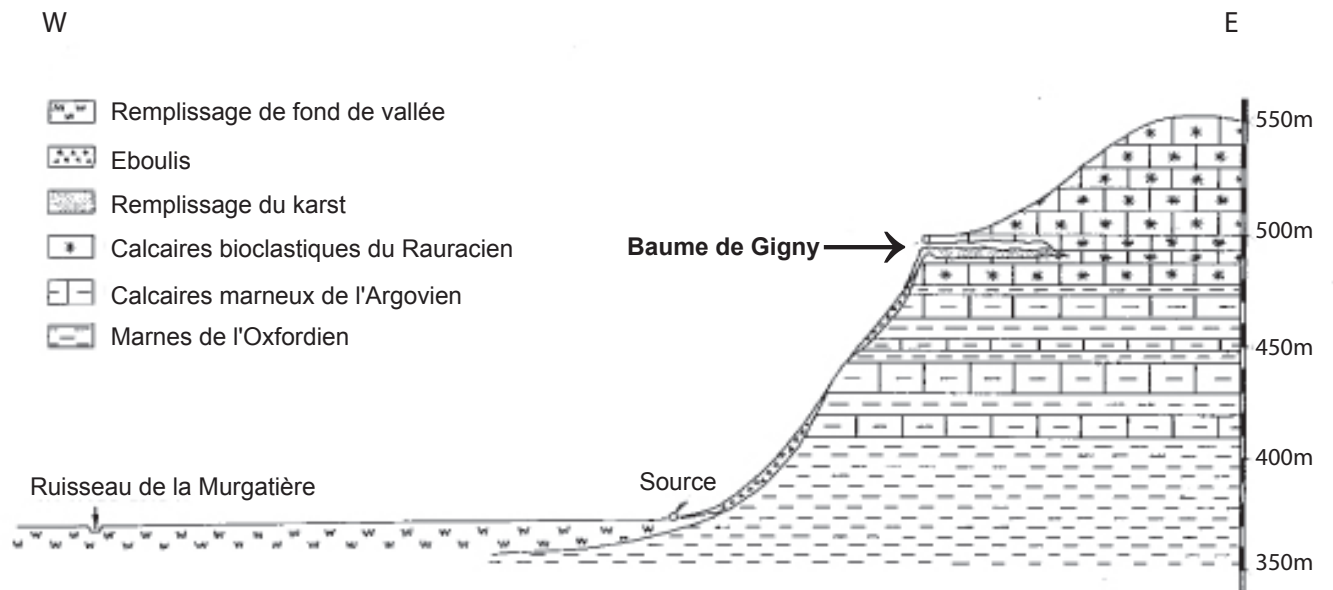
Ethologie du Bison (Rendu, 2007)



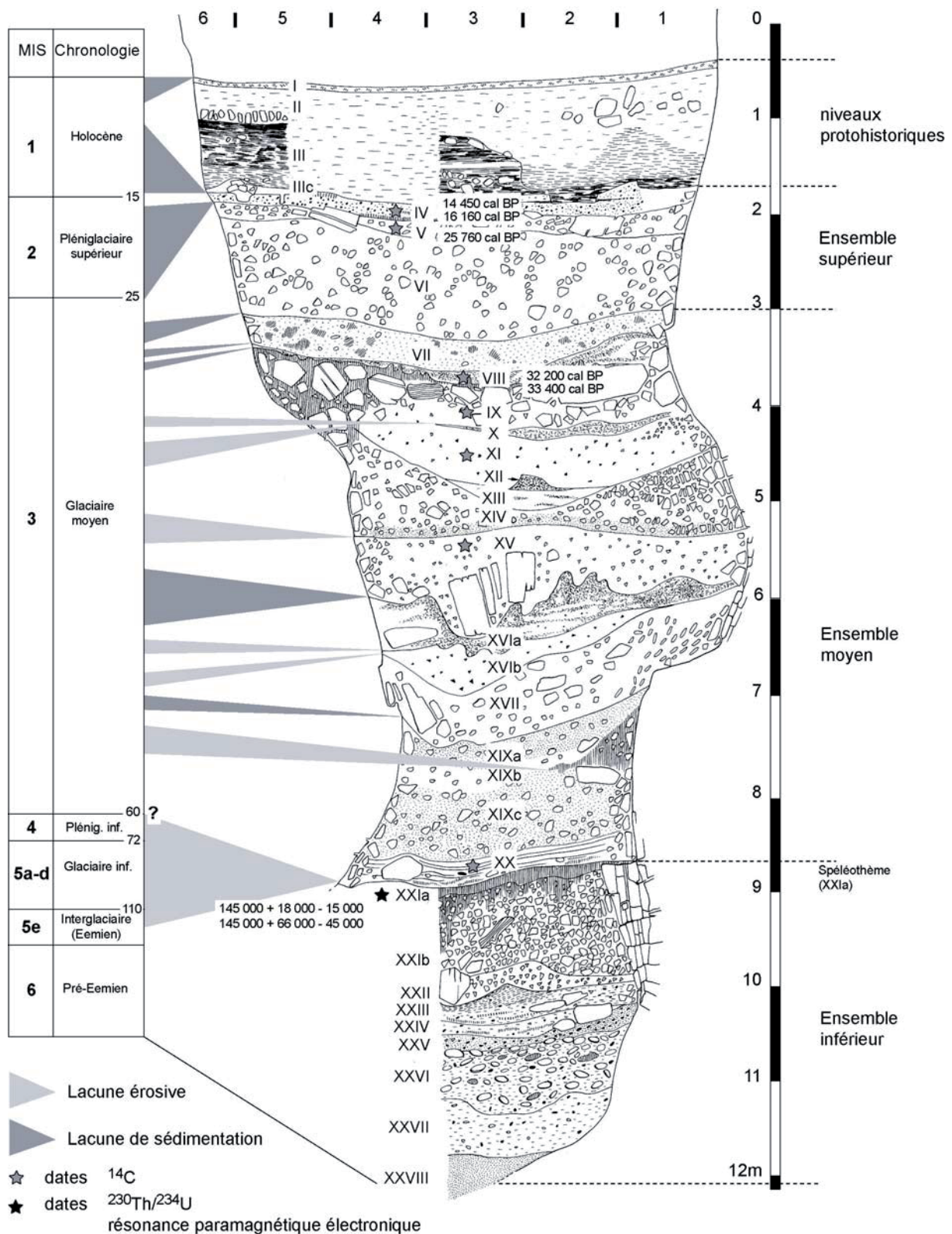


-  Eboulis de versant
-  Remplissage de fond de vallée
-  Argiles résiduelles
-  Calcaire du Jurassique Moyen et Supérieur
-  Reliquat morainique

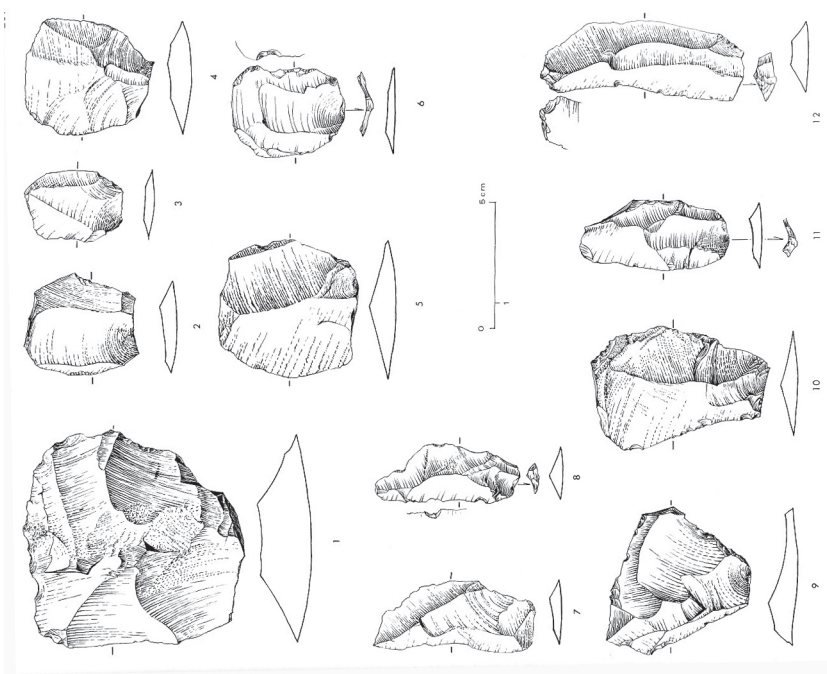
Annexe 6 (La Baume de Gigny) : Contexte géologique (Campy *et al*, 1989)



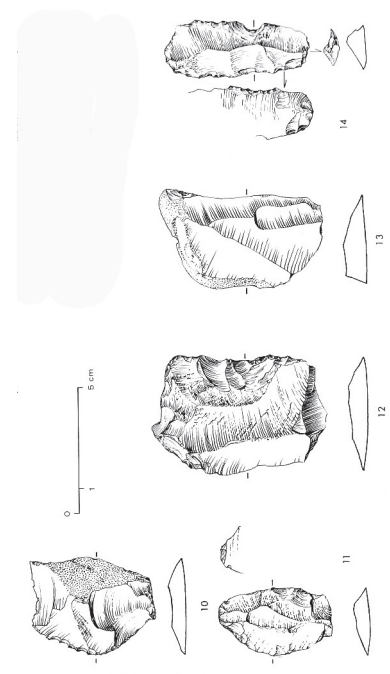
Annexe 7 (La Baume de Gigny) : Coupe transversale passant par le porche (Campy *et al*, 1989)



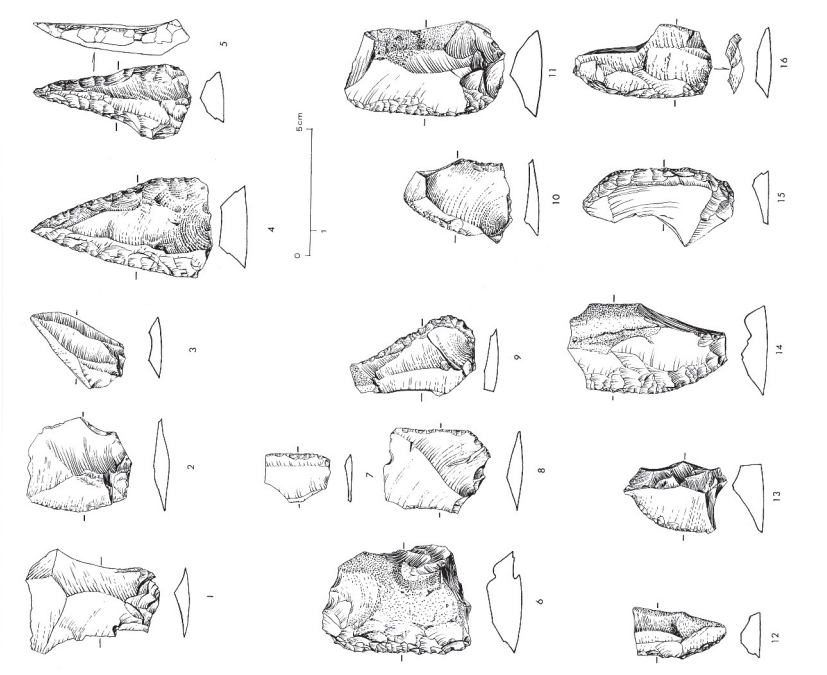
Unités sédimentaires, lacunes et chronologie de la Baume de Gigny (d'après Chaline et al. 1995, modifié). Les lacunes sont définies d'après Campy et al. (1993). MIS : Stade Isotopique Marin. Les étoiles correspondent aux datations physiques de certains niveaux (Chaline et Hennig 1989, Evin 1989). Pour les dates radiocarbones, les âges donnés correspondent aux âges calibrés par la courbe CALPAL2000 (Weninger et al. 2002). Les étoiles sans âge précisé correspondent à des dates radiocarbones "infinies" supérieur à 30 000 ans.



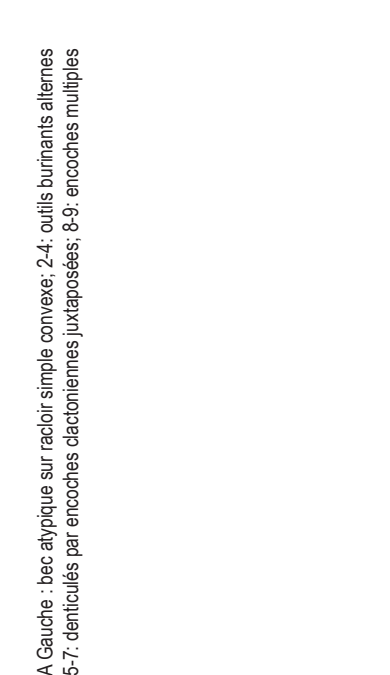
1: gros éclat Levallois; 2-6: éclats Levallois; 7-8: lames Levallois; 12: lame Levallois avec amincissement distal sur tronçature inverse



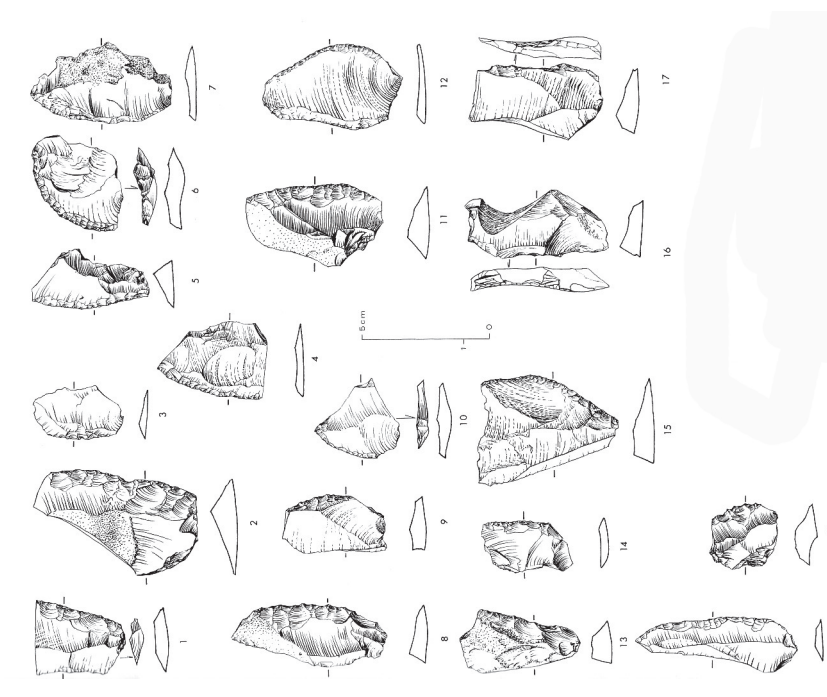
10: microdentulé; 11: amincissement; 12: encoche retouchée tendant au racloir simple concave; 13: couteau à dos naturel; 14: encoche sur lame retouchée



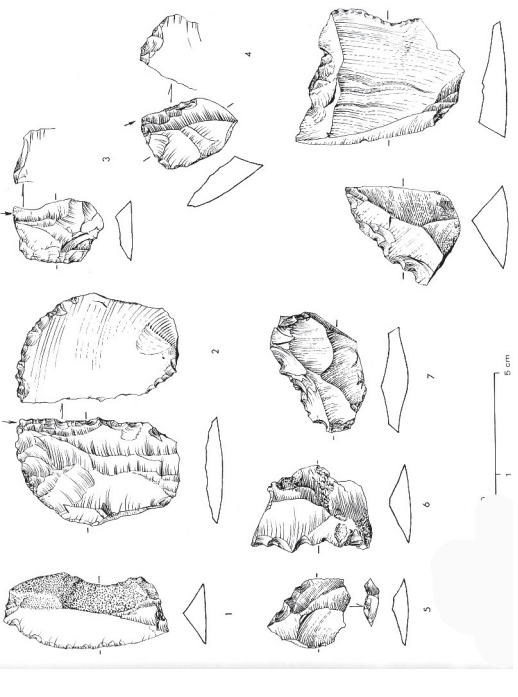
1: éclat Levallois; 2: éclat Levallois retouché; 3: pointe Levallois déjetée; 4, 5: pointes moustériennes; 6-9: racloirs droits; 10-16: racloirs simples convexes

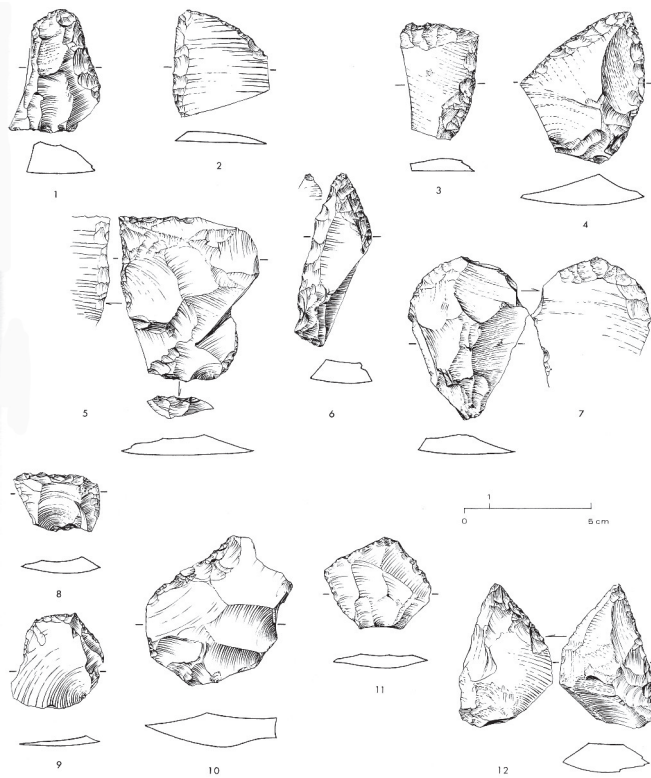


A Gauche : bec atypique sur racloir simple convexe; 2-4: outils burinants alternes 5-7: denticulés par encoches clactoniennes juxtaposées; 8-9: encoches multiples

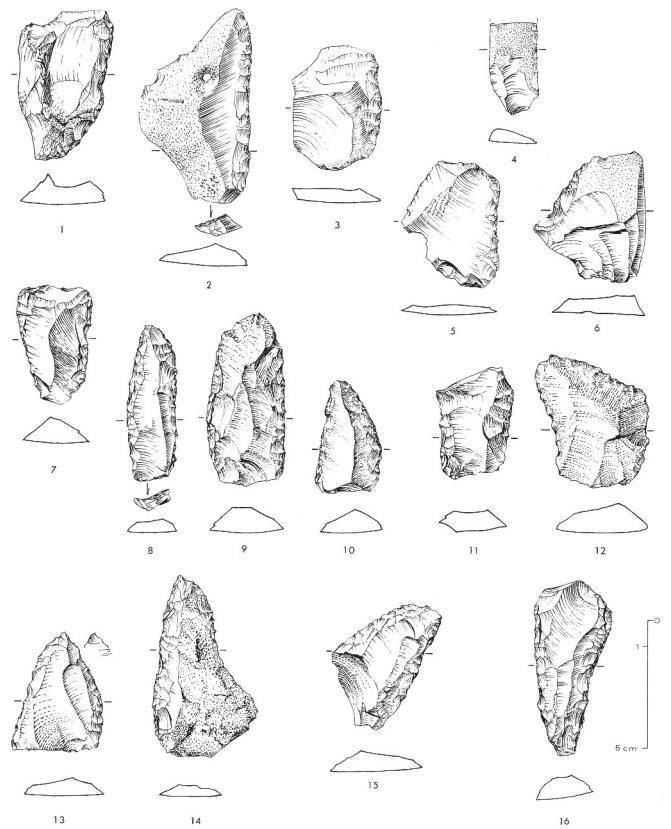


1-12: racloirs simples convexes ; 13-15: racloirs simples droits; 16, 17: racloirs simples droits à retouche irrégulière, partiellement surélevée ; 18: racloir simple convexe sur lame; 19: petit racloir à retouche denticulée

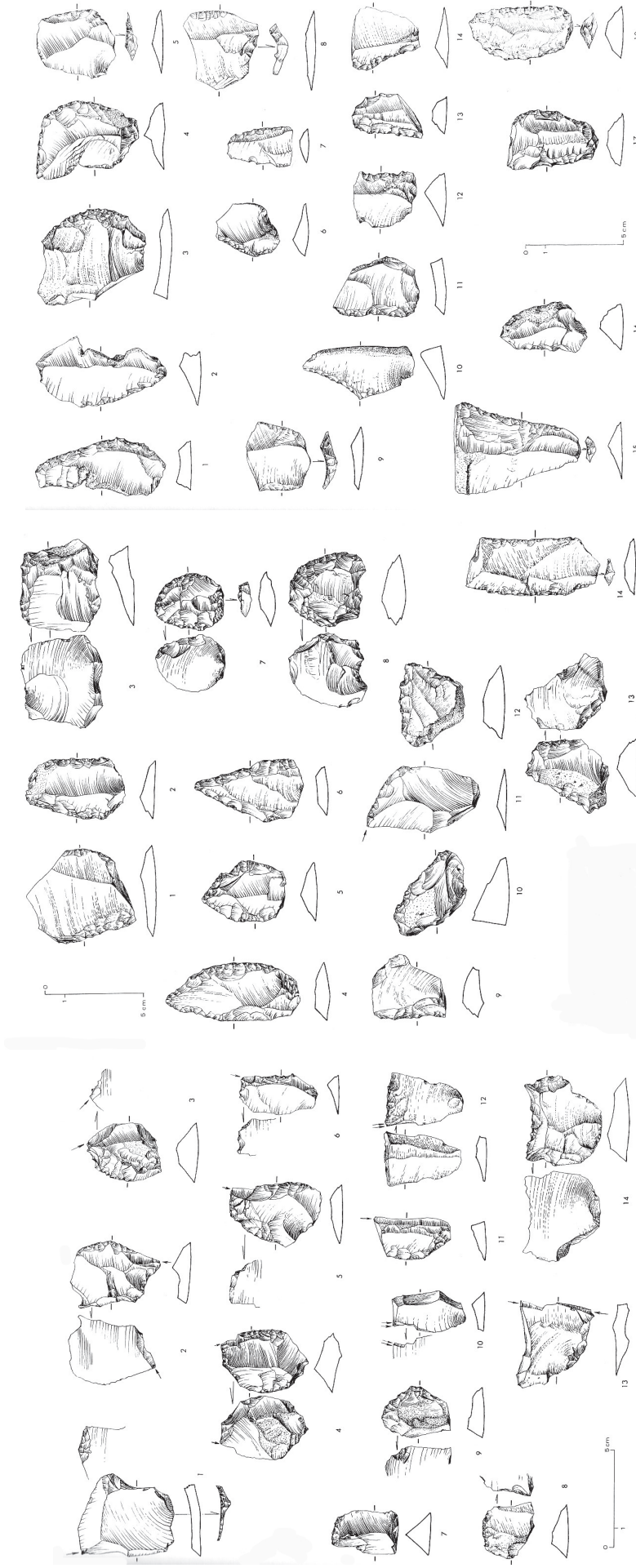




1: grattoir en bout de racloir; 2: racloir déjeté sur éclat Kombéwa; 3,4: racloirs déjetés
 5: racloir déjeté à retouche partiellement plano-convexe; 6: racloir convergent; 7:
 racloir sur face plane; 8,9: racloirs trnsversaux; 10: racloir transversal concave; 11:
 racloir multiple; 12: racloir convergent à retouche biface



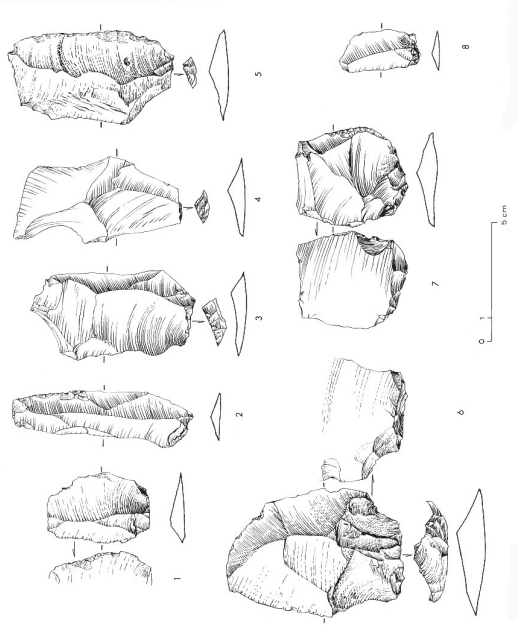
1,2: racloirs simples convexo-concave; 3: racloir simple convexe; 4-6: racloirs concaves;
 7: racloir simple droit; 8-10: racloirs doubles droits convexes; 11,12: racloirs doubles droits
 concaves; 13,14: racloirs convergents convexes; 16: racloir doubleconvexo-concave



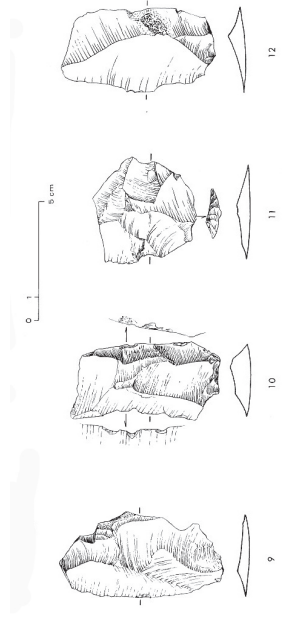
1-6: outils burinants alternes de Gigny; 7-9: grattoirs; 10-12: burins d'angle sur cassure
 13: burin multiple; 14: perceur sur éclat à talon oté

1: racloir convexo-concave; 2: racloir double droit; 3: racloir transversal droit sur éclat-nucléus Kombéwa; 4-6: racloirs convergents; 7, 8: racloirs circulaires sur éclat aminci; 9: racloir simple droit sur face plane; 10-12: racloirs transversaux; 13: outil multiple; 14: racloir double convexo-concave

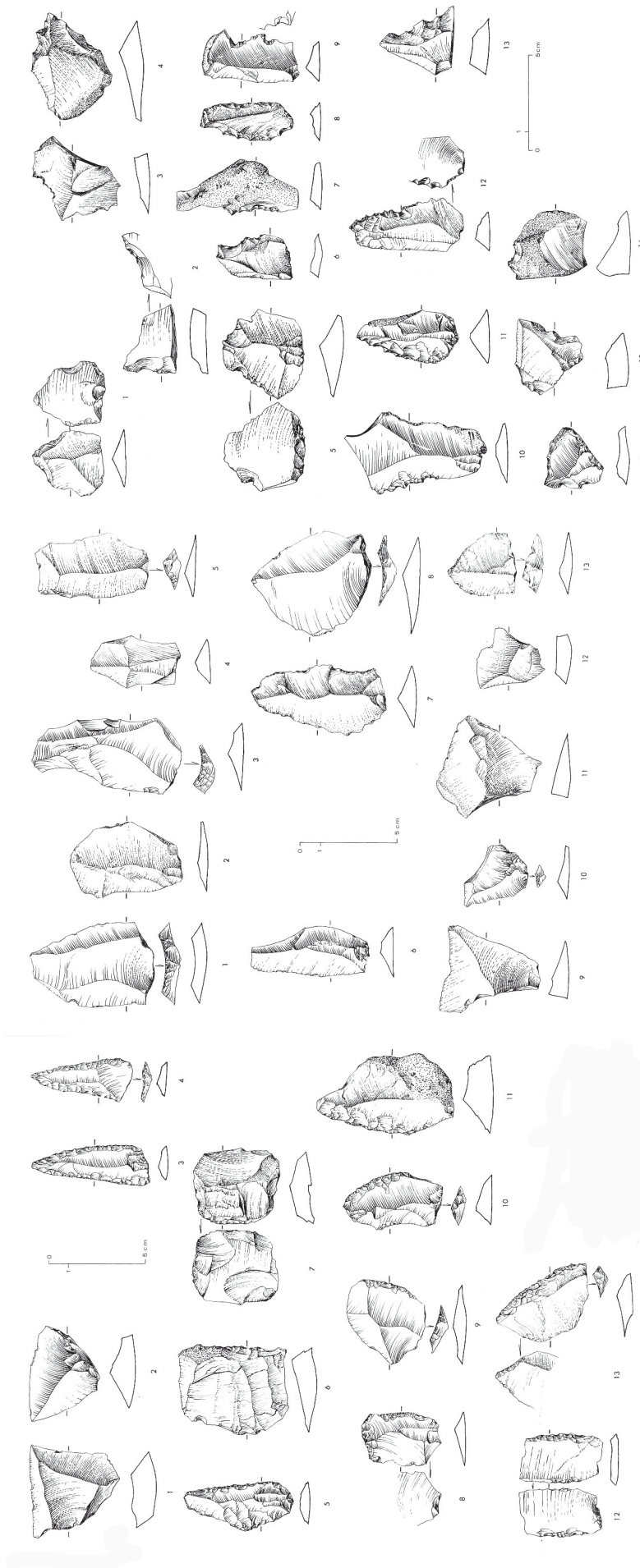
1-8: racloirs simples convexes; 9: racloir double droit; 10-15: racloirs simples concaves; 16: racloir simple droit à rebouche denticulée; 17, 18: racloirs doubles droits convexes



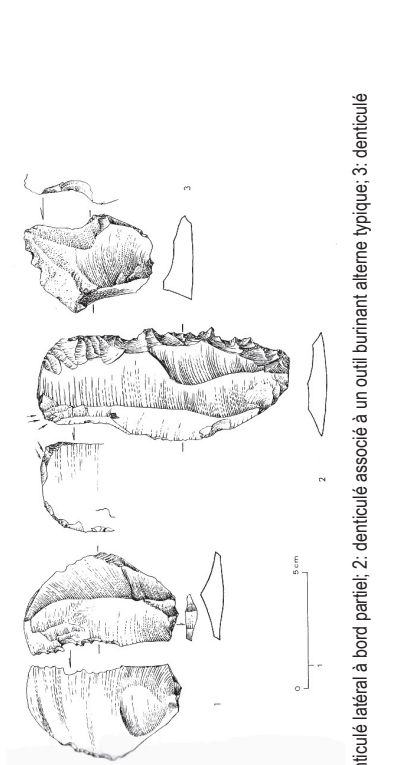
1: éclat Levallois retouché; 2: lame Levallois; 3-8: éclats Levallois divers



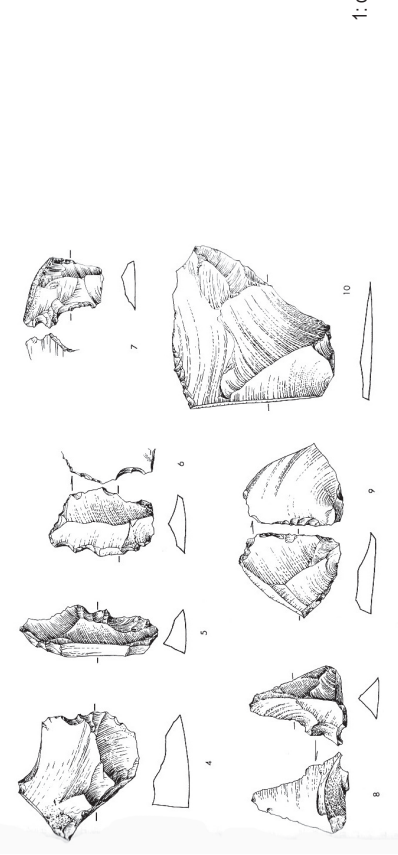
9-12: éclats Levallois divers



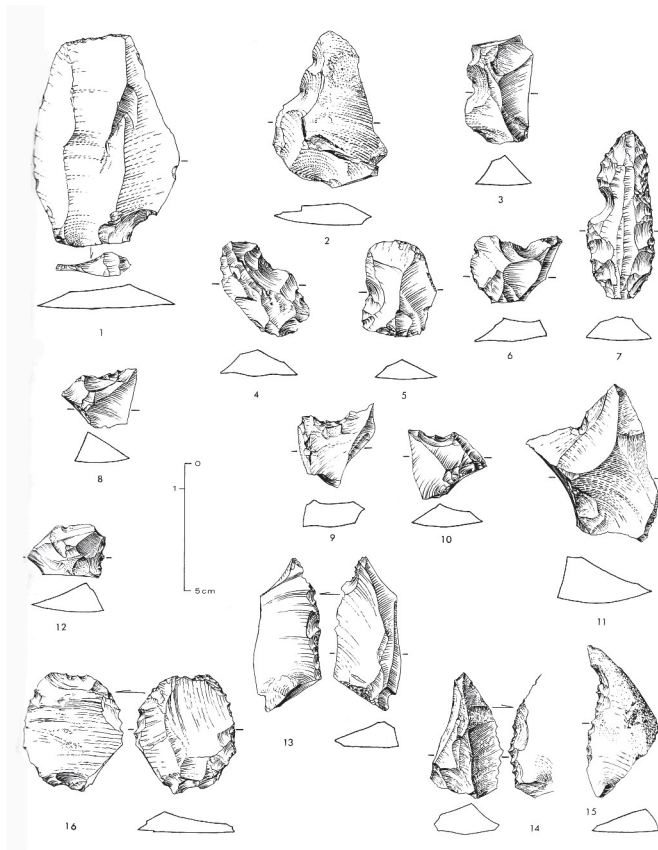
1,2: pointes pseudo-Levallois; 3,4: pointes moustériennes allongées; 5,6: racloirs simples droits; 7: racloir simple convexe à front aminci; 8-11: racloirs simples convexes; 12: racloir à retouche partiellement biface; 13: racloir simple convexe à retouche demi-Quina sur éclat tronqué
 1-5: éclats Levallois; 6: lame Levallois; 7,8: pointes Levallois atypiques; 9-12: pointes pseudo-do-Levallois; 13: pointe Levallois retouchée
 1: encoche clactonienne inverse sur éclat à talon ôté; 2: encoche clactonienne alterne 3,4: denticulés convergents; 5: denticulé associé à une encoche clactonienne inverse sur éclat aminci; 6-13: denticulés latéraux; 14,15: outils à denticules simple obtenu par deux encoches clactoniennes juxtaposées; 16: denticule simple en bout



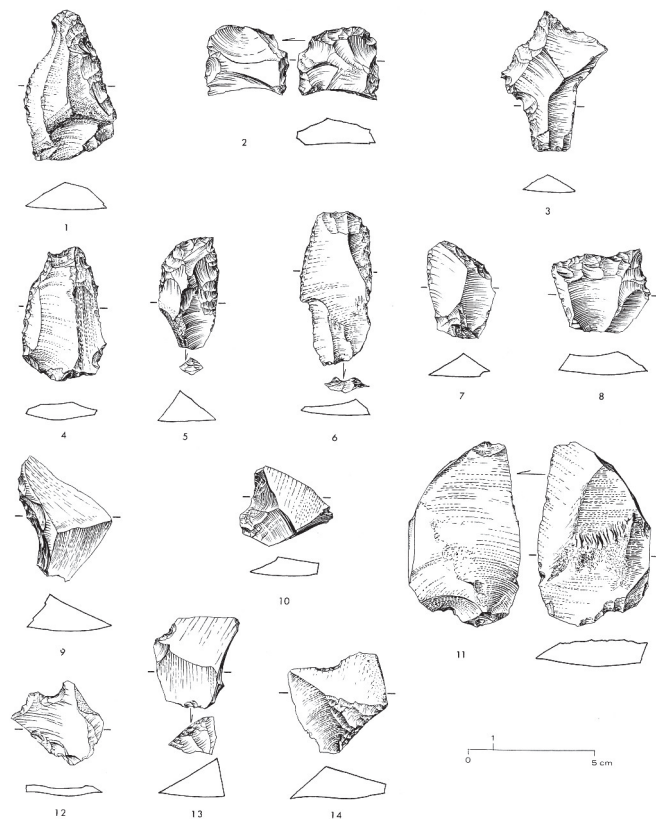
1: denticulé latéral à bord partiel; 2: denticulé associé à un outil burinant alterne typique; 3: denticulé



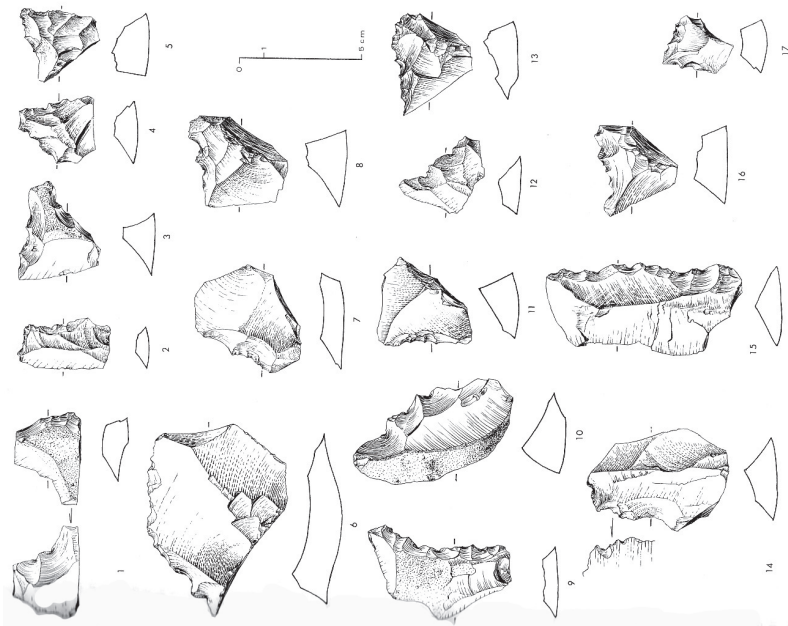
4-8: outils à denticule simple; 9,10: éclats tronqués



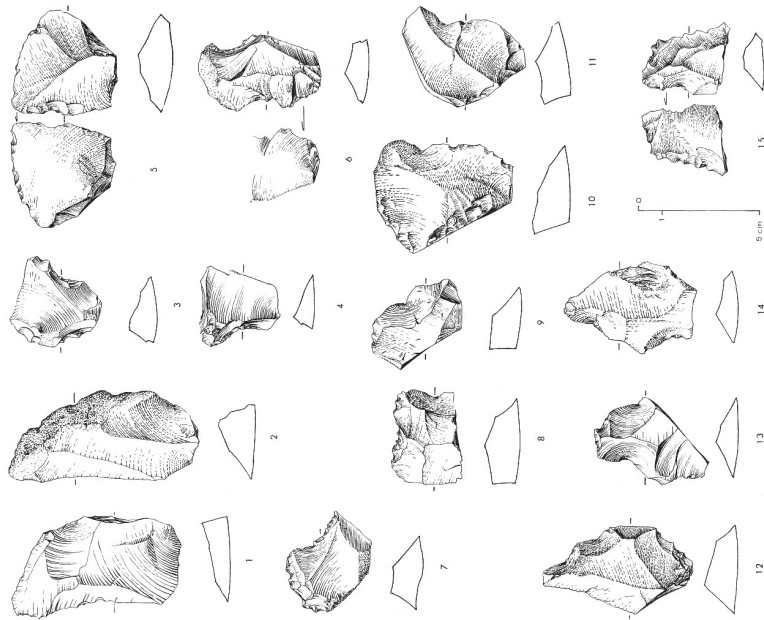
1: encoche clactonienne sur éclat Levallois tronqué; 2,3: encoches clactoniennes géminées; 4-7: encoches clactoniennes incisées sur extrémités d'éclat; 8: denticulé sur petite pointe pseudo-Levallois; 9-11: encoches retouchées; 12: petit denticulé; 13: denticulé alterne; 14,15: denticulés inverses; 16: encoches inverses sur extrémités d'éclat ovalaire



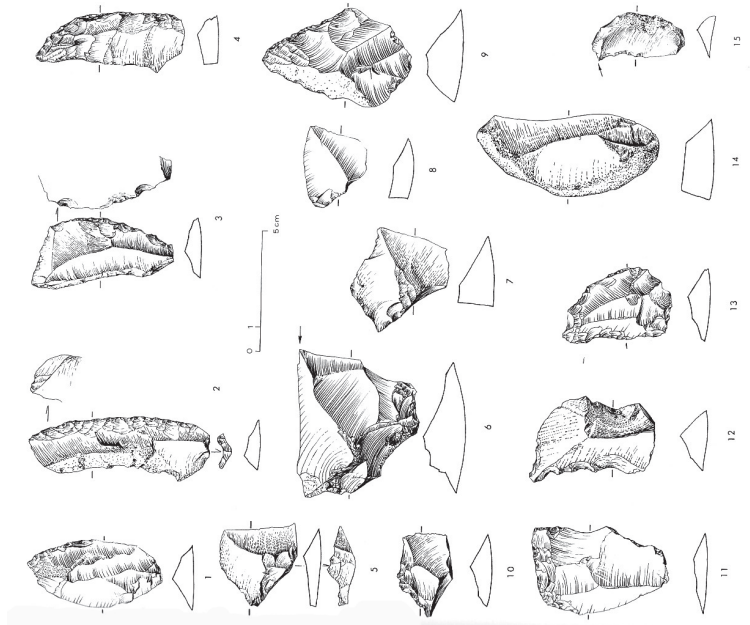
1: grattoir; 2: grattoir à front aminci; 3: perceur multiple; 4,5: becs; 6: raclette; 7: éclat tronqué; 8: perceur; 9: encoche retouchée sur talon de pointe pseudo-Levallois; 10: encoche clactonienne; 11: couteau à dos de débitage; 12-14: encoches retouchées



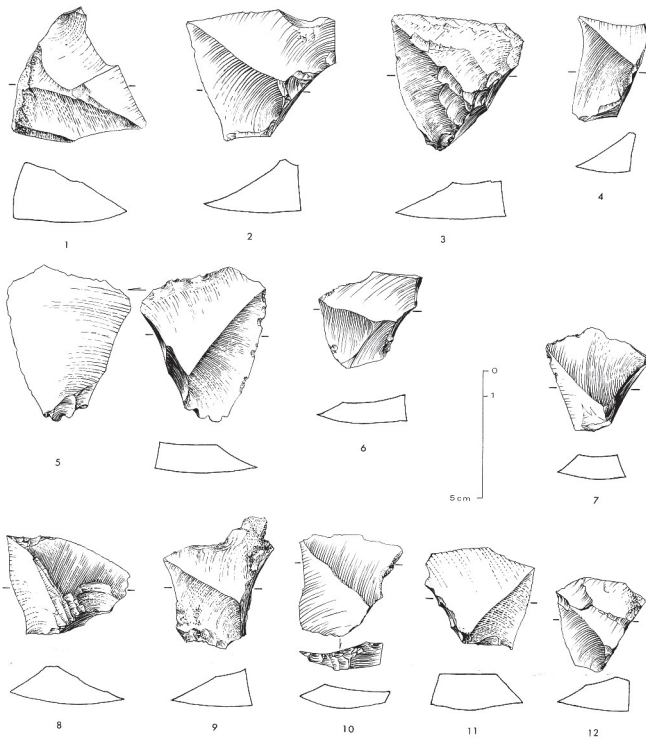
1: encoche clactonienne inverse; 2: éclat tronqué; 3-5: denticulés doubles; 6-8: denticulés à denticule simple; 9-16: denticulés divers; 17: pointe de Tayac



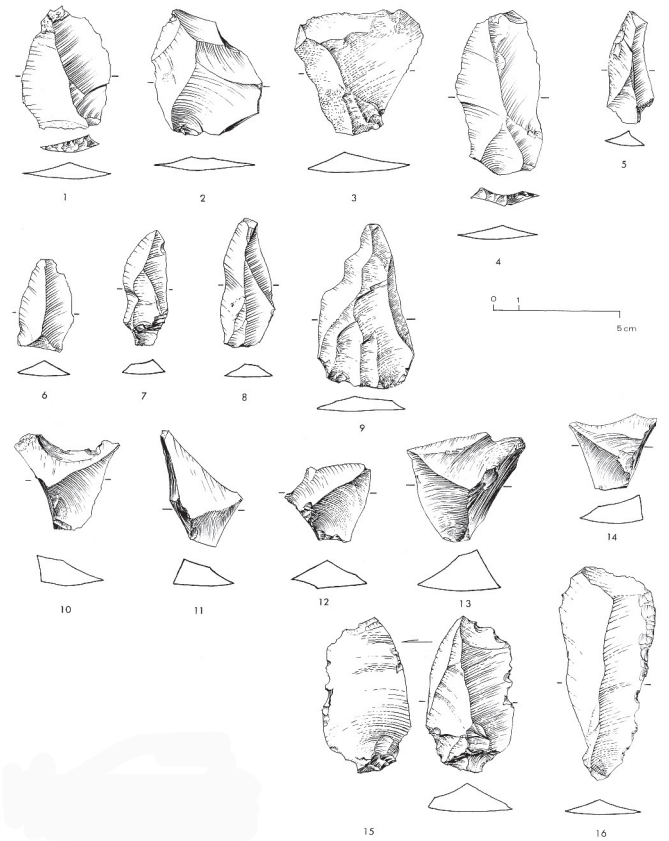
1,2: couteaux à dos; 3-7: encoches retouchées; 8: encoche clactonienne associée à une encoche denticulée; 9-11: encoches clactoniennes; 12-14: encoches clactoniennes géminées; 15: encoche clactonienne opposée à un denticulé inverse



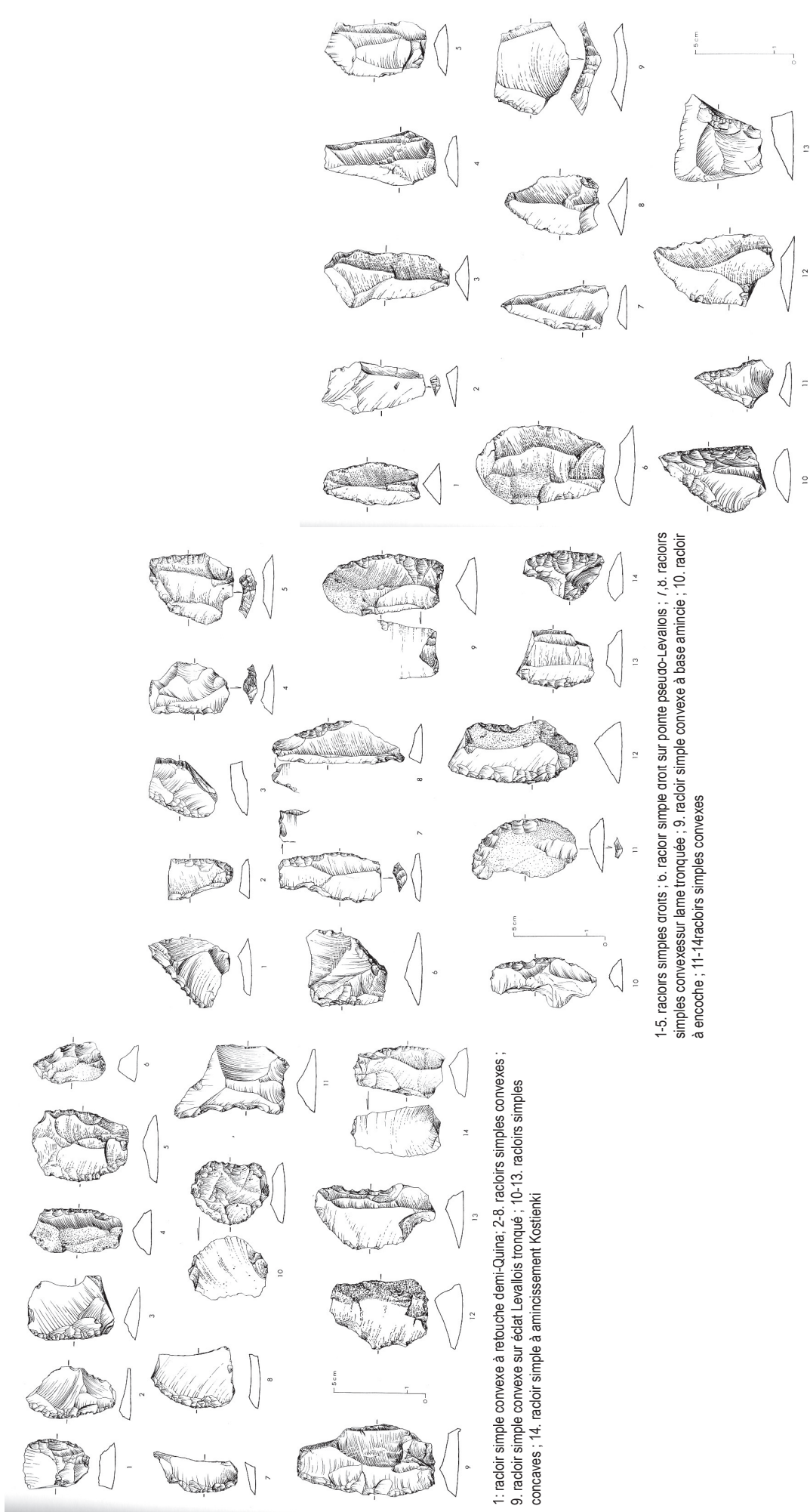
1-4: racloirs simples convexes; 5-8: pointes pseudo-Levallois; 9: racloir simple droit; 10: petit denticulé; 11: racloir transversal; 12: denticulé et encoche clactonienne; 13: racloir à front festonné; 14,15: couteaux à dos



1-12: pointes pseudo-Levallois



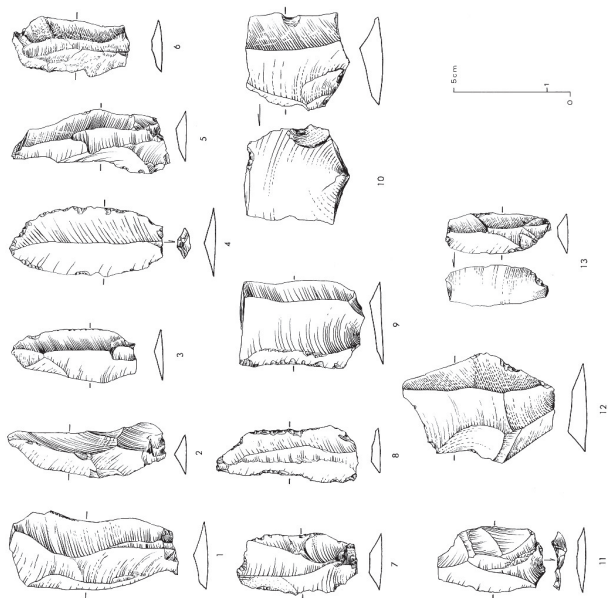
1-4: éclats Levallois; 5: lame retouchée; 6-9: éclats Levallois pointus; 10-14: pointes pseudo-Levallois; 15: éclat Levallois atypique; 16: racloir simple convexe



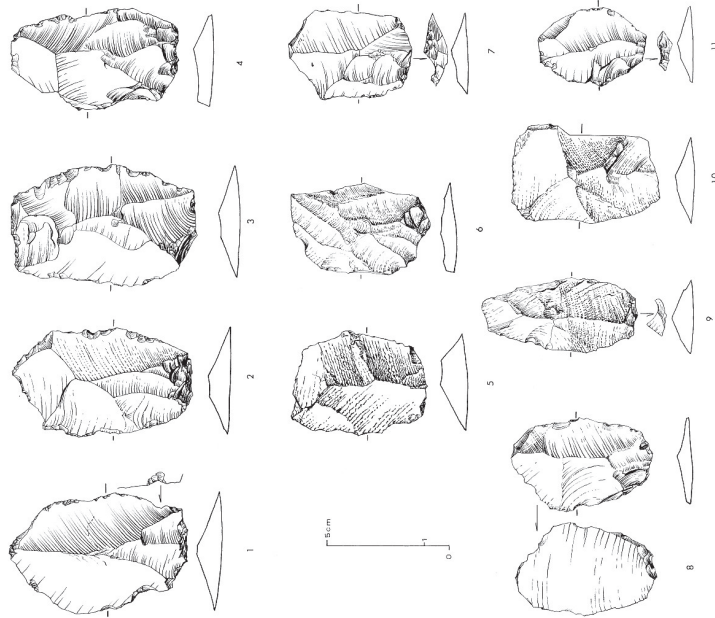
1: racloir simple convexe à rebouche demi-Quina; 2-8. racloirs simples convexes ;
 9. racloir simple convexe sur éclat Levallois tronqué ; 10-13. racloirs simples
 concaves ; 14. racloir simple à amincissement Kostienki

1-5. racloirs simples droits ; b. racloir simple droit sur pointe pseudo-Levallois ; 7, 8. racloirs
 simples convexes sur lame tronquée ; 9. racloir simple convexe à base amincie ; 10. racloir
 à encoche ; 11-14. racloirs simples convexes

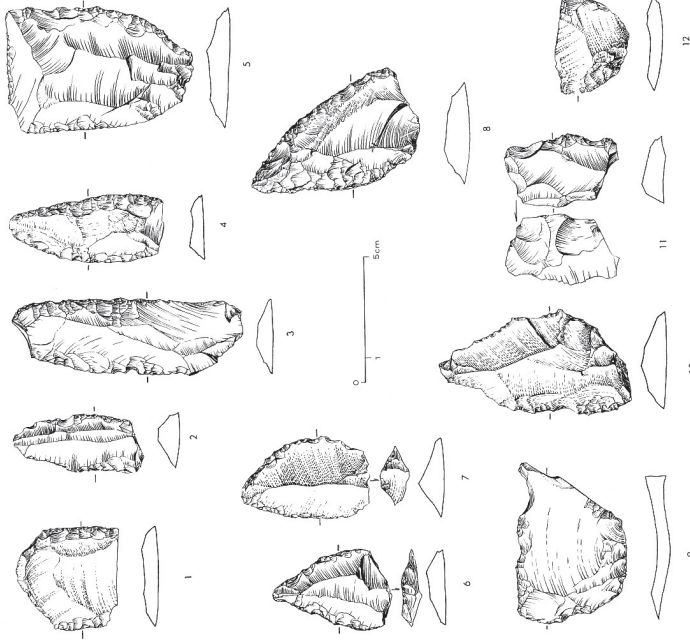
1-5. éclats Levallois laminaires ; 6. éclat Levallois typique ; 7-9. pointes Levallois retouchées
 10, 11. pointes moustériennes ; 12. pointe Levallois typique ; 13. pointe pseudo-Levallois



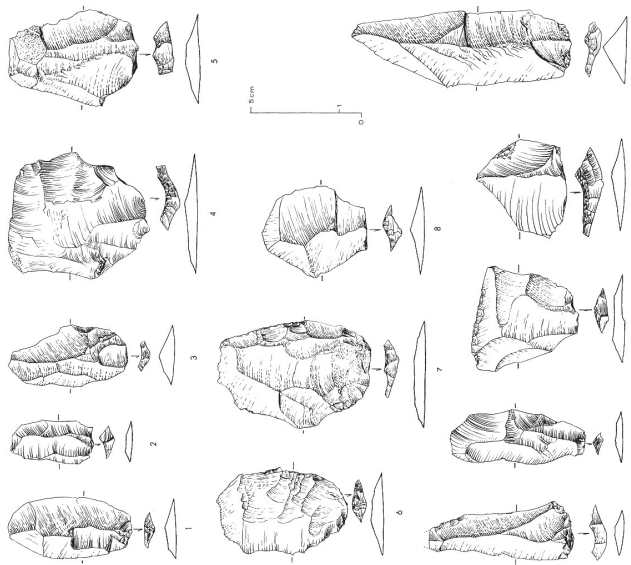
1-4. lames Levallois ; 5-7 lames Levallois atypiques ; 8. lame Levallois retouchée
9-12. éclats Levallois ; 13. lame tronquée



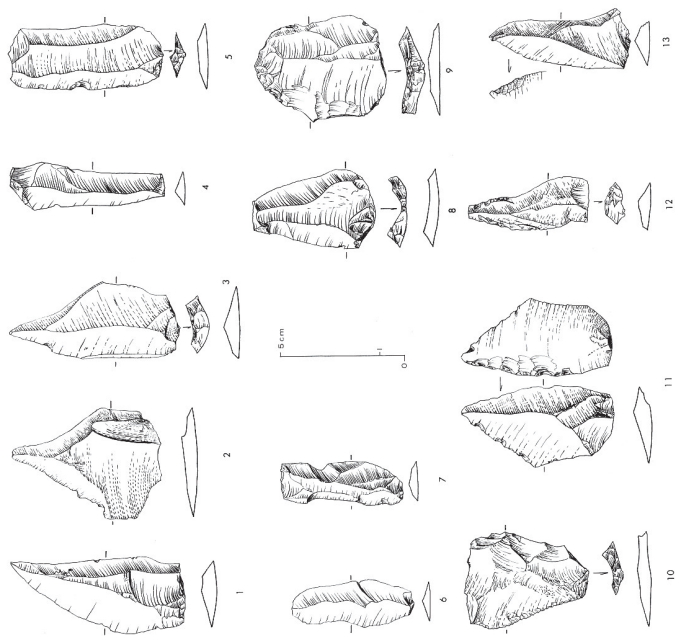
1. éclat Levallois à encoches basales alternées ; 2-4. éclats Levallois "utilisés"
5-7. éclats Levallois subrectangulaires ; 8. éclat Levallois à talon oté ; 9. éclat
Levallois laminaire ; 10, 11. éclat Levallois.



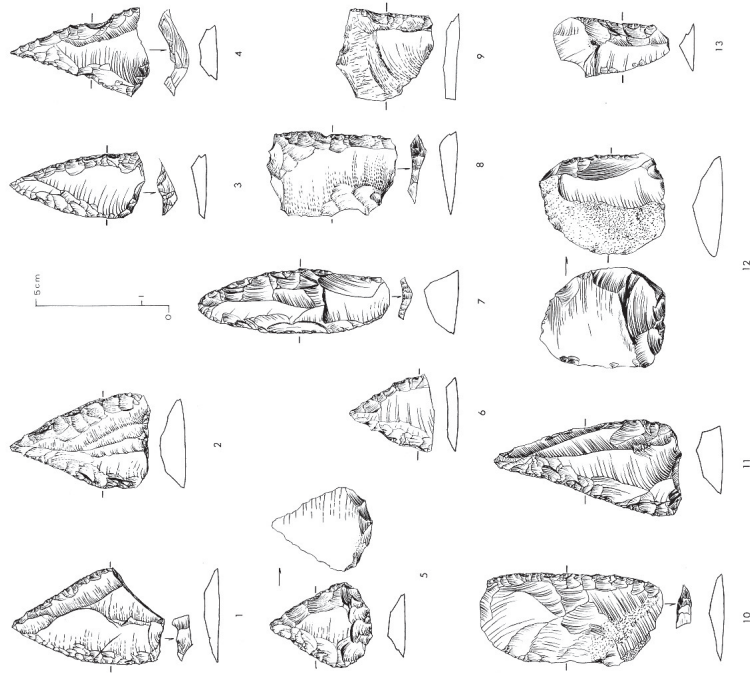
1. racloir double droit ; 2-4. racloirs doubles droits convexes sur lame ; 5. racloir double
droit convexe sur éclat Levallois ; 6-7. racloirs convergents convexes ; 8. racloir convergent
convexe par retouche demi-Quina ; 9. racloir double à front festonné ; 10. racloir simple
convexo-concave à dos aminci ; 12. racloir double cassé.



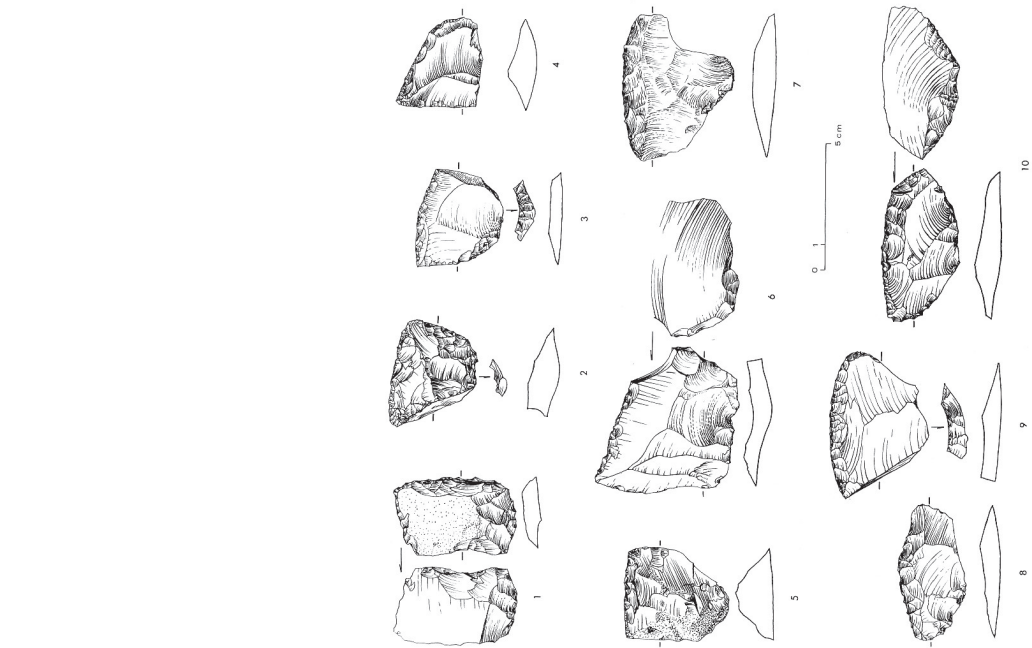
1-3. éclats Levallois allongés ; 4-8. éclats Levallois ; 9-10. lames Levallois
 11. éclat retouché tendant au racloir transversal ; 12. pointe Levallois courte
 13. pointe Levallois allongée.



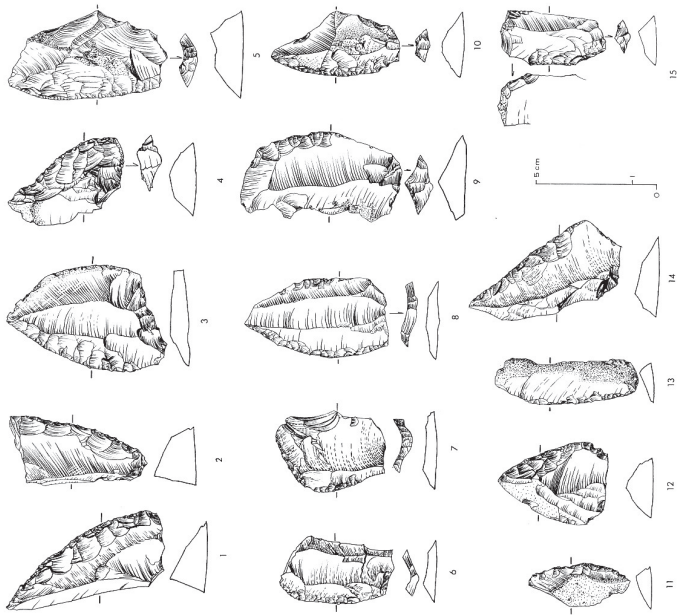
1-3. pointes Levallois ; 4-6. lames Levallois ; 7. lame Levallois atypique ; 8. éclat Levallois
 atypique ; 9, 10. éclats Levallois retouchés ; 11-13. pointes Levallois retouchées.



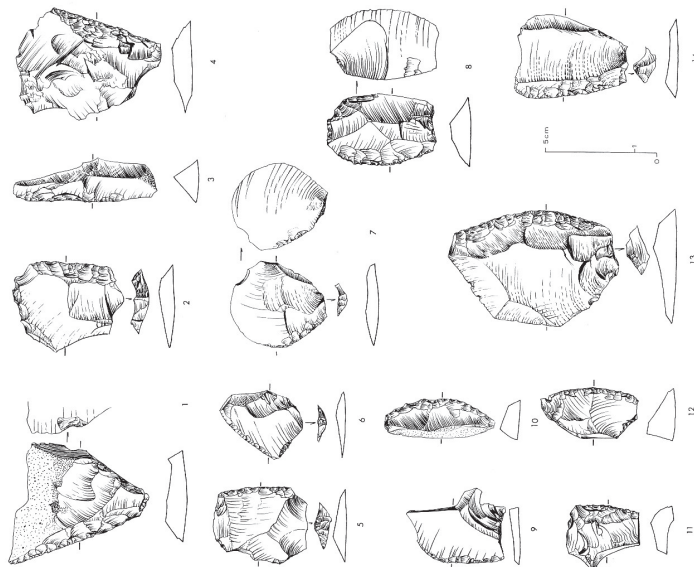
1, 2. pointes moustériennes ; 3, 4. pointes moustériennes allongées ; 5. pointe moustérienne
 cassée ; 7. limace ; 8-10. racloirs droits ; 11. racloir concave ; 12. racloir simple à bulbe
 enlevé et dos aminci.



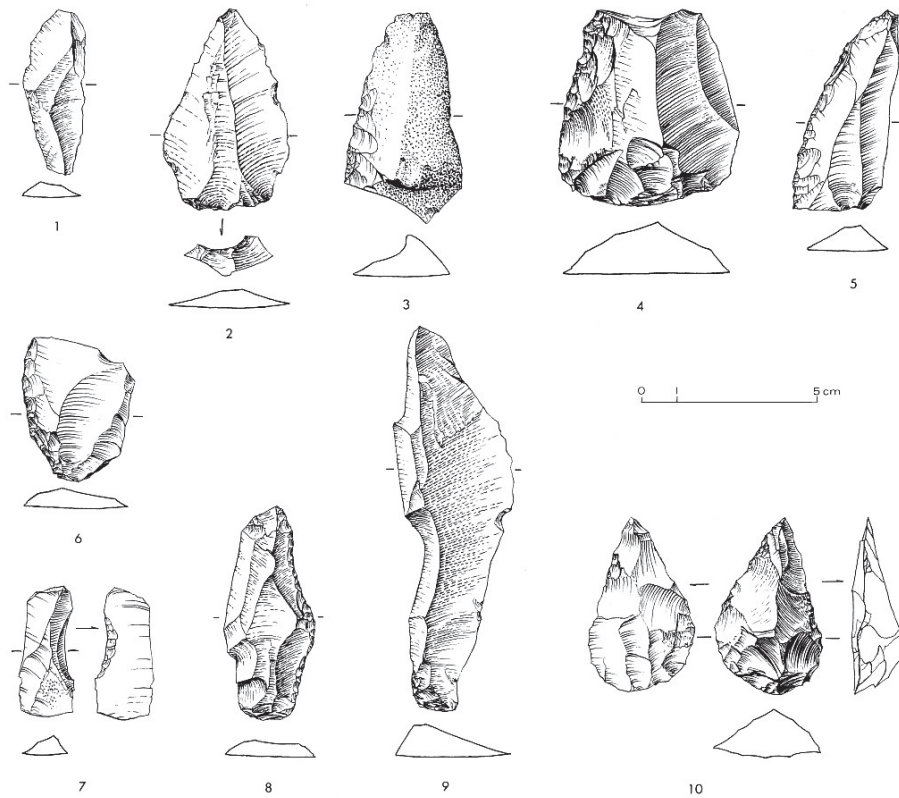
1. racloir à dos et à base amincie sur éclat tronqué ; 2. racloir déjeté à retouche demi-Quina
 3. racloir déjeté ; 4, 5. racloirs transversaux droits ; 6. racloir transversal droit à base amincie
 7-9. racloirs transversaux convexes ; 10. racloir transversal convexe à base amincie.



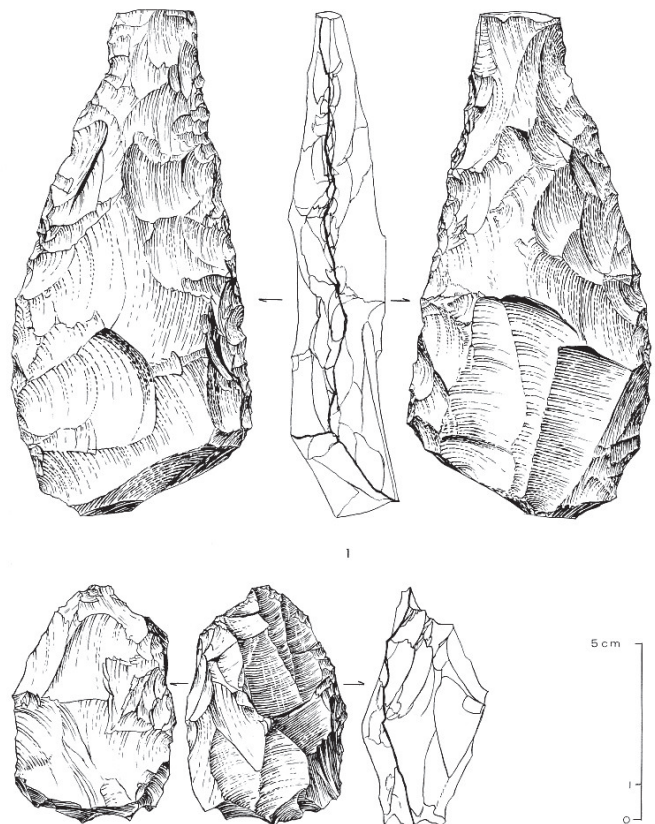
1, 2. racloirs simples convexes à retouche demi-Quina ; 3-12. racloirs simples convexes
 divers ; 13. racloir simple convexe sur lame ; 14. racloir simple droit ; 15. racloir simple



1-6. racloirs simples droits ; 7. racloir simple convexe sur éclat kombéwa
 8. racloir simple convexe sur éclat-nucléus kombéwa distal ; 9-14. racloirs
 simples convexes divers



1. lame Levallois ; 2. pointe Levallois ; 3,4. racloirs simples droits ; 5,6. racloirs simples convexes ; 7. encoche retouchée inverse ; 8. couteau à dos retouché ; 9. couteau à dos de débitage ; 10. petit biface cordiforme.



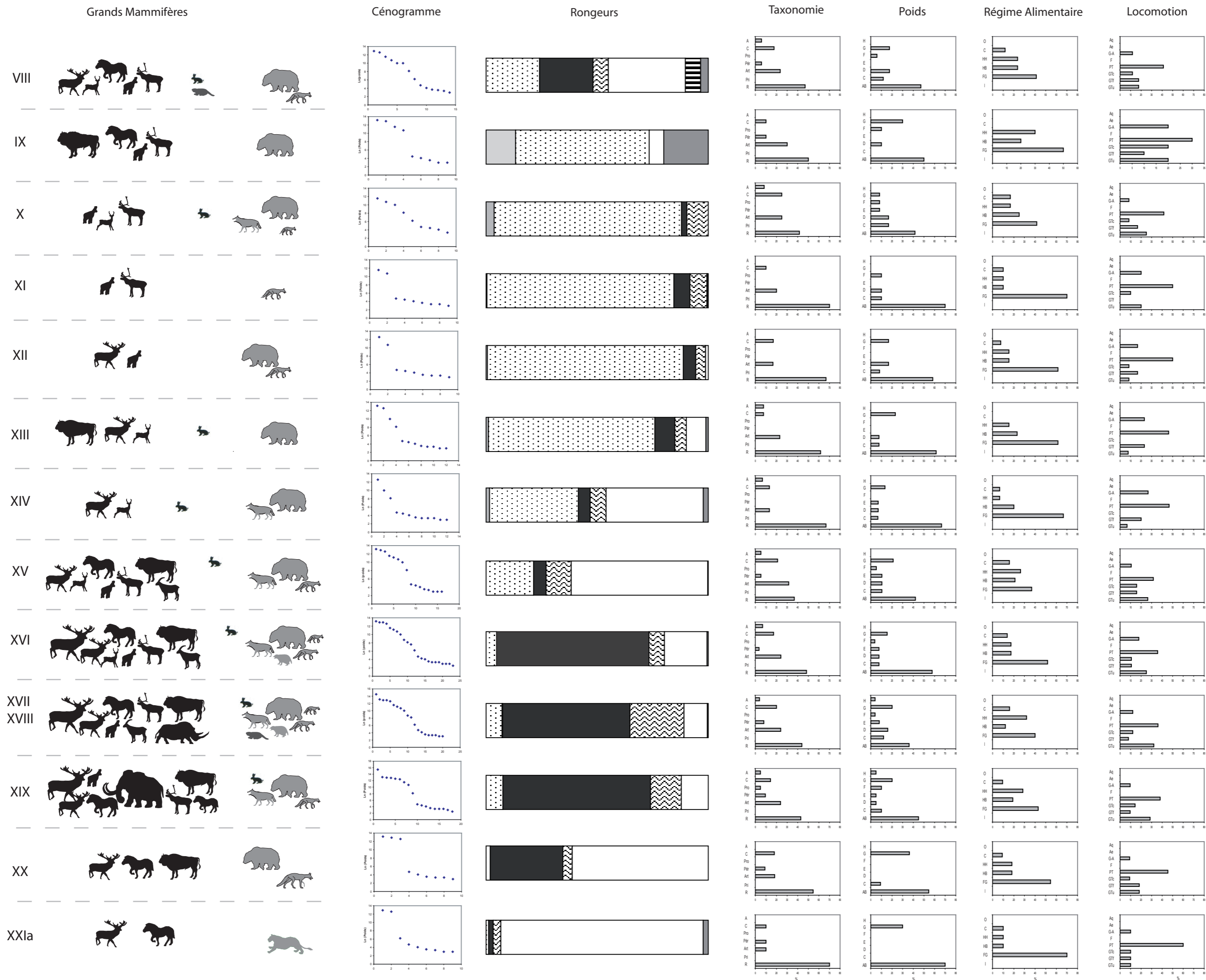
1. biface micoquien ; 2. biface cordiforme épais.

Espèce	Couche	N°	Rang dentaire	Nb d'échantillons	Inf / Sup
<i>Rangifer tarandus</i>	XV	128 H3	P4/	1	Sup
	XV	236 G3	P4/	1	Sup
	XVI	150 F3	P4/	1	Sup
	XVI	83 ter	M1-2/	1	Sup
<i>Cervus elaphus</i>	VIII	86	M2/	1	Sup
	XV	572	M/3	1	Inf
	XIXb	128 G4	M2/	1	Sup
	XX	677 GH	M/	1	Sup
	XXI	728 GH	M/1	4	Inf
<i>Equus caballus</i>	VIII	28 F2	M/2	1	Inf
	IX	812 GH	P/4	11	Inf
	XV	71 F2	P4/	12	Sup
	XV	255 G3	M/3	1	Inf
	XVI	157 F3	P/3	1	Inf
	XIX-a	88 G3	M/3	1	Inf
	XIX-a	120 G4	M/2	1	Inf
	XIX-b	264 F3	M2/	1	Sup
	XIX-b	267 F3	M/3	1	Inf
	XIX-b	357 G3	P/4	1	Inf
	XIX-c	623 GH	M/1-2	1	Inf
	XIX-c	317 G3	M3/	1	Sup
	XIX-c	307 E2	P4/	13	Sup
	XIX-c	376 G3	P4/	1	Sup
	XIX-c	295 F3	M/1	1	Inf
	XIX-c	385 G3	M1/	9	Sup
	XX	672 GH	P4/	1	Sup
	XX	245 H4	P4/	1	Sup
	XXI-a	183 H3	M/2	9	Inf
	XXI-a	396 F3	P4/	9	Sup

Annexe 21 (La Baume de Gigny) : Listing des dents utilisées lors des analyses géochimiques
(en gras : les dents à multiples prélèvements)

Compilation	Villes	Pays	Altitude	T° moy Hiver	T° moy Été	T° moy Annuelle	Amplitude
1982-2009	Oslo	Norvège	204	-4,7	14,9	4,8	19,6
1982-2009	Helsinki	Finlande		-4,7	16,2	5,4	20,9
1982-2009	Moscou	Russie	156	-6	17,6	5,7	23,6
1982-2009	Tallin	Estonie		-3	16	6	19
1982-2009	Minsk	Biélorussie	231	-3,8	17,4	6,7	21,2
1982-2009	Vilnius	Lituanie	156	-3,4	17,1	6,9	20,5
1982-2009	Stockholm	Suède		-1,7	16,6	6,9	18,3
1982-2009	Riga	Lettonie		-2,2	17,1	7,2	19,3
1982-2009	Kiev	Ukraine	167	-2,7	19,6	8,5	22,3
1982-2009	Prague	Rép. Tchèque	365	-0,4	17,7	8,6	18,1
1982-2009	Copenhague	Danemark		1,4	16,8	8,7	15,4
1982-2009	Cracovie	Pologne	237	-1	18,3	8,7	19,3
1982-2009	Edimbourg	Ecosse		4,2	14,2	8,9	10
1996-2009	Berne	Suisse	510	1,1	17,8	9,3	16,7
1948-2009	Berlin	Allemagne		0,9	18,4	9,6	17,5
1982-2009	Munich	Allemagne	535	1	18,5	9,7	17,5
1982-2009	Luxembourg	Luxembourg	376	1,8	18	9,8	16,2
1982-2009	Dublin	Irlande		5,8	14,7	9,9	8,9
1996-2009	Ljubljana	Slovénie	384	0,2	19,2	9,9	19
1949-2009	Francfort	Allemagne	113	1,7	18,4	10	16,7
1982-2009	Ankara	Turquie	959	-0,4	20,2	10	20,6
1982-2009	Amsterdam	Pays-Bas		4	17,1	10,5	13,1
1996-2009	Luxeuil	France	273	2,8	19	10,6	16,2
1982-2009	Bruxelle	Belgique		4	17,6	10,7	13,6
1982-2009	Genève	Suisse	416	2,6	19,4	10,8	16,8
1982-2009	Sofia	Bulgarie	591	0,5	20,6	10,8	20,1
1982-2009	Bratislava	Slovaquie		0,8	20,6	10,8	19,8
1982-2009	Metz	France	192	2,9	19,1	11	16,2
1996-2009	Sarajevo	Bosnie	636	1,3	19,6	11	18,3
1982-2009	Dijon	France	227	2,9	19,3	11	16,4
1982-2009	Bucarest	Roumanie		0	22	11,2	22
1996-2009	Lille	France		4,7	17,9	11,3	13,2
1982-2009	Londres	Angleterre		5,7	17,8	11,4	12,1
1996-2009	Budapest	Hongrie	139	1,1	21,5	11,5	20,4
1982-2009	Paris	France		4,7	19,1	11,7	14,4
1996-2009	Zagreb	Croatie	107	1,9	21,1	11,7	19,2
1982-2009	Belgrade	Serbie		1,9	21,6	12	19,7
1982-2009	Lyon	France	240	4	20,5	12,2	16,5
1982-2009	Toulouse	France	154	6,6	21,3	13,8	14,7
1982-2009	Bordeaux	France		7,2	20,5	13,8	13,3
1982-2009	Madrid	Espagne	582	6,4	24,2	14,7	17,8
1982-2009	Marseille	France		7,8	23,6	15,5	15,8
1982-2009	Rome	Italie		9	23,2	15,9	14,2
1996-2009	Lisbonne	Portugal	105	12	22,8	17,4	10,8
1982-2009	Athènes	Grèce		10,4	26,9	18,2	16,5
1982-2009	Gibraltar	Gibraltar		14,1	23,5	18,6	9,4
1982-2009	Valetta	Malte		13,1	25,8	19,2	12,7

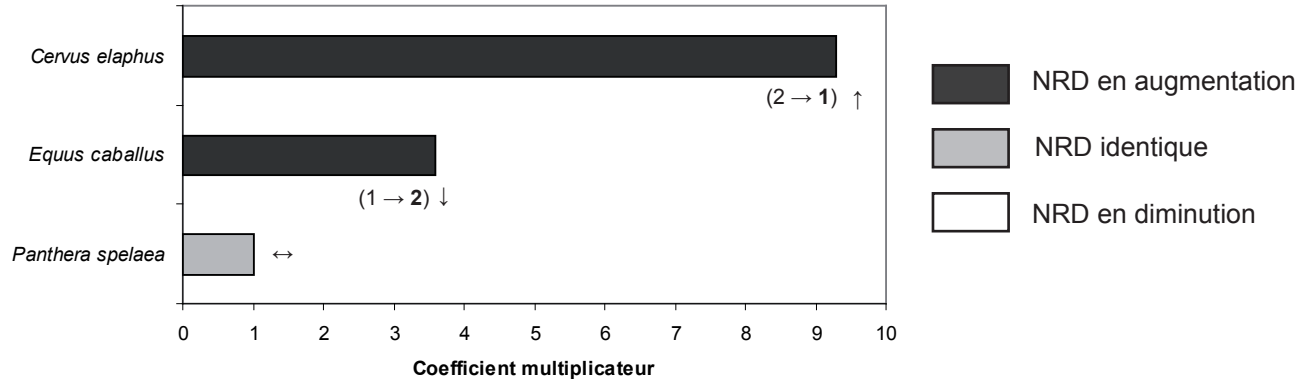
Annexe 22 (La Baume de Gigny) : Températures moyennes annuelle, été et hiver de différentes villes européennes d'après le site web "<http://www.wofrance.fr/weather/maps/city>"



Annexe 23 (La Baume de Gigny) : Evolution des paramètres paléocécologique le long de l'ensemble moyen

Couche XXIa

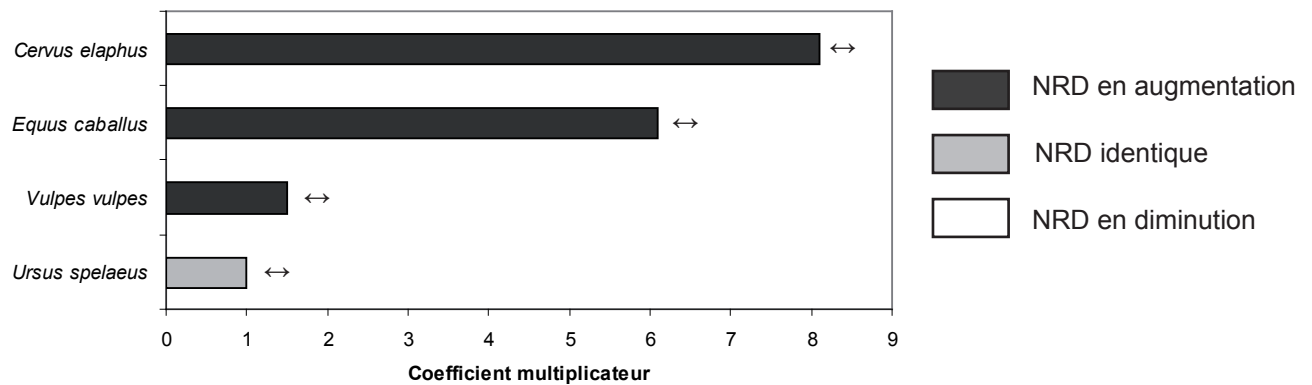
	NRD			NMIc		
	Sans fragment	Avec fragments		Sans fragment	Avec fragments	
<i>Equus caballus</i>	10	36	x 3,6	3	3	
<i>Cervus elaphus</i>	4	37	x 9,3	1	3	+ 2
<i>Panthera spelaea</i>	1	1	x 1	1	1	



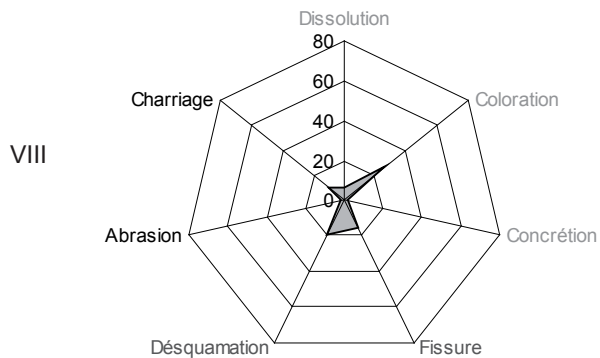
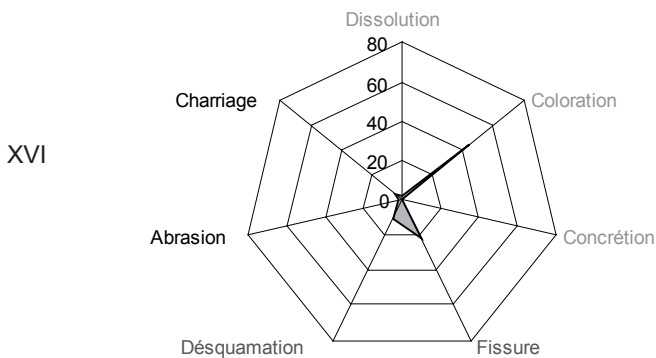
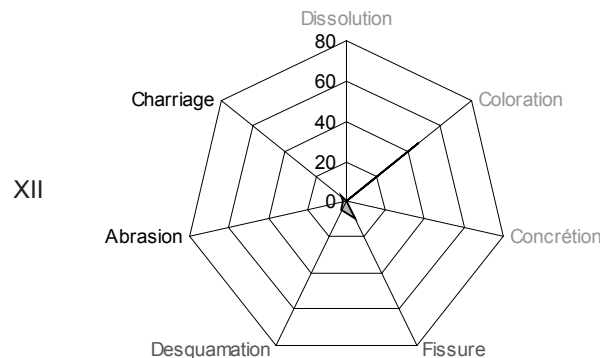
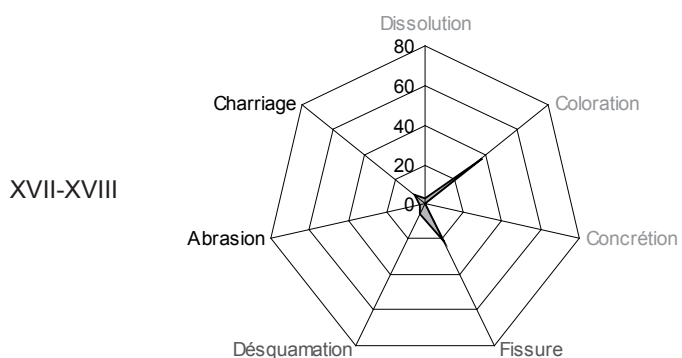
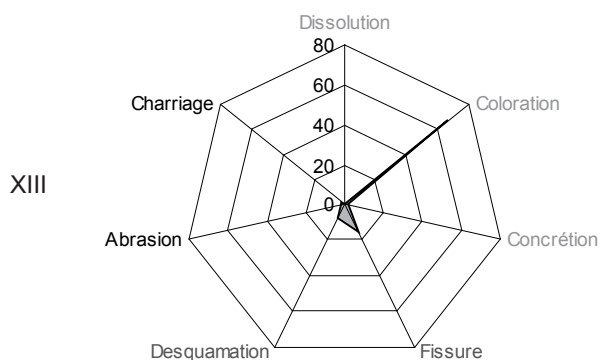
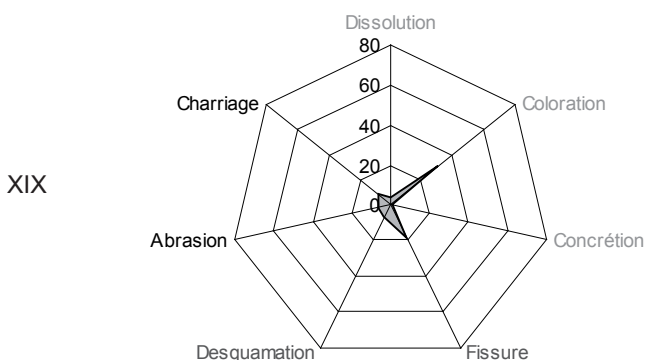
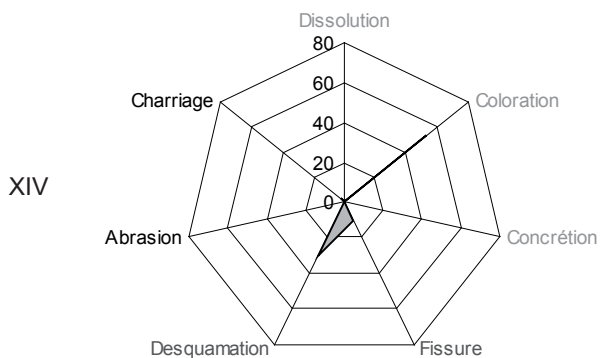
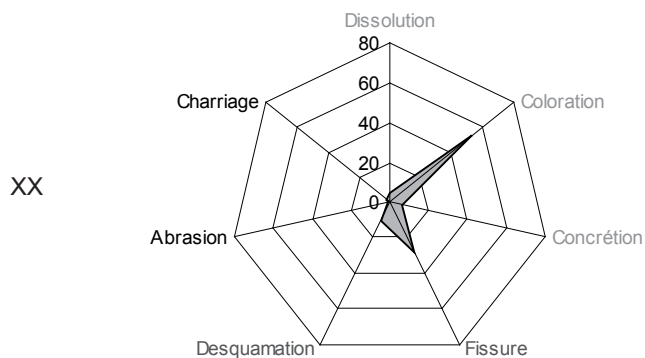
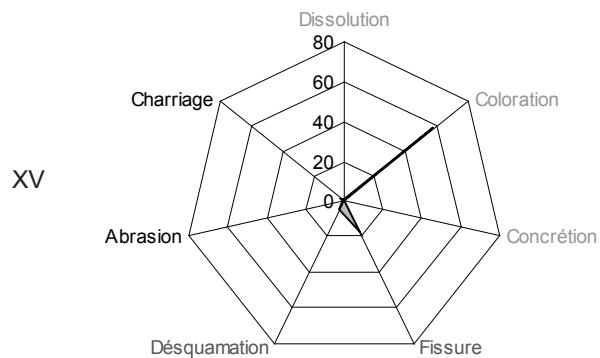
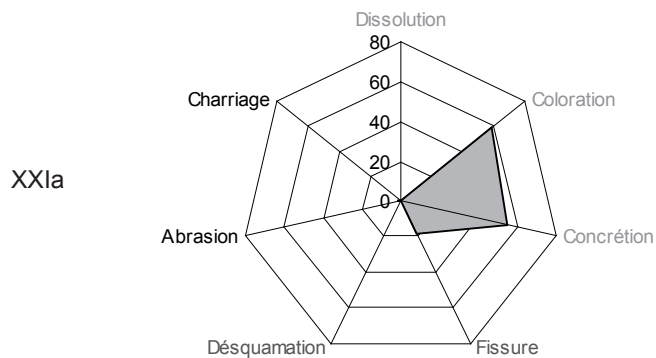
Annexe 24 (La Baume de Gigny ; couche XXIa) : Comparaison entre les spectres de faune sans prise en compte des fragments (monographie, 1989) et avec prise en compte des fragments (cette étude).
 Les données entre parenthèses indiquent le changement de rang de l'espèce.

Couche XX

	NRD			NMIc		
	Sans fragment	Avec fragments		Sans fragment	Avec fragments	
<i>Cervus elaphus</i>	34	275	x 8,1	6	8	+ 2
<i>Equus caballus</i>	18	110	x 6,1	4	6	+ 2
<i>Bison priscus</i>	0	24			2	+ 2
<i>Vulpes vulpes</i>	2	3	x 1,5	1	1	
<i>Ursus spelaeus</i>	2	2	x 1	2	1	- 1



Annexe 25 (La Baume de Gigny ; couche XX) : Comparaison entre les spectres de faune sans prise en compte des fragments (monographie, 1989) et avec prise en compte des fragments (cette étude).
 Les données entre parenthèses indiquent le changement de rang de l'espèce.



Annexe 26 (La Baume de Gigny) : Facteurs abiotiques



	Nb	Zone	Localisation I	Localisation II	Taille	Orientation/Axe	Agencement	Appuyé/Effleuré	Action Anthropique
Fémur	2	DP	Postérieure		Courte	Oblique	Parallèle	Appuyé	Décharnement
	5	DM	Postérieure		Courte	Oblique	Parallèle	Appuyé	Décharnement



	Nb	Zone	Localisation I	Localisation II	Taille	Orientation/Axe	Agencement	Appuyé/Effleuré	Action Anthropique
Côte		Corps	Ventrals		Courte	Oblique <45°	Parallèle	Effleuré	Eviscération
Radius	6	DM	Latérale	Postérieure	Longue	Oblique >45°	Parallèle	Appuyé	Décharnement

Annexe 27 (La Baume de Gigny ; couche XXIa) : Nombre, Localisation et Orientation des stries de découpe sur les éléments squelettiques



	Nb	Zone	Localisation I	Localisation II	Taille	Orientation/Axe	Agencement	Appuyé/Effleuré	Action Anthropique	
Crâne		Faisceau	Maxillaire		Latérale	Longue	Transverse	Parallèle	Appuyé	Désarticulation
Scapula	11	D	Ventrals		Longue	Oblique >45°	Parallèle	Appuyé	Décharnement	
		M	Ventrals		Courte	Oblique <45°	Parallèle	Appuyé	Décharnement	
V. tho	7	Proc Epi	1 Côté		Longue	Oblique >45°	Parallèle	Appuyé	Décharnement	
	2	Corps			Courte	Oblique <45°	Parallèle	Appuyé	Eviscération	
Humérus	5	DD	Médiale	Antérieure	Courte	Oblique <45°	Parallèle	Effleuré	Décharnement	
		DD	Médiale	Antérieure					Raclage	
	3	DD	Postérieure	Latérale	Courte	Oblique <45°	Parallèle	Appuyé	Décharnement	
Radius	7	DM	Postérieure	Latérale	Courte	Oblique <45°	Parallèle	Effleuré	Décharnement	
	4	DM	Postérieure	Latérale	Courte	Oblique <45°	Parallèle	Appuyé	Décharnement	
	8	DM	Latérale	Postérieure	Longue	Oblique >45°	Parallèle	Mixte	Décharnement	
Ulna	2	DM	Latérale	Postérieure	Longue	Oblique >45°	Parallèle	Appuyé	Décharnement	
	3	DP	Postérieure		Courte	Oblique <45°	Parallèle	Appuyé	Décharnement	
Métacarpe	8	P	Antérieure	Latérale	Courte	Transverse	Parallèle	Effleuré	Désarticulation	
Fémur	3	DP	Médiale		Courte	Oblique <45°	Parallèle	Appuyé	Décharnement	
	15	DD	Postérieure	Latérale	Courte	Oblique <45°	Parallèle	Appuyé	Décharnement	
	6	DD	Postérieure	Médiale	Courte	Oblique <45°	Parallèle	Appuyé	Décharnement	
	8	DM + DD	Postérieure	Médiale	Mixte	Mixte	Mixte	Effleuré	Décharnement	
	1	DM	Médiale	Postérieure					Percussion	
	1	DM	Antérieure						Percussion	
Tibia	3	DM	Antérieure		Longue	Oblique >45°	Parallèle	Appuyé	Décharnement	
	1	DM	Latérale	Antérieure					Percussion	
	4	DM	Antérieure	Latérale	Longue	Oblique >45°	Parallèle	Appuyé	Décharnement	
	1	DM	Postérieure	Médiale					Percussion	
		DM	Antérieure						Raclage	
	5	DM	Médiale		Mixte	Oblique >45°	Parallèle	Effleuré	Décharnement	
	2	D	Latérale		Courte	Oblique <45°	Parallèle	Appuyé	Désarticulation* - Dépouillement/Décharnement	
	4	DD	Postérieure	Latérale	Longue	Oblique <45°	Parallèle	Appuyé	Dépouillement	
	6	DD	Postérieure	Latérale	Courte	Oblique <45°	Parallèle	Effleuré	Décharnement	
		DM	Latérale						Raclage	
	1	DM	Postérieure	Médiale	Moyenne	Oblique <45°	Parallèle	Appuyé	Percussion	
	4	DM	Postérieure	Médiale					Décharnement	
	6	DM	Postérieure	Médiale	Courte	Oblique <45°	Parallèle	Effleuré	Décharnement	
	2	DM	Médiale	Antérieure	Courte	Transverse	Parallèle	Effleuré	Décharnement	
	6	DM	Postérieure	Médiale	Courte	Oblique <45°	Parallèle	Effleuré	Décharnement	
1	DM	Médiale		Longue	Oblique >45°	Parallèle	Appuyé	Décharnement		
4	DM	Antérieure	Médiale	Courte	Oblique <45°	Parallèle	Effleuré	Décharnement		
1	DD	Postérieure	Médiale					Percussion		
11	DD	Postérieure	Latérale	Courte	Oblique <45°	Parallèle	Effleuré	Dépouillement		
5	DP	Antérieure	Médiale	Courte	Oblique <45°	Parallèle	Appuyé	Décharnement		
4	DM	Postérieure	Médiale	Longue	Oblique >45°	Parallèle	Effleuré	Décharnement		
3	DP + DM	Médiale	Postérieure	Longue	Oblique >45°	Parallèle	Appuyé	Décharnement		
> 20	DM	Postérieure	Médiale	Courte	Oblique <45°	Parallèle	Effleuré	Raclage		
Métatarse	4	P + DP + DM	Antérieure		Longue	Oblique >45°	Parallèle		Raclage	
		P + DP + DM	Antérieure						Retrait des tendons	



	Nb	Zone	Localisation I	Localisation II	Taille	Orientation/Axe	Agencement	Appuyé/Effleuré	Action Anthropique
Humérus	9	DM	Latérale	Antérieure	Moyenne	Oblique >45°	Parallèle	Effleuré	Décharnement
	4	DM	Latérale	Postérieure	Courte	Oblique <45°	Parallèle	Effleuré	Décharnement
	1	DD	Latérale	Postérieure					Raclage
Fémur		DM	Latérale	Postérieure					Raclage
	1	DM	Latérale	Postérieure					Percussion
	4	DM	Postérieure	Latérale	Courte	Oblique <45°	Parallèle	Appuyé	Décharnement

Annexe 28 (La Baume de Gigny ; couche XX) : Nombre, Localisation et Orientation des stries de découpe sur les éléments squelettiques



Parties du squelette	NR			
	D	G	Indét.	Total
Bois			15	15
Crâne	2	1	2	5
Maxillaire				0
Dents sup.	1	1		2
Total mâchoire sup.	1	1	17	22
Hémi-mandibule				0
Fragment de mandibule	5	10	2	17
Dents inf.			1	1
Total mâchoire inf.	5	11	2	18
Dents indét.				0
Atlas				0
Axis				0
Autres v.cervicales			2	2
V.thoraciques			2	2
V.lombaires				0
Sacrum				0
V.coccygiennes				0
Vertèbres indét.			3	3
Total vertèbres			7	7
Côtes		1	2	3
Scapula	1	3	1	5
Humérus entier				0
Humérus proximal		5		5
Humérus diaphyse	6	12	1	19
Humérus distal				0
Total Humerus	6	17	1	24
Radius entier				0
Radius proximal	1	2		3
Radius diaphyse	4	3	1	8
Radius distal	1	2		3
Total Radius	6	7	1	14
Ulna	1	2		3
Métacarpe entier				0
Métacarpe proximal				0
Métacarpe diaphyse	1		7	8
Métacarpe distal		1		1
Total Métacarpe	1	1	7	9
Pisiforme				0
Pyramidal				0
Semi-lunaire				0
Scaphoïde				0
Unciforme				0
Capitato-trapézoïde				0
Total carpe	0	0	0	0
Coxal	3	3	3	9
Fémur entier				0
Fémur proximal	1	2	1	4
Fémur diaphyse	2	7	7	16
Fémur distal		1	1	2
Total Fémur	3	10	9	22
Patella	1			1
Tibia entier				0
Tibia proximal	1	1		2
Tibia diaphyse	8	24	3	35
Tibia distal		1		1
Total Tibia	9	26	3	38
Métatarse Entier				0
Métatarse proximal	1	1		2
Métatarse diaphyse		2	17	19
Métatarse distal	2	1		3
Total Métatarse	3	4	17	24
Métapodes indét.			14	14
Calcaneum			5	5
Talus	1	1		2
Naviculo-cuboïde	1	1		2
Grand cunéiforme				0
Petit cunéiforme				0
Total tarse	2	7	0	9
Grand sésamoïde				0
Petit sésamoïde				0
Os malléolaire				0
Phalange I	1	1	1	3
Phalange II		1		1
Phalange III	2	1		3
Indéterminé			46	46
Total	45	96	131	275



Parties du squelette	NR			
	D	G	Indét.	Total
Crâne			2	2
Maxillaire				0
Dents sup.	2		1	3
Total mâchoire sup.	2	0	3	5
Hémi-mandibule				0
Fragment de mandibule		3	4	7
Dents inf.	4	2		6
Total mâchoire inf.	4	5	4	13
Dents indét.				0
Atlas				0
Axis				0
Autres v.cervicales				0
V.thoraciques			2	2
V.lombaires			2	2
Sacrum				0
V.coccygiennes				0
Vertèbres indét.				0
Total vertèbres			4	4
Côtes			2	2
Scapula		2	3	5
Humérus entier				0
Humérus proximal				0
Humérus diaphyse	7	3		10
Humérus distal		1	1	2
Total Humerus	7	4	1	12
Radius entier				0
Radius proximal		1		1
Radius diaphyse	1	4		5
Radius distal	1			1
Total Radius	2	5	0	7
Ulna		1		1
Métacarpe entier				0
Métacarpe proximal	1			1
Métacarpe diaphyse				0
Métacarpe distal				0
Total Métacarpe	1	0	0	1
Métacarpe Vest 2				0
Métacarpe Vest 4				0
Pisiforme				0
Pyramidal				0
Semi-lunaire				0
Scaphoïde				0
Unciforme				0
Trapézoïde				0
Grand Os				0
Total carpe	0	0	0	0
Coxal			1	1
Fémur entier				0
Fémur proximal				0
Fémur diaphyse	6	3		9
Fémur distal				0
Total Fémur	6	3	0	9
Patella				0
Tibia entier				0
Tibia proximal				0
Tibia diaphyse	6	11	2	19
Tibia distal		3	1	4
Total Tibia	6	14	3	23
Métatarse Entier				0
Métatarse proximal		2	1	3
Métatarse diaphyse		1		1
Métatarse distal				0
Total Métatarse	0	3	1	4
Métatarse Vest 2				0
Métatarse Vest 4				0
Métapodes Vest Indét			1	1
Métapodes indét.				0
Calcaneum				0
Talus				0
Cuboïde				0
Naviculaire				0
Grand cunéiforme				0
Petit cunéiforme				0
Total tarse	0	0	0	0
Grand sésamoïde				0
Petit sésamoïde				0
Os malléolaire				0
Phalange I			1	1
Phalange II				0
Phalange III				0
Indét			21	21
Total	28	37	45	110



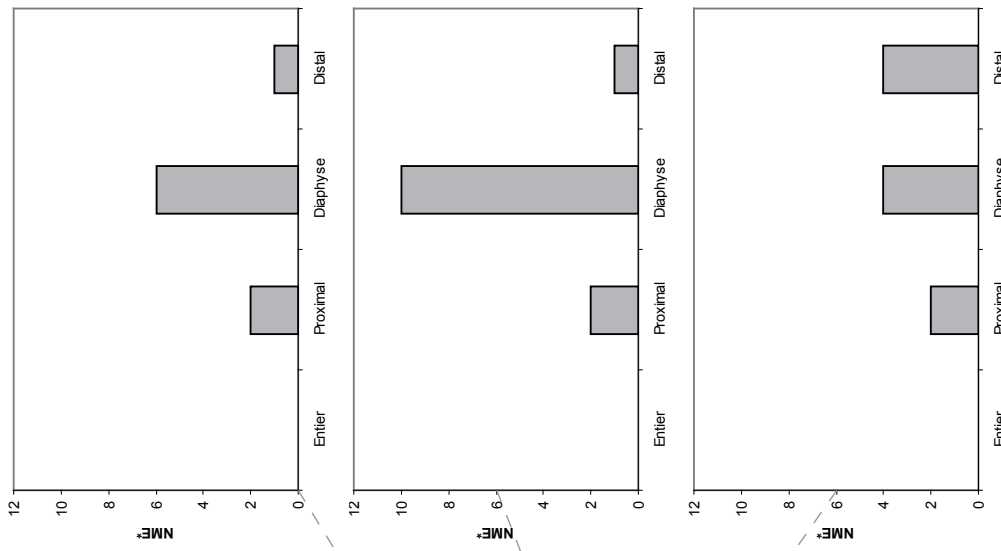
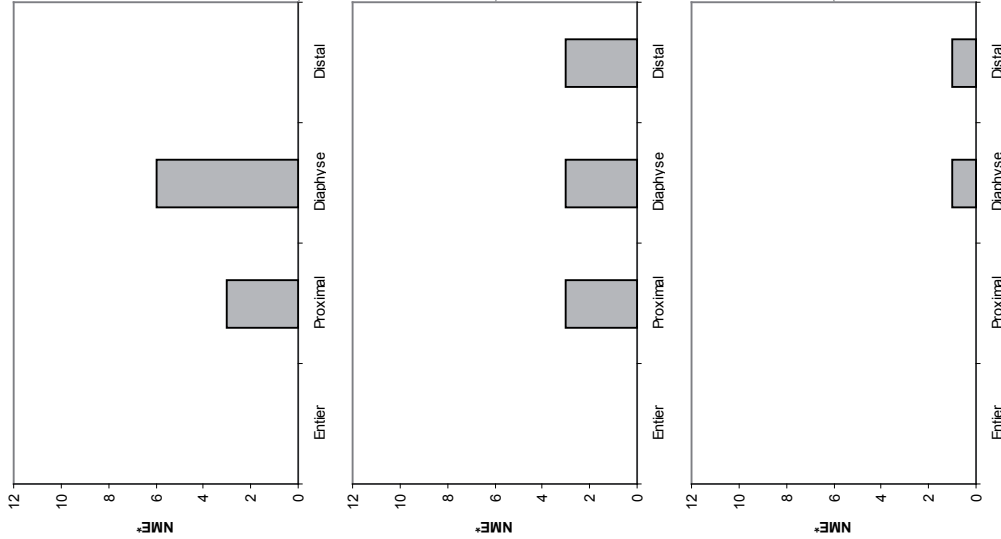
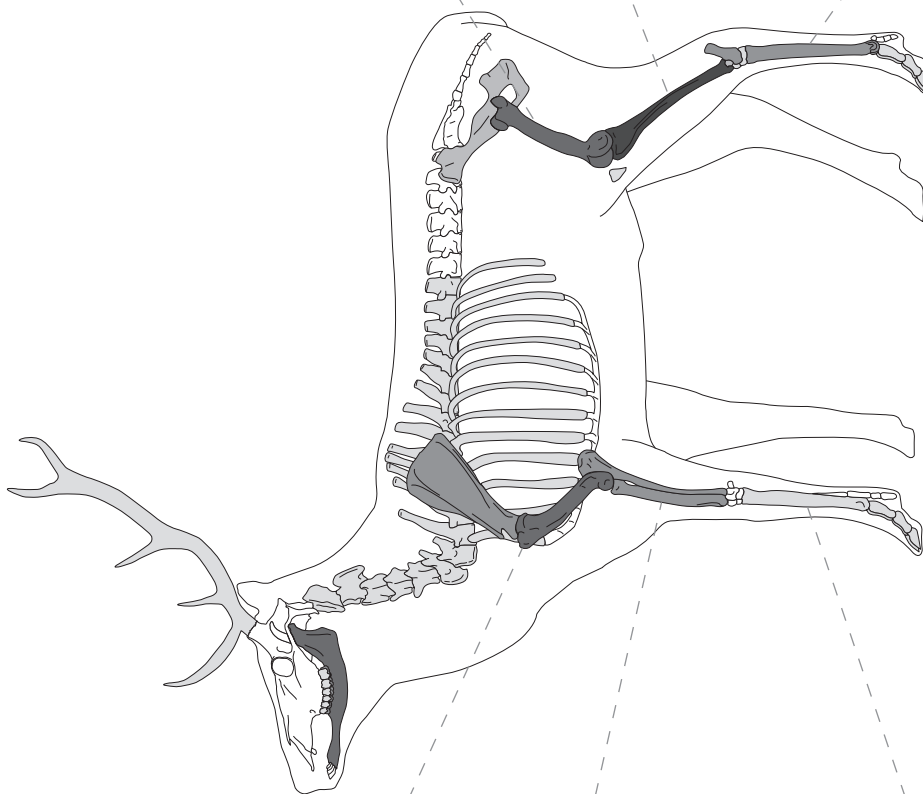
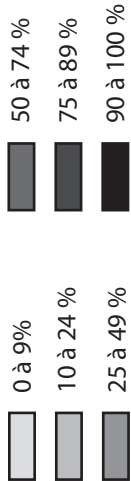
		Squelette	NME Attendu	NME*	MAU	% Survie
Céphalique	Bois	2	12	1	0,5	8,3
	Crâne	1	6	0	0	0
	Mandibule	2	12	8	4	66,7
	Incisive	6	36	0	0	0
	Canine	2	12	0	0	0
	Dent Sup	12	72	4	0,3	5,6
	Dent Inf	12	72	29	2,4	40,3
Ceinture	Scapula	2	12	5	2,5	41,7
	Coxal	2	12	3	2	25
Axial	Vertèbre	27	162	3	0,1	1,9
	Côte	26	156	1	0,04	0,6
Os Long	Humérus	2	12	6	3	50
	Radius	2	12	3	1,5	25
	Ulna	2	12	3	1,5	25
	Métacarpe	2	12	1	0,5	8,3
	Fémur	2	12	6	3	50
	Tibia	2	12	10	5	83,3
	Métatarse	2	12	4	2	33,3
Os Court	Carpe	12	72	0	0	0
	Talus	2	12	2	1	16,7
	Calcaneum	2	12	3	1,5	25
	Tarse	6	36	2	0,3	5,6
	Patella	2	12	1	0,5	8,3
	Sésamoïde	20	120	0	0	0
	Malléole	2	12	0	0	0
Autopode	Phalange 1	8	48	1	0,1	2,1
	Phalange 2	8	48	1	0,1	2,1
	Phalange 3	8	48	3	0,4	6,3

Annexe 30 (La Baume de Gigny ; couche XX) : NME, MAU et pourcentage de survie des restes de Cerf (* NME : individu adulte)



		Squelette	NME Attendu	NME*	MAU	% Survie
Céphalique	Crâne	1	3	1	1	33,3
	Mandibule	2	6	2	1	33,3
	Incisive	12	36	8	0,7	22,2
	Canine	4	12	2	0,5	16,7
	Dent Jugale >	12	36	4	0,3	11,1
	Dent Jugale <	12	36	6	0,5	16,7
Ceinture	Scapula	2	6	2	1	33,3
	Coxal	2	6	1	0,5	16,7
Axial	Vertèbre	31	93	2	0,1	2,2
	Côte	34	102	1	0,03	1
Os Long	Humérus	2	6	4	2	66,7
	Radius	2	6	4	2	66,7
	Ulna	2	6	0	0	0
	Métacarpe	2	6	0	0	0
	Mcc Vest	4	12	0	0	0
	Fémur	2	6	3	1,5	50
	Tibia	2	6	5	2,5	83,3
	Métatarse	2	6	2	1	33,3
	Mtt Vest	4	12	1	0,3	8,3
Os Court	Carpe	14	42	0	0	0
	Talus	2	6	0	0	0
	Calcaneum	2	6	0	0	0
	Autre Tarse	8	24	0	0	0
	Patella	2	6	0	0	0
	Sésamoïde	12	36	0	0	0
Autopode	Phalange 1	4	12	0	0	0
	Phalange 2	4	12	0	0	0
	Phalange 3	4	12	0	0	0

Annexe 31 (La Baume de Gigny ; couche XX) : NME, MAU et pourcentage de survie des restes de Chevaux (* NME : individu adulte)

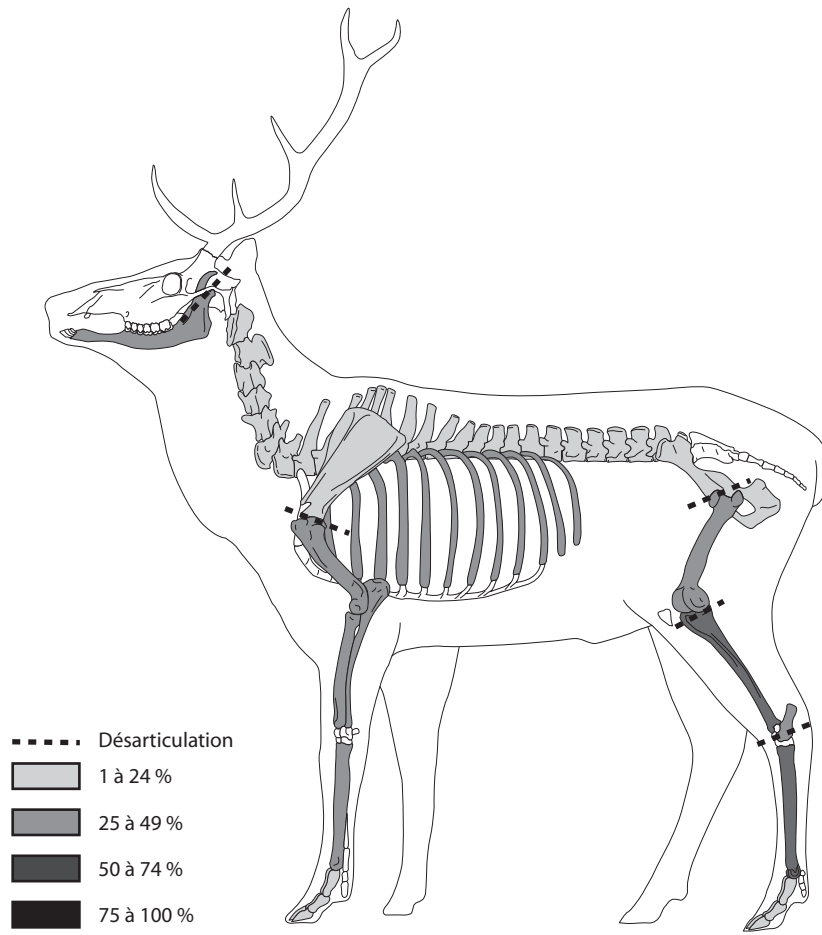


Annexe 32 (La Baume de Gigny ; couche XX) : Représentation squelettique du Cerf.



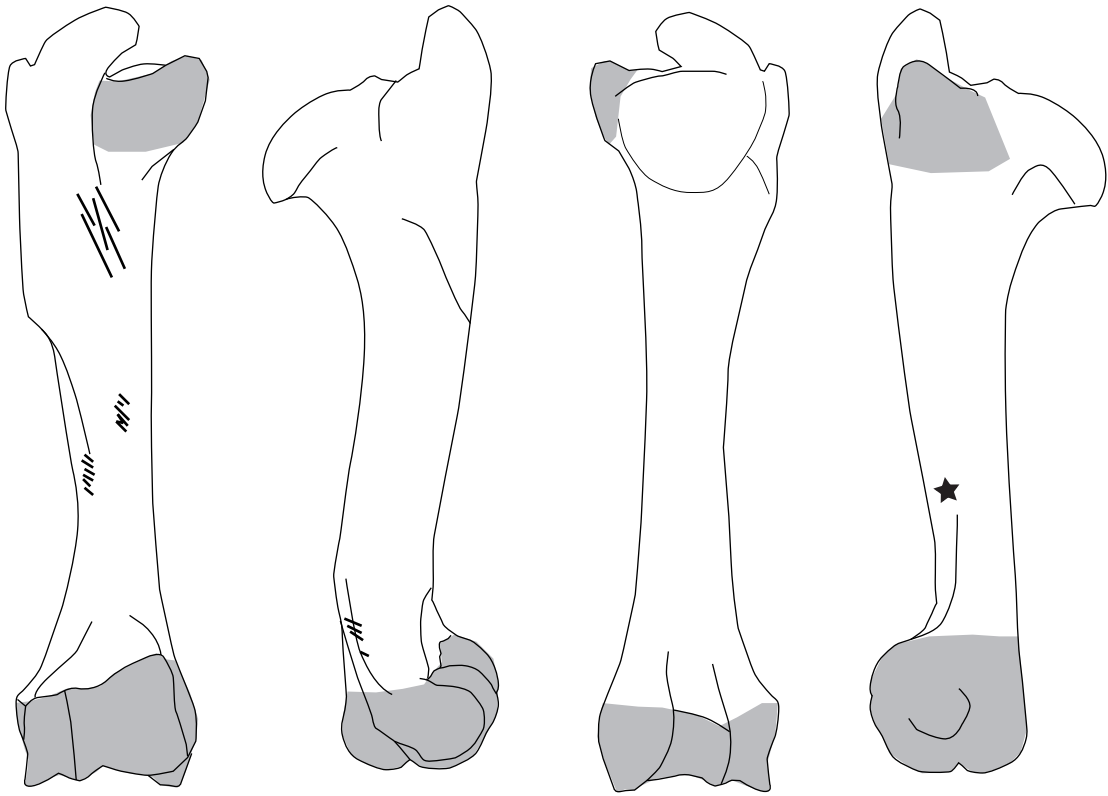
	Nb de stries	Zone	Localisation I	Localisation II	Taille	Orientation/Axe	Agencement	Appuyé/Effleuré	Action Anthropique	
Mandibule	5	BM4	Postérieure		Courte	Oblique <45°	Parallèle	Appuyé	Désarticulation	
	3	BM3	Médiale		Longue	Oblique <45°	Parallèle	Effleuré	Dépouillement/Désarticulation	
	1	BM4	Postérieure	Latérale	Courte	Oblique <45°		Appuyé	Désarticulation	
	11	BM4	Postérieure	Latérale	Courte	Oblique <45°	Parallèle	Appuyé	Désarticulation	
	4	BH2	Latérale		Longue	Oblique <45°	Parallèle	Appuyé	Dépouillement	
Scapula	2	BM4	Postérieure		Courte	Oblique <45°	Parallèle	Appuyé	Désarticulation	
	5	D	Latérale		Courte	Transverse	Parallèle	Oblique <45°	Désarticulation	
Côte	7	Corps	Latérale		Courte	Oblique <45°	Mixte	Appuyé	Décharnement	
Humérus	6	DD	Latérale	Postérieure	Courte	Oblique <45°	Parallèle	Appuyé	Décharnement	
	1	DM	Médiale						Percussion	
	9	DM	Antérieure	Latérale	Courte	Oblique <45°	Parallèle	Appuyé	Décharnement	
	4	DM	Postérieure	Latérale	Courte	Oblique <45°	Parallèle	Effleuré	Décharnement	
	1	DM	Médiale	Latérale					Raclage	
	9	DP	Médiale	Antérieure	Longue	Oblique >45°	Mixte	Appuyé	Décharnement	
	6	DM	Antérieure	Médiale	Courte	Oblique <45°	Parallèle	Effleuré	Décharnement	
Radius	3	DM	Antérieure	Latérale	Courte	Oblique <45°	Parallèle	Effleuré	Décharnement	
	4	DD	Antérieure	Médiale	Courte	Oblique <45°	Parallèle	Appuyé	Décharnement	
	8	DD	Postérieure	Médiale	Courte	Oblique <45°	Parallèle	Appuyé	Décharnement	
	3	DD	Antérieure	Latérale	Moyenne	Oblique >45°	Parallèle	Effleuré	Décharnement	
Ulna	1	DD	Latérale	Postérieure					Percussion	
	3	DP	Postérieure		Courte	Transverse	Parallèle	Effleuré	Décharnement	
Métacarpe	1	DP	Latérale						Percussion	
	10	DM	Postérieure	Latérale	Courte	Oblique <45°	Parallèle	Effleuré	Dépouillement/Récupération des tendons	
	1	DM	Antérieure	Latérale	Longue	Oblique >45°		Effleuré	Récupération des tendons	
	1	DM	Antérieure	Latérale					Percussion	
		DM	Antérieure	L + M					Raclage	
	1	DM	Antérieure	Latérale					Percussion	
Coxal	7	DM	Antérieure	Latérale	Courte	Oblique <45°	Parallèle	Effleuré	Récupération des tendons	
	12	DM	Antérieure	Latérale	Courte	Oblique <45°	Parallèle	Appuyé	Récupération des tendons	
	> 20	DM	Antérieure	Latérale	Courte	Oblique <45°	Parallèle	Appuyé	Récupération des tendons	
	>	A	Latérale		Courte	Transverse	Parallèle	Appuyé	Désarticulation/Décharnement	
Fémur	2	C	Latérale		Courte	Oblique >45°	Parallèle	Appuyé	Décharnement	
	3	E	Latérale		Courte	Transverse	Parallèle	Appuyé	Décharnement	
		DM	Antérieure						Raclage	
Tibia	8	DD	Postérieure	Latérale	Courte	Oblique <45°	Parallèle	Appuyé	Décharnement	
	1	DM	Antérieure						Percussion	
	1	DM	Antérieure						Raclage	
	3	DM	Antérieure		Longue	Oblique >45°	Parallèle	Effleuré	Décharnement	
	1	DM	Postérieure		Longue	Parallèle		Effleuré	Décharnement	
Tibia	1	DP	Médiale						Percussion	
	1	DP	Médiale						Raclage	
	1	DD	Antérieure	Latérale					Percussion	
	3	DD	Antérieure	Latérale	Longue	Oblique >45°	Parallèle	Effleuré	Décharnement	
	1	DP	Antérieure	Latérale					Percussion	
	4	DP	Antérieure	Médiale	Longue	Oblique >45°	Parallèle	Effleuré	Décharnement	
		DP	Postérieure	Médiale					Raclage	
	8	DM	Antérieure		Courte	Oblique <45°	Parallèle	Effleuré	Décharnement	
	9	P	Médiale		Courte	Oblique <45°	Parallèle	Appuyé	Désarticulation	
	>30	DD	Postérieure	Latérale	Courte	Oblique <45°	Parallèle	Effleuré	Désarticulation* - Dépouillement/Décharnement	
		DM	Médiale	Postérieure					Raclage	
	5	DM	Médiale	Postérieure	Longue	Oblique >45°	Parallèle	Appuyé	Décharnement	
	7	DM	Postérieure	Médiale	Courte	Oblique <45°	Parallèle	Effleuré	Décharnement	
	1	DP	Postérieure	Médiale					Raclage	
	1	DP	Postérieure	Médiale					Percussion	
	1	DM	Latérale	Antérieure					Percussion	
	5	DM	Antérieure		Moyenne	Oblique >45°	Parallèle	Effleuré	Décharnement	
15	DP	Antérieure		Courte	Oblique <45°	Parallèle	Effleuré	Décharnement		
Métatarses	2	D	Postérieure	Latérale	Courte	Transverse	Parallèle	Effleuré	Désarticulation* - Dépouillement/Décharnement	
	7	DD	Médiale		Courte	Oblique <45°	Parallèle	Appuyé	Décharnement	
	10	DM	Postérieure	Médiale	Courte	Transverse	Parallèle	Appuyé	Décharnement	
	1	DM	Postérieure	Médiale					Percussion	
	1	DM	Postérieure		Longue	Oblique >45°		Effleuré	Décharnement	
	1	DM	Postérieure	Latérale					Percussion	
	5	DM	Postérieure	Médiale	Courte	Oblique <45°	Parallèle	Appuyé	Décharnement	
	11	DM	Postérieure	Latérale	Courte	Oblique <45°	Parallèle	Appuyé	Décharnement	
	Métatarses	1	DM	Latérale	Antérieure					Raclage
		4	DD	Antérieure	Latérale	Courte	Oblique <45°	Parallèle	Appuyé	Décharnement/Dépouillement
		1	DD	Postérieure	Latérale	Courte	Transverse		Appuyé	Dépouillement
1		DM	Latérale	Antérieure	Courte				Percussion	
3		DM	Latérale	Antérieure	Courte	Oblique <45°	Parallèle	Effleuré	Récupération des tendons	
1		DM	Latérale	Antérieure					Raclage	
5		DM	Antérieure	Latérale	Mixte	Oblique >45°	Parallèle	Appuyé	Récupération des tendons	
1		DM	Latérale						Percussion	
8		DD	Postérieure	Latérale	Courte	Transverse	Parallèle	Appuyé	Dépouillement	
2		DM	Antérieure						Raclage	
1		DM	Latérale	Antérieure					Raclage	
2	DM	Antérieure						Raclage		
2	DM	Antérieure	Latérale	Courte	Oblique <45°	Parallèle	Effleuré	Récupération des tendons		
12	DD	Antérieure	Latérale	Courte	Oblique <45°	Parallèle	Appuyé	Récupération des tendons		
1	DD	Latérale	Postérieure					Percussion		
Métapode	1		Latérale	Postérieure					Raclage	
Talus	2	Ant.			Courte	Oblique <45°		Effleuré	Désarticulation	
Calcaneum	1		Antérieure		Courte	Transverse			Désarticulation* - Dépouillement/Décharnement	
	4	Prox.	Latérale		Courte	Oblique <45°	Parallèle	Appuyé	Désarticulation* - Dépouillement/Décharnement	
Phalange 2	3	P	Latérale		Courte	Oblique <45°	Parallèle	Appuyé	Dépouillement	

Annexe 33 (La Baume de Gigny ; couche XX) : Nombre, Localisation et Orientation des stries de découpe sur les éléments squelettiques



Annexe 34 (La Baume de Gigny ; couche XX) : Pourcentage de restes de Cerf avec des stries anthropiques (couche XX ; La Baume de Gigny)

NRDa = 6



Antérieure

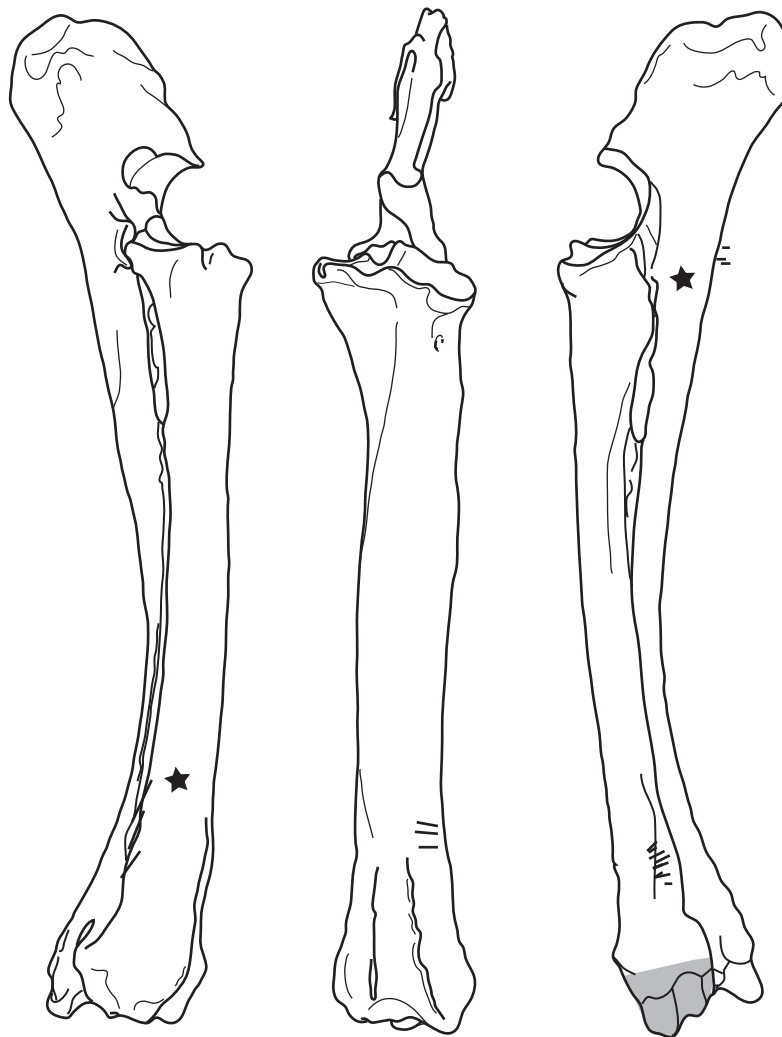
Latérale

Postérieure

Médiale

— Strie de découpe

NRDa = 4



Médiale

Antérieure

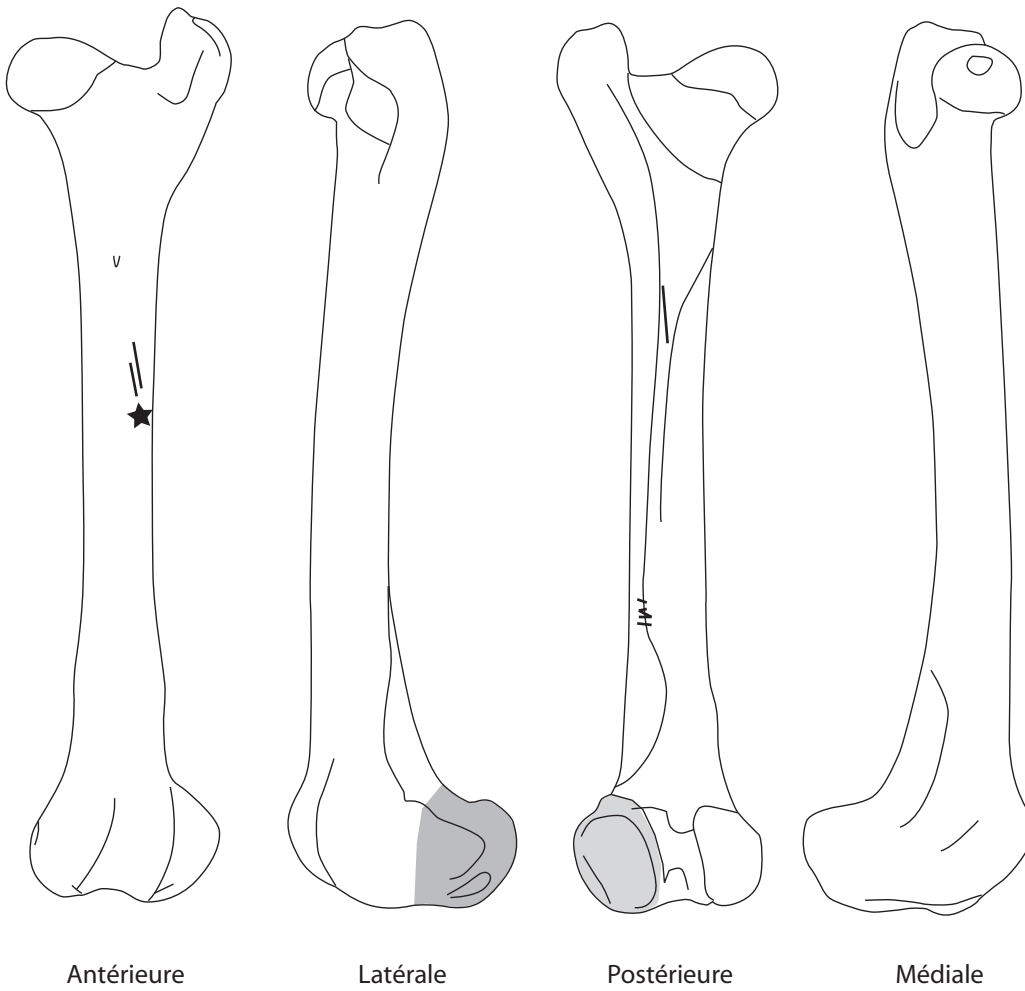
Latérale

★ Point d'impact

Partie absente

Annexe 35 (La Baume de Gigny ; couche XX) : Localisation des stries de découpe et des points d'impact sur l'humérus et le radio-ulnaire de Cerf.

NRDa = 4



Antérieure

Latérale

Postérieure

Médiale

— Strie de découpe

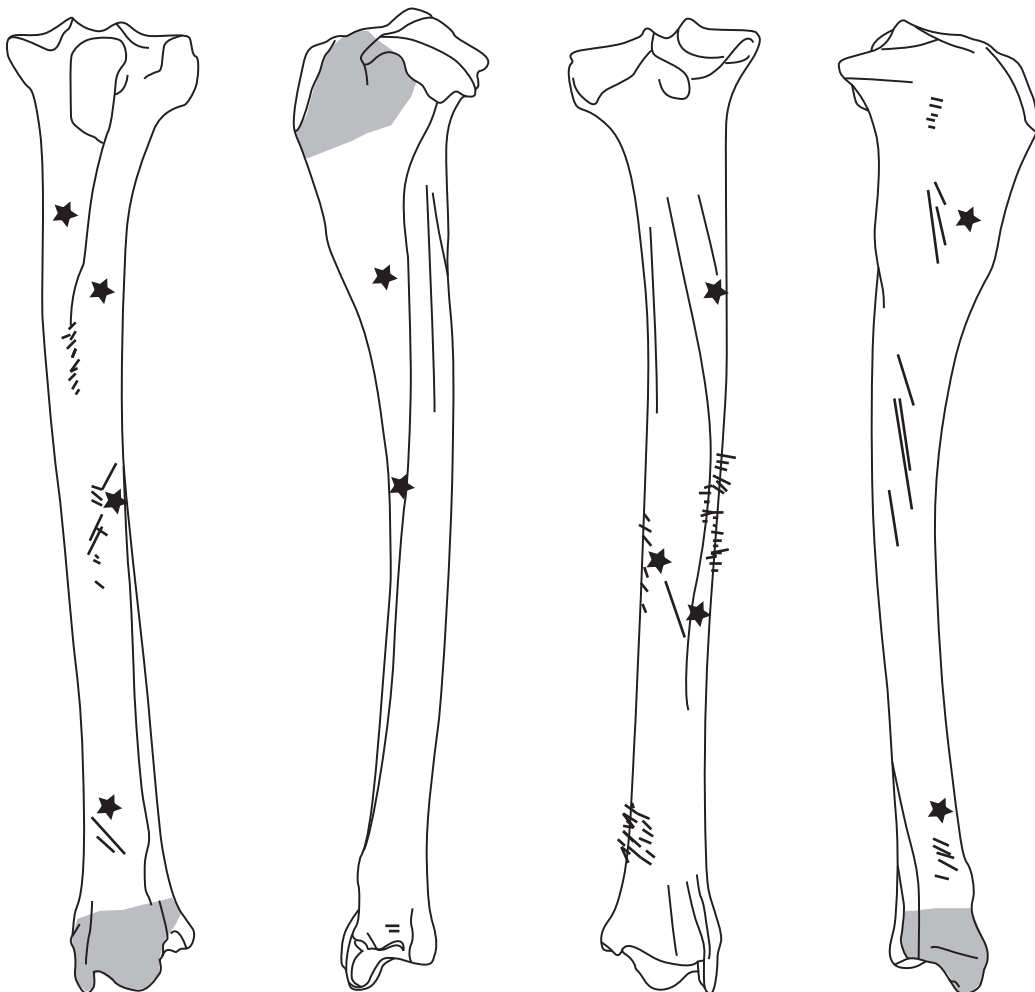
★ Point d'impact



Partie absente

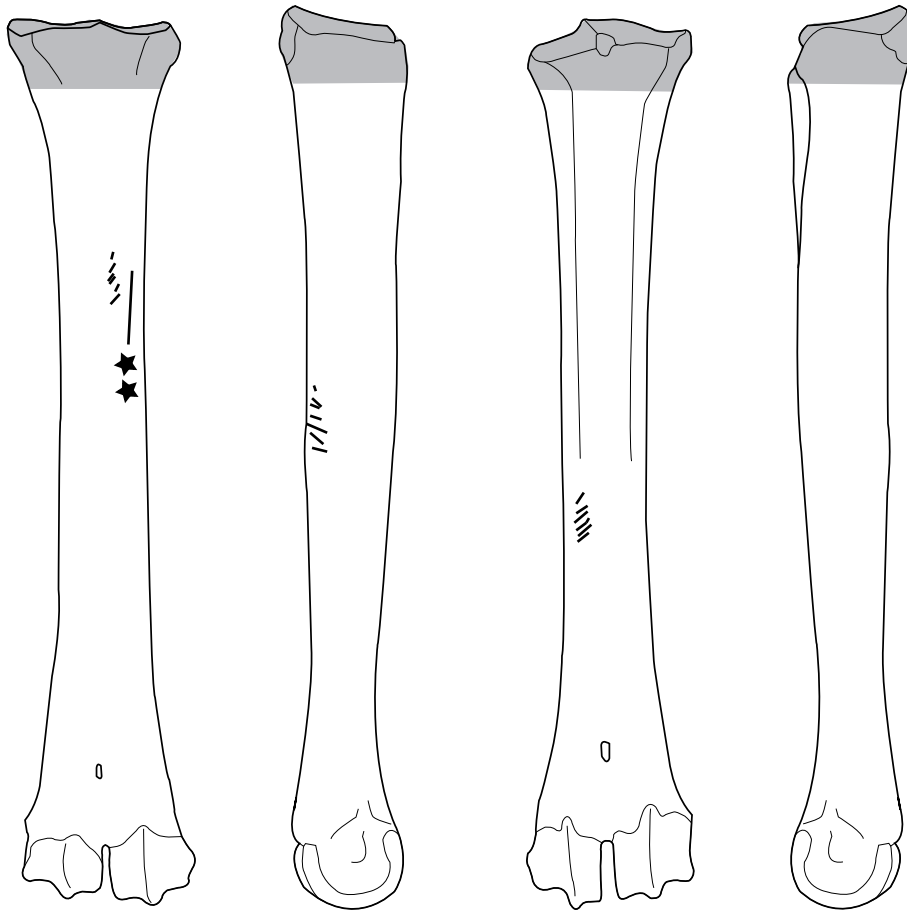


NRDa = 16



Annexe 36 (La Baume de Gigny ; couche XX) : Localisation des stries de découpe et des points d'impact sur le fémur et le tibia de Cerf

NRDa = 3



Antérieure

Latérale

Postérieure

Médiale

— Strie de découpe

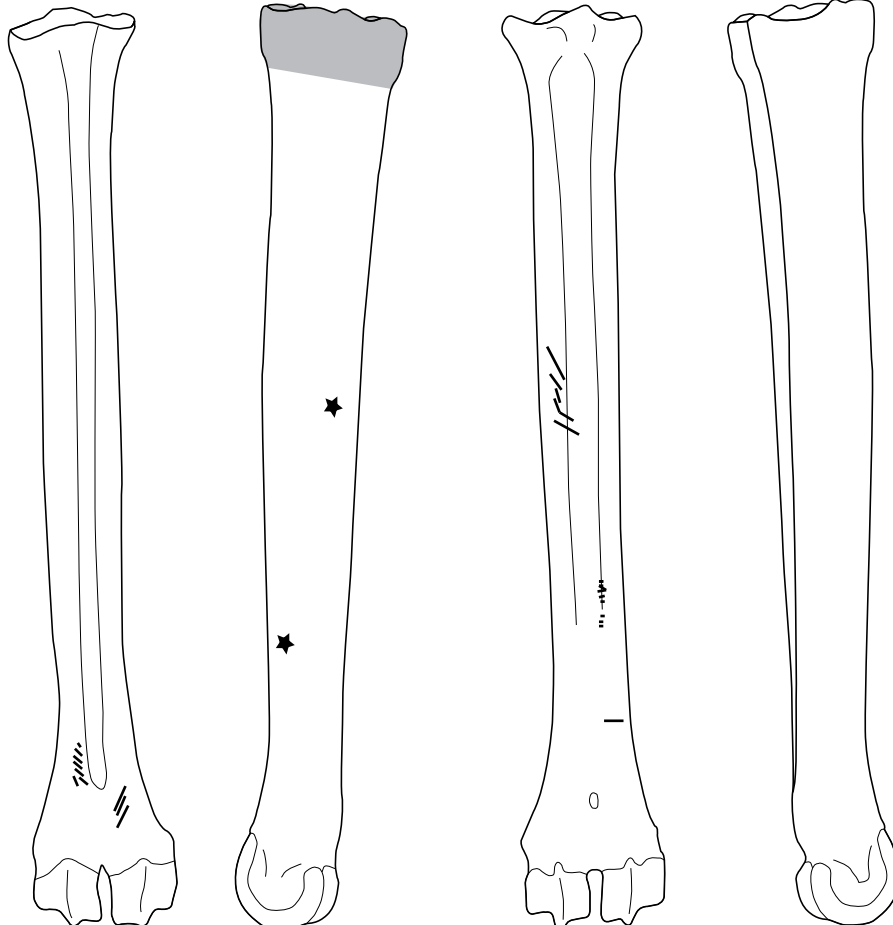
★ Point d'impact



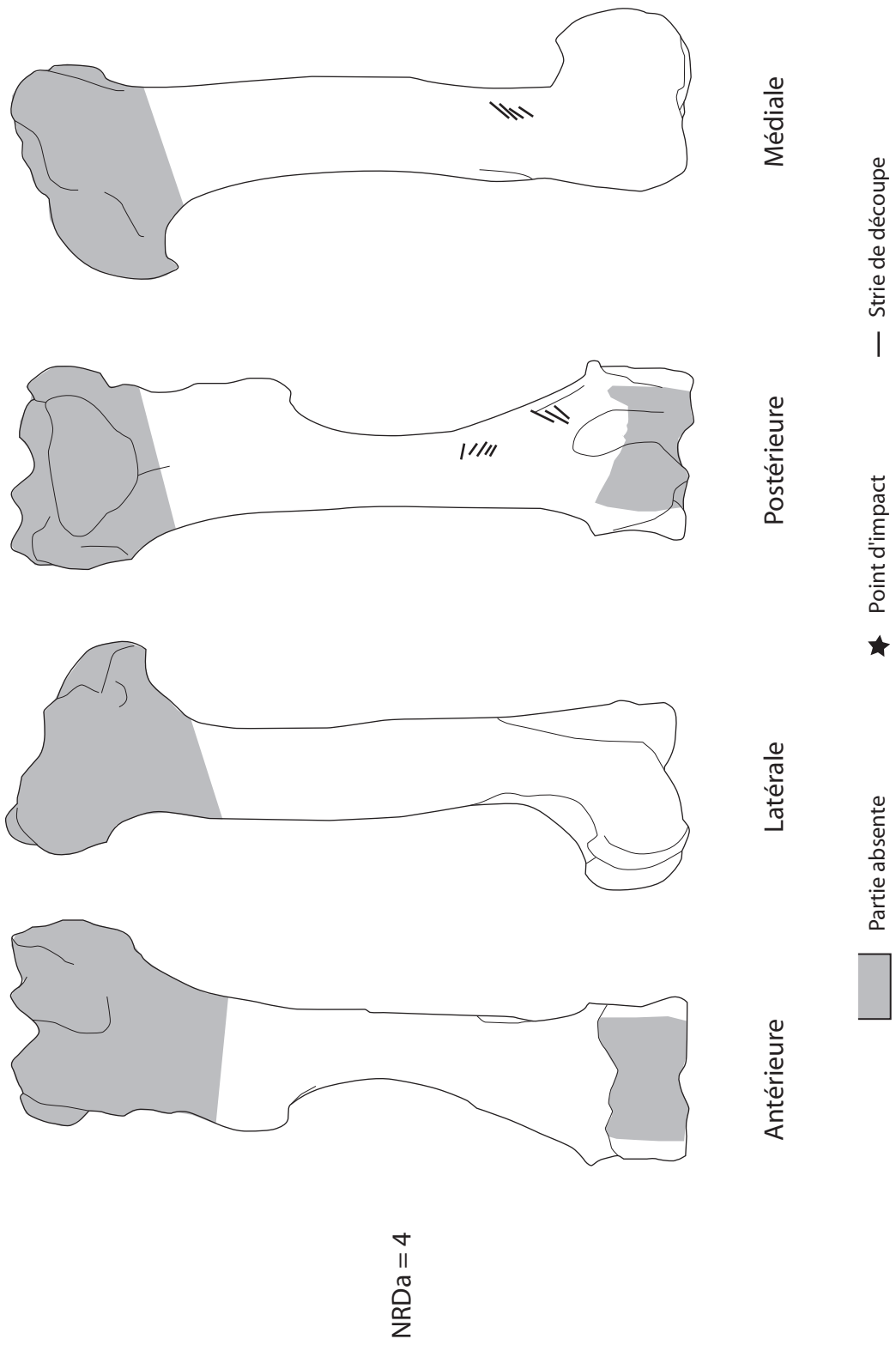
Partie absente



NRDa = 10

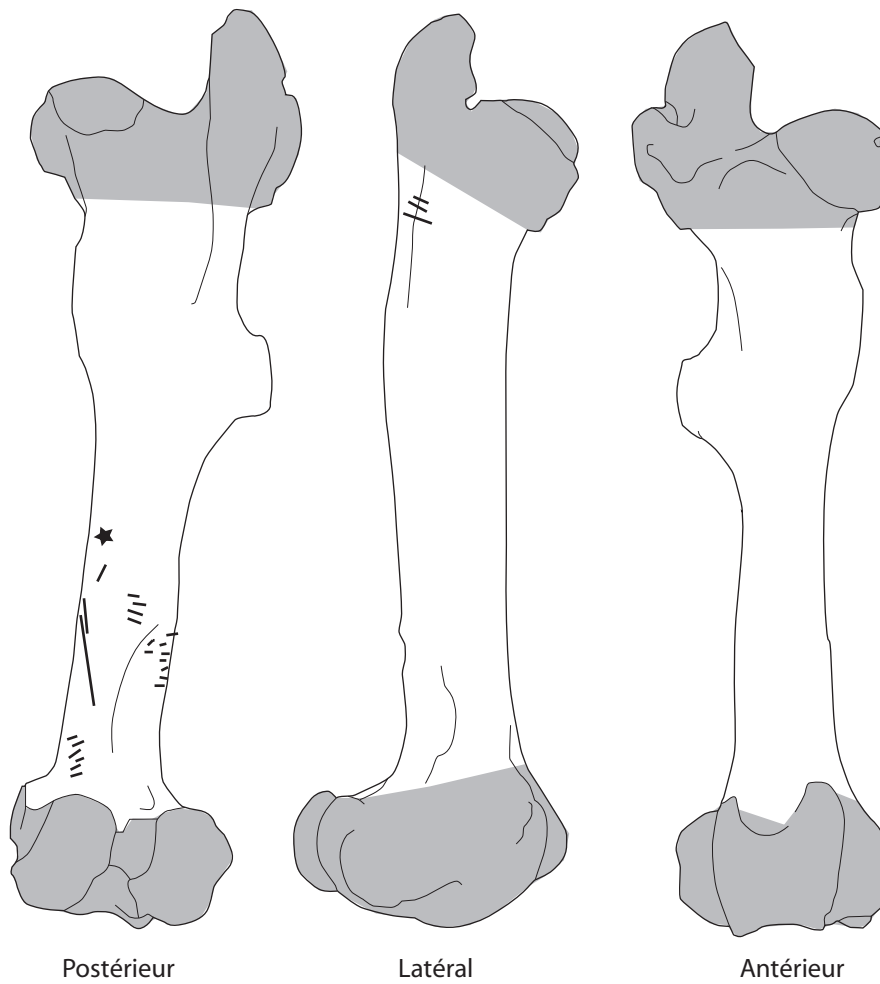


Annexe 37 (La Baume de Gigny; couche XX) : Localisation des stries de découpe et des points d'impact sur le métacarpe et le métatarse de Cerf.

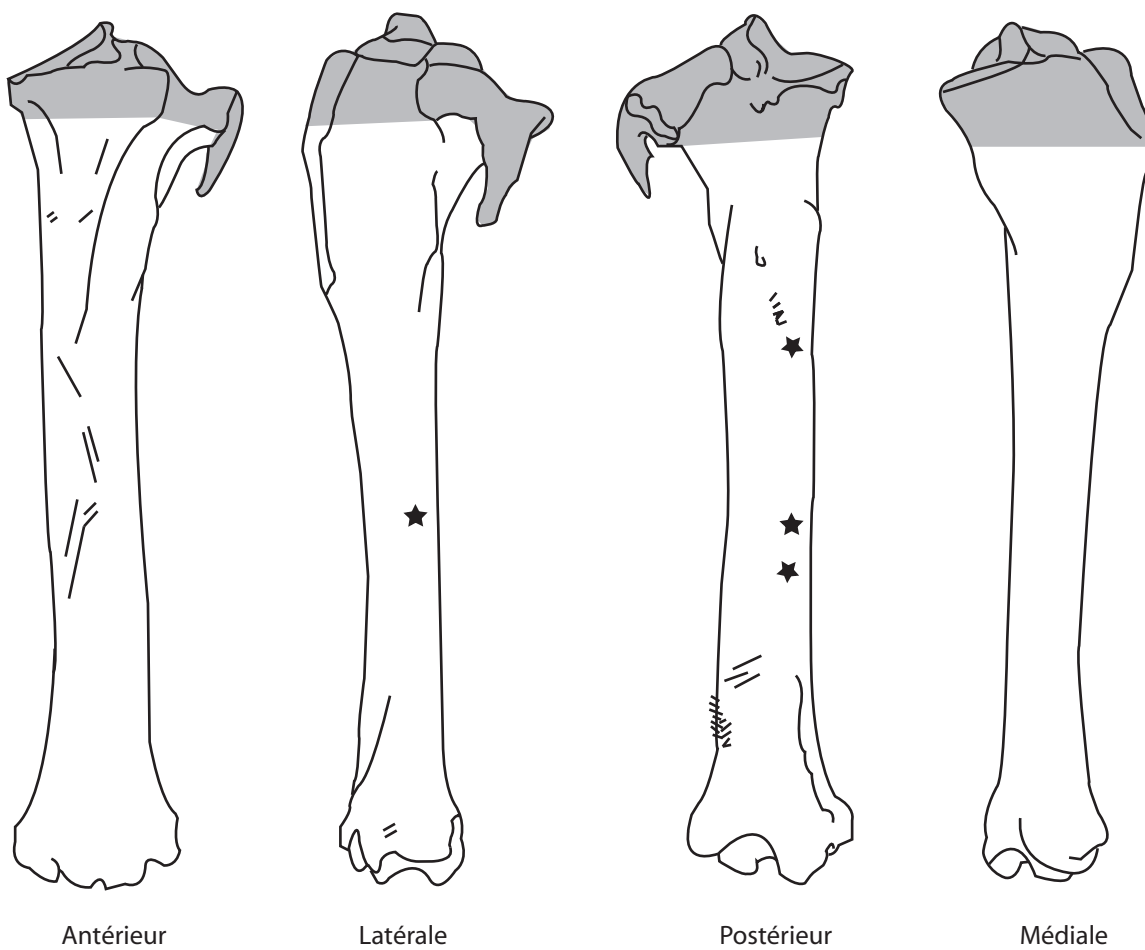


Annexe 38 (La Baume de Gigny; couche XX) : Localisation des stries de découpe et des points d'impact sur l'humérus de Cheval

NRDa = 5



NRDa = 9

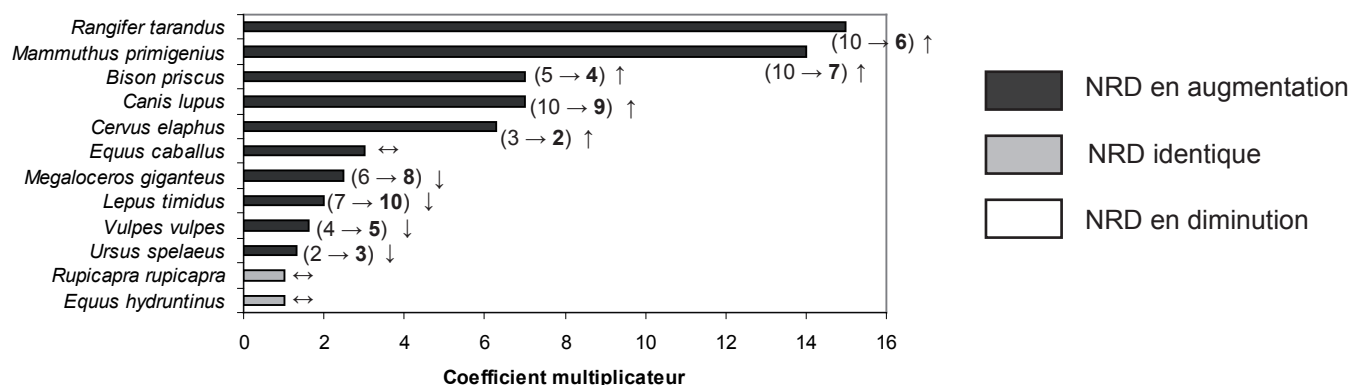


Annexe 39 (La Baume de Gigny ; couche XX) : Localisation des stries de découpe et des points d'impact sur le fémur et le tibia de Cheval.

N°	Caractéristiques générales de la pièce										Détail plage d'utilisation						Détail impact			
	Espèce	Partie anat	L	I	e	Profil	Nb de plage	Long Pl	Larg Pl	Localisation	Entièrement	Raclage	Long	Densité	Intensité	Profondeur	Orientation	Morpho		
340	Cerf	Diap Os Lg	69,1	21,4	11,4	Plat	1	5	7	Ext	Non	Non	Long	Moyenne	Faible	Moyenne	Oblique D	Ligne		
248	Cerf	Métatarse	57,7	21,2	10,0	Convexe	1	11	7	Ext	Non	Non	Courte	Forte	Moyenne	Faible	Oblique D	Ligne		
507	Cerf	Métatarse	107,8	24,7	13,7	Convexe	1	11	13	Milieu	Non	Non	Moyenne	Forte	Moyenne	Moyenne	Transverse	Demi-lune		
252	Equidé	Diap Os Lg	99,4	38,4	14,9	Convexe	2	12	6	Ext	Oui	Non	Courte	Faible	Moyenne	Faible	Oblique G	Demi-lune		
								5	4	Ext	Non	Non	Long	Forte	Faible	Faible	Oblique D	Ligne		
598	Grand	Diap Os Lg	76,6	31,1	12,5	Plat	1	21	13	Ext	Non	Oui	Long	Forte	Moyenne	Faible	Oblique D	Ligne		
613	Cerf	Tibia	56,9	26,7	12,7	Convexe	1	14	9	Ext	Non	Non	Courte	Faible	Faible	Variable	Variable	Demi-lune		
509	Cerf	Radius	63,7	29,2	10,0	Convexe	1	7	8	Milieu	Oui	Oui	Moyenne	Forte	Moyenne	Profond	Transverse	Demi-lune		
373	Cerf	Diap Os Lg	59,4	24,7	10,7	Plat	2	13	8	Ext	Non	Oui	Courte	Forte	Faible	Profond	Transverse	Demi-lune		
585	Cerf	Tibia	93,1	26,5	16,0	Convexe	1	13	8	Ext	Oui	Oui	Courte	Moyenne	Moyenne	Faible	Oblique D	Demi-lune		
506	Equidé	Radius	101,8	33,0	11,9	Convexe	1	12	8	Ext	Non	Non	Moyenne	Moyenne	Moyenne	Faible	Oblique G	ies 2		
290	Equidé	Diap Os Lg	64,4	40,6	12,0	Plat	1	15	10	Ext	Non	Oui	Courte	Forte	Moyenne	Profond	Transverse	Demi-lune		
339	Equidé	Diap Os Lg	47,6	38,4	16,3	Convexe	2	8	5	Ext	Oui	Non	Long	Moyenne	Moyenne	Faible	Oblique G	Ligne		
621	Equidé	Diap Os Lg	50,9	15,6	9,8	Plat	1	12	7	Milieu	Non	Oui	Moyenne	Forte	Forte	Profond	Oblique D	Ligne		
344	Cerf	Fémur	70,0	28,9	10,0	Plat	1	16	13	Ext	Oui	Oui	Courte	Faible	Faible	Moyenne	Oblique D	Ligne		
628	Cerf	Métatarse	78,6	24,6	13,8	Convexe	1	4	7	Ext	Non	Oui	Courte	Forte	Forte	Profond	Oblique D	ies 2		
267	Cerf	Diap Os Lg	69,9	27,1	11,1	Convexe	1	11	13	Ext	Non	Oui	Long	Faible	Moyenne	Profond	Transverse	Demi-lune		
551	Equidé	Humerus	87,5	49,3	18,8	Plat	1	16	11	Ext	Oui	Oui	Courte	Forte	Forte	Profond	Oblique D	Ligne		
626	Grand		73,2	34,4	15,7	Convexe	2	27	10	Ext	Non	Oui	Courte	Faible	Moyenne	Faible	Oblique G	Ligne		
155	Cerf	Tibia	102,8	29,4	14,8	Convexe	2	11	10	Ext	Non	Oui	Courte	Forte	Forte	Profond	Transverse	Demi-lune		
620	Equidé	Diap Os Lg	85,0	43,0	17,5	Convexe	1	16	11	Ext	Non	Oui	Long	Moyenne	Moyenne	Moyenne	Oblique D	Ligne		
317	Moyenne	Diap Os Lg	60,4	28,7	10,2	Convexe	1	22	8	Ext	Non	Non	Moyenne	Moyenne	Moyenne	Moyenne	Oblique D	Demi-lune		
324	Equidé	Diap Os Lg	90,7	33,7	10,9	Convexe	1	8	10	Ext	Non	Oui	Courte	Faible	Moyenne	Profond	Transverse	Demi-lune		
623	Grand	Diap Os Lg	87,0	29,0	14,0	Plat	2	7	9	Ext	Non	Non	Courte	Moyenne	Moyenne	Profond	Variable	ies 2		
619	Cerf	Diap Os Lg	62,2	25,7	9,1	Convexe	1	16	11	Ext	Non	Oui	Courte	Faible	Faible	Faible	Transverse	Demi-lune		
622	Equidé	Coxal	68,6	53,8	20,7	Convexe	1	14	11	Milieu	Non	Non	Moyenne	Faible	Moyenne	Moyenne	Transverse	Demi-lune		
627	Cerf	Diap Os Lg	48,0	31,8	13,3	Convexe	1	18	9	Ext	Non	Non	Long	Forte	Moyenne	Profond	Oblique G	Ligne		
629	Cerf	Diap Os Lg	54,0	19,6	8,7	Convexe	1	5	3	Milieu	Non	Non	Courte	Faible	Faible	Faible	Transverse	Demi-lune		
58	Cerf	Métapode	82,8	20,9	9,3	Convexe	1	7	5	Ext	Oui	Oui	Courte	Faible	Faible	Faible	Oblique G	Ligne		
527	Cerf	Coxal	55,3	37,5	15,0	Convexe	1	9	13	Milieu	Oui	Non	Courte	Moyenne	Faible	Profond	Transverse	Demi-lune		
625	Cerf	Diap Os Lg	55,1	38,6	8,1	Plat	1	13	14	Milieu	Non	Oui	Courte	Moyenne	Moyenne	Faible	Variable	Ligne		

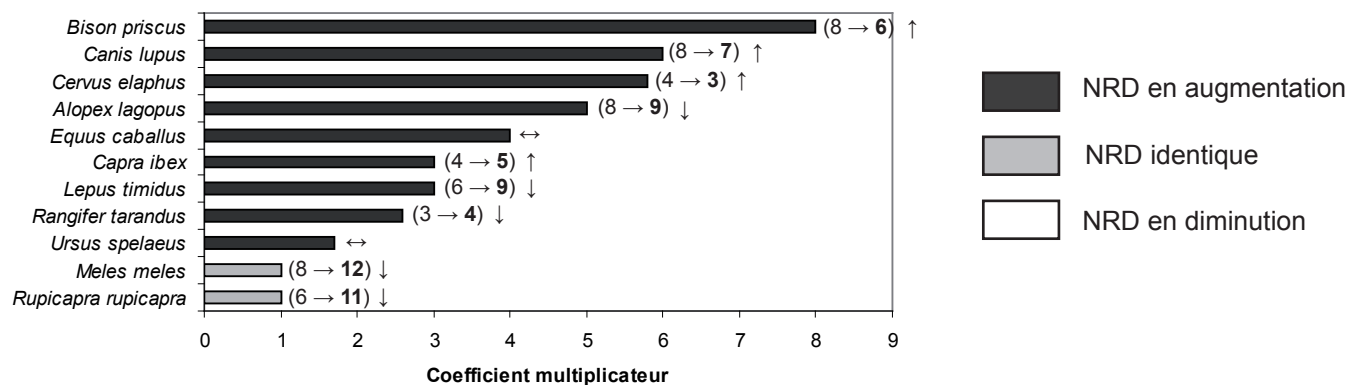
Couche XIX

	NRD			NMlc		
	Sans fragment	Avec fragments		Sans fragment	Avec fragments	
<i>Equus caballus</i>	104	314	x 3	14	13	- 1
<i>Cervus elaphus</i>	36	225	x 6,3	2	7	+ 5
<i>Bison priscus</i>	9	63	x 7	1	2	+ 1
<i>Rangifer tarandus</i>	1	15	x 15	1	1	
<i>Mammuthus primigenius</i>	1	14	x 14	1	1	
<i>Megaloceros giganteus</i>	4	10	x 2,5	1	1	
<i>Rupicapra rupicapra</i>	2	2	x 1	2	1	- 1
<i>Equus hydruntinus</i>	1	1	x 1	1	1	
<i>Ursus spelaeus</i>	76	102	x 1,3	4	9	+ 5
<i>Vulpes vulpes</i>	14	22	x 1,6	1	2	+ 1
<i>Canis lupus</i>	1	7	x 7	1	2	+ 1
<i>Lepus timidus</i>	3	6	x 2	1	1	
<i>Mustelidae</i>	2	0		1		- 1



Couche XVII
XVIII

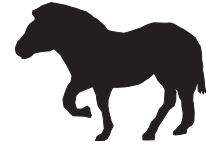
	NRD			NMlc		
	Sans fragment	Avec fragments		Sans fragment	Avec fragments	
<i>Equus caballus</i>	13	52	x 4	3	7	+ 4
<i>Cervus elaphus</i>	4	23	x 5,8	2	3	+ 1
<i>Rangifer tarandus</i>	7	18	x 2,6	3	2	- 1
<i>Capra ibex</i>	4	12	x 3	2	2	
<i>Bison priscus</i>	1	8	x 8	1	1	
<i>Megaloceros giganteus</i>		5			1	+ 1
<i>Rupicapra rupicapra</i>	2	2	x 1	1	1	
<i>Coelodonta antiquitatis</i>		1			1	+ 1
<i>Ursus spelaeus</i>	50	83	x 1,7	3	6	+ 3
<i>Canis lupus</i>	1	6	x 6	1	2	+ 1
<i>Alopex lagopus</i>	1	5	x 5	1	1	
<i>Vulpes vulpes</i>		3			1	+ 1
<i>Meles meles</i>	1	1	x 1	1	1	
<i>Lepus timidus</i>	2	6	x 3	1	1	
<i>Castor fiber</i>		2			1	+ 1



Annexe 41 (La Baume de Gigny) : Comparaison entre les spectres de faune sans prise en compte des fragments (monographie, 1989) et avec prise en compte des fragments (cette étude).
Les données entre parenthèses indiquent le changement de rang de l'espèce.



Parties du squelette	NR			
	D	G	Indét.	Total
Bois			7	7
Crâne			1	1
Maxillaire				0
Dents sup.	1	1		2
Total mâchoire sup.	1	1	8	10
Hémi-mandibule				0
Fragment de mandibule	2	2		4
Dents inf.	1			1
Total mâchoire inf.	3	2	0	5
Dents indét.			1	1
Atlas				0
Axis				0
Autres v.cervicales			1	1
V.thoraciques				0
V.lombaires				0
Sacrum			2	2
V.coccygiennes				0
Vertèbres indét.				0
Total vertèbres			3	3
Côtes				0
Scapula	2	4	3	9
Humérus entier				0
Humérus proximal				0
Humérus diaphyse	8	6		14
Humérus distal		1		1
Total Humerus	8	7	0	15
Radius entier				0
Radius proximal	1	2		3
Radius diaphyse	6	8	3	17
Radius distal				0
Total Radius	7	10	3	20
Ulna	1	9		10
Métacarpe entier				0
Métacarpe proximal			1	1
Métacarpe diaphyse			10	10
Métacarpe distal		1	3	4
Total Métacarpe	0	1	14	15
Pisiforme				0
Pyramidal				0
Semi-lunaire				0
Scaphoïde		2		2
Unciforme				0
Capitato-trapézoïde				0
Total carpe	0	2	0	2
Coxal	1	3	1	5
Fémur entier				0
Fémur proximal		1		1
Fémur diaphyse	5	9	4	18
Fémur distal	3	1		4
Total Fémur	8	11	4	23
Patella	1			1
Tibia entier				0
Tibia proximal		1		1
Tibia diaphyse	11	15		26
Tibia distal	2			2
Total Tibia	13	16	0	29
Métatarse Entier				0
Métatarse proximal				0
Métatarse diaphyse			15	15
Métatarse distal	1	1		2
Total Métatarse	1	1	15	17
Métapodes indét.			20	20
Calcaneum				0
Talus		1		1
Naviculo-cuboïde	1			1
Grand cunéiforme				0
Petit cunéiforme				0
Total tarse	1	1	0	2
Grand sésamoïde		1		1
Petit sésamoïde				0
Os malléolaire				0
Phalange I	3	1	1	5
Phalange II		2		2
Phalange III	1	2		3
Indéterminé			27	27
Total	51	74	100	225



Parties du squelette	NR			
	D	G	Indét.	Total
Crâne			6	6
Maxillaire			4	4
Dents sup.	20	19	9	48
Total mâchoire sup.	20	19	19	58
Hémi-mandibule				0
Fragment de mandibule	4	8	14	26
Dents inf.	15	22	6	43
Total mâchoire inf.	19	30	20	69
Dents indét.		1	8	9
Atlas				0
Axis				0
Autres v.cervicales			1	1
V.thoraciques			5	5
V.lombaires			1	1
Sacrum		2		2
V.coccygiennes				0
Vertèbres indét.				0
Total vertèbres			9	9
Côtes				0
Scapula	3	2	2	7
Humérus entier		1		1
Humérus proximal	1	1		2
Humérus diaphyse	16	7	1	24
Humérus distal	1	1		2
Total Humerus	18	10	1	29
Radius entier				0
Radius proximal		1		1
Radius diaphyse	5	4	3	12
Radius distal		1	1	2
Total Radius	5	6	4	15
Ulna	3	1	2	6
Métacarpe entier				0
Métacarpe proximal				0
Métacarpe diaphyse			6	6
Métacarpe distal				0
Total Métacarpe	0	0	6	6
Métacarpe Vest 2		1		1
Métacarpe Vest 4				0
Pisiforme				0
Pyramidal				0
Semi-lunaire		1		1
Scaphoïde				0
Unciforme				0
Trapézoïde				0
Grand Os		1		1
Total carpe	0	2	0	2
Coxal	1	2	5	8
Fémur entier				0
Fémur proximal				0
Fémur diaphyse	10	10	5	25
Fémur distal	1	1		2
Total Fémur	11	11	5	27
Patella				0
Tibia entier				0
Tibia proximal	1	1		2
Tibia diaphyse	13	11	6	30
Tibia distal		2		2
Total Tibia	14	14	6	34
Métatarse Entier				0
Métatarse proximal				0
Métatarse diaphyse			2	2
Métatarse distal				0
Total Métatarse	0	0	2	2
Métatarse Vest 2	1			1
Métatarse Vest 4				0
Métapodes Vest Indét				0
Métapodes indét.			2	2
Calcaneum	1			1
Talus	1			1
Cuboïde				0
Naviculaire				0
Grand cunéiforme				0
Petit cunéiforme				0
Total tarse	2	0	0	2
Grand sésamoïde				0
Petit sésamoïde		1		1
Os malléolaire				0
Phalange I			3	3
Phalange II				0
Phalange III				0
Indét			23	23
Total	97	99	118	314



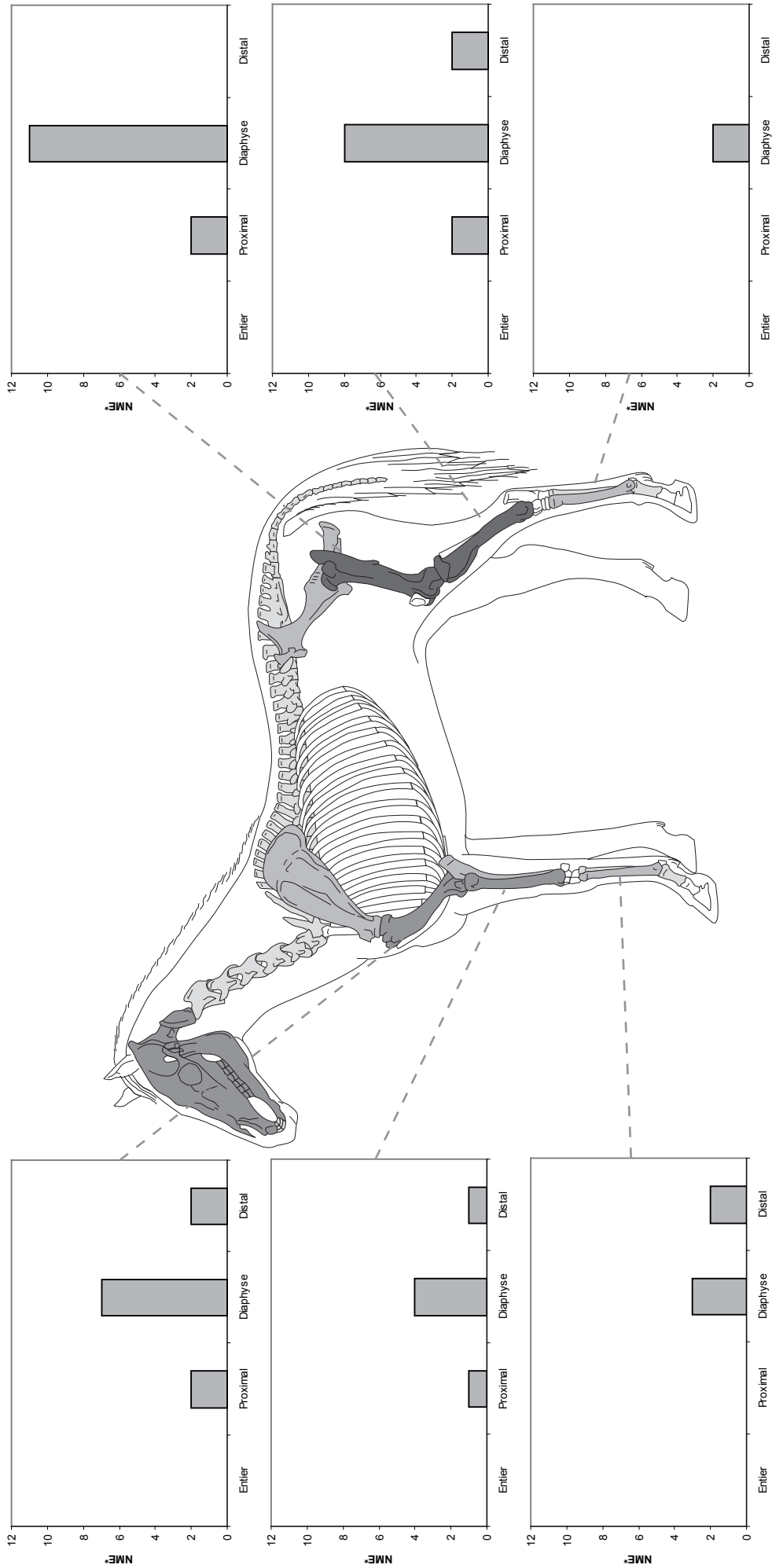
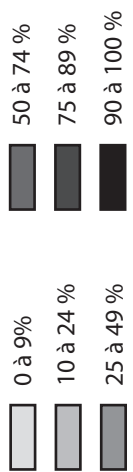
		Squelette	NME Attendu	NME*	MAU	% Survie
Céphalique	Bois	2	10	1	0,5	10
	Crâne	1	5	1	1	20
	Mandibule	2	10	2	1	20
	Incisive	6	30	1	0,2	3,3
	Canine	2	10	0	0	0
	Dent Jugale >	12	60	1	0,1	1,7
	Dent Jugale <	12	60	0	0	0
Ceinture	Scapula	2	10	5	2,5	50
	Coxal	2	10	2	1	20
Axial	Vertèbre	27	135	3	0,1	2,2
	Côte	26	130	0	0	0
Os Long	Humérus	2	10	5	2,5	50
	Radius	2	10	8	4	80
	Ulna	2	10	4	2	40
	Métacarpe	2	10	3	2	30
	Fémur	2	10	6	3	60
	Tibia	2	10	8	4	80
	Métatarse	2	10	3	1,5	30
Os Court	Carpe	12	60	2	0,2	3,3
	Talus	2	10	1	0,5	10
	Calcaneum	2	10	0	0	0
	Autre Tarse	6	30	1	0,2	3,3
	Patella	2	10	1	0,5	10
	Sésamoïde	20	100	1	0,1	1
	Os malléolaire	2	10	0	0	0
Autopode	Phalange 1	8	40	5	0,6	12,5
	Phalange 2	8	40	2	0,3	5
	Phalange 3	8	40	3	0,4	7,5

Annexe 43 (La Baume de Gigny ; couche XIX) : NME, MAU et pourcentage de survie des restes de Cerf (* NME : individu adulte)

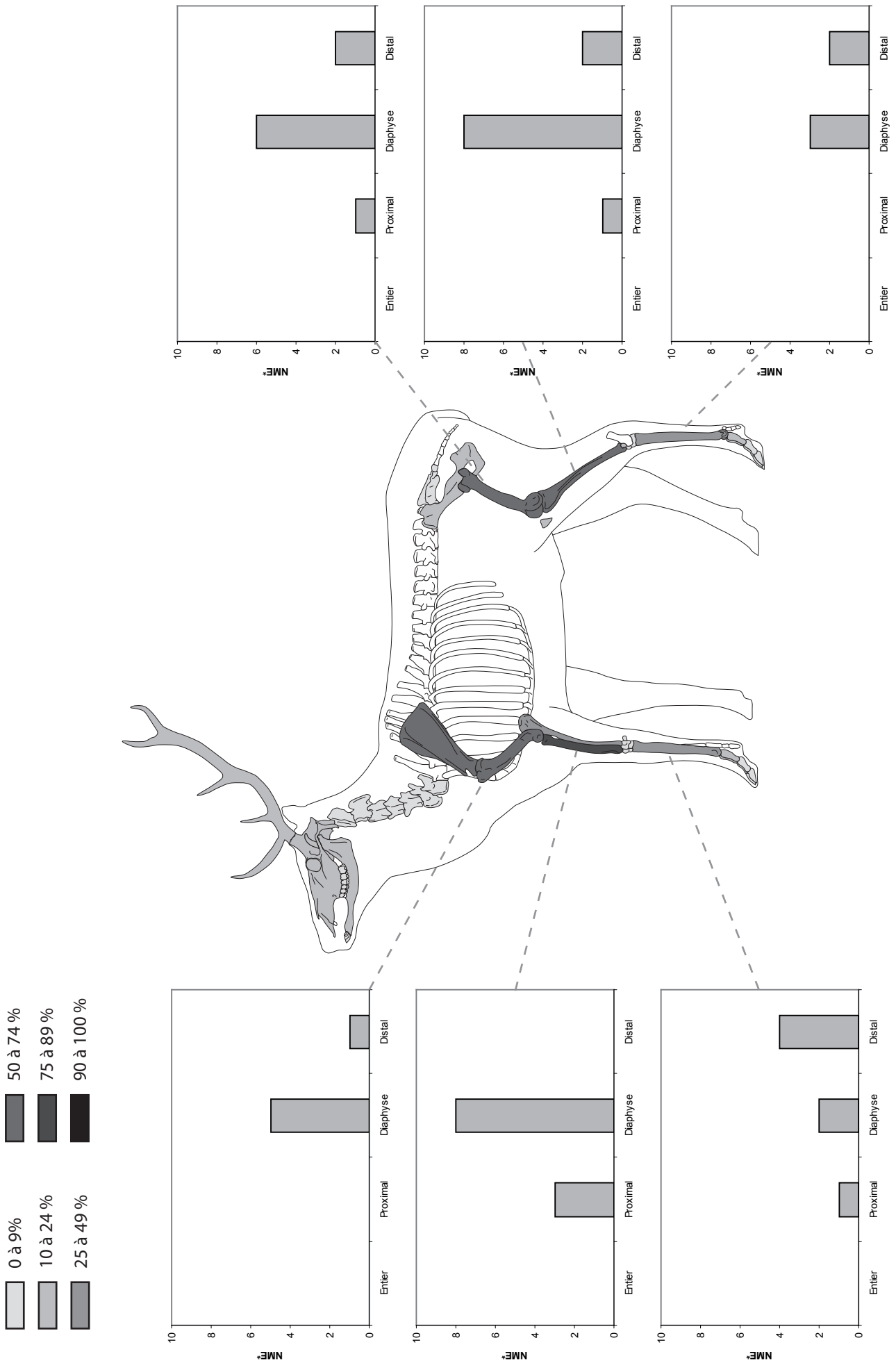


		Squelette	NME Attendu	NME*	MAU	% Survie
Céphalique	Crâne	1	8	2	2	25
	Mandibule	2	16	5	2,5	31,3
	Incisive	12	96	9	0,8	9,4
	Canine	4	32	1	0,3	3,1
	Dent jugale >	12	96	42	3,5	43,8
	Dent jugale <	12	96	39	3,3	40,6
Ceinture	Scapula	2	16	3	1,5	18,8
	Coxal	2	16	3	1,5	18,8
Axial	Vertèbre	31	248	8	0,3	3,2
	Côte	34	272	0	0	0
Os Long	Humérus	2	16	7	3,5	44
	Radius	2	16	4	2	25
	Ulna	2	16	2	1	12,5
	Métacarpe	2	16	3	1,5	18,8
	Mcc Vest	4	32	1	0,3	3,1
	Fémur	2	16	11	5,5	68,8
	Tibia	2	16	8	4	50
	Métatarse	2	16	2	1	12,5
	Mtt Vest	4	32	1	0,3	3,1
Os Court	Carpe	14	112	0	0	0
	Talus	2	16	0	0	0
	Calcaneum	2	16	0	0	0
	Autre tarse	8	64	0	0	0
	Patella	2	16	0	0	0
	Sésamoïde	12	96	1	0,1	1
Autopode	Phalange 1	4	32	3	0,8	9,4
	Phalange 2	4	32	0	0	0
	Phalange 3	4	32	0	0	0

Annexe 44 (La Baume de Gigny ; couche XIX) : NME, MAU et pourcentage de survie des restes de Chevaux (* NME : individu adulte)



Annexe 45 (La Baume de Gigny ; couche XIX) : Représentation squelettique du Cheval.



Annexe 46 (La Baume de Gigny ; couche XIX) : Représentation squelettique du Cerf.



	Nb	Zone	Localisation I	Localisation II	Taille	Orientation/Axe	Agencement	Appuyé/Effleuré	Action Anthropique
Scapula	7	D	Médiale		Courte	Oblique <45°	Mixte	Appuyé	Désarticulation
	6	D	Médiale		Courte	Oblique <45°	Mixte	Appuyé	Désarticulation
		D			Courte	Oblique <45°		Appuyé	Désarticulation
Humérus	2	DM	Médiale		Longue	Parallèle	Parallèle	Appuyé	Décharnement
	2	DM	Postérieure		Longue	Oblique >45°		Appuyé	Décharnement
	1	DM	Latérale	Antérieure					Percussion
	4	DM	Antérieure		Courte	Oblique <45°	Mixte	Effleuré	Décharnement
Radius		DM	Antérieure						Décharnement
	2	DM	Latérale	Antérieure	Courte	Transverse	Parallèle	Effleuré	Décharnement
	1	DD	Antérieure	Latérale					Percussion
	2	DD	Latérale	Postérieure	Courte	Transverse	Parallèle	Appuyé	Décharnement
	3	DD	Antérieure	Latérale	Longue	Parallèle	Parallèle	Effleuré	Décharnement
		DP	Antérieure	Médiale					Décharnement
	2	DP	Latérale	Antérieure	Courte	Transverse	Parallèle	Effleuré	Décharnement
	1	DM	Antérieure	Médiale					Percussion
	2	DD	Latérale	Postérieure	Courte	Transverse	Parallèle	Effleuré	Décharnement
Ulna	4	P	Médiale		Courte	Oblique <45°	Parallèle	Effleuré	Désarticulation
	5	P	Antérieure	Latérale	Courte	Oblique <45°	Parallèle	Appuyé	Désarticulation
	2	P	Médiale		Courte	Oblique <45°	Parallèle	Appuyé	Décharnement
	2	P	Latérale		Longue	Oblique >45°	Parallèle	Effleuré	Désarticulation* - Décharnement
		DM	Antérieure		Courte	Oblique <45°	Parallèle	Effleuré	Récupération des tendons
Métacarpe	1	DM	Latérale	Antérieure					Percussion
	2	DM	Latérale	Antérieure	Longue	Oblique >45°	Parallèle	Appuyé	Récupération des tendons
	8	DM	Antérieure		Courte	Oblique <45°	Parallèle	Appuyé	Récupération des tendons
	5 + 1	D	Coté		Courte	Oblique <45°	Parallèle	Appuyé	Désarticulation
	8	DD	Postérieure		Courte	Transverse	Parallèle	Appuyé	Dépouillement
	8	DD	Postérieure		Courte	Transverse	Parallèle	Appuyé	Dépouillement
	2	DM + DD	Latérale						Percussion
	7	DD	Postérieure		Courte	Transverse	Parallèle	Appuyé	Dépouillement
	8	DM	Latérale	Antérieure	Mixte	Oblique >45°	Mixte	Effleuré	Récupération des tendons
	1	DM	Latérale						Percussion
	8	DM	Latérale		Courte	Oblique <45°	Parallèle	Effleuré	Récupération des tendons
1	DM							Raclage	
Coxal	3	C	Sup		Longue	Oblique >45°	Parallèle	Effleuré	Décharnement
	5	C	Sup		Courte	Oblique >45°	Parallèle	Effleuré	Désarticulation* - Décharnement
	2	C	Sup		Longue	Oblique >45°	Parallèle	Effleuré	Décharnement
	3	F	Sup		Courte	Oblique <45°	Parallèle	Effleuré	Décharnement/Désarticulation
	7	F	Sup		Courte	Oblique >45°	Mixte	Effleuré	Décharnement/Désarticulation
Fémur	1	DM	Antérieure						Percussion
	2	DP	Postérieure	Latérale	Courte	Oblique <45°	Parallèle	Effleuré	Décharnement
	1	DM	Antérieure						Percussion
	6	DM	Antérieure		Courte	Oblique <45°	Parallèle	Appuyé	Décharnement
	1	DM	Antérieure						Percussion
	1	DM	Antérieure		Longue	Oblique >45°		Effleuré	Décharnement
	2	DD	Postérieure		Longue	Oblique >45°	Parallèle	Effleuré	Décharnement
	6	DD	Postérieure	Latérale	Courte	Oblique <45°	Parallèle	Appuyé	Décharnement
	4	P + DP	Postérieure		Courte	Oblique <45°		Effleuré	Désarticulation
Tibia	2	DM	Postérieure	Médiale	Longue	Parallèle	Parallèle	Appuyé	Décharnement
	4	DP	Postérieure		Courte	Oblique <45°	Parallèle	Effleuré	Décharnement
	3	DM	Postérieure	Médiale	Courte	Oblique <45°	Parallèle	Effleuré	Décharnement
	5	DM + DD	Postérieure		Courte	Oblique <45°	Parallèle	Appuyé	Décharnement
	3	P + DP	Antérieure		Courte	Oblique <45°	Parallèle	Effleuré	Désarticulation
	6	DP	Latérale	Postérieure	Courte	Oblique <45°	Parallèle	Effleuré	Décharnement
	3	DM	Postérieure	Latérale	Longue	Oblique <45°	Parallèle	Effleuré	Décharnement
	6	DM	Postérieure	Médiale	Moyenne	Oblique >45°	Parallèle	Appuyé	Décharnement
	2	DM	Postérieure	Médiale					Percussion
	2	DP	Postérieure	Médiale	Longue	Oblique >45°	Parallèle	Effleuré	Décharnement
		DD	Postérieure	Latérale					Raclage
	5	DD	Postérieure	Latérale	Courte	Oblique <45°	Parallèle	Appuyé	Désarticulation* - Dépouillement/Décharnement
	5	DM	Médiale		Courte	Oblique <45°	Parallèle	Appuyé	Décharnement
7	DM	Antérieure	Latérale	Courte	Oblique <45°	Mixte	Effleuré	Décharnement	
1	DP + DM	Postérieure	Médiale					Percussion	
Métatarses	13	DM	Latérale	Antérieure	Moyenne	Oblique <45°	Parallèle	Appuyé	Récupération des tendons
	2	DM	Antérieure						Percussion
	1	DM	Antérieure		Courte	Oblique <45°		Appuyé	Récupération des tendons
	8	DM	Antérieure		Courte	Oblique <45°		Effleuré	Récupération des tendons
		1 côté	Antérieure						Raclage
	5	DM	Antérieure		Courte	Oblique <45°		Effleuré	Récupération des tendons
	2	DD	Antérieure		Courte	Oblique <45°		Appuyé	Dépouillement
	2	DD	Antérieure		Longue	Oblique >45°		Effleuré	Récupération des tendons
2	DM	Antérieure		Longue	Oblique >45°		Appuyé	Récupération des tendons	
Phalange 1	1	DD	Postérieure	Latérale	Courte	Transverse		Effleuré	Dépouillement
	1	P	Sup	Médiale	Courte	Oblique <45°		Appuyé	Dépouillement
1	P	Sup	Latérale	Courte	Oblique <45°		Appuyé	Dépouillement	

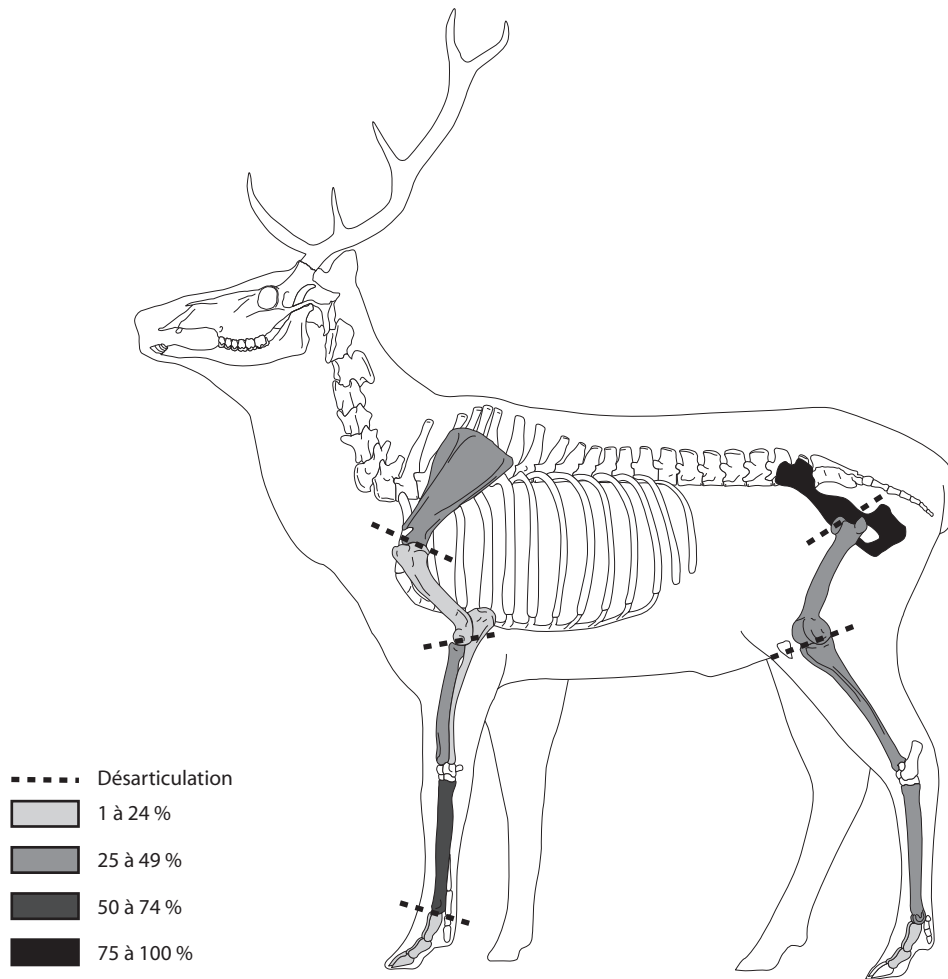


	Nb	Zone	Localisation I	Localisation II	Taille	Orientation/Axe	Agencement	Appuyé/Effleuré	Action Anthropique
Métapode	3	DM + DD	Postérieure		Courte	Transverse	Parallèle	Appuyé	Dépouillement

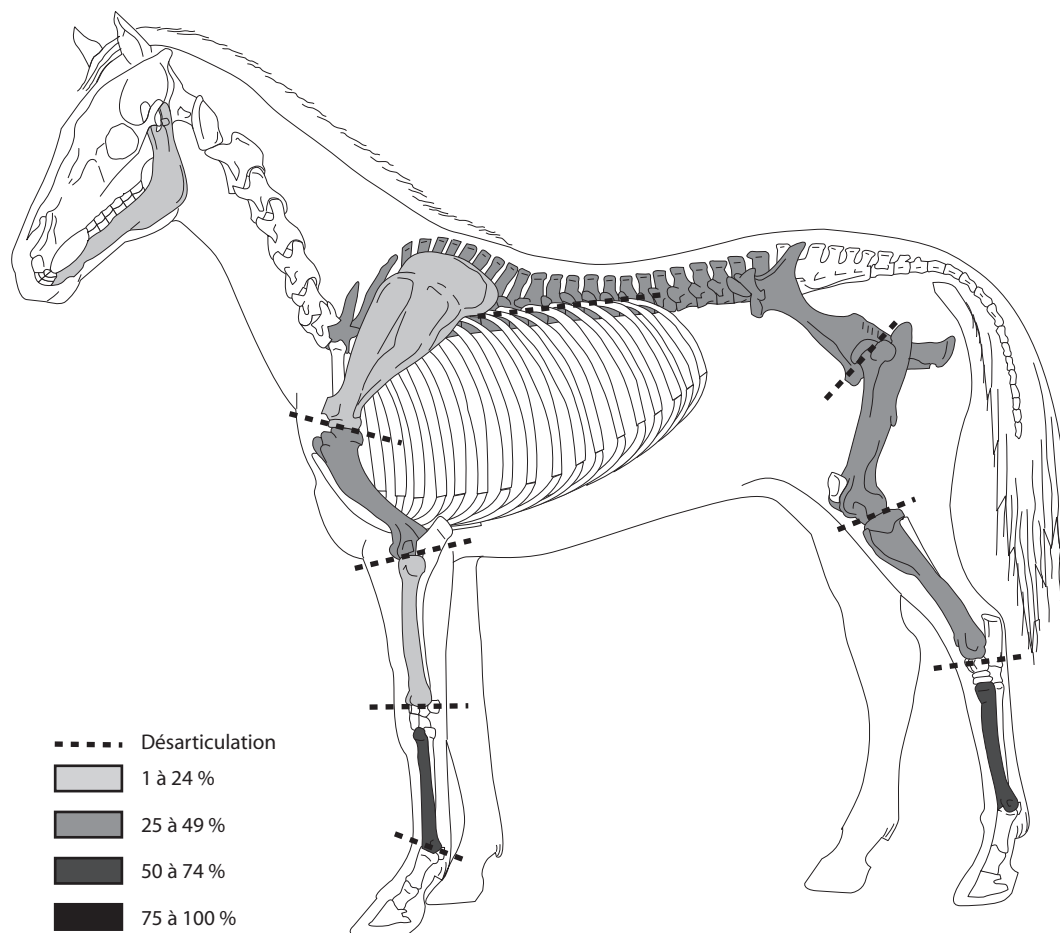
Moyen Ongulé

	Nb	Zone	Localisation I	Localisation II	Taille	Orientation/Axe	Agencement	Appuyé/Effleuré	Action Anthropique
Côte	1	Corps			Courte			Appuyé	Décharnement
	1	Tête	Latérale		Courte			Appuyé	Désarticulation
Humérus	14	DP	Médiale		Courte	Oblique <45°	Parallèle	Appuyé	Décharnement
Coxal	14				Courte	Transverse	Parallèle	Appuyé	
Fémur	3	DP	Antérieure		Courte	Oblique <45°	Mixte	Appuyé	Décharnement
	3	DM + DD	Postérieure	Latérale	Courte	Oblique <45°	Parallèle	Effleuré	Décharnement
Tibia	11	DP	Postérieure	Médiale	Courte	Oblique <45°	Parallèle	Appuyé	Décharnement
Métapode	2	DM	Postérieure		Courte	Oblique <45°	Parallèle	Effleuré	Dépouillement

Annexe 47 (La Baume de Gigny ; couche XIX) : Nombre, Localisation et Orientation des stries de découpe sur les éléments squelettiques

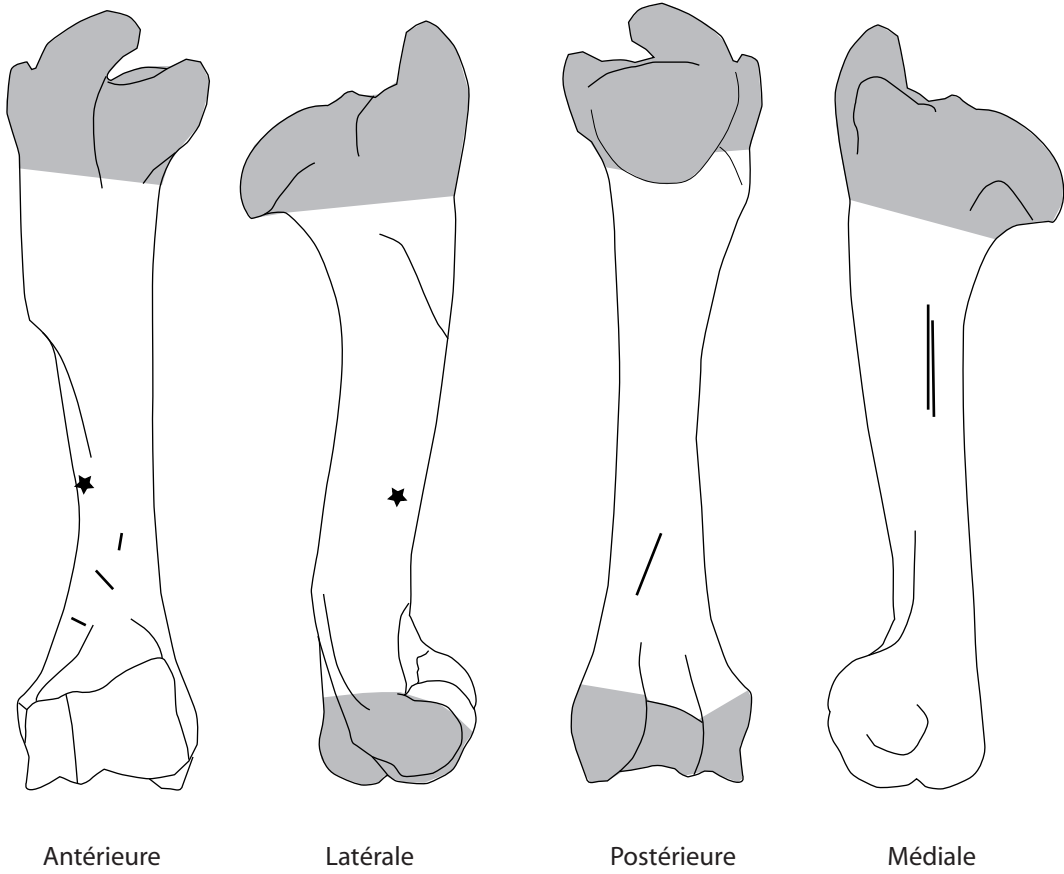


Annexe 48 (La Baume de Gigny ; couche XIX) : Pourcentage de restes de Cerf avec des stries anthropiques

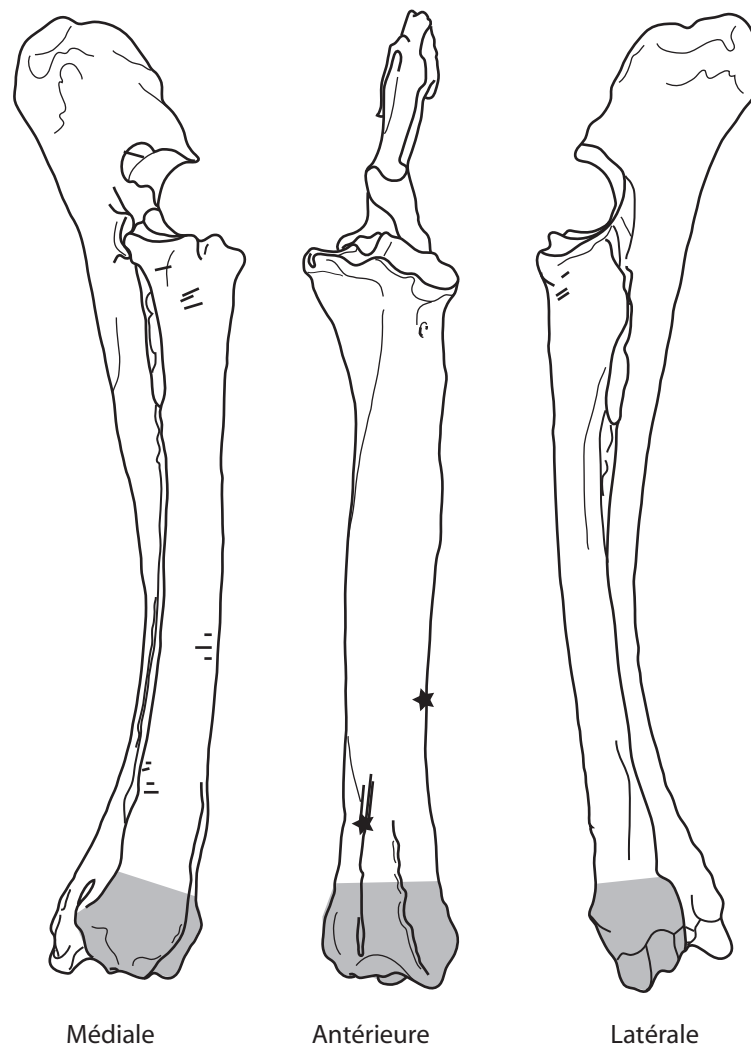


Annexe 49 (La Baume de Gigny ; couche XIX) : Pourcentage de restes de Cheval avec des stries anthropiques

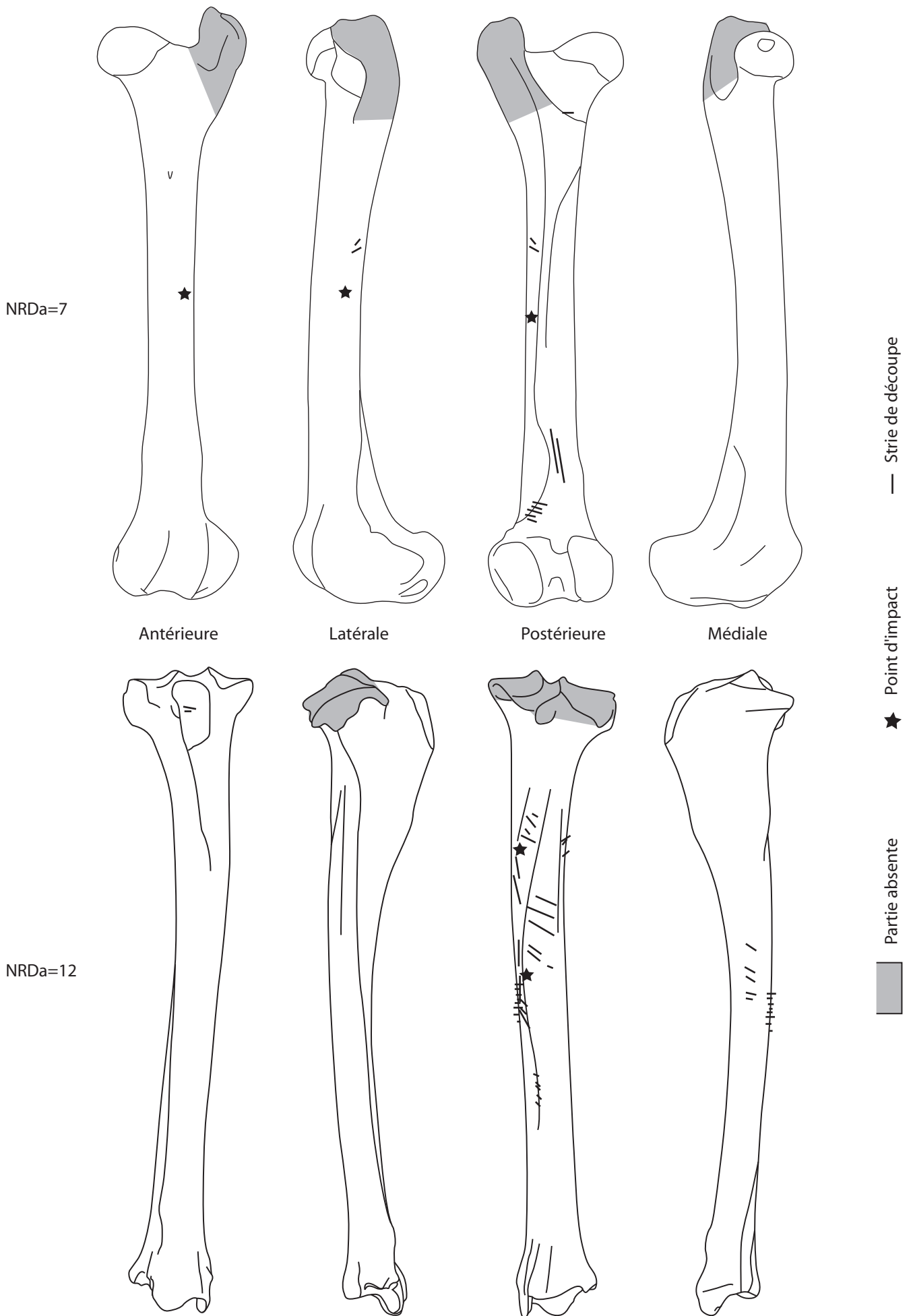
NRDa = 3



NRDa = 6

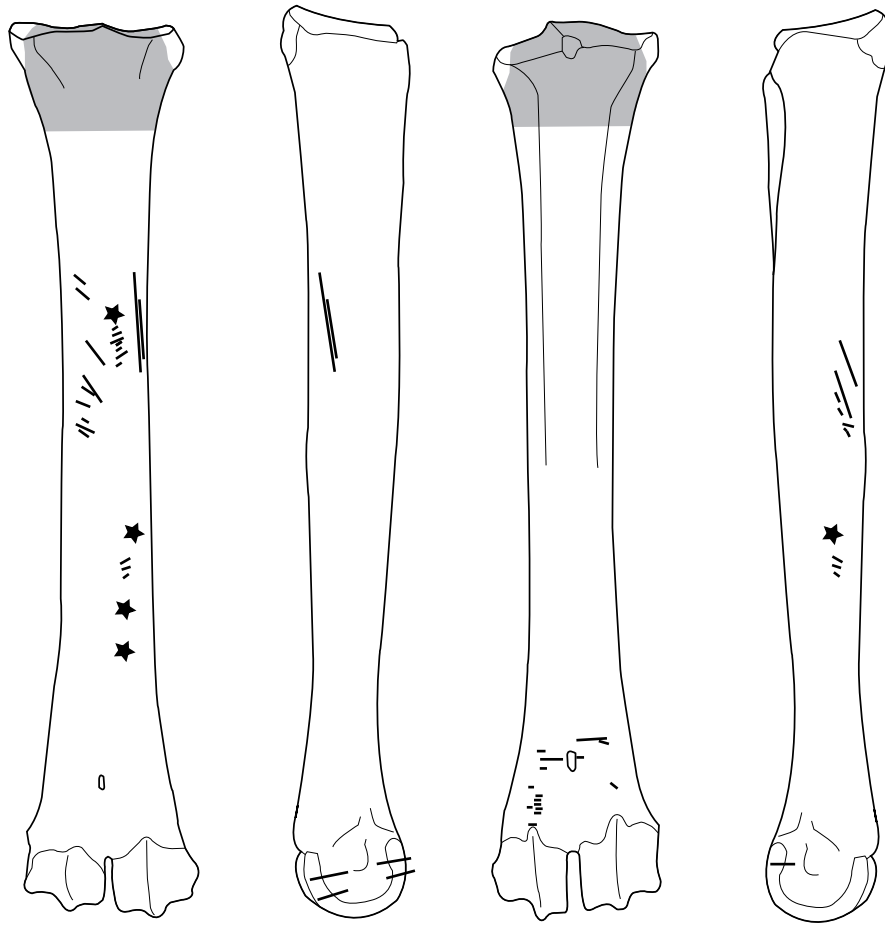


Annexe 50 (La Baume de Gigny ; couche XIX) : Localisation des stries de découpe et des points d'impact sur l'humérus et le radio-ulnaire de Cerf.



Annexe 51 (La Baume de Gigny ; couche XIX) : Localisation des stries de découpe et des points d'impact sur le fémur et le tibia de Cerf.

NRDa = 9



Antérieure

Latérale

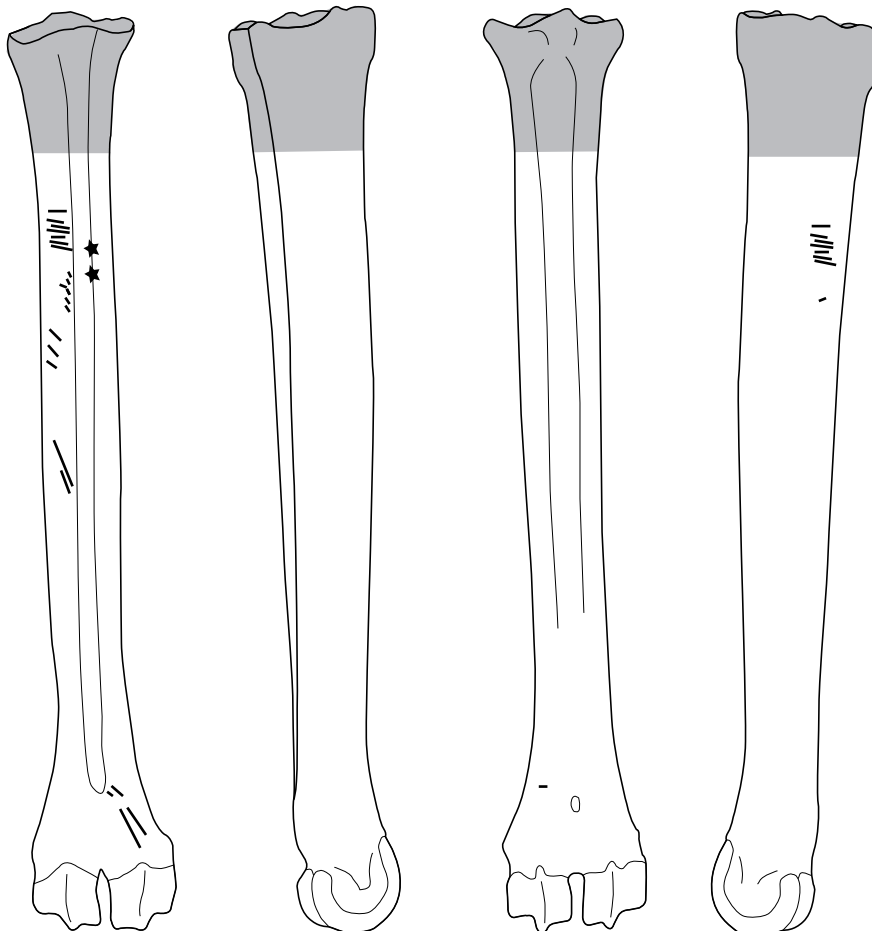
Postérieure

Médiale

— Strie de découpe

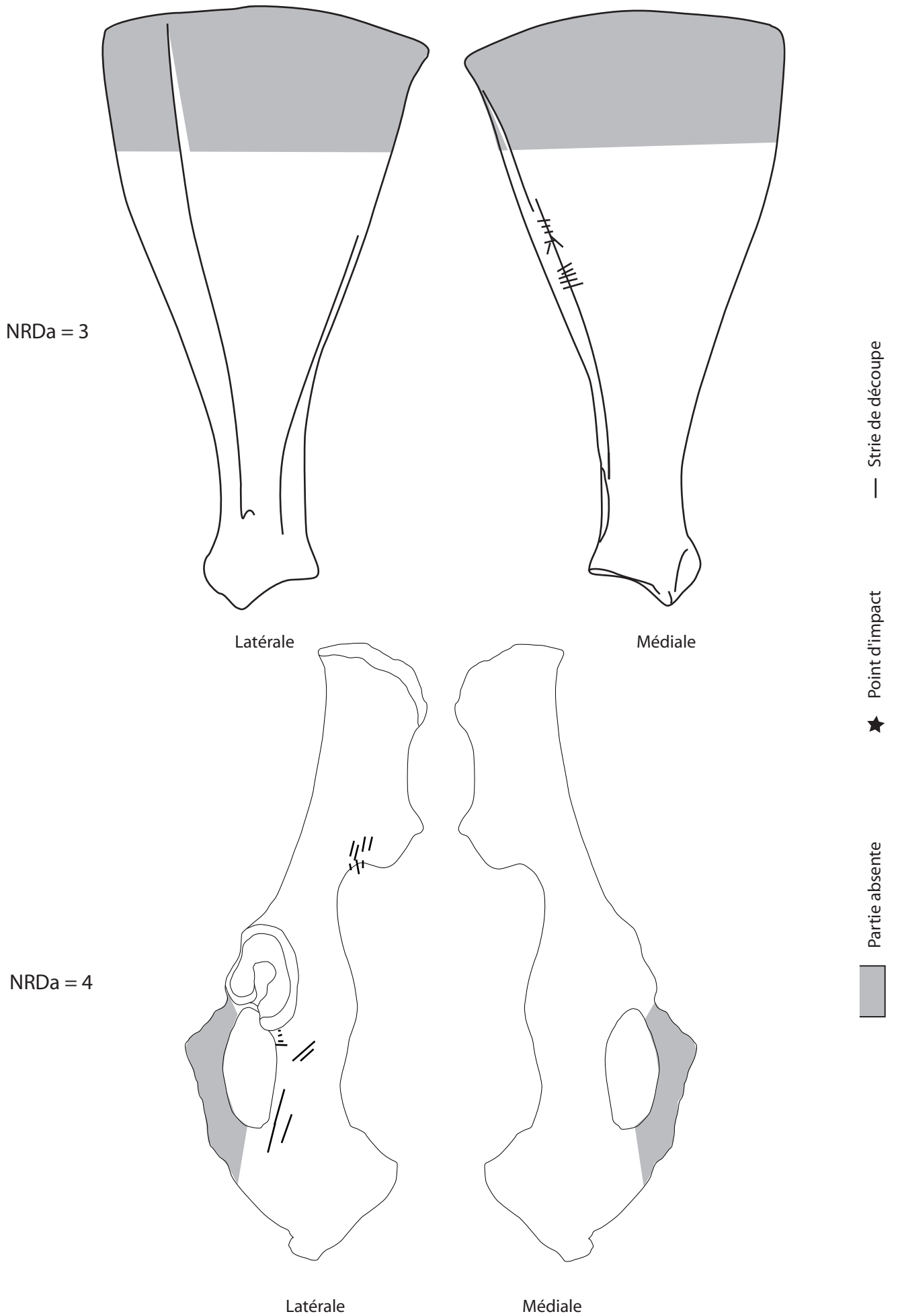
★ Point d'impact

NRDa = 6



Partie absente

Annexe 52 (La Baume de Gigny ; couche XIX) : Localisation des stries de découpe et des points d'impact sur le métacarpe et le métatarse de Cerf.



Annexe 53 (La Baume de Gigny ; couche XIX) : Localisation des stries de découpe et des points d'impact sur la scapula et le coxal de Cerf.

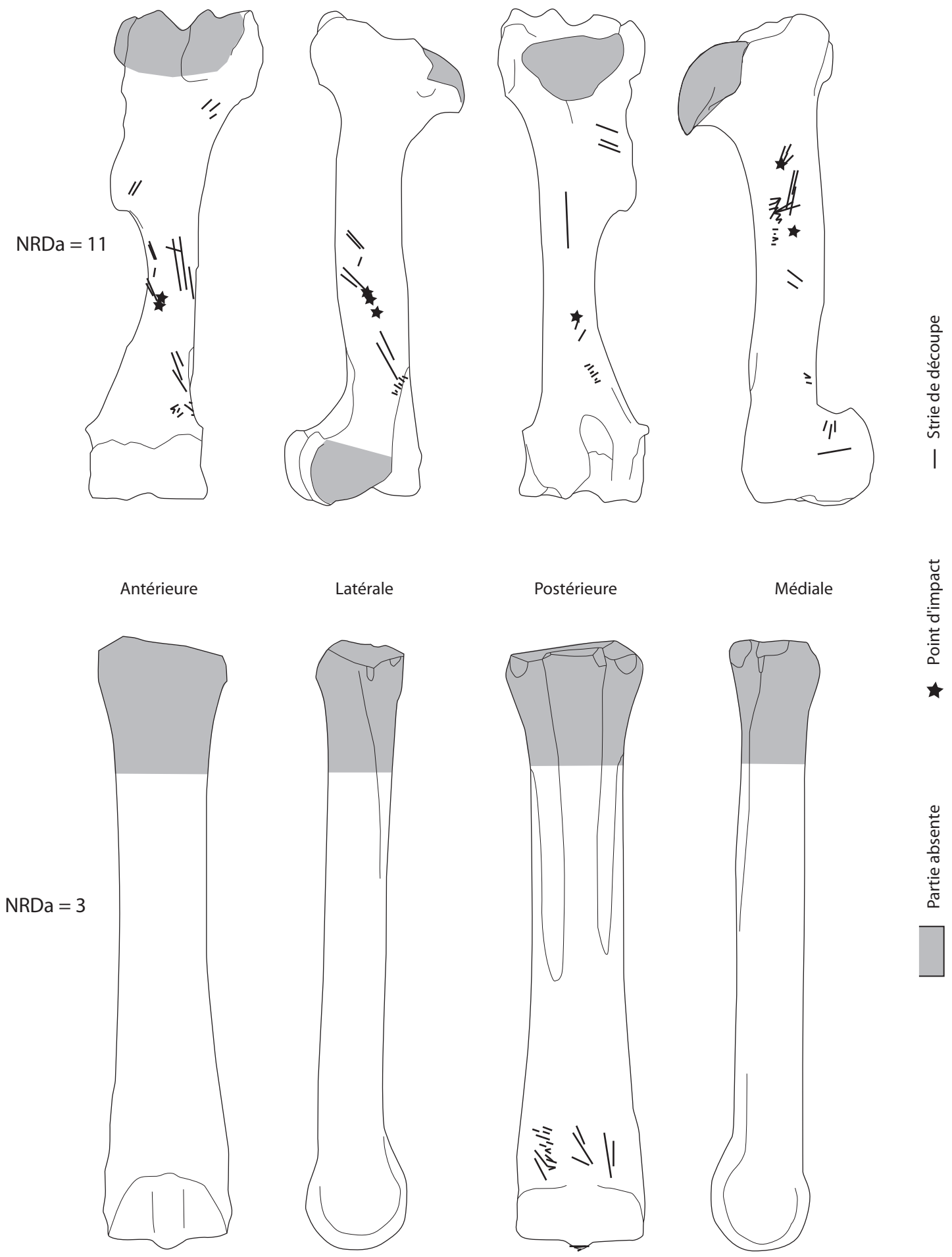


	Nb	Zone	Localisation I	Localisation II	Taille	Orientation/Axe	Agencement	Appuyé/Effleuré	Action Anthropique
Mandibule	2	BH2			Longue	Parallèle	Parallèle	Effleuré	Retrait Langue/Désarticulation
	3	BH2			Courte	Mixte	Mixte	Effleuré	Retrait Langue/Désarticulation
Vertèbre	4	Corps			Courte	Transverse	Parallèle	Effleuré	Eviscération
	4	Apo transv	Surf	Inf	Courte	Transverse	Parallèle	Effleuré	Décharnement filet
	4	F. Art. Côte			Courte	Transverse	Parallèle	Appuyé	Désarticulation
	3	Corps		Arrière	Courte	Transverse	Parallèle	Effleuré	Eviscération
	4	F. Art. Côte			Courte	Transverse	Parallèle	Appuyé	Désarticulation
Scapula	2	Proc Epi			Courte	Transverse	Parallèle	Effleuré	Décharnement
Humérus	2	D	Sup	Latérale	Longue	Oblique >45°	Parallèle	Effleuré	Désarticulation
	5	DM	Antérieure	Médiale	Longue	Oblique >45°	Parallèle	Effleuré	Décharnement
	7	DD	Antérieure	Médiale	Courte	Oblique <45°	Parallèle	Effleuré	Décharnement
	3	DP	Antérieure	Médiale	Courte	Oblique <45°	Parallèle	Appuyé	Décharnement
	2	DP	Antérieure	Latérale	Moyenne	Oblique >45°	Parallèle	Appuyé	Décharnement
	2	DP + DM							Percussion
	8	DP + DM	Médiale		Longue	Oblique >45°	Parallèle	Appuyé	Décharnement
	3	DP	Postérieure	Médiale	Moyenne	Oblique <45°	Parallèle	Appuyé	Décharnement
	1	DM	Antérieure	Latérale					Percussion
	5	DM	Antérieure	Médiale	Longue	Oblique >45°	Parallèle	Appuyé	Décharnement
	6	DM	Antérieure	Latérale	Longue	Oblique >45°	Mixte	Effleuré	Décharnement
	1	DM	Antérieure	Latérale					Percussion
	2	DM + DD	Latérale	Postérieure	Longue	Oblique >45°	Parallèle	Appuyé	Décharnement
	1	DP	Postérieure		Longue	Parallèle		Appuyé	Décharnement
	6	DP	Médiale		Courte	Oblique <45°	Parallèle	Effleuré	Décharnement
Radius	1	DM	Antérieure	Médiale					Percussion
	26	DM	Médiale		Courte	Oblique <45°	Parallèle	Appuyé	Décharnement
	4	DM	Antérieure	Médiale	Moyenne	Oblique >45°	Parallèle	Appuyé	Décharnement
	4	D	Médiale		Moyenne	Oblique >45°	Mixte	Appuyé	Désarticulation
	1	DM + DD	Latérale	Postérieure					Percussion
	26	DM + DD	Postérieure	Latérale	Courte	Oblique <45°	Parallèle	Appuyé	Désarticulation
	3	DD	Médiale	Antérieure	Courte	Oblique <45°	Parallèle	Effleuré	Décharnement
	7	DM	Antérieure	Latérale	Longue	Oblique >45°	Mixte	Appuyé	Décharnement
	1	DD	Latérale	Postérieure	Courte	Transverse	Parallèle	Appuyé	Décharnement/Désarticulation
	12	DD	Antérieure	Latérale	Courte	Oblique <45°	Parallèle	Effleuré	Décharnement
Métacarpe	19	DD	Postérieure		Courte	Oblique <45°	Parallèle	Effleuré	Dépouillement
	7	DD	Postérieure		Courte	Transverse	Parallèle	Effleuré	Dépouillement
	5	DD	Postérieure		Longue	Oblique >45°	Mixte	Appuyé	Dépouillement
	7	D			Courte	Transverse	Parallèle	Effleuré	Désarticulation
Coxal	2	F	Sup	Bord	Courte	Transverse	Parallèle	Appuyé	Décharnement/Désarticulation
	10	D	Sup		Longue	Oblique >45°	Mixte	Effleuré	Décharnement
	7	D	Inf		Mixte	Mixte	Mixte	Effleuré	Décharnement
Fémur	10	DM	Postérieure	Médiale	Courte	Oblique <45°	Arc de cercle	Effleuré	Décharnement
	5	DD	Postérieure	Latérale	Courte	Oblique >45°	Parallèle	Effleuré	Décharnement
	1	DD	Postérieure						Percussion
	3	DD + D	Postérieure	Médiale	Courte	Oblique <45°	Parallèle	Appuyé	Décharnement/Désarticulation
	1	DP	Postérieure	Latérale	Courte	Oblique <45°	Parallèle	Appuyé	Décharnement
	6	DD	Postérieure	Latérale	Courte	Oblique <45°	Parallèle	Appuyé	Décharnement
	9	DD	Antérieure		Longue	Parallèle	Parallèle	Appuyé	Décharnement
	2	DD	Antérieure		Courte	Oblique <45°	Parallèle	Effleuré	Décharnement
	1	DD	Latérale	Postérieure	Courte	Transverse		Appuyé	Désarticulation
	5	DD	Latérale	Postérieure	Courte	Oblique <45°	Mixte	Appuyé	Désarticulation
Tibia	5	DP	Antérieure		Longue	Oblique >45°	Parallèle	Appuyé	Décharnement
	4	DM	Antérieure		Longue	Oblique >45°	Parallèle	Effleuré	Décharnement
	4	P	Antérieure	Médiale	Courte	Oblique <45°	Parallèle	Appuyé	Désarticulation
	2	D	Médiale	Antérieure	Courte	Transverse	Parallèle	Appuyé	Désarticulation
	1	DD	Postérieure	Médiale	Courte	Oblique <45°		Effleuré	Décharnement
	7	DM	Postérieure	Médiale	Courte	Oblique <45°	Parallèle	Appuyé	Décharnement
	7	DP	Antérieure	Latérale	Mixte	Transverse	Mixte	Appuyé	Décharnement
	2	DP	Antérieure	Médiale	Longue	Oblique <45°	Parallèle	Appuyé	Décharnement
	7	DP	Postérieure	Latérale	Courte	Oblique <45°	Parallèle	Effleuré	Décharnement
	3	DM	Postérieure		Courte	Oblique >45°	Parallèle	Appuyé	Décharnement
Métatarse	2	DM	Postérieure		Longue	Oblique >45°	Parallèle	Appuyé	Décharnement
	1	DM	Postérieure	Médiale					Percussion
	18	DP + DM	Antérieure	Médiale	Mixte	Oblique <45°	Mixte	Appuyé	Décharnement
	1	DM	Postérieure	Médiale					Percussion
	5	DM	Antérieure		Longue	Oblique >45°	Mixte	Effleuré	Récupération des tendons



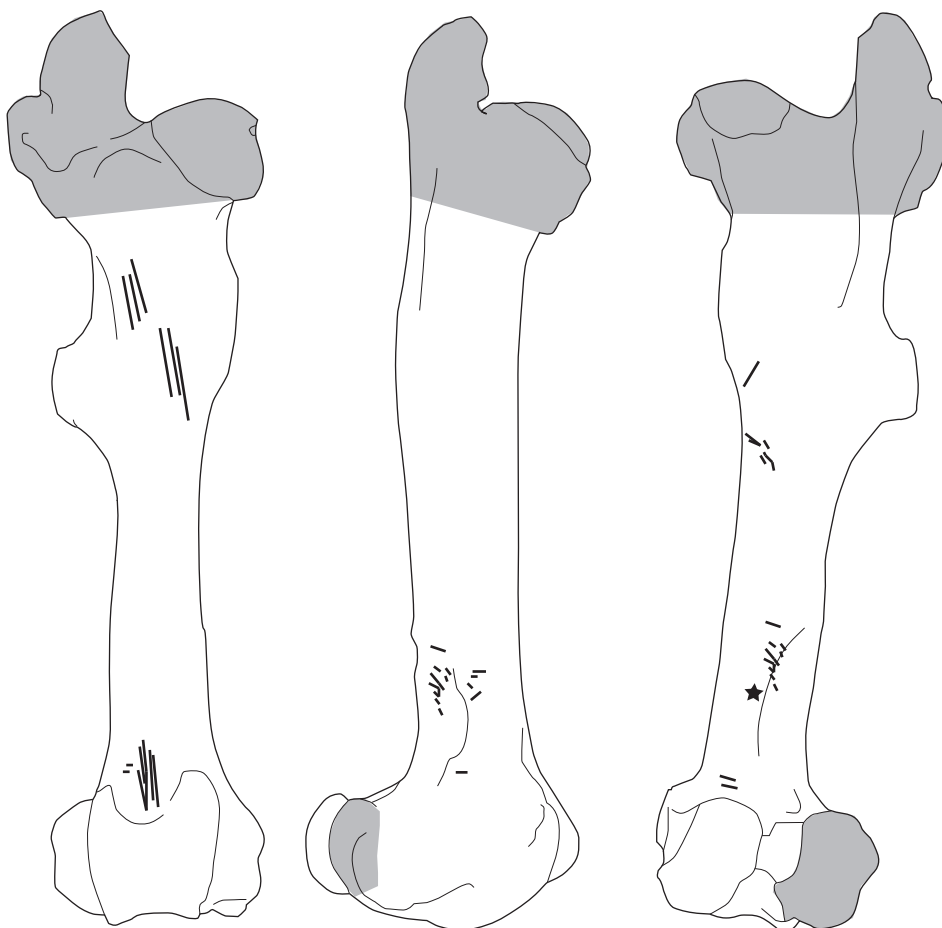
	Nb	Zone	Localisation I	Localisation II	Taille	Orientation/Axe	Agencement	Appuyé/Effleuré	Action Anthropique
Mandibule	2	BH2		Inf	Courte	Transverse	Parallèle	Appuyé	Dépouillement
Vertèbre	10			Ventrals	Courte		Parallèle	Appuyé	Décharnement/Eviscération
Humérus	3	DD	Antérieure		Moyenne	Oblique >45°	Parallèle	Effleuré	Décharnement
Fémur	1		Antérieure	Latérale					Percussion
	5	DM	Postérieure	Latérale	Courte	Oblique <45°	Parallèle	Effleuré	Décharnement
Tibia	3	DM	Postérieure	Médiale	Moyenne	Oblique <45°	Parallèle	Effleuré	Décharnement
	1	DP	Postérieure						Percussion
	14	DP	Postérieure	Latérale	Courte	Oblique <45°	Parallèle	Appuyé	Décharnement

Annexe 54 (La Baume de Gigny ; couche XIX) : Nombre, Localisation et Orientation des stries de découpe sur les éléments squelettiques



Annexe 55 (La Baume de Gigny; couche XIX) : Localisation des stries de découpe et des points d'impact sur l'humérus et le métacarpe de Cheval.

NRD = 10



Antérieure

Latérale

Postérieure

— Strie de découpe

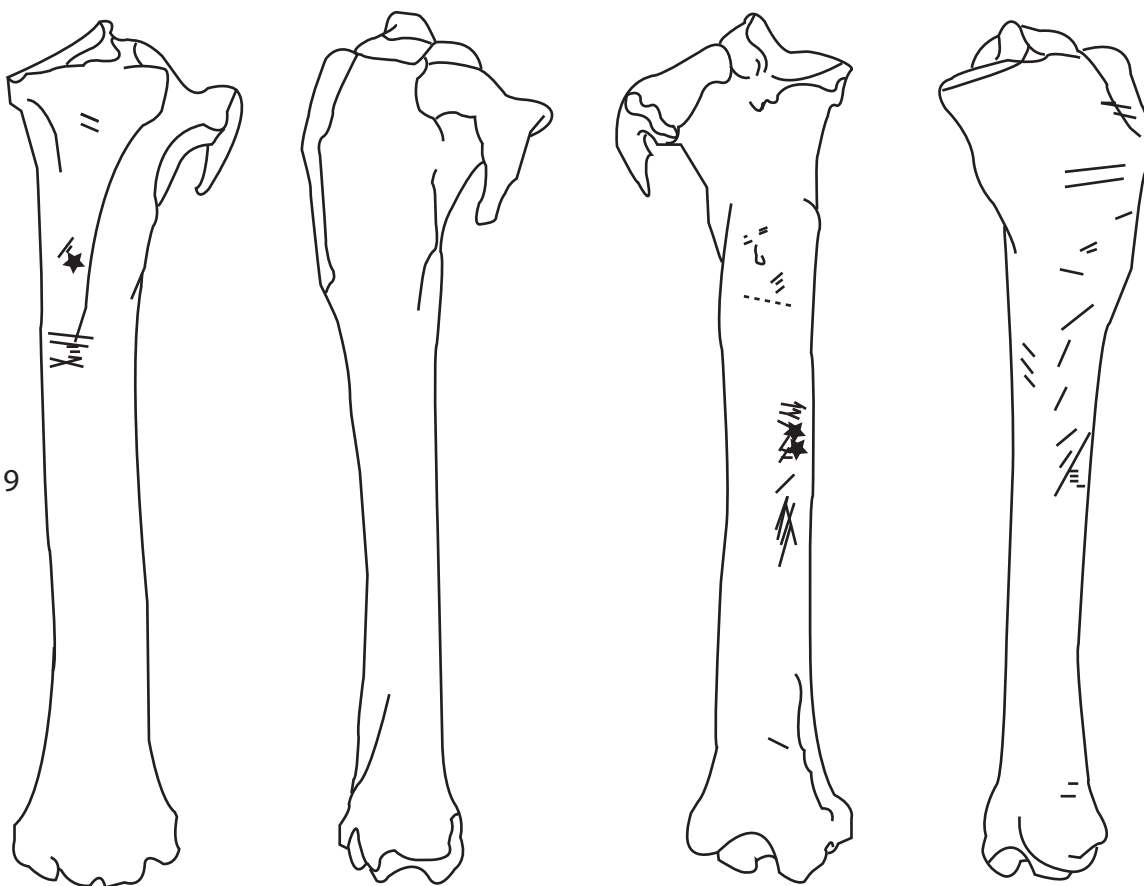
★ Point d'impact



Partie absente



NRD = 9



Antérieure

Latérale

Postérieure

Médiale

Annexe 56 (La Baume de Gigny ; couche XIX) : Localisation des stries de découpe et des points d'impact sur l'humérus et le métacarpe de Cheval.



	Nb	Zone	Localisation I	Localisation II	Taille	Orientation/Axe	Agencement	Appuyé/Effleuré	Action Anthropique
Scapula	5	D	Latérale	Face Sup	Moyenne	Oblique <45°	Parallèle	Appuyé	Désarticulation
Métacarpe	9	DM	Antérieure		Courte	Oblique <45°	Parallèle	Appuyé	Récupération des tendons
	1	1 côté	Latérale						Raclage
	5	DM	Postérieure		Courte	Oblique >45°	Parallèle	Effleuré	Dépouillement
Tibia	1	DP	Postérieure	Médiale	Moyenne	Oblique <45°		Appuyé	Décharnement
Métatarse	5	DD	Antérieure	Latérale	Courte	Oblique <45°	Parallèle	Appuyé	Dépouillement

Grand Ongulés

	Nb	Zone	Localisation I	Localisation II	Taille	Orientation/Axe	Agencement	Appuyé/Effleuré	Action Anthropique
Crâne	2	Maxillaire			Moyenne	Parallèle		Appuyé	Désarticulation
Mandibule	4	BH2			Courte	Transverse	Parallèle	Appuyé	Dépouillement/Retrait langue
Os Hyoïde	4				Longue	Oblique >45°			Retrait Langue
Vertèbre	1	Ventrale			Courte			Effleuré	Décharnement
	2	Corps	Inf		Courte	Oblique <45°			Désarticulation
Côte	1	Tête	Latérale		Courte			Appuyé	Décharnement/Eviscération
	4	Tête	Sup		Courte	Oblique	Parallèle	Appuyé	Décharnement
	>20	Corps	Sup		Courte		Parallèle		Décharnement
	2	Corps	Inf		Courte			Appuyé	Eviscération
	3	Corps			Courte	Oblique	Parallèle		Décharnement
	4	Corps	Inf		Courte	Oblique	Parallèle	Appuyé	Eviscération
	>20	Corps	Sup		Courte	Oblique	Parallèle	Appuyé	Décharnement
	4	Corps	Inf		Courte			Appuyé	Eviscération
	2	Corps	Sup		Courte			Appuyé	Décharnement
	3	Corps	Sup		Courte				Décharnement
	2	Corps			Courte	Oblique		Effleuré	Décharnement
		Corps	Sup						Raclage
	3	Corps	Sup		Courte				Décharnement
Humérus	>20	DM	Médiale		Courte	Oblique <45°	Parallèle	Effleuré	Décharnement
Tibia	2	DP	Postérieure	Latérale	Courte	Oblique <45°	Parallèle	Les 2	Décharnement

Annexe 57 (La Baume de Gigny ; couche XIX) : Nombre, Localisation et Orientation des stries de découpe sur les éléments squelettiques

N°	Caractéristiques générales de la pièce										Détail plaque d'utilisation				Détail impact			
	Espèce	Partie anat	Long	Larg	Ep	Profil	Nb de plage	Long Pl	Larg Pl	Localisation	Entièrement	Raclage	Long	Densité	Intensité	Profondeur	Orientation	Morpho
106	Cerf	Fémur	92	27	11	Convexe	1	10	12	Ext	Oui	Oui	Courte	Forte	Forte	Profond	Oblique G	Croissant
110	Cerf	Radius	75	35	18	Convexe	2	16	9	Ext	Oui	Non	Mixte	Forte	Forte	Profond	Oblique G	Croissant
59	Equus	Os Long	81	36	14	Convexe	1	18	11	Ext	Oui	Non	Courte	Forte	Forte	Profond	Transverse	Croissant
1146	Cerf	Radius	73	38	27	Plat	1	10	11	Ext	Oui	Non	Mixte	Moyenne	Moyenne	Faible	Oblique D	Ligne
1547	Cerf	Fémur	73	33	11	Convexe	1	12	9	Ext	Oui	Non	Courte	Forte	Forte	Moyenne	Transverse	Croissant
1307	Grand	Os Long	84	30	11	Plat	1	8	8	Ext	Oui	Non	Courte	Moyenne	Faible	Faible	Transverse	Croissant
1576	Cerf	Tibia	83	23	12	Convexe	1	8	8	Ext	Oui	Oui	Courte	Faible	Faible	Faible	Oblique G	Croissant
1141	Cerf	Tibia	96	34	19	Plat	1	8	9	Ext	Oui	Non	Mixte	Moyenne	Faible	Moyenne	Transverse	Ligne
1038	Equus	Humérus	95	51	23	Convexe	1	13	14	Ext	Oui	Oui	Long	Moyenne	Moyenne	Moyenne	Transverse	Ligne

Annexe 58 (La Baume de Gigny ; couche XIX) : Description détaillée des os à impressions

N°	Caractéristiques générales de la pièce										Détail plaque d'utilisation				Détail impact			
	Espèce	Partie anat	Long	Larg	Ep	Profil	Nb de plage	Long Pl	Larg Pl	Localisation	Entièrement	Raclage	Long	Densité	Intensité	Profondeur	Orientation	Morpho
22	Mégacéros	Métatarse	99	39	25	Convexe	1	14	9	Ext	Oui	Oui	Long	Forte	Forte	Profond	Transverse	Ligne
36	Bison	Humérus	73	51	20	Convexe	1	9	11	Ext	Non	Non	Courte	Forte	Forte	Profond	Transverse	Ligne

Annexe 59 (La Baume de Gigny ; couche XVII-XVIII) : Description détaillée des os à impressions

N°	Caractéristiques générales de la pièce										Détail plaque d'utilisation				Détail impact			
	Espèce	Partie anat	Long	Larg	Ep	Profil	Nb de plage	Long Pl	Larg Pl	Localisation	Entièrement	Raclage	Long	Densité	Intensité	Profondeur	Orientation	Morpho
565	cf Renne	Fémur	61	28	8	Convexe	1	7	8	Ext	Oui	Oui	Long	Moyenne	Faible	Moyenne	Oblique D	Ligne
120	Cerf	Métapode	86	26	13	Convexe	1	13	9	Ext	Non	Non	Courte	Forte	Moyenne	Moyenne	Transverse	Croissant

Annexe 60 (La Baume de Gigny ; couche XVI) : Description détaillée des os à impressions

N°	Caractéristiques générales de la pièce										Détail plaque d'utilisation				Détail impact			
	Espèce	Partie anat	Long	Larg	Ep	Profil	Nb de plage	Long Pl	Larg Pl	Localisation	Entièrement	Raclage	Long	Densité	Intensité	Profondeur	Orientation	Morpho
545	Cerf	Tibia	101	25	10	Convexe	1	17	7	Ext	Oui	Non	Courte	Forte	Moyenne	Profond	Transverse	Croissant
543	Moyen Cervidé	Fémur	96	27	11	Convexe	1	7	9	Ext	Non	Non	Courte	Moyenne	Moyenne	Faible	Transverse	Croissant
544	Cerf	Humérus	56	31	10	Convexe	1	6	6	Ext	Oui	Non	Courte	Moyenne	Faible	Moyenne	Oblique G	Ligne
74	Renne	Tibia	77	25	12	Convexe	2	9	12	Ext	Oui	Non	Courte	Moyenne	Faible	Profond	Oblique G	Croissant
71	Grand		95	60	19	Convexe	2	6	6	Ext	Oui	Non	Courte	Faible	Faible	Faible	Transverse	Croissant
								8	7	Ext	Non	Non	Courte	Moyenne	Faible	Faible	Oblique G	Croissant

Annexe 61 (La Baume de Gigny ; couche XV) : Description détaillée des os à impressions

N°	Caractéristiques générales de la pièce										Détail plaque d'utilisation				Détail impact			
	Espèce	Partie anat	Long	Larg	Ep	Profil	Nb de plage	Long Pl	Larg Pl	Localisation	Entièrement	Raclage	Long	Densité	Intensité	Profondeur	Orientation	Morpho
1006	Grand ongulé	Côte	111	29	14	Plat	1	10	9	Ext	Oui	Oui	Moyenne	Forte	Forte	Profond	Oblique G	Croissant
1265	Grand ongulé	Côte	73	28	7	Convexe	1	9	7	Ext	Oui	Oui	Courte	Forte	Moyenne	Profond	Oblique G	Croissant

Annexe 62 (La Baume de Gigny ; couche VIII) : Description détaillée des os à impressions



	Nb	Zone	Localisation I	Localisation II	Taille	Orientation/Axe	Agencement	Appuyé/Effleuré	Action Anthropique
Mandibule	1	BH2	Latérale						Percussion
Ulna	3	DP			Courte	Oblique <45°	Parallèle	Appuyé	Décharnement
Fémur	9	DP	Postérieure	Latérale	Courte	Transverse	Mixte	Effleuré	Décharnement
	11	DM	Latérale		Courte	Oblique <45°	Parallèle	Effleuré	Décharnement
	4	DM	Médiale		Longue	Oblique >45°	Parallèle	Effleuré	Décharnement
Tibia		DM	Postérieure	Latérale	Longue	Oblique >45°	Parallèle	Effleuré	Décharnement
	1	DM	Antérieure	Médiale					Percussion
		DP + DM	Antérieure						Raclage
	3	DD + D	Antérieure	Médiale	Courte	Oblique >45°	Parallèle	Appuyé	Décharnement
	15	DM	Antérieure	Médiale	Courte	Oblique <45°	Mixte	Appuyé	Décharnement
Métapode	18	DP + DM			Mixte	Oblique >45°	Mixte	Appuyé	Récupération des tendons
	2	P			Courte	Oblique <45°	Parallèle	Appuyé	Désarticulation
	3								Percussion



	Nb	Zone	Localisation I	Localisation II	Taille	Orientation/Axe	Agencement	Appuyé/Effleuré	Action Anthropique
Humérus	9	DM	Latérale	Postérieure	Courte	Oblique <45°	Parallèle	Appuyé	Décharnement
	1	DM	Postérieure						Décharnement
	7	DM + DD	Postérieure		Courte	Oblique >45°	Parallèle	Effleuré	Décharnement

Grand Ongulés

	Nb	Zone	Localisation I	Localisation II	Taille	Orientation/Axe	Agencement	Appuyé/Effleuré	Action Anthropique
Côte	3	Corps	SUP		Courte	Oblique	Parallèle	Appuyé	Décharnement
Humérus	10	DM + DD	Postérieure	Médiale	Longue	Oblique >45°	Parallèle	Effleuré	Décharnement
Tibia	18	DM	Postérieure		Longue	Oblique >45°	Mixte	Appuyé	Décharnement
	2								Percussion

Cervidés

	Nb	Zone	Localisation I	Localisation II	Taille	Orientation/Axe	Agencement	Appuyé/Effleuré	Action Anthropique
Humérus	4	DD	Postérieure		Courte	Oblique >45°	Parallèle	Effleuré	Désarticulation
	3	DD	Postérieure		Courte	Oblique <45°	Parallèle	Appuyé	Désarticulation
Radius	3	DM	Médiale	Antérieure	Longue	Oblique <45°	Parallèle	Appuyé	Décharnement
Tibia	6	DM	Postérieure		Courte	Oblique <45°	Parallèle	Effleuré	Décharnement
	3		Médiale	Postérieure					Percussion
	1	DP	Latérale						Percussion
Métatarse	8	1 côté	Latérale	Antérieure	Courte	Transverse	Parallèle	Appuyé	Récupération des tendons
	5	1 côté	Latérale	Antérieure	Courte	Oblique <45°	Parallèle	Effleuré	Récupération des tendons
	1	1 côté	Latérale	Antérieure					Percussion
		1 côté	Latérale						Raclage

Annexe 63 (La Baume de Gigny ; couche XVII-XVIII) : Nombre, Localisation et Orientation des stries de découpe sur les éléments squelettiques



	Nb	Zone	Localisation I	Localisation II	Taille	Orientation/Axe	Agencement	Appuyé/Effleuré	Action Anthropique
Vert. Cerv	8	Cerv	Sup		Courte	Transverse	Parallèle	Appuyé	Désarticulation
Métacarpe	1	DP	Latérale						Percussion
Tibia	7	DP	Latérale	Postérieure	Moyenne	Oblique >45°	Parallèle	Appuyé	Décharnement
	6	DP	Médiale	Postérieure	Courte	Oblique <45°	Parallèle	Appuyé	Décharnement
	2	DP	Postérieure	Médiale	Courte	Oblique <45°	Parallèle	Appuyé	Décharnement
	3	DP	Latérale	Postérieure	Moyenne	Transversale	Parallèle	Appuyé	Décharnement
Métatarse	1	DM	Latérale						Percussion

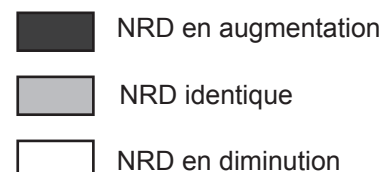
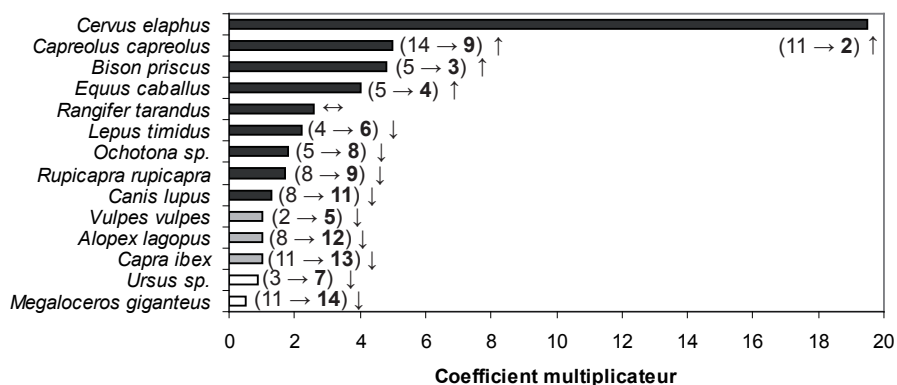


	Nb	Zone	Localisation I	Localisation II	Taille	Orientation/Axe	Agencement	Appuyé/Effleuré	Action Anthropique
Radio-Ulna	2	DP	Latérale	Postérieure	Longue	Oblique >45°	Parallèle	Appuyé	Décharnement

Annexe 64 (La Baume de Gigny ; couche VIII) : Nombre, Localisation et Orientation des stries de découpe sur les éléments squelettiques

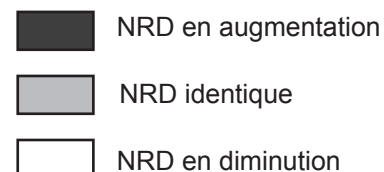
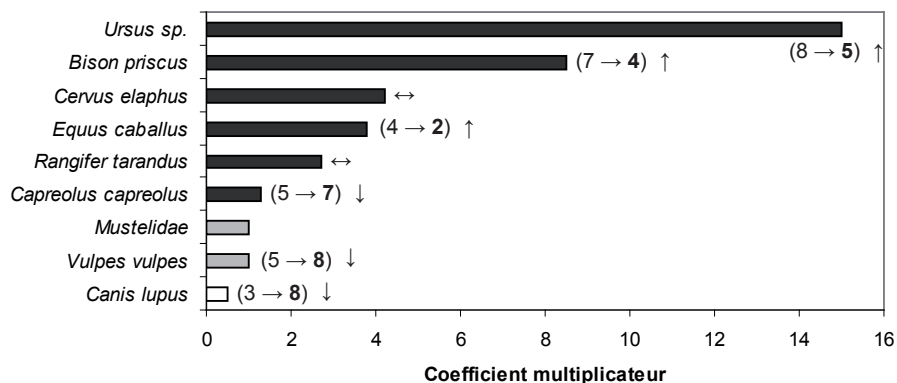
Couche XVI

	NRD			NMic		
	Sans fragment	Avec fragments		Sans fragment	Avec fragments	
<i>Rangifer tarandus</i>	17	45	x 2,6	2	4	+ 2
<i>Cervus elaphus</i>	2	39	x 19,5	1	3	+ 2
<i>Bison priscus</i>	4	19	x 4,8	1	3	+ 2
<i>Equus caballus</i>	4	16	x 4	2	4	+ 2
<i>Rupicapra rupicapra</i>	3	5	x 1,7	2	2	
<i>Capreolus capreolus</i>	1	5	x 5	1	1	
<i>Capra ibex</i>	2	2	x 1	1	1	
<i>Megaloceros giganteus</i>	2	1	x 0,5	1	1	
<i>Vulpes vulpes</i>	15	15	x 1	1	2	+ 1
<i>Ursus sp.</i>	9	8	x 0,9	3	2	- 1
<i>Canis lupus</i>	3	4	x 1,3	1	1	
<i>Alopex lagopus</i>	3	3	x 1	2	1	- 1
<i>Meles meles</i>		1			1	+ 1
<i>Ochotona sp.</i>	4	7	x 1,8	2	3	+ 1
<i>Lepus timidus</i>	5	11	x 2,2	1	2	+ 1



Couche XV

	NRD			NMic		
	Sans fragment	Avec fragments		Sans fragment	Avec fragments	
<i>Cervus elaphus</i>	12	50	x 4,2	2	4	+ 2
<i>Equus caballus</i>	5	19	x 3,8	2	3	+ 1
<i>Rangifer tarandus</i>	7	19	x 2,7	2	3	+ 1
<i>Bison priscus</i>	2	17	x 8,5	1	2	+ 1
<i>Capreolus capreolus</i>	3	4	x 1,3	1	2	+ 1
<i>Rupicapra rupicapra</i>		2			1	+ 1
<i>Capra ibex</i>		1			1	+ 1
<i>Ursus sp.</i>	1	15	x 15	1	3	+ 2
<i>Canis lupus</i>	6	3	x 0,5	1	1	
<i>Vulpes vulpes</i>	3	3	x 1	1	1	
<i>Mustelidae</i>	1	1	x 1	1	1	
<i>Lepus timidus</i>		7			2	+ 2



Annexe 65 (La Baume de Gigny) : Comparaison entre les spectres de faune sans prise en compte des fragments (monographie, 1989) et avec prise en compte des fragments (cette étude).
 Les données entre parenthèses indiquent le changement de rang de l'espèce.



	Nb	Zone	Localisation I	Localisation II	Taille	Orientation/Axe	Açencement	Appuyé/Effleuré	Action Anthropique
Carpe	1		Intérieure		Courte		Mixte	Appuyé	Désarticulation
Métacarpe	2	Proche Canal	Antérieure						Percussion
	2 côtés		Antérieure			Parallèle		Appuyé	Raclage
	2 côtés		Antérieure			Parallèle		Appuyé	Raclage
	2 côtés		Antérieure			Parallèle		Appuyé	Raclage
Fémur	1		Antérieure						Percussion
	3	DD	Postérieur	Latérale	Courte	Oblique <45°	Parallèle	Appuyé	Décharnement
	6	DM + DD	Postérieur	Latérale	Longue	Parallèle	Parallèle	Effleuré	Décharnement
Tibia	9	DM + DD	Postérieur	Latérale	Longue	Oblique >45°	Mixte	Appuyé	Décharnement
	5	DP	Postérieure	Latérale	Longue	Oblique >45°	Parallèle	Effleuré	Décharnement
	2	DP	Postérieure	Latérale	Courte	Oblique <45°	Parallèle	Appuyé	Décharnement
	5	DP	Antérieure	Médiale	Longue	Transverse	Parallèle	Appuyé	Décharnement
	2	DP	Antérieure		Courte	Oblique > 45°		Effleuré	Décharnement
Métatarse	1	DP	Antérieure						Percussion
	1 côté		Antérieure			Parallèle		Appuyé	Raclage
	1 côté		Antérieure			Parallèle		Appuyé	Raclage
Métapode	2		Latérale	Antérieure	Longue	Oblique >45°		Appuyé	Récupération des tendons
	7	DM	Postérieure		Courte	Perpendiculaire	Parallèle	Appuyé	Dépouillement
	3	DM	Latérale	Postérieure	Longue	Oblique > 45°	Parallèle	Appuyé	Récupération des tendons
	1	DM	Latérale						Percussion
	8	DM	Latérale		Courte	Oblique <45°	Mixé	Effleuré	Récupération des tendons



	Nb	Zone	Localisation I	Localisation II	Taille	Orientation/Axe	Açencement	Appuyé/Effleuré	Action Anthropique
Métacarpe	1	DM							Percussion
Tibia	30	DP	Postérieure	Latérale	Courte	Oblique <45°	Parallèle	Effleuré	Décharnement
		DP	Postérieure	Latérale		Parallèle		Effleuré	Raclage



	Nb	Zone	Localisation I	Localisation II	Taille	Orientation/Axe	Açencement	Appuyé/Effleuré	Action Anthropique
Métatarse		DM	Antérieure			Parallèle		Appuyé	Raclage
	5	DM	Latérale	Antérieure	Courte	Oblique >45°		Appuyé	Récupération des tendons



	Nb	Zone	Localisation I	Localisation II	Taille	Orientation/Axe	Açencement	Appuyé/Effleuré	Action Anthropique
Humérus	2	DP	Médiale		Courte	Oblique <45°	Parallèle	Effleuré	Décharnement
Fémur	8	DD	Latérale	Postérieure	Courte	Oblique <45°	Parallèle	Effleuré	Décharnement



	Nb	Zone	Localisation I	Localisation II	Taille	Orientation/Axe	Açencement	Appuyé/Effleuré	Action Anthropique
Mandibule	1	Bas	BH2						Percussion
	> 20	Bas	BH2			Parallèle	Parallèle	Appuyé	Retrait langue/Dépouillement
Humérus	1	DM	Antérieure						Percussion
	5	DM			Courte	Transverse	Parallèle	Appuyé	Décharnement
	1	DM			Longue	Oblique >45°	Parallèle	Appuyé	Décharnement
	1	DM	Postérieure						Percussion
Métacarpe	26	2 Côté	Antérieure		Longue	Oblique >45°	Mixage	Appuyé	Récupération des tendons
Os Malléolaire	4	Ext			Courte		Parallèle	Appuyé	Désarticulation

Grands Ongulés

	Nb	Zone	Localisation I	Localisation II	Taille	Orientation/Axe	Açencement	Appuyé/Effleuré	Action Anthropique
Côte	2	Tête	Inf		Courte		Parallèle	Appuyé	Désarticulation
Métacarpe	1	DM							Percussion

Moyens Ongulés

	Nb	Zone	Localisation I	Localisation II	Taille	Orientation/Axe	Açencement	Appuyé/Effleuré	Action Anthropique
Coxal	2	D			Longue	Oblique <45°		Appuyé	Désarticulation* - Décharnement
	> 20	C			Courte		Parallèle	Appuyé	Décharnement
Fémur	> 20	DD	Latérale	Antérieure	Longue	Oblique >45°	Mixte	Effleuré	Décharnement
	3		Antérieure		Courte	Oblique >45°	Parallèle	Effleuré	Décharnement
	3		Antérieure		Courte	Oblique <45°	Parallèle	Effleuré	Décharnement
Métacarpe		DM	Antérieure			Parallèle		Appuyé	Raclage
	7	DM	Antérieure		Courte	Oblique <45°	Parallèle	Appuyé	Récupération des tendons
	1	DM							Percussion
Métatarse	3	DM			Courte	Oblique <45°	Parallèle	Effleuré	Récupération des tendons
		DM							Raclage



	Nb	Zone	Localisation I	Localisation II	Taille	Orientation/Axe	Agencement	Appuyé/Effleuré	Action Anthropique	
Mandibule	3	BH2	Bas		Courte	Oblique <45°	Parallèle	Appuyé	Dépouillement	
Humérus	2	DM + DD	Latérale		Courte	Transverse		Effleuré	Percussion	
	1	DM + DD	Antérieure							
Radius	3	DM	Latérale		Courte	Oblique <45°	Parallèle	Effleuré	Décharnement	
	1	DM	Latérale	Antérieure						
		DM	Latérale			Parallèle			Percussion	
	6	DP	Postérieure	Latérale	Courte	Oblique <45°	Mixte	Effleuré	Décharnement	
Métacarpe	3	DP	Médiale	Postérieure	Longue	Oblique >45°	Parallèle	Effleuré	Décharnement	
	3	DM	Antérieure	Latérale	Courte	Parallèle	Parallèle	Effleuré	Percussion	
	5	DM	Antérieure	Latérale						
		DM	Antérieure	Latérale		Parallèle			Récupération des tendons	
	2	DM	Antérieure	Latérale	Courte	Oblique >45°	Parallèle	Effleuré	Récupération des tendons	
Tibia		DM	Postérieure	Latérale	Courte	Parallèle		Effleuré	Décharnement	
	3	DM	Postérieure							
	1	DP	Médiale			Oblique <45°			Percussion	
Métatarse	2	DP	Médiale	Antérieure	Longue	Oblique >45°		Appuyé	Décharnement	
			2 côtés	Antérieure	Latérale		Parallèle		Raclage	
	7		2 côtés	Antérieure	Latérale		Oblique <45°	Parallèle	Effleuré	Récupération des tendons
	4		1 côté	Antérieure	Latérale	Longue	Parallèle			Raclage
	1		1 côté	Antérieure	Latérale	Longue	Oblique >45°	Parallèle	Appuyé	Récupération des tendons
	1								Percussion	



	Nb	Zone	Localisation I	Localisation II	Taille	Orientation/Axe	Agencement	Appuyé/Effleuré	Action Anthropique
Métatarse		DM							Raclage
Métapode	1	DM							Percussion



	Nb	Zone	Localisation I	Localisation II	Taille	Orientation/Axe	Agencement	Appuyé/Effleuré	Action Anthropique
Radius	2	DP + DM	Médiale		Courte	Oblique <45°	Parallèle		Décharnement
Tibia		DM							Décharnement
	1	DM							Percussion



	Nb	Zone	Localisation I	Localisation II	Taille	Orientation/Axe	Agencement	Appuyé/Effleuré	Action Anthropique
Humérus	3	DD	Médiale		Courte	Oblique <45°	Parallèle	Effleuré	Décharnement
	1	DD	Médiale						
	4	DP	Médiale		Longue	Oblique >45°	Mixte	Effleuré	Décharnement
Fémur	1	DD	Latérale		Longue	Oblique >45°	Parallèle	Effleuré	Percussion
	4	DD	Latérale						
Tibia	3	DP	Postérieure	Latérale	Courte	Transverse	Parallèle	Effleuré	Décharnement
	1	DP	Postérieure						



	Nb	Zone	Localisation I	Localisation II	Taille	Orientation/Axe	Agencement	Appuyé/Effleuré	Action Anthropique
Tibia	2	DP	Postérieure						Percussion
	1	DM	Postérieure						
	5	DM	Postérieure		Courte	Oblique <45°	Parallèle	Effleuré	Décharnement
	7	DM	Antérieure	Latérale					
		DM	Latérale		Longue	Oblique >45°	Parallèle	Appuyé	Décharnement
		DM	Latérale						
		DM	Latérale						Percussion
		DM	Antérieure	Latérale			Parallèle		Raclage
8	DM	Latérale	Postérieure	Courte	Transverse	Parallèle	Appuyé	Décharnement	

Moyens Ongulés

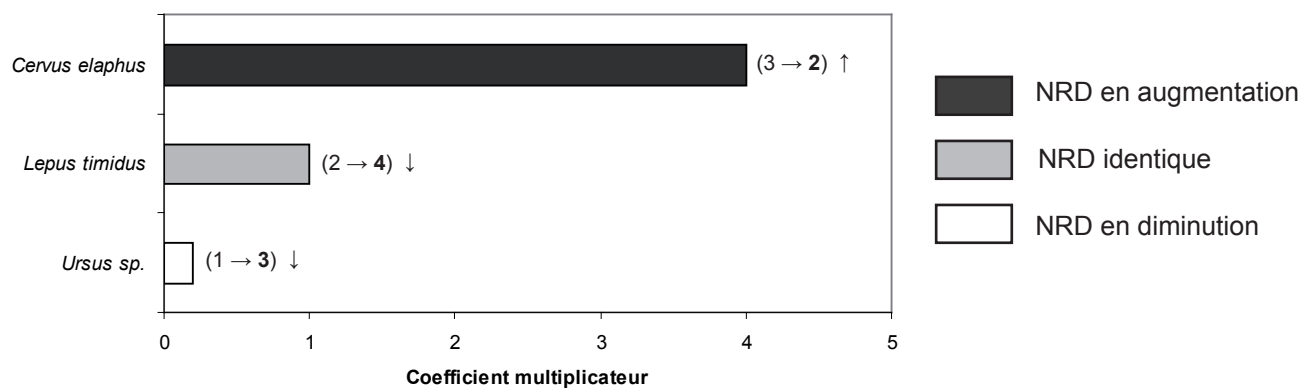
	Nb	Zone	Localisation I	Localisation II	Taille	Orientation/Axe	Agencement	Appuyé/Effleuré	Action Anthropique
Côte	1	Corps						Appuyé	Eviscération/Décharnement
Humérus	Beaucoup		Médiale		Courte	Oblique <45°	Parallèle	Appuyé	Décharnement
Métacarpe	1	DM	Antérieure		Courte	Oblique <45°	Parallèle		Percussion
	3	DM	Antérieure						
	2	DM	Antérieure		Courte	Oblique <45°	Parallèle		Décharnement
Tibia		DM	Antérieure						Raclage
		DM	Postérieure						Percussion
		DM	Postérieure						Percussion

Grands Ongulés

	Nb	Zone	Localisation I	Localisation II	Taille	Orientation/Axe	Agencement	Appuyé/Effleuré	Action Anthropique
Vertèbre Cerv	6	Dorsale			Courte	Oblique <45°	Parallèle	Appuyé	Désarticulation
Côte	3	Corps	Médiale		Courte		Parallèle	Appuyé	Eviscération
	4	Corps	Médiale						

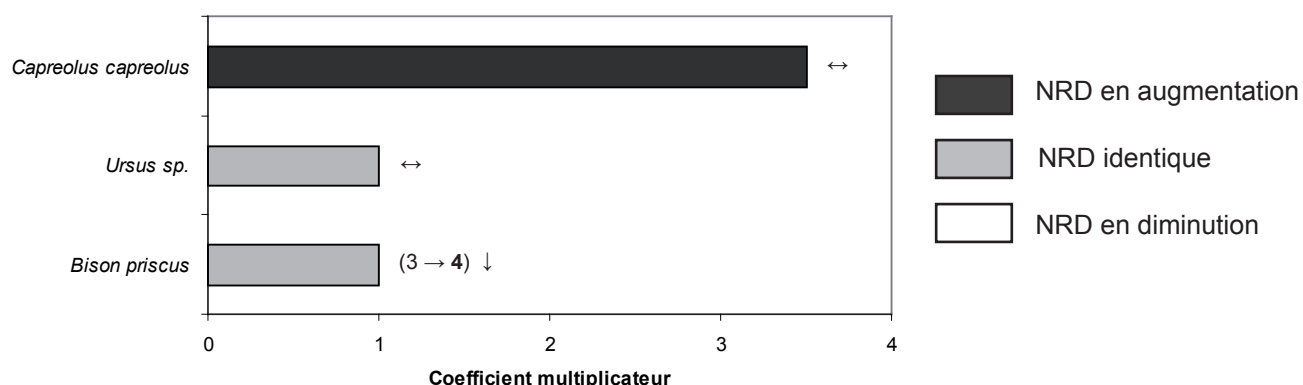
Couche XIV

	NRD			NMic		
	Sans fragment	Avec fragments		Sans fragment	Avec fragments	
<i>Capreolus capreolus</i>		6			1	+ 1
<i>Cervus elaphus</i>	1	4	x 4	1	1	
<i>Equus caballus</i>	1			1		- 1
<i>Ursus sp.</i>	18	3	x 0,2	3	1	- 2
<i>Canis lupus</i>		1			1	+ 1
<i>Vulpes vulpes</i>	1			1		- 1
<i>Lepus timidus</i>	2	2	x 1	1	1	



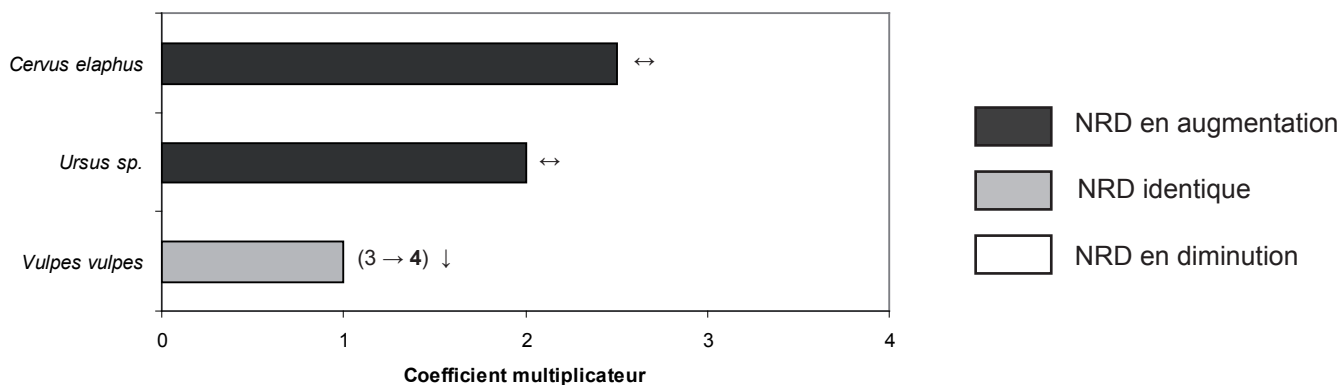
Couche XIII

	NRD			NMic		
	Sans fragment	Avec fragments		Sans fragment	Avec fragments	
<i>Capreolus capreolus</i>	2	7	x 3,5	1	1	
<i>Cervus elaphus</i>		6			1	+ 1
<i>Bison priscus</i>	1	1	x 1	1	1	
<i>Ursus sp.</i>	8	8	x 1	2	2	
<i>Lagomorphe</i>		1			1	+ 1



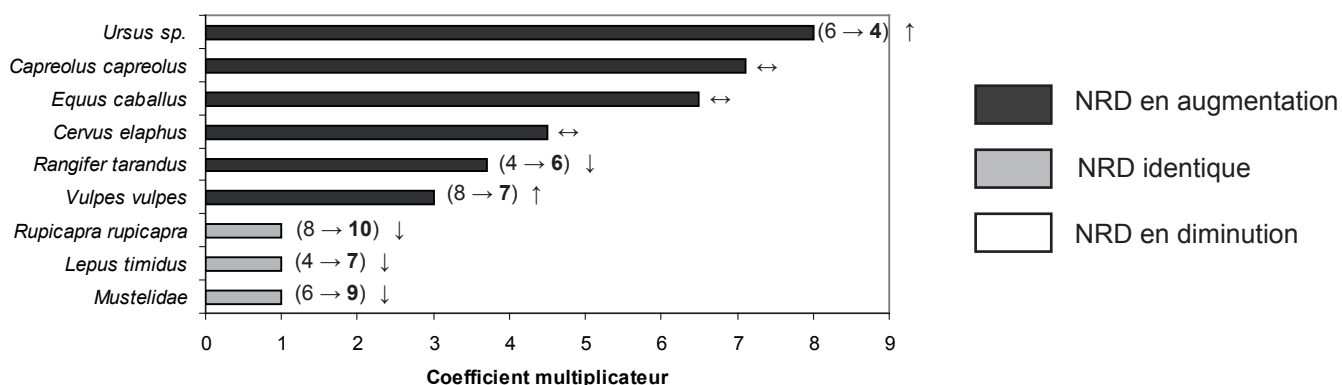
Couche XII

	NRD			NMic		
	Sans fragment	Avec fragments		Sans fragment	Avec fragments	
<i>Cervus elaphus</i>	2	5	x 2,5	1	1	
<i>Rupicapra rupicapra</i>		2			1	+ 1
<i>Vulpes vulpes</i>	1	1	x 1	1	1	
<i>Ursus sp.</i>	6	12	x 2	2	3	+ 1
<i>Castor fiber</i>		1			1	+ 1

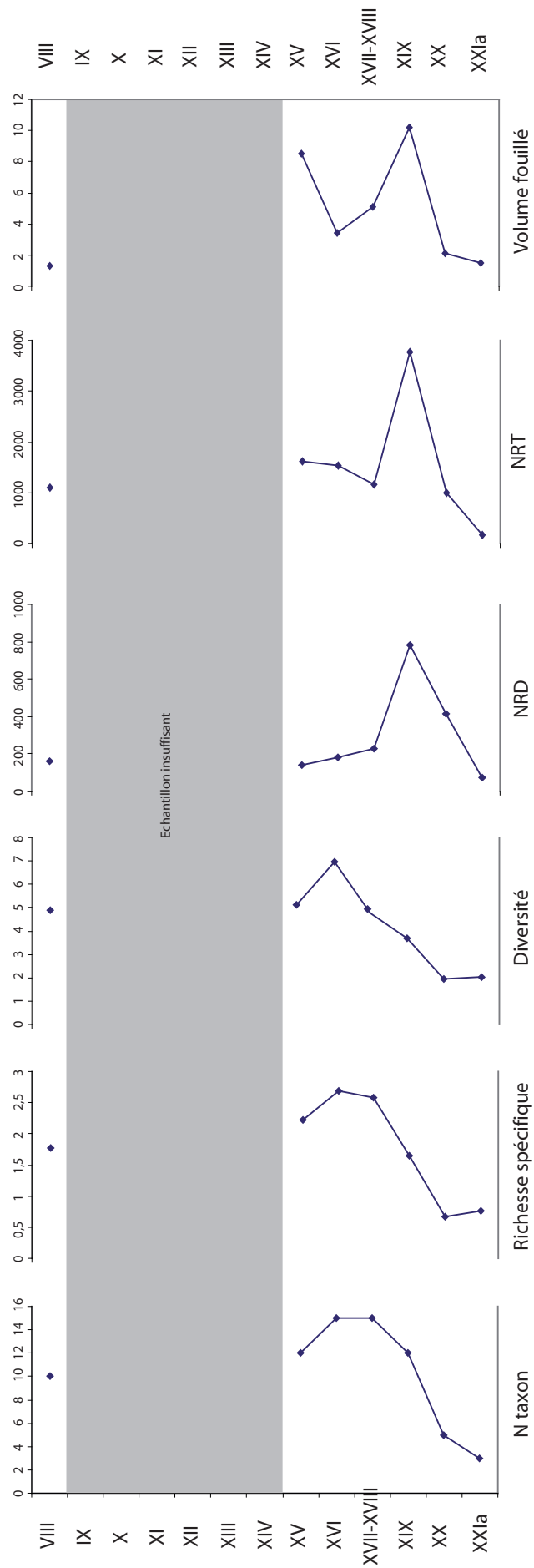


Couche VIII

	NRD			NMic		
	Sans fragment	Avec fragments		Sans fragment	Avec fragments	
<i>Capreolus capreolus</i>	8	57	x 7,1	3	5	+ 2
<i>Cervus elaphus</i>	6	27	x 4,5	3	2	- 1
<i>Equus caballus</i>	4	26	x 6,5	2	1	- 1
<i>Rangifer tarandus</i>	3	11	x 3,7	2	1	- 1
<i>Rupicapra rupicapra</i>	1	1	x 1	1	1	
<i>Ursus sp.</i>	2	16	x 8	1	2	+ 1
<i>Vulpes vulpes</i>	1	3	x 3	1	1	
<i>Mustelidae</i>	2	2	x 1	2	1	- 1
<i>Lepus timidus</i>	3	3	x 1	1	1	
<i>Castor fiber</i>	0	14			3	+ 3



Annexe 69 (La Baume de Gigny) : Comparaison entre les spectres de faune sans prise en compte des fragments (monographie, 1989) et avec prise en compte des fragments (cette étude).
 Les données entre parenthèses indiquent le changement de rang de l'espèce.

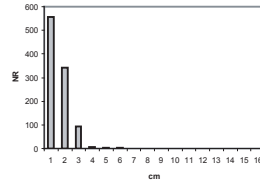
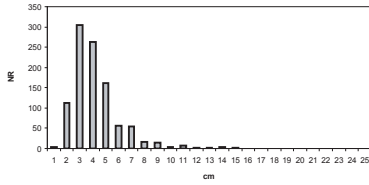


Annexe 70 (La Baume de Gigny) : Evolution du nombre de taxon, de la richesse spécifique, de la diversité, du NRD en fonction du volume fouillé le long de l'ensemble moyen

Longueur des fragments

Largeur des fragments

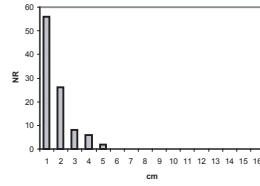
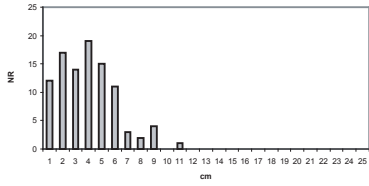
VIII



Longueur fragment VIII	
Moyenne	4,16
Écart-type	1,85
Variance de l'échantillon	3,43
Minimum	1
Maximum	15
Nombre d'échantillons	1007

Largeur fragment VIII	
Moyenne	1,57
Écart-type	0,81
Variance de l'échantillon	0,65
Minimum	0,5
Maximum	11
Nombre d'échantillons	1005

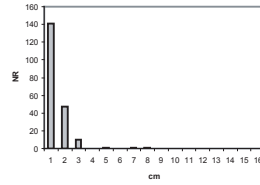
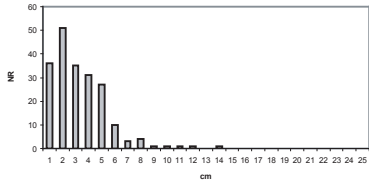
XII



Longueur fragment XII	
Moyenne	4,66
Écart-type	1,91
Variance de l'échantillon	3,65
Minimum	2
Maximum	11
Nombre d'échantillons	76

Largeur fragment XII	
Moyenne	1,87
Écart-type	1,06
Variance de l'échantillon	1,13
Minimum	0,6
Maximum	5
Nombre d'échantillons	76

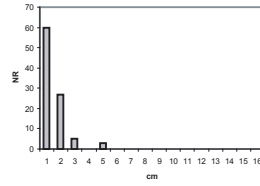
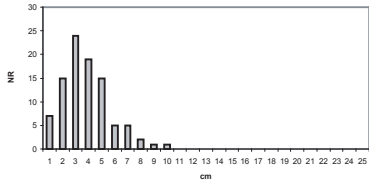
XIII



Longueur fragment XIII	
Moyenne	4,51
Écart-type	1,94
Variance de l'échantillon	3,77
Minimum	2,1
Maximum	14
Nombre d'échantillons	120

Largeur fragment XIII	
Moyenne	1,69
Écart-type	1,03
Variance de l'échantillon	1,07
Minimum	0,5
Maximum	8
Nombre d'échantillons	119

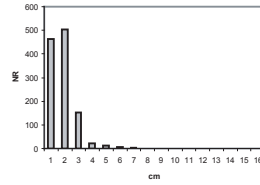
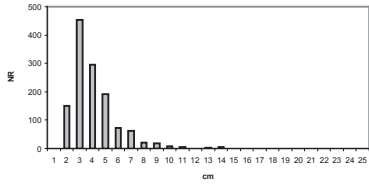
XIV



Longueur fragment XIV	
Moyenne	4,32
Écart-type	1,66
Variance de l'échantillon	2,75
Minimum	2
Maximum	10
Nombre d'échantillons	77

Largeur fragment XIV	
Moyenne	1,64
Écart-type	0,92
Variance de l'échantillon	0,84
Minimum	1
Maximum	5
Nombre d'échantillons	77

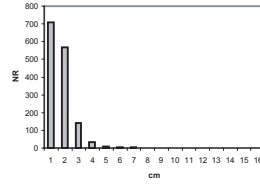
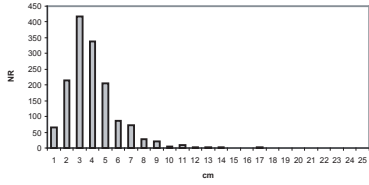
XV



Longueur fragment XV	
Moyenne	4,29
Écart-type	1,98
Variance de l'échantillon	3,92
Minimum	0,4
Maximum	24
Nombre d'échantillons	1180

Largeur fragment XV	
Moyenne	1,8
Écart-type	0,88
Variance de l'échantillon	0,78
Minimum	0,5
Maximum	7
Nombre d'échantillons	1163

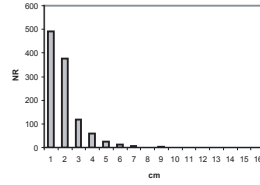
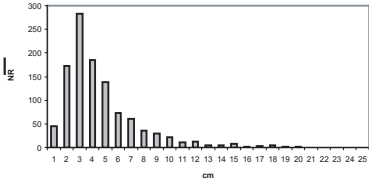
XVI



Longueur fragment XVI	
Moyenne	4,34
Écart-type	1,97
Variance de l'échantillon	3,87
Minimum	1
Maximum	19
Nombre d'échantillons	1284

Largeur fragment XVI	
Moyenne	1,80
Écart-type	0,99
Variance de l'échantillon	0,97
Minimum	0,5
Maximum	16
Nombre d'échantillons	1276

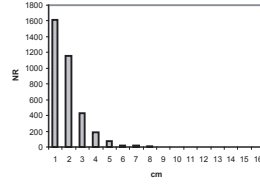
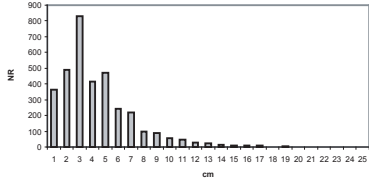
XVII-XVIII



Longueur fragment XVII-XVIII	
Moyenne	4,97
Écart-type	2,92
Variance de l'échantillon	8,50
Minimum	1
Maximum	20
Nombre d'échantillons	949

Largeur fragment XVII-XVIII	
Moyenne	2,03
Écart-type	1,18
Variance de l'échantillon	1,39
Minimum	0,6
Maximum	9
Nombre d'échantillons	948

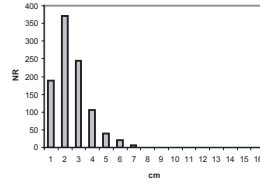
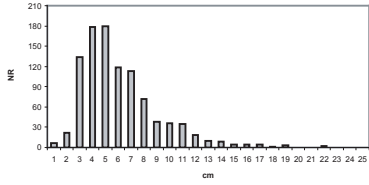
XIX



Longueur fragment XIX	
Moyenne	5,09
Écart-type	2,75
Variance de l'échantillon	7,55
Minimum	1
Maximum	25
Nombre d'échantillons	2720

Largeur fragment XIX	
Moyenne	2,12
Écart-type	1,21
Variance de l'échantillon	1,46
Minimum	1
Maximum	12
Nombre d'échantillons	2717

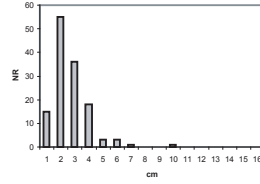
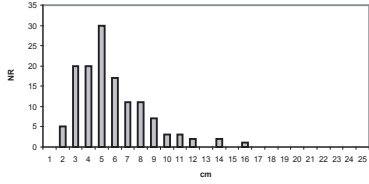
XX



Longueur fragment XX	
Moyenne	6,13
Écart-type	3,00
Variance de l'échantillon	8,99
Minimum	1,6
Maximum	22
Nombre d'échantillons	972

Largeur fragment XX	
Moyenne	2,5
Écart-type	1,22
Variance de l'échantillon	1,49
Minimum	0,6
Maximum	8
Nombre d'échantillons	968

XXIa



Longueur fragment c. XXIa	
Moyenne	5,77
Écart-type	2,63
Variance de l'échantillon	6,90
Minimum	2
Maximum	16
Nombre d'échantillons	132

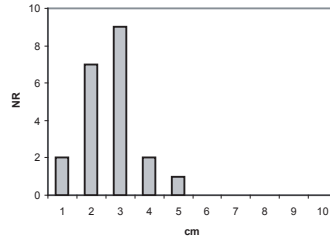
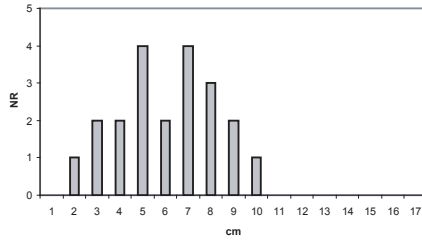
Largeur fragment c. XXIa	
Moyenne	2,69
Écart-type	1,31
Variance de l'échantillon	1,71
Minimum	1
Maximum	10
Nombre d'échantillons	132



Longueur des fragments

Largeur des fragments

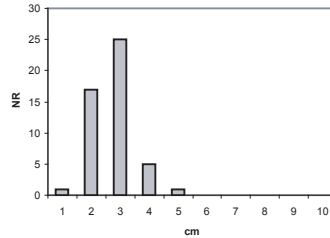
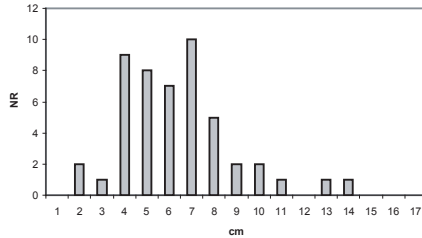
VIII



Longueur Fragment Cervus elaphus	
Moyenne	6,1
Écart-type	2,2
Variance de l'échantillon	4,8
Minimum	2
Maximum	10
Nombre d'échantillons	21

Largeur Fragment Cervus elaphus	
Moyenne	2,7
Écart-type	1,0
Variance de l'échantillon	0,9
Minimum	1,0
Maximum	5
Nombre d'échantillons	21

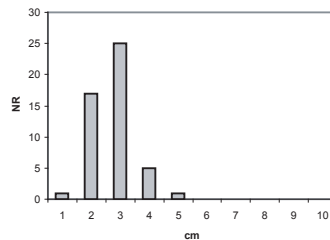
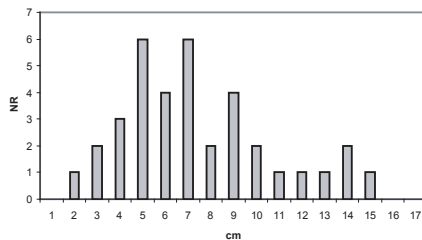
XV



Longueur Fragment Cervus elaphus	
Moyenne	6,4
Écart-type	2,6
Variance de l'échantillon	6,7
Minimum	2
Maximum	14
Nombre d'échantillons	41

Largeur Fragment Cervus elaphus	
Moyenne	2,7
Écart-type	0,7
Variance de l'échantillon	0,5
Minimum	2
Maximum	5
Nombre d'échantillons	41

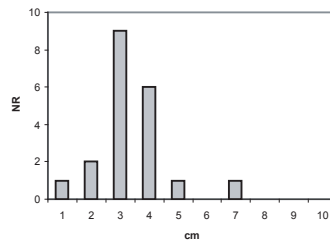
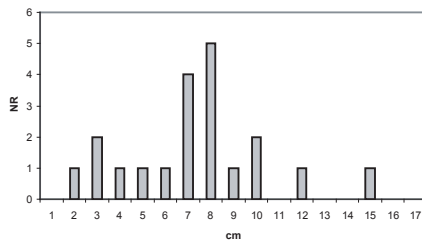
XVI



Longueur Fragment Cervus elaphus	
Moyenne	7,2
Écart-type	3,4
Variance de l'échantillon	11,3
Minimum	2
Maximum	15
Nombre d'échantillons	32

Largeur Fragment Cervus elaphus	
Moyenne	2,7
Écart-type	1,0
Variance de l'échantillon	0,9
Minimum	1
Maximum	4
Nombre d'échantillons	32

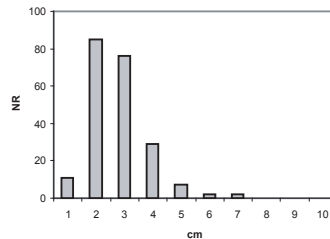
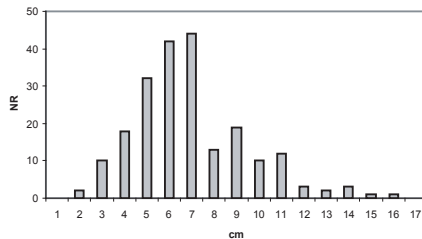
XVII-XVIII



Longueur Fragment Cervus elaphus	
Moyenne	6,9
Écart-type	2,8
Variance de l'échantillon	8,1
Minimum	2
Maximum	12
Nombre d'échantillons	13

Largeur Fragment Cervus elaphus	
Moyenne	3,1
Écart-type	0,9
Variance de l'échantillon	0,7
Minimum	1
Maximum	4
Nombre d'échantillons	13

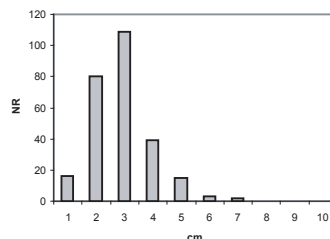
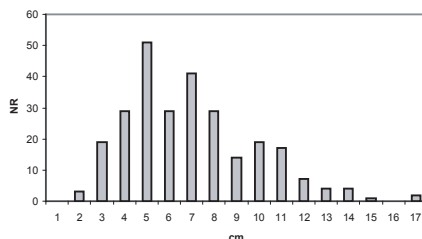
XIX



Longueur Fragment Cervus elaphus	
Moyenne	7,0
Écart-type	2,5
Variance de l'échantillon	6,0
Minimum	2
Maximum	15
Nombre d'échantillons	181

Largeur Fragment Cervus elaphus	
Moyenne	2,8
Écart-type	1,0
Variance de l'échantillon	1,0
Minimum	1
Maximum	7
Nombre d'échantillons	181

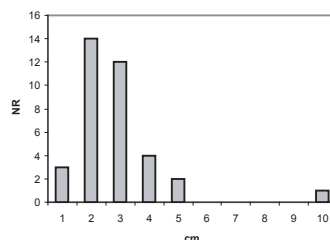
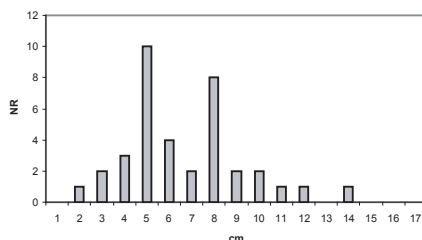
XX



Longueur Fragment Cervus elaphus	
Moyenne	7,3
Écart-type	2,7
Variance de l'échantillon	7,5
Minimum	3
Maximum	17
Nombre d'échantillons	196

Largeur Fragment Cervus elaphus	
Moyenne	2,9
Écart-type	0,9
Variance de l'échantillon	0,8
Minimum	0
Maximum	6
Nombre d'échantillons	195

XXIa



Longueur Fragment Cervus elaphus	
Moyenne	6,7
Écart-type	2,6
Variance de l'échantillon	6,9
Minimum	2
Maximum	14
Nombre d'échantillons	37

Largeur Fragment Cervus elaphus	
Moyenne	3,0
Écart-type	1,7
Variance de l'échantillon	2,9
Minimum	1
Maximum	10
Nombre d'échantillons	37



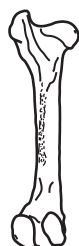
<i>Longueur Fragment Humérus Cerf</i>	
Moyenne	6,8
Écart-type	2,1
Variance de l'échantillon	4,3
Minimum	3
Maximum	11
Nombre d'échantillons	24

<i>Largeur Fragment Humérus Cerf</i>	
Moyenne	3,3
Écart-type	0,8
Variance de l'échantillon	0,7
Minimum	2
Maximum	6
Nombre d'échantillons	24



<i>Longueur Fragment Radius Cerf</i>	
Moyenne	7,7
Écart-type	2,6
Variance de l'échantillon	7,0
Minimum	3
Maximum	12
Nombre d'échantillons	14

<i>Largeur Fragment Radius Cerf</i>	
Moyenne	3,3
Écart-type	1,0
Variance de l'échantillon	1,0
Minimum	2
Maximum	6
Nombre d'échantillons	14



<i>Longueur Fragment Fémur Cerf</i>	
Moyenne	6,8
Écart-type	2,5
Variance de l'échantillon	6,5
Minimum	3
Maximum	10
Nombre d'échantillons	20

<i>Largeur Fragment Fémur Cerf</i>	
Moyenne	3,2
Écart-type	0,8
Variance de l'échantillon	0,6
Minimum	2
Maximum	5
Nombre d'échantillons	19



<i>Longueur Fragment Tibia Cerf</i>	
Moyenne	8,7
Écart-type	2,8
Variance de l'échantillon	8,1
Minimum	4
Maximum	14
Nombre d'échantillons	38

<i>Largeur Fragment Tibia Cerf</i>	
Moyenne	3,1
Écart-type	0,8
Variance de l'échantillon	0,7
Minimum	1
Maximum	5
Nombre d'échantillons	38

<i>Longueur Fragment Cerf</i>	
Moyenne	7,3
Écart-type	2,7
Variance de l'échantillon	7,5
Minimum	3
Maximum	17
Nombre d'échantillons	196

<i>Largeur Fragment Cerf</i>	
Moyenne	2,9
Écart-type	0,9
Variance de l'échantillon	0,8
Minimum	0
Maximum	6
Nombre d'échantillons	195



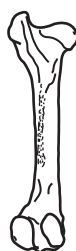
Longueur Fragment Humerus Cerf	
Moyenne	6,9
Écart-type	2,5
Variance de l'échantillon	6,3
Minimum	4
Maximum	13
Nombre d'échantillons	14

Largeur Fragment Humerus Cerf	
Moyenne	3,3
Écart-type	0,5
Variance de l'échantillon	0,2
Minimum	3
Maximum	4
Nombre d'échantillons	14



Longueur Fragment Radius Cerf	
Moyenne	7,5
Écart-type	2,5
Variance de l'échantillon	6,0
Minimum	4
Maximum	14
Nombre d'échantillons	19

Largeur Fragment Radius Cheval	
Moyenne	2,8
Écart-type	1,1
Variance de l'échantillon	1,1
Minimum	2
Maximum	6
Nombre d'échantillons	19



Longueur Fragment Fémur Cerf	
Moyenne	6,4
Écart-type	2,4
Variance de l'échantillon	5,8
Minimum	2
Maximum	12
Nombre d'échantillons	22

Largeur Fragment Fémur Cerf	
Moyenne	3,1
Écart-type	1,1
Variance de l'échantillon	1,3
Minimum	2
Maximum	7
Nombre d'échantillons	22

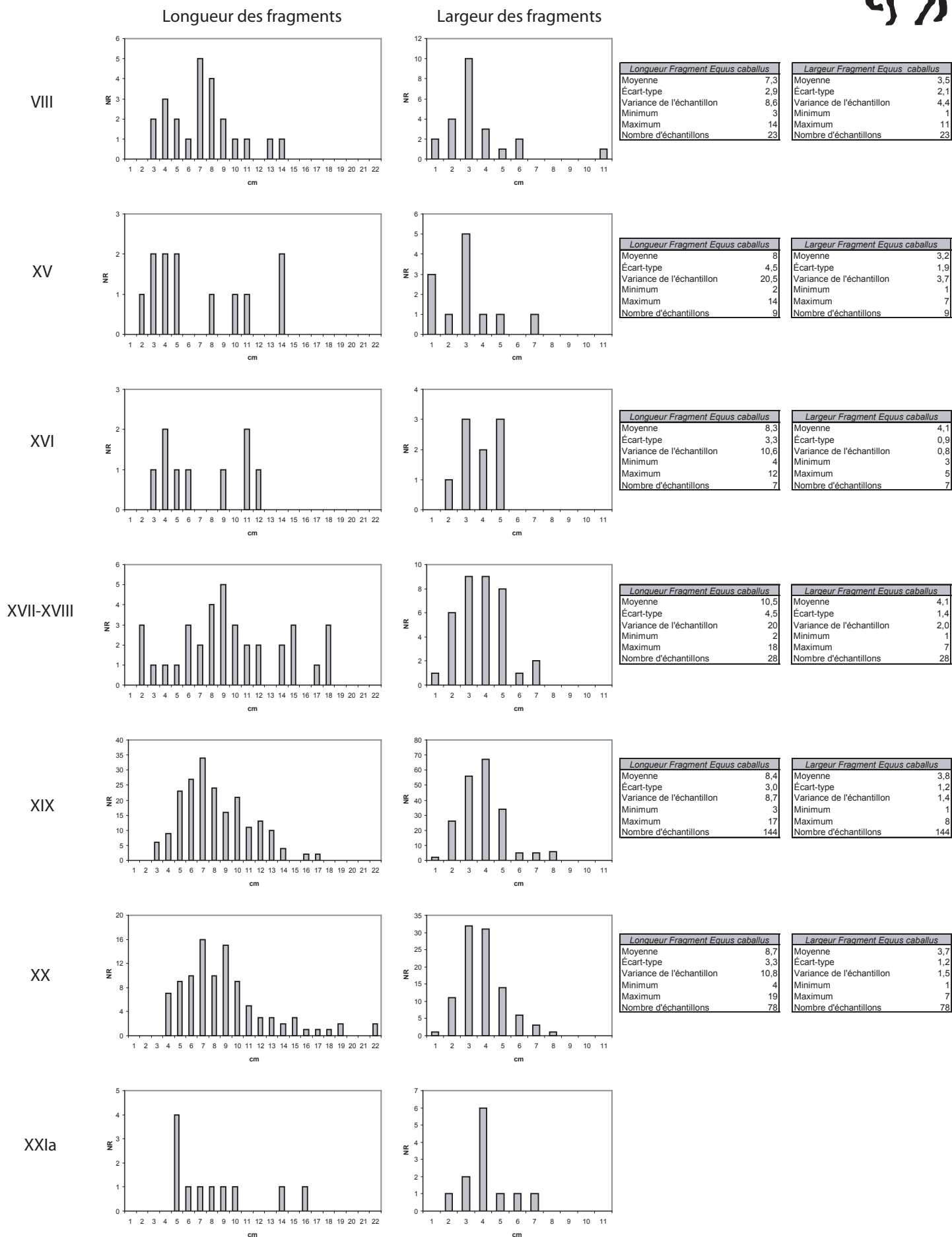


Longueur Fragment Tibia Cerf	
Moyenne	8,2
Écart-type	2,3
Variance de l'échantillon	5,2
Minimum	5
Maximum	14
Nombre d'échantillons	28

Largeur Fragment Tibia Cerf	
Moyenne	3,3
Écart-type	1,0
Variance de l'échantillon	1,0
Minimum	2
Maximum	5
Nombre d'échantillons	28

Longueur Fragment Cerf	
Moyenne	7,0
Écart-type	2,5
Variance de l'échantillon	6,0
Minimum	2
Maximum	15
Nombre d'échantillons	181

Largeur Fragment Cerf	
Moyenne	2,8
Écart-type	1,0
Variance de l'échantillon	1,0
Minimum	1
Maximum	7
Nombre d'échantillons	181





<i>Longueur Fragment Humérus Cheval</i>	
Moyenne	7,3
Écart-type	2,4
Variance de l'échantillon	5,7
Minimum	4
Maximum	12
Nombre d'échantillons	12

<i>Largeur Fragment Humérus Cheval</i>	
Moyenne	4
Écart-type	1,2
Variance de l'échantillon	1,5
Minimum	2
Maximum	6
Nombre d'échantillons	12



<i>Longueur Fragment Radius Cheval</i>	
Moyenne	8,6
Écart-type	3,2
Variance de l'échantillon	10,3
Minimum	5
Maximum	14
Nombre d'échantillons	7

<i>Largeur Fragment Radius Cheval</i>	
Moyenne	3,3
Écart-type	1,1
Variance de l'échantillon	1,2
Minimum	2
Maximum	5
Nombre d'échantillons	7



<i>Longueur Fragment Fémur Cheval</i>	
Moyenne	9,2
Écart-type	2,6
Variance de l'échantillon	6,9
Minimum	7
Maximum	16
Nombre d'échantillons	9

<i>Largeur Fragment Fémur Cheval</i>	
Moyenne	4,4
Écart-type	1,5
Variance de l'échantillon	2,3
Minimum	2
Maximum	7
Nombre d'échantillons	9



<i>Longueur Fragment Tibia Cheval</i>	
Moyenne	9,8
Écart-type	3,9
Variance de l'échantillon	15,3
Minimum	5
Maximum	19
Nombre d'échantillons	23

<i>Largeur Fragment Tibia Cheval</i>	
Moyenne	3,9
Écart-type	1,3
Variance de l'échantillon	1,8
Minimum	2
Maximum	7
Nombre d'échantillons	23

<i>Longueur Fragment Cheval</i>	
Moyenne	8,7
Écart-type	3,3
Variance de l'échantillon	10,8
Minimum	4
Maximum	19
Nombre d'échantillons	78

<i>Largeur Fragment Cheval</i>	
Moyenne	3,7
Écart-type	1,2
Variance de l'échantillon	1,5
Minimum	1
Maximum	7
Nombre d'échantillons	78



Longueur Fragment Humerus Cheval	
Moyenne	8,3
Écart-type	2,6
Variance de l'échantillon	6,9
Minimum	3
Maximum	13
Nombre d'échantillons	26

Largeur Fragment Humerus Cheval	
Moyenne	4,0
Écart-type	1,0
Variance de l'échantillon	1,1
Minimum	1
Maximum	6
Nombre d'échantillons	26



Longueur Fragment Radius Cheval	
Moyenne	9,5
Écart-type	4,6
Variance de l'échantillon	20,7
Minimum	3
Maximum	17
Nombre d'échantillons	14

Largeur Fragment Radius Cheval	
Moyenne	3,4
Écart-type	1,7
Variance de l'échantillon	2,9
Minimum	1
Maximum	8
Nombre d'échantillons	14



Longueur Fragment Fémur Cheval	
Moyenne	8,5
Écart-type	2,6
Variance de l'échantillon	7,0
Minimum	5
Maximum	16
Nombre d'échantillons	26

Largeur Fragment Fémur Cheval	
Moyenne	4,2
Écart-type	0,8
Variance de l'échantillon	0,6
Minimum	3
Maximum	6
Nombre d'échantillons	26

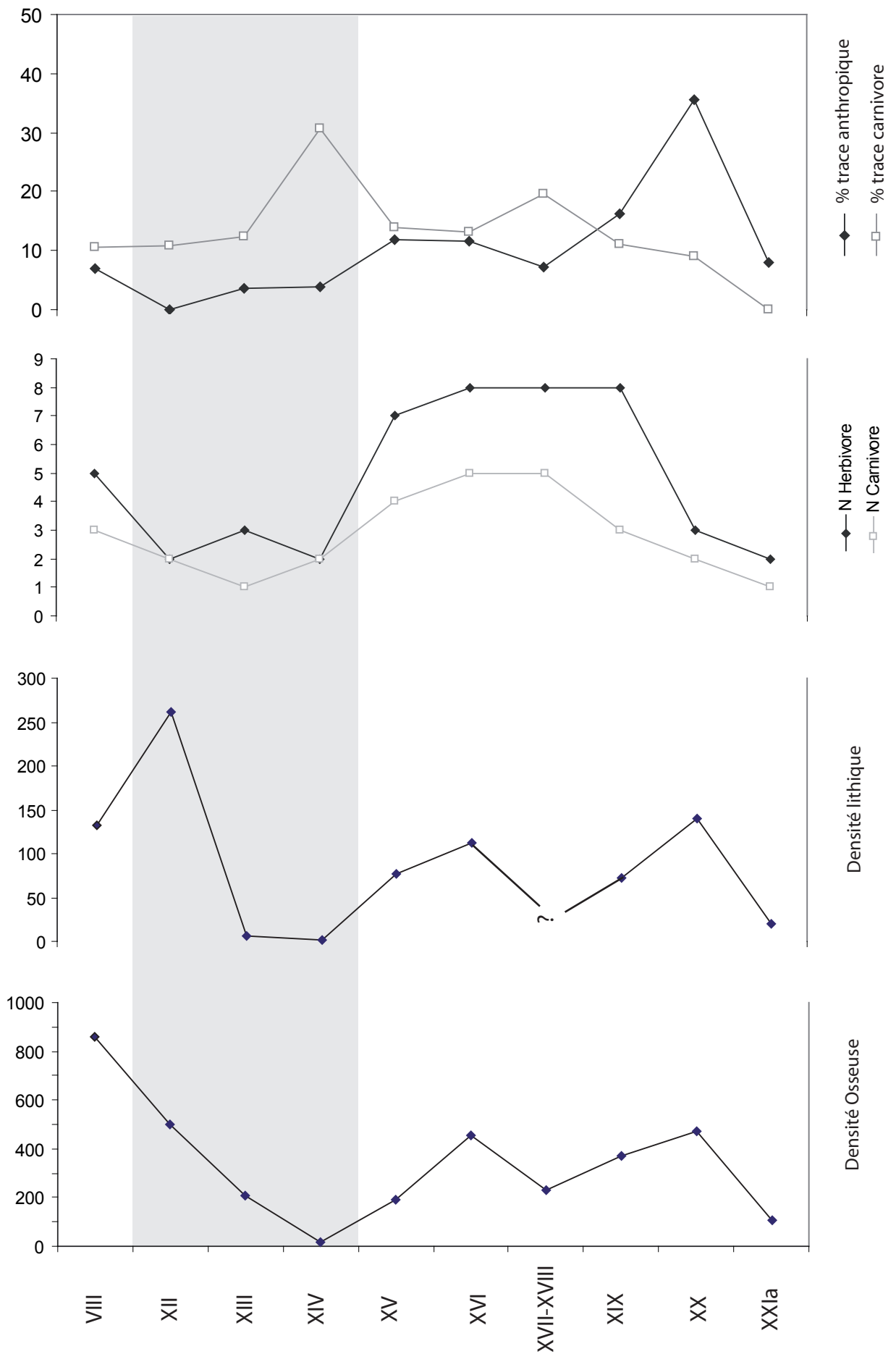


Longueur Fragment Tibia Cheval	
Moyenne	8,7
Écart-type	3,1
Variance de l'échantillon	9,4
Minimum	3
Maximum	14
Nombre d'échantillons	33

Largeur Fragment Tibia Cheval	
Moyenne	4,1
Écart-type	1,3
Variance de l'échantillon	1,7
Minimum	2
Maximum	8
Nombre d'échantillons	33

Longueur Fragment Cheval	
Moyenne	8,4
Écart-type	3,0
Variance de l'échantillon	8,7
Minimum	3
Maximum	17
Nombre d'échantillons	144

Largeur Fragment Cheval	
Moyenne	3,8
Écart-type	1,2
Variance de l'échantillon	1,4
Minimum	1
Maximum	8
Nombre d'échantillons	144



Annexe 78 (La Baume de Gigny) : Comparaison des densités osseuse et lithique avec l'impact carnivore et anthropique

Espèce	NRD	% NRD	NMlc	Age				Saison	Carnivore	Homme	Origine	Accessibilité	Profil Squelet.	Rapport membre	Traitement de la carcasse				Acquisition
				F	J	A	V								Dépouillement	Décharnement	Fracturation	Ind. Osseuse	
<i>Cervus elaphus</i>	37	50%	3	1	2				5,4%	Anthropique	Primaire	Absence os court, et phalange	ma/mp : 4/9 ms/mi : 8/5		x			Chasse ou Charognage Actif	
<i>Equus caballus</i>	35	48,6%	3		3				25%	Anthropique	Primaire	Absence os court, métapode et phalange	ma/mp : 1/1 ms/mi : 0/2		x			Chasse ou Charognage Actif	
<i>Panthera spelaea</i>	1	1,4%	1		1					Naturelle		1 radius							

Annexe 79 (La Baume de Gigny ; couche XXIa) : Tableau récapitulatif des données fauniques

Espèce	NRD	% NRD	NMlc	Age				Saison	% Carnivore	% Homme	Origine	Accessibilité	Profil Squelet.	Rapport membre	Traitement de la carcasse				Acquisition
				F	J	A	V								Dépouillement	Décharnement	Fracturation	Ind. Osseuse	
<i>Cervus elaphus</i>	275	66,4%	8	2	5	1		6,8%	41,8%	Anthropique	Primaire	Entier os longs dominants	ma/mp : 14/17 ms/mi : 15/16	x	x	x	x	Chasse	
<i>Equus caballus</i>	110	26,6%	6	3	2	1		15,2%	47,8%	Anthropique	Primaire	Absence os courts et bas de patte	ma/mp : 9/11 ms/mi : 10/10	x	x	x	x	Chasse	
<i>Bison priscus</i>	24	5,8%	2		2				44,4%	Anthropique	Primaire	Os Charnus + Cheville osseuse	ma/mp : 4/2 ms/mi : 6/0		x	x		Chasse ou Charognage Actif	
<i>Vulpes vulpes</i>	3	0,7%	1		1			100%		Naturelle		2 Mtt + 1 tarse							
<i>Ursus spelaeus</i>	2	0,5%	1		1					Naturelle		Dent + tarse							

Annexe 80 (La Baume de Gigny ; couche XX) : Tableau récapitulatif des données fauniques

Espèce	NRD	% NRD	NMIc	Age					Saison	% Carnivore	% Homme	Origine	Accessibilité	Profil Squelet.	Rapport membre ma/mp : 15/20 ms/mi : 20/15	Traitement de la carcasse				Acquisition
				F	J	A	V	Dépouillement								Déchagement	Fracturation	Ind. Osseuse		
<i>Equus caballus</i>	314	40,2%	13	2	3	6	2	fin été- automne et fin hiver-été	18,5%	26,3%	Anthropique	Primaire	Os courts et phalanges sous représentés	ma/mp : 15/20 ms/mi : 20/15	x	x	x	x	Chasse	
<i>Cervus elaphus</i>	225	28,8%	7	2	5			été-automne	9,3%	31,2%	Anthropique	Primaire	Entier	ma/mp : 14/16 ms/mi : 13/17	x	x	x	x	Chasse	
<i>Bison priscus</i>	63	8,1%	2		2				5,2%	22%	Anthropique	Primaire	Manque ceinture, os court et phalanges rares	ma/mp : 2/7 ms/mi : 5/4	x	x	x		Chasse ou Charognage actif	
<i>Rangifer tarandus</i>	15	1,9%	1				1		14,3%	14,3%	Anthropique	Primaire ou Secondaire	Os long	ma/mp : 1/2 ms/mi : 1/2	x	x	x		Charognage (passif ?)	
<i>Mammuthus primigenius</i>	14	1,8%	1				1						Ivoire							
<i>Megaloceros giganteus</i>	10	1,3%	1				1		10%	50%	Anthropique	Primaire ou Secondaire	Métapode + Tibia		x	x	x		Charognage passif	
<i>Rupicapra rupicapra</i>	2	0,3%	1				1		50%		Carnivore		Métatarse + Phalange							
<i>Equus hydruntinus</i>	1	0,1%	1				1						Dent							
<i>Ursus spelaeus</i>	102	13,1%	9	3	1	4	1	hiver	19,3%		Naturelle		Entier							
<i>Vulpes vulpes</i>	22	2,8%	2				2		20%		Naturelle		Entier							
<i>Canis lupus</i>	7	0,9%	2				1		42,9%		Naturelle		Os long							
<i>Lepus timidus</i>	6	0,8%	1				1				Naturelle ou Carnivore		Entier							

Annexe 81 (La Baume de Gigny ; couche XIX) : Tableau récapitulatif des données fauniques

Espèce	NRD	% NRD	NMic	Age					Saison	Carnivore	Homme	Origine	Accessibilité	Profil Squelet.	Rapport membre	Traitement de la carcasse				Acquisition
				F	J	A	V	Dépeçage								Déchagement	Fracturation	Ind. Osseuse		
<i>Equus caballus</i>	52	22,9%	7	2	1	3	1	Automne Printemps	37,8%	25%	Anthropique	Primaire	Absence ceintures, os courts et phalanges	ma/mp : 6/7 ms/mi : 7/6	x	x			Chasse	
<i>Cervus elaphus</i>	23	10,1%	3	1	1	1			10,5%	5,3%		Primaire ou Secondaire	Absence os courts et phalanges rares	ma/mp : 1/4 ms/mi : 4/1	x	x			Chasse ou Charognage	
<i>Rangifer tarandus</i>	18	7,9%	2	1	1				23,1%	15,4%		Primaire ou Secondaire	Absence ceintures, phalange et os courts rares	ma/mp : 4/2 ms/mi : 3/3	x				Chasse ou Charognage	
<i>Capra ibex</i>	12	5,3%	2		2				22,2%		Carnivore		Crâne + Os long							
<i>Bison priscus</i>	8	3,5%	1		1					14,3%	Anthropique	Primaire	Os longs		x	x		x	Charognage actif	
<i>Megloceros giganteus</i>	5	2,2%	1		1				20%	40%	Anthropique	Secondaire	Os longs			x		x	Charognage passif	
<i>Rupicapra rupicapra</i>	2	0,9%	1		1				100%		Carnivore		Dent + Phalange							
<i>Coelodonta antiquitatis</i>	1	0,4%	1		1								Phalange							
<i>Ursus spelaeus</i>	83	36,6%	6	1	2	2	1		25,6%		Naturelle		Entier							
<i>Canis lupus</i>	6	2,6%	2	1	1				66,7%		Naturelle		Absence du crâne							
<i>Alopex lagopus</i>	5	2,2%	1		1				40%		Naturelle		Entier							
<i>Vulpes vulpes</i>	3	1,3%	1		1						Naturelle		Entier ?							
<i>Meles meles</i>	1	0,4%	1		1						Naturelle		Os long							
<i>Lepus timidus</i>	6	2,6%	1		1				33,3%		Carnivore		Entier							
<i>Castor fiber</i>	2	0,9%	1		1								Membre antérieur							

Annexe 82 (La Baume de Gigny ; couche XVII-XVIII) : Tableau récapitulatif des données fauniques

Espèce	NRD	% NRD	NMIC	Age					Saison	Carnivore	Homme	Origine	Accessibilité	Profil. Squel.	Rapport membre	Traitement de la carcasse				Acquisition
				F	J	A	V	Dépeuplement								Déchamement	Fracturation	Ind. Osseuse		
<i>Rangifer tarandus</i>	45	24,9%	4	1	2	1			15,6%	9,4%	Anthropique et/ou Carnivore	Primaire ou Secondaire	Os courts et phalanges rares	ma/mp : 3/4 ms/mi : 3/4		x	x		Chasse ou Charognage	
<i>Cervus elaphus</i>	39	21,5%	3	1	2		Fin printemps-automne	13,5%	35,1%	Anthropique	Primaire	Os longs très majoritaires	ma/mp : 3/6 ms/mi : 4/5	x	x	x	x	Chasse		
<i>Bison priscus</i>	19	10,5%	3	1	2		Automne	12,5%	31,3%	Anthropique	Primaire	Os longs très majoritaires	ma/mp : 3/3 ms/mi : 4/2	x	x	x		Chasse		
<i>Equus caballus</i>	16	8,8%	4	1	1	1	Automne	9,1%	18,2%	Anthropique	Primaire	Crâne + Os longs	ma/mp : 3/2 ms/mi : 4/1	x				Chasse ou Charognage actif		
<i>Rupicapra rupicapra</i>	5	2,8%	1	1	1					Naturelle		Divers éléments								
<i>Capreolus capreolus</i>	5	2,8%	1	1	1			40%	20%	Anthropique et/ou Carnivore	Primaire ou Secondaire	Divers éléments						Charognage		
<i>Capra ibex</i>	2	1,1%	1	1	1					Naturelle		Crâne + Axial								
<i>Megaloceros giganteus</i>	1	0,6%	1	1	1							Phalange								
<i>Vulpes vulpes</i>	15	8,3%	2	2	2			25%		Naturelle		Entier								
<i>Ursus sp.</i>	8	4,4%	3	2	1			28,6%		Naturelle		Crâne + Os longs								
<i>Canis lupus</i>	4	2,2%	1	1	1			50%		Naturelle		Bas de patte								
<i>Alopex lagopus</i>	3	1,7%	1	1	1					Naturelle		Dent + Os long								
<i>Meles meles</i>	1	0,6%	1	1	1					Naturelle		Métatarse								
<i>Ochotona sp.</i>	7	3,9%	3	3	3			14,3%		Carnivore		Os longs + tarse								
<i>Lepus timidus</i>	11	6%	2	2	2			9,1%		Carnivore		Ceinture et os longs								

Annexe 83 (La Baume de Gigny ; couche XVI) : Tableau récapitulatif des données fauniques

Espèce	NRD	% NRD	NMic	Age				Saison	Carnivore	Homme	Origine	Accessibilité	Profil Squel.	Rapport membre	Traitement de la carcasse				Acquisition
				F	J	A	V								Dépouillement	Déchamement	Fracturation	Ind. Osseuse	
<i>Cervus elaphus</i>	50	35,5%	4	2	2			6%	32%	Anthropique	Primaire	Absence ceinture, os courts et phalanges	ma/mp : 6/8 ms/mi : 7/7	x	x	x	x	Chasse	
<i>Equus caballus</i>	19	13,5%	3	1	1	Automne		23,1%	30,8%	Anthropique	Primaire	Absence os courts et phalanges	ma/mp : 4/2 ms/mi : 3/3	x	x	x		Chasse	
<i>Rangifer tarandus</i>	19	13,5%	3	3				25%	18,8%	Anthropique et/ou Carnivore	Primaire ou Secondaire	Divers éléments	ma/mp : 1/4 ms/mi : 0/5		x	x	x	Chasse ou Charognage	
<i>Bison priscus</i>	17	12,1%	2	2				18,8%	31,3%	Anthropique	Primaire ou Secondaire	Ceinture + Os longs	ma/mp : 2/6 ms/mi : 4/4	x	x	x		Chasse ou Charognage	
<i>Capreolus capreolus</i>	4	2,8%	2	2					66,7%	Anthropique	Secondaire	Os longs	ma/mp : 2/1 ms/mi : 0/3	x	x	x		Charognage passif	
<i>Rupicapra rupicapra</i>	2	1,4%	1	1						Naturelle ou Carnivore		Dent							
<i>Capra ibex</i>	1	0,7%	1	1				100%		Carnivore		Ceinture							
<i>Ursus sp.</i>	15	10,6%	3	2	1			54,5%		Naturelle		Entier (manque bas de patte)							
<i>Canis lupus</i>	3	2,1%	1	1				33,3%		Naturelle		Divers éléments							
<i>Vulpes vulpes</i>	3	2,1%	1	1						Naturelle		Os longs							
<i>Mustélidé</i>	1	0,7%	1	1						Naturelle		Os long							
<i>Lepus timidus</i>	7	5%	2	2				28,6%		Carnivore		Axial + Ceinture + Métacarpe							

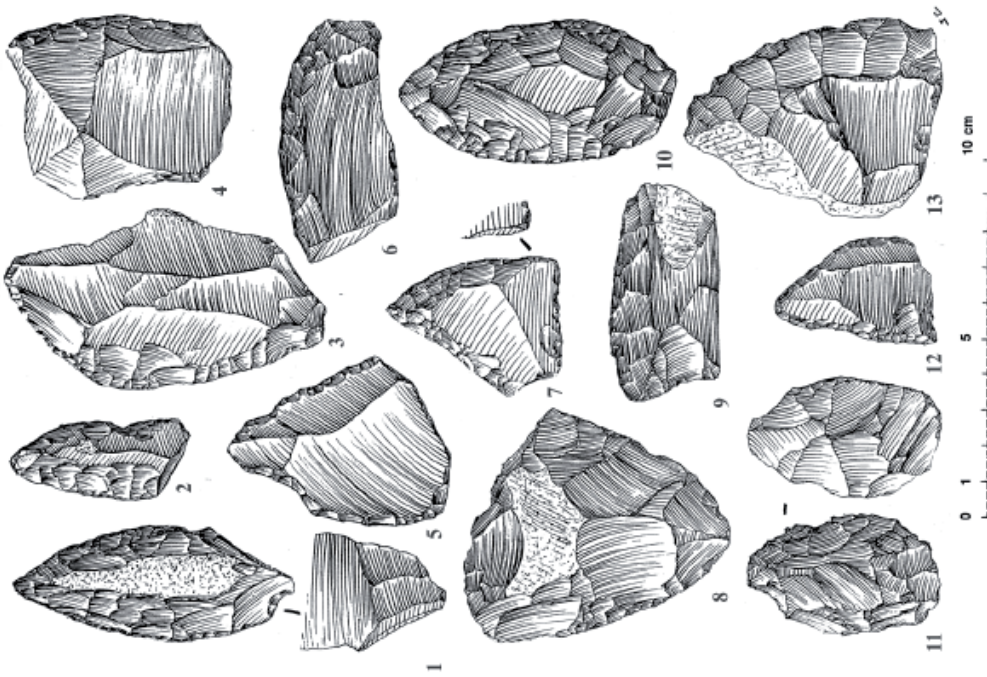
Annexe 84 (La Baume de Gigny ; couche XV) : Tableau récapitulatif des données fauniques

Espèce	NRD	% NRD	NMIc	Age					Saison	Carnivore	Homme	Origine	Accessibilité	Profil. Squelet.	Rapport membre	Traitement de la carcasse				Acquisition
				F	J	A	V	Dépouillement								Déchagement	Fracturation	Ind. Osseuse		
<i>Capreolus capreolus</i>	57	35,6%	5	1	2	1		4,2%			Carnivore et ou Anthropique		Absence os courts et phalanges rares	ma/mp : 5/2 ms/mi : 3/4						
<i>Cervus elaphus</i>	27	16,9%	2	1	1	1		26,3%	36,8%		Carnivore et ou Anthropique	Primaire	Absence os courts et phalange	ma/mp : 0/5 ms/mi : 2/3	x	x			Chasse ou Charognage actif	
<i>Equus caballus</i>	26	16,3%	1	1	1		16,7%	11,1%			Carnivore et ou Anthropique	Primaire ou Secondaire	Absence os courts, mélapodes et phalanges	ma/mp : 2/2 ms/mi : 2/2	x		x		Chasse ou Charognage	
<i>Rangifer tarandus</i>	11	6,9%	1	1	1		18,2%	9,1%			Carnivore et ou Anthropique	Primaire ou Secondaire	Absence ceinture	ma/mp : 0/2 ms/mi : 1/1					Charognage passif	
<i>Rupicapra rupicapra</i>	1	0,6%	1	1	1						Naturelle		Crâne							
<i>Ursus sp.</i>	16	10%	2	1	1		6,7%				Naturelle		Crâne majoritaire							
<i>Vulpes vulpes</i>	3	1,3%	1	1	1						Naturelle		Coxal + Phalange							
<i>Mustélidé</i>	2	1,3%	1	1	1						Naturelle		Os longs (membre antérieur)							
<i>Lepus timidus</i>	3	1,9%	1	1	1						Naturelle ou Carnivore		Divers éléments							
<i>Castor fiber</i>	14	8,8%	3	1	2				7,1%		Naturelle ou Anthropique	Primaire	Os longs majoritaires			x				Chasse ou Charognage actif

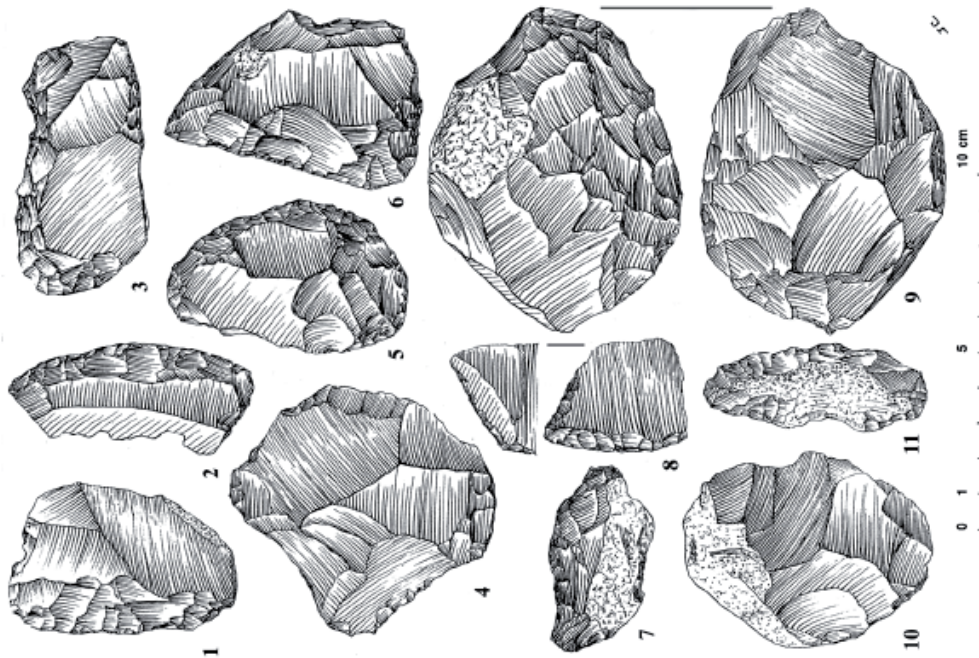
Annexe 85 (La Baume de Gigny ; couche VIII) : Tableau récapitulatif des données fauniques

	CLIMAT	ENVIRONNEMENT	ACTIVITE CARNIVORE	ACTIVITE ANTHROPIQUE	SPECTRE FAUNE EXPLOITEE	FACIES CULTUREL
VIII	Tempérée humide	Fermé	Faible à Moyenne	Faible		M. charentien type Ferrassie
IX						
X						
XI						
XII						
XIII						
XIV						
XV	Froid humide	Ouvert dominant	Moyenne	Moyenne		M. typique
XVI	Froid plus humide	Ouvert dominant	Moyenne	Moyenne		M. à denticulés
XVII-XVIII	Froid plus sec	Ouvert dominant	Forte	Faible		
XIX	Froid plus sec	Ouvert dominant	Moyenne	Moyenne		M. typique
XX	Tempéré humide	Mixte	Faible	Forte		M. riche en racloir
XXIa	Tempéré humide	Fermé	Nulla	Faible		Acheuléen

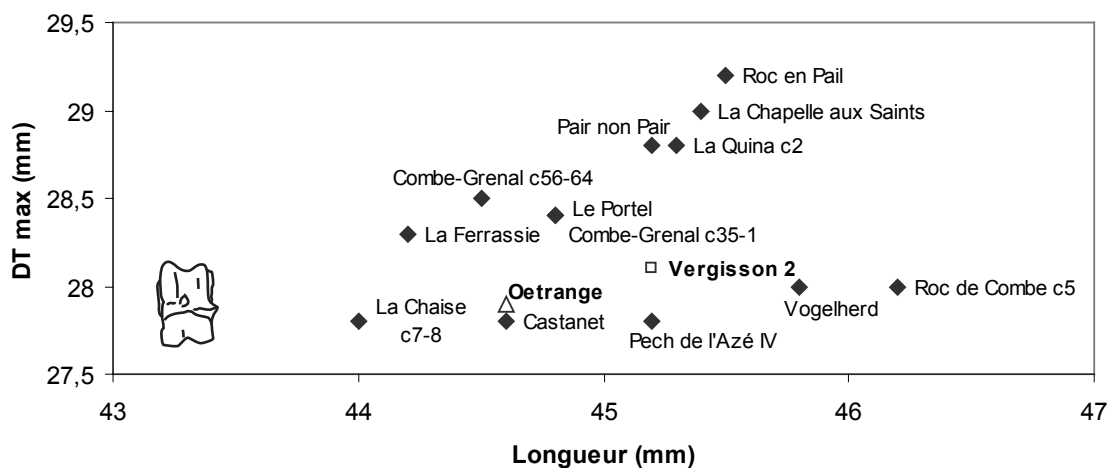
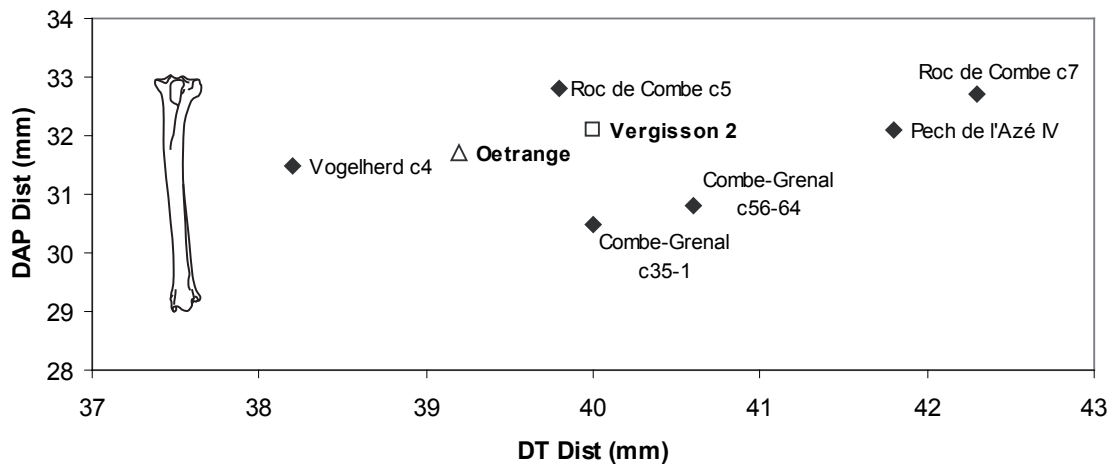
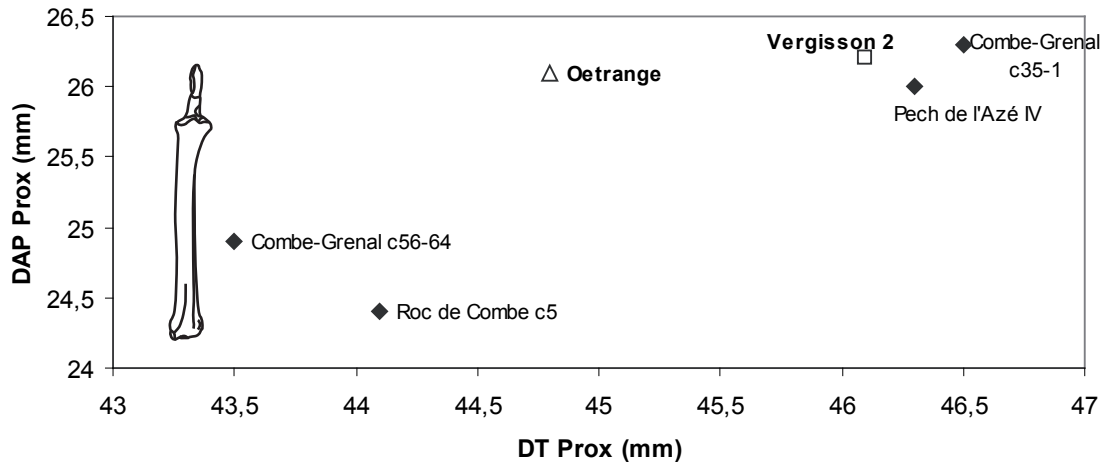
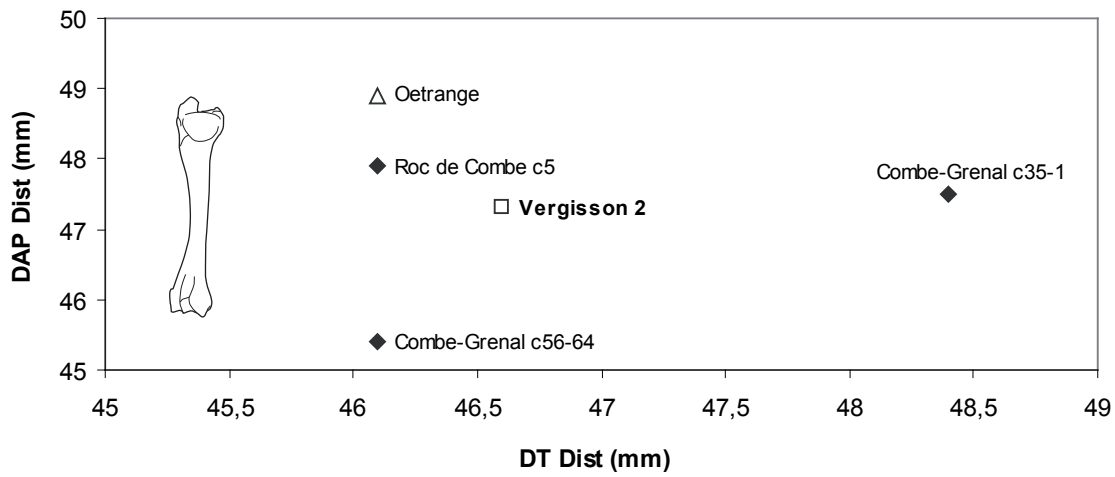
* des espèces exploitées

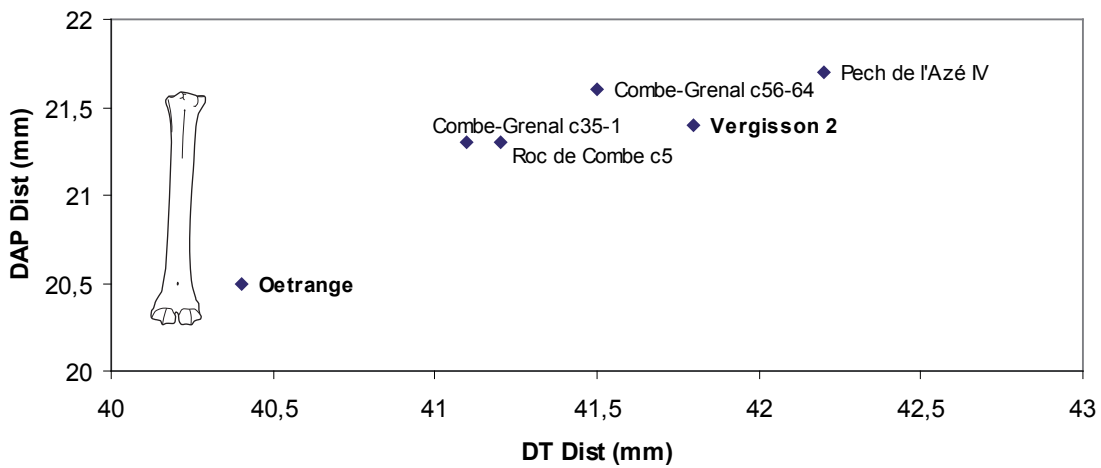
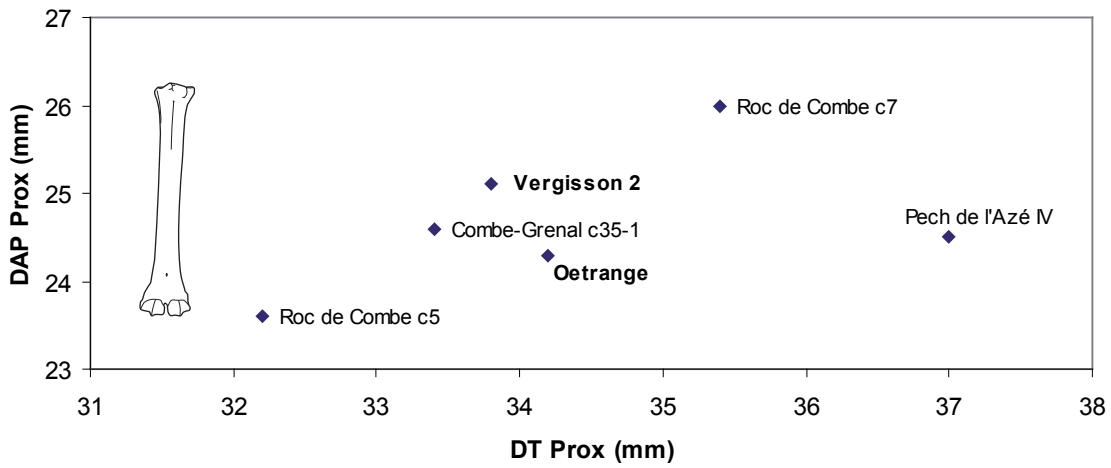
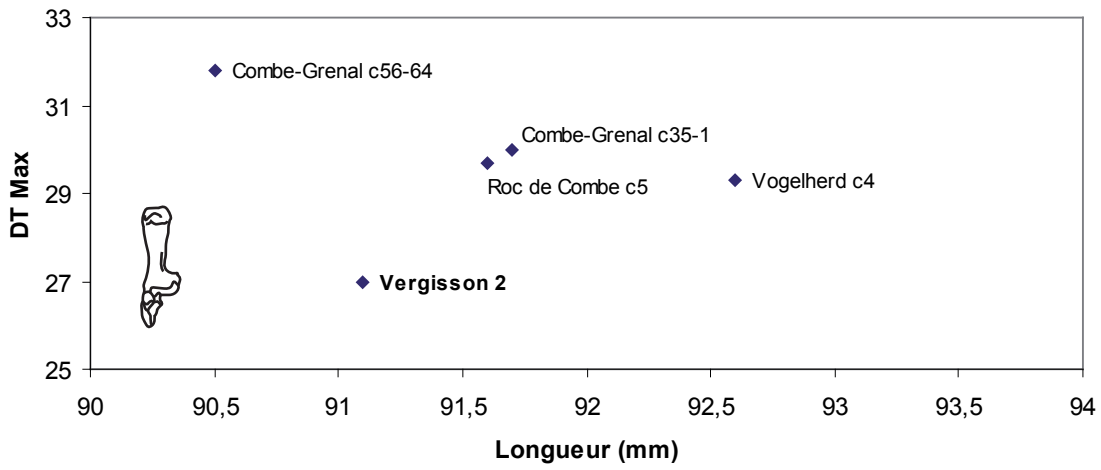


1. Racloir convergent à bord épais convexe et base aménagée, proche de la limace
2. Racloir bilatéraux de style laminaire
3. Racloir simple à bord convexe sur éclat Levallois
4. Racloir simple à bord convexe sur éclat Levallois
5. Racloir convergent avec des encoches bilatérales en bout
6. Racloir transversal convexe
7. Racloir convergent à pointe dissymétrique
8. Biface ébauché de type cordiforme à retouche plate réalisée au percuteur tendre
9. Racloir transversal convexe
10. Limace à tendane foliacée
11. Limace très épaisse à retouche plano-convexe
12. Pointe
13. Racloir simple à bord convexe sur éclat épais

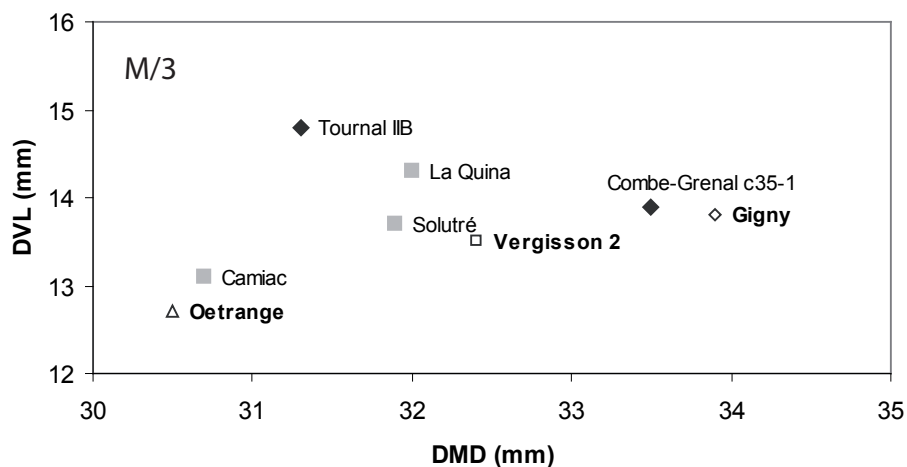
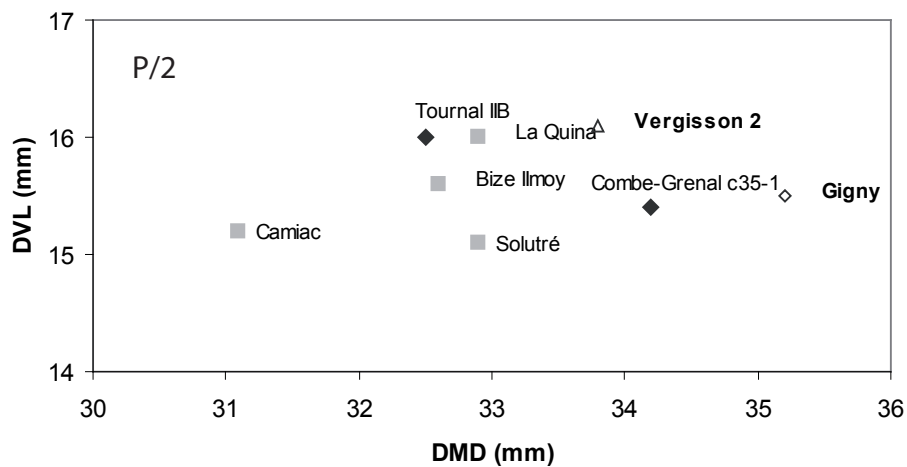
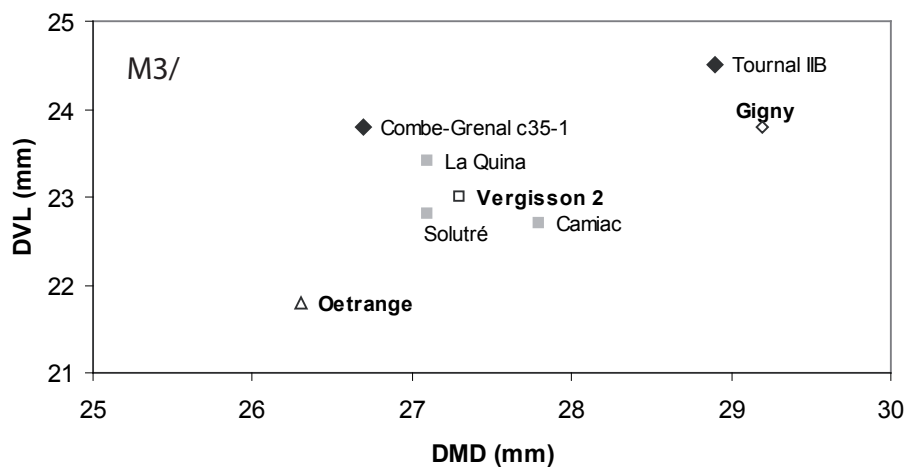
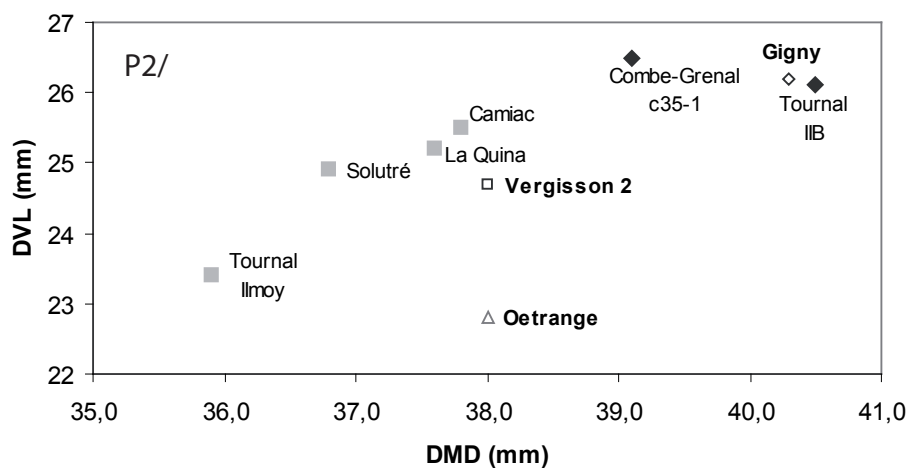


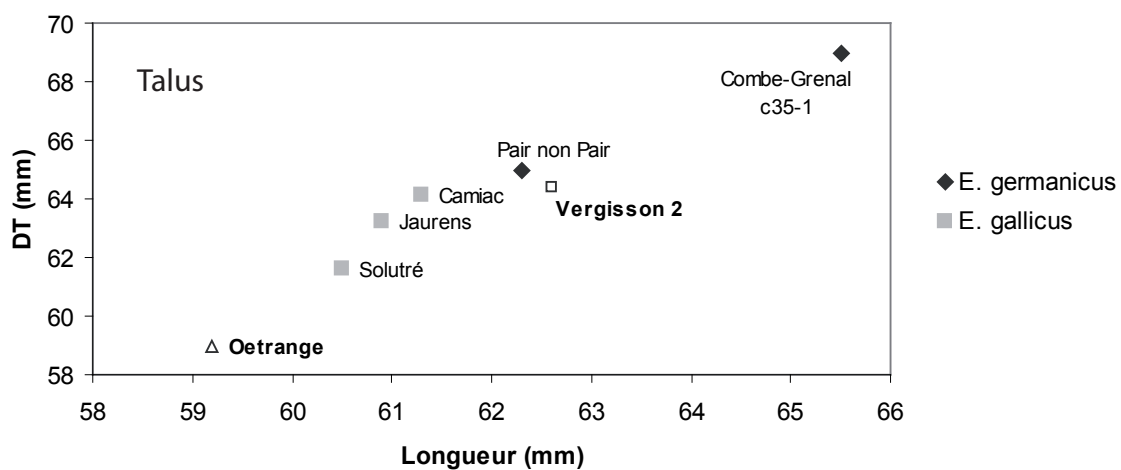
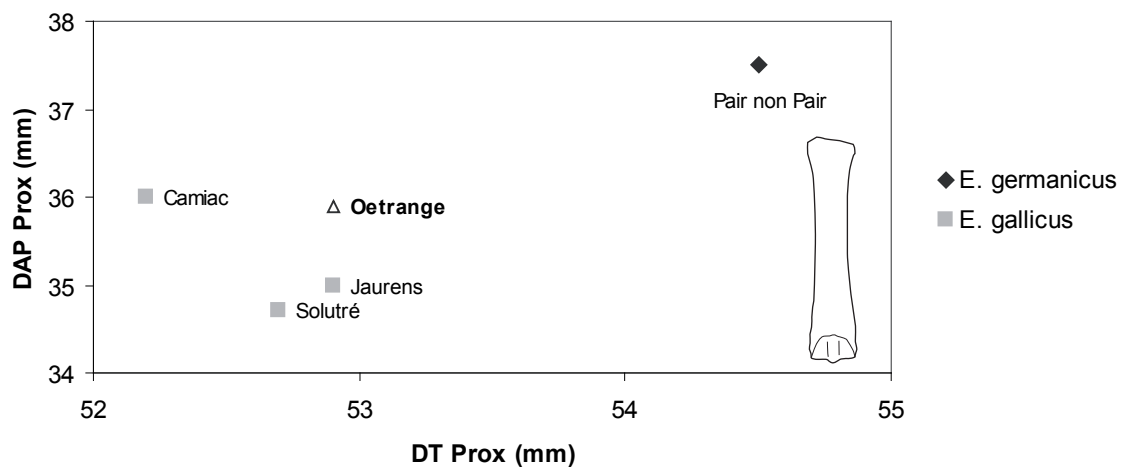
1. Racloir simple à bord convexe sur éclat épais
2. Racloir simple à bord convexe sur éclat laminaire
3. Racloir transversal sur éclat à fort talon oblique
4. Eclat Levallois de conception centripète
5. Racloir simple à bord convexe sur éclat épais
6. Racloir convergent à pointe dissymétrique
7. Racloir transversal sur éclat à fort talon oblique
8. Racloir convergent à pointe dissymétrique (presque déjetée)
9. Grand racloir à ample retouche sur les deux faces
10. Biface ébauché
11. Limace à tendance foliacée



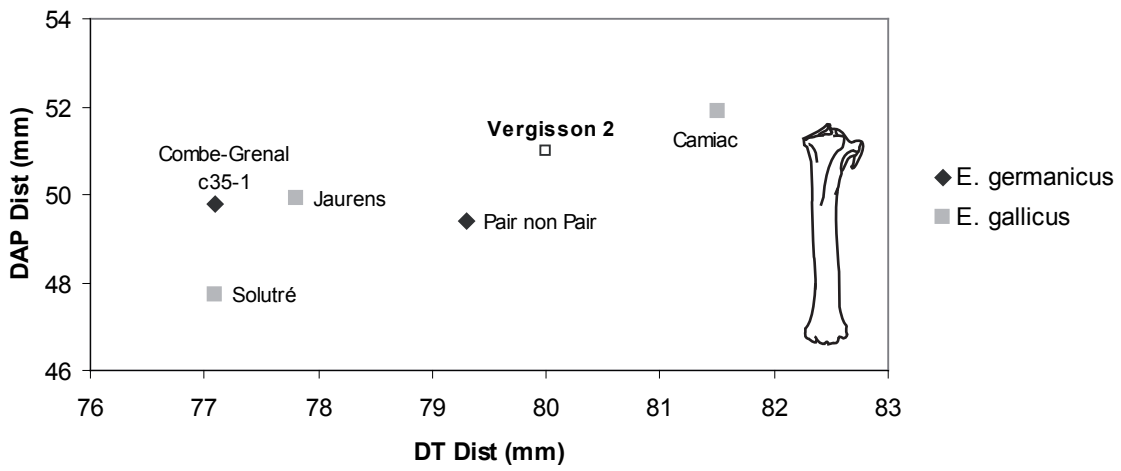
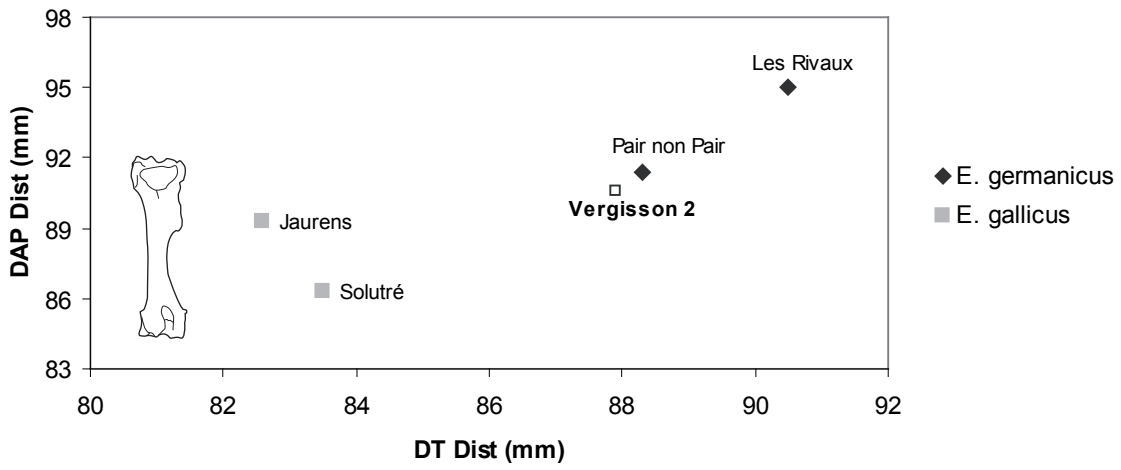


Annexe 89 (Vergisson II) : Comparaison inter-sites des mesures moyennes des éléments squelettiques de Rennes

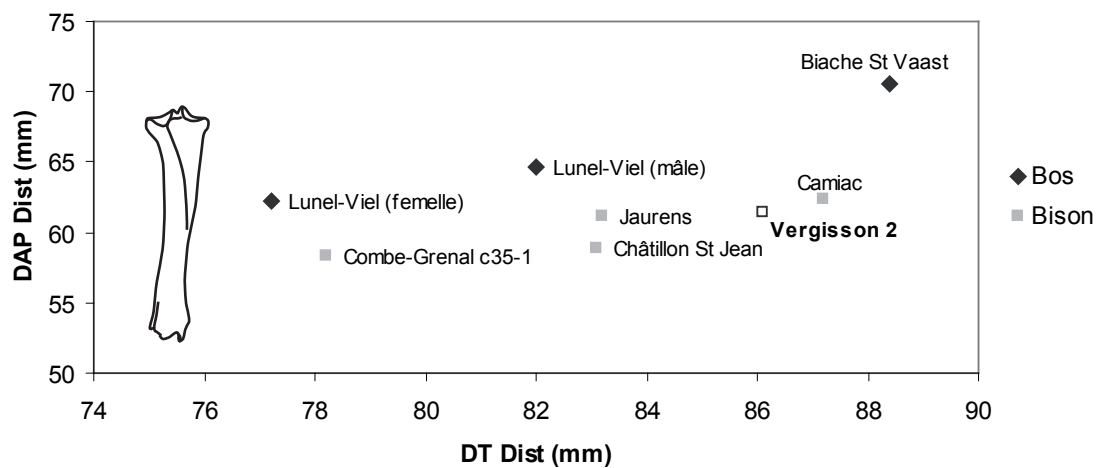
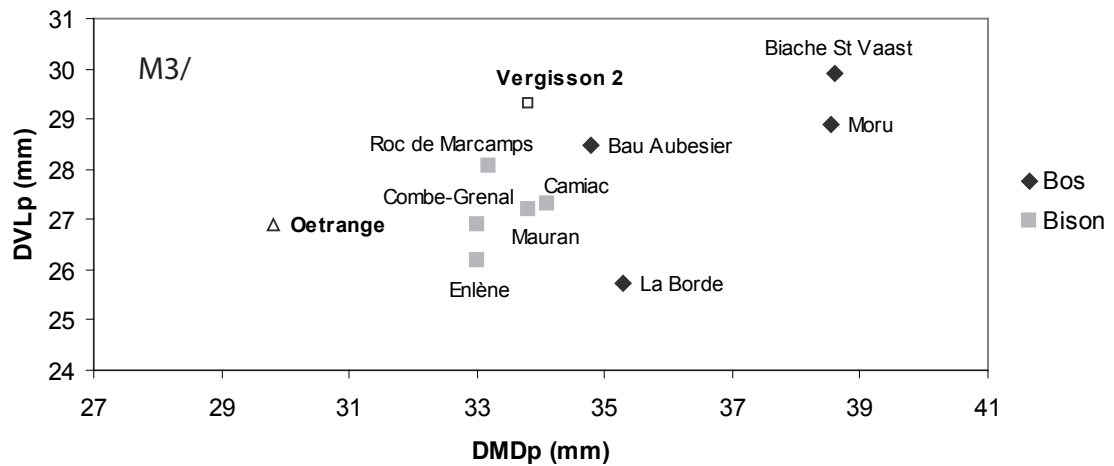
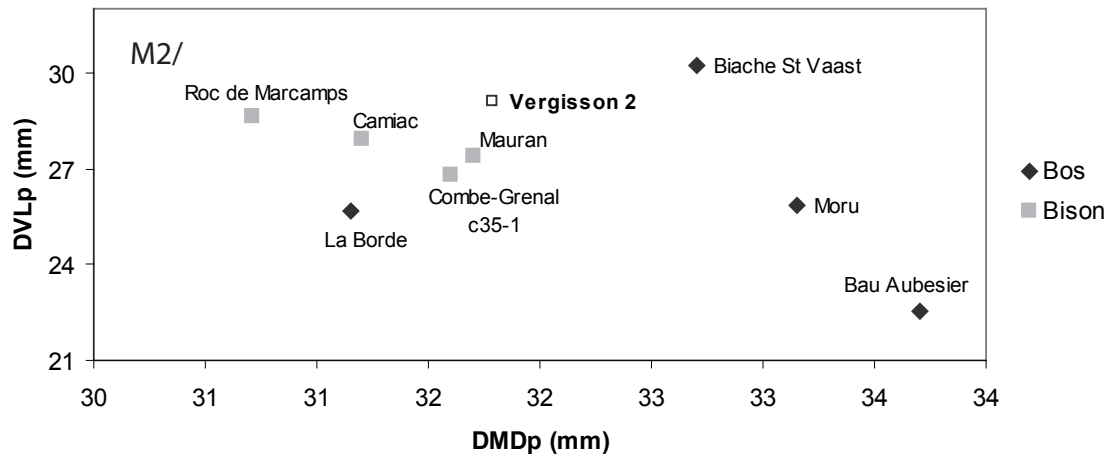
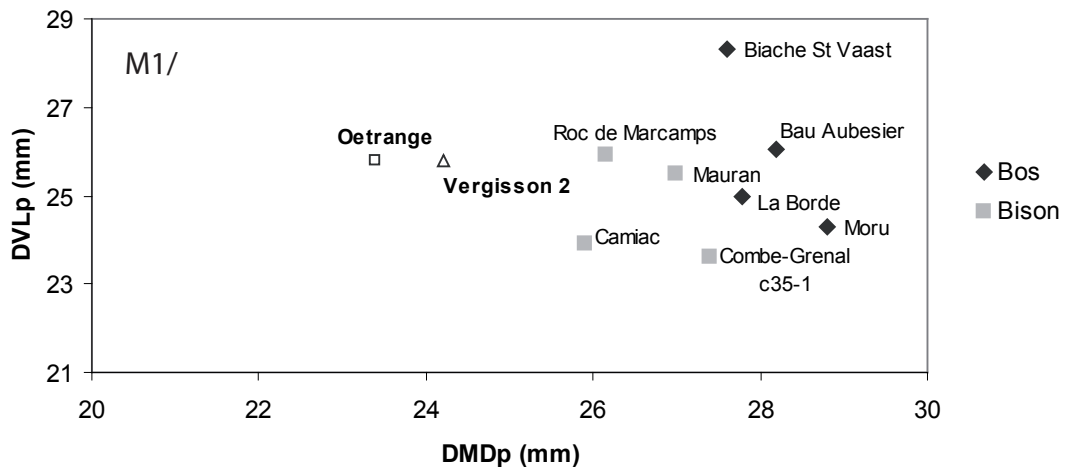


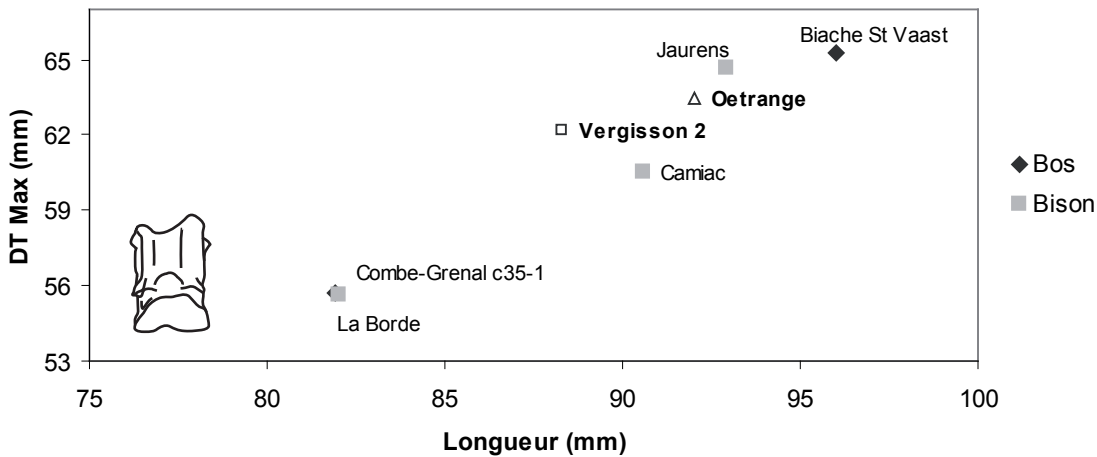
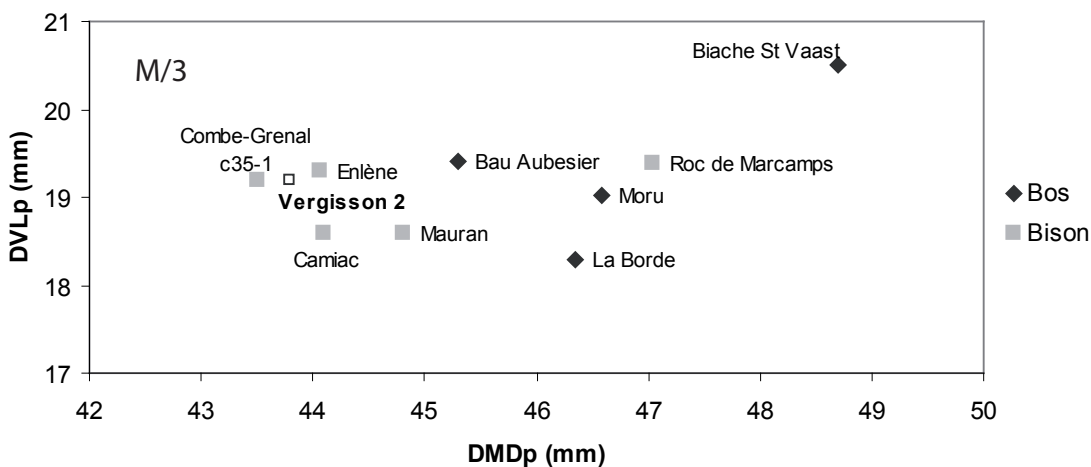
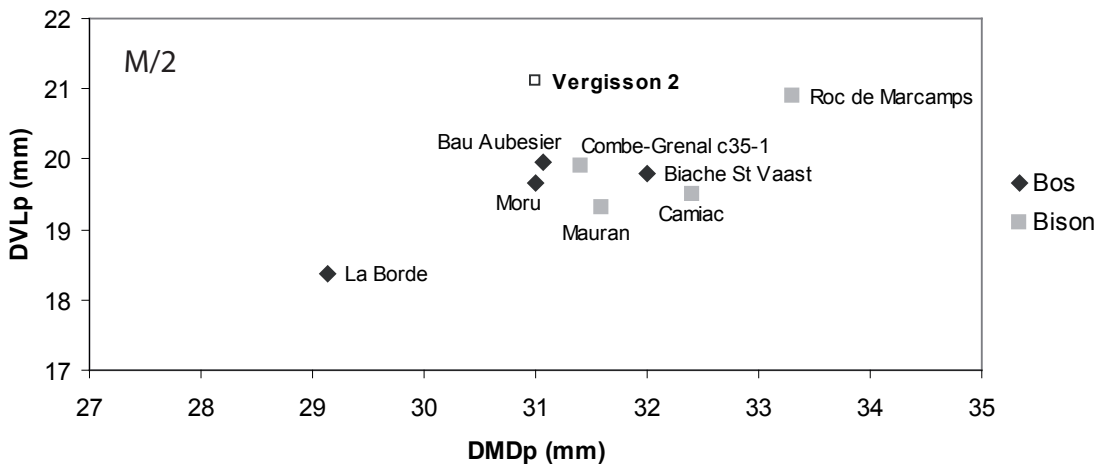
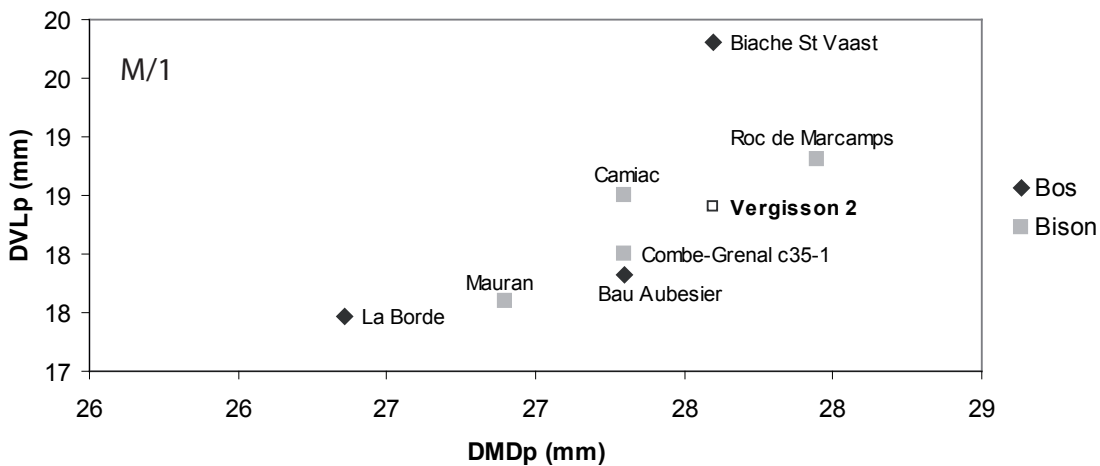


Annexe 91 (Vergisson II) : Comparaison inter-sites des mesures moyennes des éléments squelettiques du Cheval



Annexe 92 (Vergisson II) : Comparaison inter-sites des mesures moyennes des éléments squelettiques du Cheval







P2/		Combe-Grenal c.35-1	Arago	Pech de l'Azé II	L'Arquet (17-19m)	Gigny cXV-XVI	Oetrange
DMDmax	Moy	15,6	15,1	14,7	14,8	14,5	14,6
	Ecart-type	1,0	0,7	0,7	2	0,4	0,4
	min	13,1	14,5	14,1	12,9	14,2	14,4
	Max	18,4	15,9	15,5	17,4	14,8	14,9
	n	81	3	3	5	2	2
DVLmax	Moy	15,8	15,7	15,2	15,9		
	Ecart-type	1	0	1	1,4		
	min	14	15,5	14,2	14,5		
	Max	17,7	15,9	15,9	17,4		
	n	80	2	3	5		
DMDcollet	Moy	13,8			13,5		
	Ecart-type	0,9			0,7		
	min	12,1			13		
	Max	15,4			14,8		
	n	78			5		
DVLcollet	Moy	14,5			15		
	Ecart-type	0,9			0,7		
	min	11,8			13,9		
	Max	16,9			15,5		
	n	76			5		
		Guadelli,1987	Créqut,1979	Laquay,1981	Lateur,2009		

P3/		Combe-Grenal c.35-1	Arago	Pech de l'Azé II (BC)	L'Arquet (17-19m)	Oetrange
						P3-P4
DMDmax	Moy	15,6	15,1	15,9	15,5	15,1
	Ecart-type	1,0	0,7		0,9	1,0
	min	13,1	14,5	15	14,2	14
	Max	18,4	15,9	16,5	17,5	17,8
	n	81	3	4	19	15
DVLmax	Moy	15,8	15,7	15,4	16,7	
	Ecart-type	1	0		1	
	min	14	15,5	14,4	15	
	Max	17,7	15,9	15,9	18,8	
	n	80	2	4	19	
DMDcollet	Moy	13,8	15,4		13,6	
	Ecart-type	0,9	0,7		1,0	
	min	12,1	14,4		12,2	
	Max	15,4	16,3		15,6	
	n	78	5		19	
DVLcollet	Moy	14,5			15,8	
	Ecart-type	0,9			0,7	
	min	11,8			14,4	
	Max	16,9			17,2	
	n	76			19	
		Guadelli,1987	Créqut,1979	Laquay,1981	Lateur,2009	

M1/		Combe-Grenal c.35-1	Pech de l'Azé IV cI2-H1	Arago	L'Arquet (17-19m)	Gigny cXV-XVI
DMDmax	Moy	18,5	18,8	15,8	18,2	
	Ecart-type	1,4	1,1	0,6	1,7	
	min	15	18	15,2	13,5	
	Max	20,9	20	16,4	20,6	
	n	32	3	3	34	
DVLmax	Moy	16,6	16,9	17,2	16,4	
	Ecart-type	1	1	0	1	
	min	14,4	15,5	16,9	14,3	
	Max	19	17,9	17,6	18	
	n	33	3	3	34	
DMDcollet	Moy	16,4			15,9	16,9
	Ecart-type	0,9			1,4	
	min	14,6			12,8	
	Max	18,3			19,6	
	n	20			34	
DVLcollet	Moy	16,3			16,5	15,6
	Ecart-type	1,1			0,9	
	min	14,2			14,7	
	Max	18,3			18,7	
	n	24			34	
		Guadelli,1987	Laquay,1981 in Guadelli,1987	Créqut,1979	Lateur,2009	



P/2		Combe-Grenal c.35-1	Arago solF1-solG	Pech de l'Azé IV cJ2-G	Vergisson 2
DMDmax	Moy	12,4	11,7	11,1	12,4
	Ecart-type	1,0	0,6	1,5	1
	min	9,7	10,6	10,5	11
	Max	14,8	12,5	13,9	14
	n	105	3	13	10
DVLmax	Moy	8,2	8,4	7,9	8,1
	Ecart-type	0,8	1,2	0,7	0,5
	min	5,8	7,3	7	7,2
	Max	10,7	9,6	9	8,6
	n	105	3	14	12
DMDcollet	Moy	10,1			
	Ecart-type	0,8			
	min	8,2			
	Max	11,7			
	n	103			
DVLcollet	Moy	6,2			
	Ecart-type	0,7			
	min	4			
	Max	8,2			
	n	100			
		Guadelli, 1987	Créqut, 1979	Laquay, 1981	Chaput, 1998

P/3		Combe-Grenal c.35-1	Arago solF1	Pech de l'Azé IV cl2-H1	L'Arquet (17-19m)	Vergisson 2
DMDmax	Moy	16,5	16,8	16,3	16,5	16,3
	Ecart-type	0,8	0,6	0,6	1	0,9
	min	14,7	16,4	15	15,2	14,2
	Max	18,9	17,5	17,5	18,1	17,2
	n	55	3	10	8	9
DVLmax	Moy	11,2	10,6	10,8	10,7	9,7
	Ecart-type	0,8	0,1	0,7	1	1,4
	min	9,5	10,5	10	9,5	7,2
	Max	13	10,6	12,5	12,2	11,5
	n	56	2	14	8	9
DMDcollet	Moy	14,4			14,3	
	Ecart-type	0,7			0,6	
	min	13			13,6	
	Max	15,8			15,4	
	n	49			8	
DVLcollet	Moy	9,5			9,3	
	Ecart-type	0,8			1,4	
	min	7,9			6,9	
	Max	11,1			11,5	
	n	48			8	
		Guadelli, 1987	Créqut, 1979	Laquay, 1981	Lateur, 2009	Chaput, 1998

P/4		Combe-Grenal c.35-1	Arago solF1	Pech de l'Azé IV cl2-H1	L'Arquet (17-19m)	Vergisson 2
DMDmax	Moy	17,8	17,9	17,5	17,4	17,6
	Ecart-type	0,9	0,1	0,9	1	0,7
	min	15,8	17,8	16,5	15,9	17
	Max	20,5	17,9	20	18,3	18,6
	n	62	2	15	11	4
DVLmax	Moy	11,9	12,4	11,6	11,9	11,8
	Ecart-type	0,9	0,5	0,8	1	0,9
	min	9,5	12	10,1	10,8	10,6
	Max	13,5	12,7	12,9	12,6	12,4
	n	61	2	16	11	4
DMDcollet	Moy	15,4			15,1	
	Ecart-type	1,2			1,3	
	min	11,6			13,8	
	Max	18,2			17,5	
	n	53			11	
DVLcollet	Moy	10,3			10,1	
	Ecart-type	0,8			1,1	
	min	8,2			8,3	
	Max	11,8			12,1	
	n	47			11	
		Guadelli, 1987	Créqut, 1979	Laquay, 1981	Lateur, 2009	Chaput, 1998



M/1		Combe-Grenal c.35-1	Arago solF1	Pech de l'Azé IV cI2-H1	L'Arquet (17-19m)	Oetrange	Vergisson 2
DMDmax	Moy	18,3	18,7	18,5	18,6	19,4	18,5
	Ecart-type	1,4	1,2	1,0	1	1	2
	min	14,4	17,8	17	15,2	18,5	16
	Max	22,1	19,5	21,4	20,9	21	20,2
DVLmax	n	90	2	18	46	5	7
	Moy	10,7	11,1	10,3	10,8		10,6
	Ecart-type	0,7	0,3	0,7	1		0,4
	min	9,3	10,9	9	9,7		9,8
DMDcollet	Max	14	11,3	11,5	12,3		11
	n	97	2	19	46		7
	Moy	16,8			16,9		
	Ecart-type	1,7			1,1		
DVLcollet	min	10,3			14,8		
	Max	19,2			18,8		
	n	59			46		
	Moy	10,2			10,4		
DVLcollet	Ecart-type	0,7			0,7		
	min	8,4			9		
	Max	11,5			11,6		
	n	65			46		
		Guadelli, 1987	Créqut, 1979	Laquay, 1981	Lateur, 2009		Chaput, 1998

M/2		Combe-Grenal c.35-1	Arago solF1	Pech de l'Azé IV cJ1-G	L'Arquet (17-19m)	Gigny cXV-XVI	Oetrange	Vergisson 2
DMDmax	Moy	20,7	20,6	20,2	19,9	19,9	19,7	20,6
	Ecart-type	1,2	0,1	0,7	1		0,6	1,6
	min	17,4	20,5	19	18,4		19,2	18,6
	Max	24,4	20,7	21,9	22		20,1	22,5
DVLmax	n	153	3	13	34		2	6
	Moy	11,6	12,1	11,2	11,6	12,9		11,1
	Ecart-type	0,7	0,1	0,8	0,7			1
	min	10,2	12	10	10,6			10
DMDcollet	Max	13,1	12,2	12,4	14,1			12,3
	n	153	3	13	34			7
	Moy	18,4			17,3			
	Ecart-type	1,2			1,1			
DVLcollet	min	14,6			15,5			
	Max	21,1			19,3			
	n	114			34			
	Moy	10,4			10,7			
DVLcollet	Ecart-type	0,8			0,9			
	min	8,4			8,8			
	Max	12,4			12,6			
	n	102			34			
		Guadelli, 1987	Créqut, 1979	Laquay, 1981	Lateur, 2009			Chaput, 1998

M/3		Combe-Grenal c.35-1	Arago solF1 et G	Pech de l'Azé IV cJ1-H2	Combe-Grenal c56-64	L'Arquet (17-19m)	Oetrange	Vergisson 2
DMDmax	Moy	24,5	24,2	23,8	23,4	24,3	23,1	24,4
	Ecart-type	1,6		1,2		1		1,3
	min	19	22,8	22		21		22
	Max	34,1	26	25,5		26,5		27
DVLmax	n	148	6	15	36	34		32
	Moy	10,7	10,8	10,5	10,1	10,4	10,1	10,5
	Ecart-type	0,6	0,6	0,5		0,6	0,7	0,6
	min	9,3	10,2	10		9,2	9,5	8,9
DMDcollet	Max	12,3	11,7	11,5		11,6	10,6	12,2
	n	152	5	18	34	34	2	34
	Moy	23,0				23,3		
	Ecart-type	1,7				1,6		
DVLcollet	min	18,7				19,1		
	Max	27,2				26,7		
	n	9,6				34		
	Moy	9,6				9,2		
DVLcollet	Ecart-type	0,8				0,8		
	min	8,1				8		
	Max	11,4				11,1		
	n	94				34		
		Guadelli, 1987	Créqut, 1979	Laquay, 1981	Guadelli, 1987	Lateur, 2009		Chaput, 1998



Humérus

		Combe-Grenal c.35-1	Combe-Grenal c56-64	Roc de Combe c5	Vogelherd c4	Vergisson2	Oetrage
DT Dist	Moy	48,4	46,1	46,1	47,4	46,6	46,1
	Ecart-type	3,2	2,2	2,5		2,6	3,9
	min	44	44	42,9		41,8	43,3
	Max	55	49	49,3		50,2	50,6
	n	19	4	6	1	14	3
DAP Dist	Moy	47,5	45,4	47,9		47,3	48,9
	Ecart-type	3,0	1,9	2,3		3,1	1,6
	min	43,5	43,5	45,9		41,4	47,3
	Max	54	48	51,3		53	50,6
	n	16	4	6		14	3
		Guadelli, 1987	Guadelli, 1987	Weinstock, 2000	Weinstock, 2000		

Radius

		Combe-Grenal c.35-1	Combe-Grenal c56-64	Pech de l'Azé IV cJ2-G	Roc de Combe c5	Vogelherd c4	Vergisson2	Oetrage
DT Prox	Moy	46,5	43,5	46,3	44,1	48,7	46,1	44,8
	Ecart-type	3,4	2,9	2,0	2,2	0,3	3,1	2,8
	min	40,5	40	43,1	41,1	48,5	43,3	42
	Max	51	47,5	48	48	48,9	53,6	51,4
	n	17	6	7	10	2	11	11
DAP Prox	Moy	26,3	24,9	26	24,4	26	26,2	26,1
	Ecart-type	2,7	1,7	1,4	1,2	0,1	2	1,8
	min	23	23	24,5	23,1	25,9	23,6	23,4
	Max	28	26,5	27,9	26,3	26	29,5	29,1
	n	21	6	6	9	2	11	11
		Guadelli, 1987	Guadelli, 1987	Laquay, 1981 in Guadelli, 1987	Weinstock, 2000	Weinstock, 2000		

Fémur

		Combe-Grenal c.35-1	Combe-Grenal c56-64	Roc de Combe c5	Roc de Combe c7	Vergisson2	Oetrage
Diam Tête	Moy	29,1	27,6	28,4	27,4	29	29,6
	Ecart-type	1,9	1,6	0,1	0,8	1,3	1,4
	min	26	26	28,3	26,6	27,8	28,4
	Max	32	29	28,4	28,1	31,8	31,1
	n	9	4	2	3	10	3
		Guadelli, 1987	Guadelli, 1987	Weinstock, 2000	Weinstock, 2000		

Tibia

		Combe-Grenal c.35-1	Combe-Grenal c56-64	Pech de l'Azé IV cH2-J1	Laugierie-Hte c12a	Laugierie-Hte c12b	Roc de Combe c5	Roc de Combe c7	Vogelherd c4	Vergisson2	Oetrage
DT Dist	Moy	40	40,6	41,8	36,6	38,2	39,8	42,3	38,2	40	39,2
	Ecart-type	2,3	3,0	2,1	2,4	2,7	2,1	1,4	2,0	2,2	1,9
	min	36,5	36,2	38,5	33,8	36,5	36,8	41,3	35,7	36,6	36,5
	Max	44,5	45	44	39,2	41,3	43,9	43,3	40,9	43,7	41,8
	n	48	14	8	5	3	16	2	6	24	11
DAP Dist	Moy	30,5	30,8	32,1	29,9	32	32,8	32,7	31,5	32,1	31,7
	Ecart-type	1,6	2,2	2,3	0,7	1,8	1,5		1,6	1,9	1,8
	min	27	27	28,5	29,1	30,7	30,8		29,7	27,8	28,6
	Max	34	34	34,9	30,8	34,1	35,9		33,5	35,5	34
	n	52	13	7	4	3	16	6	24	11	
		Guadelli, 1987	Guadelli, 1987	Laquay, 1981 in Guadelli, 1987	Weinstock, 2000	Weinstock, 2000	Weinstock, 2000	Weinstock, 2000	Weinstock, 2000	Weinstock, 2000	

Annexe 98 : Données biométriques des os longs du Renne



TALUS	Combe-Grenal c.35-1	Combe-Grenal c56-64	Pech de l'Azé IV c.B-G	Laugerie Hte c12a	Laugerie Hte c12b	Rec de Combe c5	Rec de Combe c7	Vogelherd c4	Pair non Pair	Roc en Pail	La Quina c2	Le Portel	La Chapelle aux Saints	La Chaise cr-9	Castanet	La Ferrassie	Verjissou2	Oetrange
Moy	44,8	44,5	45,2	42,5	41,9	46,2	40,4	45,8	45,2	45,5	45,3	44,8	45,4	44	44,6	44,2	45,2	44,6
Ecart-type	1,8	1,8	2,0	3,1	1,3	1,1	1,1	1,9	1,9	1,4	2	1,4	2,8	1,9	1,7	1,5	1,7	2,1
Longueur	42,4	40,3	42,9	40	40,5	44	48,6	43,4	43,4	40,5	43,4	48,6	48,9	43,4	40,5	44	40,8	40,4
Max	48,5	48	48,4	45,9	43	48,6	48,6	48,9	48,9	48,9	48,9	48,9	48,9	48,9	48,9	48,9	48,9	48,9
Moy	26,4	26,5	27,8	28	28	28	28	28	28	28	28	28,4	28	27,8	27,8	28,3	28,1	27,9
Ecart-type	1,8	1,4	1,9	1,2	1,7	1,4	2,5	1,1	1,4	1,9	1,5	1,4	2,1	1,6	1,4	1,7	1,2	1,4
min	26	25	26,1	27,1	24,7	26	25,9	26,7	26,7	26,7	26,7	26,7	26,7	26,7	26,7	26,7	26,2	25,5
Max	32	31	31,5	28,8	27,1	30,2	29,4	30,1	30,1	30,2	30,2	30,2	30,2	31,1	31,1	31,1	31,1	29,2
Moy	28	28	28,4	28,8	28,8	28,8	28,8	28,8	28,8	28,8	28,8	28,8	28,8	28,8	28,8	28,8	28,8	28,8
Ecart-type	1,8	1,8	2,4	2,4	2,4	2,4	2,4	2,4	2,4	2,4	2,4	2,4	2,4	2,4	2,4	2,4	2,4	2,4
min	23	23	23,5	23,5	23,5	23,5	23,5	23,5	23,5	23,5	23,5	23,5	23,5	23,5	23,5	23,5	23,5	23,5
Max	30	28,2	28,4	28,4	28,4	28,4	28,4	28,4	28,4	28,4	28,4	28,4	28,4	28,4	28,4	28,4	28,4	28,4
n	25	44	9	9	9	9	9	14	14	14	14	14	14	14	14	14	14	14

CALCANEUM

	Combe-Grenal c.35-1	Combe-Grenal c56-64	Pech de l'Azé II c2G	Laugerie Hte c12b	Roc de Combe c5	Vogelherd c4	Verjissou2	Oetrange
Moy	91,7	90,5	86,9	86,7	91,6	92,6	91,1	96,1
Ecart-type	4,7	4,8			3,3	3,0	2,2	5,3
min	85	86,5			87,2	90,3	86,3	91,4
Max	99	96			95,1	96	95,3	103,9
n	10	4		1	4	3	8	5
Moy	30	31,8	29	28	29,7	29,3	27	23,7
Ecart-type	1,3	2,3			0,7	1,5	1,8	1,9
min	27,5	29			28,7	28,3	24,5	20
Max	32	34		1	30,2	31	29,6	26,7
n	12	4		1	4	3	8	13



Métacarpe

		Combe-Grenal c.23-25	Combe-Grenal c56-64	Pech de l'Azé IV cl1-H2-G	Laugerie-Hte c12a	Roc de Combe c5	Roc de Combe c7	Vergisson2	Oetrangle
DT Prox	Moy	33,4		37	31	32,2	35,4	33,8	34,2
	Ecart-type	1,4		1,3		0,8	3,4	2,0	2,3
	min	31		36,1		31,5	33	31,6	30,6
	Max	35		37,9		33	37,8	36,5	36,1
DAP Prox	n	8		2	1	3	2	5	7
	Moy	24,6		24,5	22,5	23,6	26	25,1	24,3
	Ecart-type	1,2		1,7		0,9	2	2,3	2,2
	min	23		22,6		22,8	24,6	23,8	20,9
DT Dist	Max	26		26		24,6	27,4	28,6	27,3
	n	13		3	1	3	2	4	7
	Moy	41,1	41,5	42,2	42,1	41,2	44,5	41,8	40,4
	Ecart-type	2,4	2,6	0,3	1,8	1,6		1,9	2,6
DAP Dist	min	37,5	38,5	42	40,1	39,5		38,6	37,3
	Max	44,5	46,5	42,4	44,4	44,4		44,7	45
	n	31	16	2	4	13	1	18	13
	Moy	21,3	21,6	21,7	21,6	21,3	22,1	21,4	20,5
DAP Dist	Ecart-type	1,1	1,4	0,5	0,9	0,9		1,2	1,5
	min	19,5	19,5	21,3	20,7	20		19	18,5
	Max	23,5	24,2	22	22,5	23,1		23,1	23,2
	n	32	16	2	3	12	1	18	13
		Guadelli,1987	Guadelli,1987	Laquay,1983 in Guadelli,1987	Weinstock,2000	Weinstock,2000	Weinstock,2000		

Métatars

		Combe-Grenal c.35-1	Combe-Grenal c56-64	Pech de l'Azé IV cl1-12	Laugerie-Hte c12a	Laugerie-Hte c12b	Roc de Combe c5	Roc de Combe c7	Vogelherd c4	Vergisson2	Oetrangle
DT Prox	Moy	31,3					30	27,1			
	Ecart-type	1,9					1,9				
	min	27,5					28,2				
	Max	33					32,3				
DAP Prox	n	9					4	1			
	Moy	34,1					32				
	Ecart-type	2,6									
	min	30,5									
DT Dist	Max	38,5									
	n	9									
	Moy	41,6	40,5	41,5	39,3	40,3	40,9	40,3	42,1	42,9	38,5
	Ecart-type	1,9	2,1	2,7	0,5	2,3	0,9		2,2	3,2	2,4
DAP Dist	min	38	37,5	39,5	38,8	36,4	39,4		39,6	39,6	36,8
	Max	45	43,5	44,5	39,8	43,2	41,8		43,6	46,9	40,2
	n	23	12	3	3	7	7	1	3	6	2
	Moy	23,5	23,1	23	21,6	22,3	22,8	22	23,7	22,3	20,7
DAP Dist	Ecart-type	1,2	1,1	1,3	1,6	0,6		1,4	1,4	1,4	1,9
	min	22	21	22	21,5	19,3	22,1		22,1	20	19,4
	Max	25,5	24,5	24,5	21,6	24,5	23,9		24,5	24,6	22
	n	23	12	3	2	7	8	1	3	13	2
		Guadelli,1987	Guadelli,1987	Laquay,1983 in Guadelli,1987	Weinstock,2000	Weinstock,2000	Weinstock,2000	Weinstock,2000	Weinstock,2000		

Annexe 100 : Données biométriques des métapodes du Renne

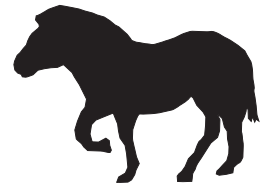


Phalange 1

		Combe-Grenal c.35-1	Combe-Grenal c56-64	Pech de l'Azé IV cJ2-G	Vergisson2	Oetrance
Longueur	Moy	48,2	46,4	49	46,7	48,5
	Ecart-type	2,5	2,6	2,8	2,7	3,0
	min	45,5	41,5	47	42	41,3
	Max	53	53	51	52	55,7
	n	9	39	2	33	26
DT Prox	Moy	20,3	20	21,2	20,9	20,5
	Ecart-type	1,0	1,2		1,2	1,4
	min	19	17,8	20	18,2	17,8
	Max	21,5	22,5	22	24,5	22,7
	n	7	35	7	46	27
DAP Prox	Moy	21,4	20,6	21,5	21,4	20,3
	Ecart-type	1,3	1,3		1,4	1,1
	min	20	18,2	20	18	18,5
	Max	24	23,5	22,9	24,2	22,3
	n	7	33	6	40	27
DT Mil	Moy	13,6	13,4		14,4	14,5
	Ecart-type	1,0	1,2		1,1	1,3
	min	12	10		12,5	12
	Max	15	15		17	17,8
	n	7	41		32	30
DT Dist	Moy	17,3	17	17,9	17,7	17,6
	Ecart-type	0,8	1,1		1,7	1,3
	min	16,5	15	16,1	12,2	15,3
	Max	18,5	19,5	19,9	23,7	19,9
	n	6	38	9	48	25
DAP Dist	Moy	12,8	12,3	13,2	13,5	
	Ecart-type	0,8	0,8		1,5	
	min	12,5	11	12,5	11	
	Max	14,5	14	14,9	19,6	
	n	6	38	8	42	
		Guadelli,1987	Guadelli,1987	Laquay,1981		

Phalange 2

		Combe-Grenal c.35-1	Combe-Grenal c56-64	Pech de l'Azé IV cJ2-G	Vogelherd c4	Vergisson2	Oetrance
Longueur	Moy	33,7	34,2	34,8	36,1		33,6
	Ecart-type	1,8	2,0	2,5	1,7		2,2
	min	31	30	33	34,2		29,4
	Max	37	39,5	36,5	38		36,7
	n	17	49	2	4		9
DT Prox	Moy	17,2	17,8	18,1	18,2	18,3	17,7
	Ecart-type	1,1	0,9	1,1	1,1	1,2	1,7
	min	15	15,5	17,1	16,8	15	14,5
	Max	19	19	20	19,2	20,6	20,3
	n	14	41	7	4	35	12
DAP Prox	Moy	18,7	19,6	20,2	19,3	19,7	18
	Ecart-type	1,4	1,4	0,8	0,8	1,5	2,2
	min	16	17,5	18,9	18,7	16,6	12
	Max	21	22,8	21,5	19,9	22,5	19,9
	n	16	44	7	2	38	12
DT Mil	Moy	12,3	12,5		13,2		13,3
	Ecart-type	1,1	0,9		1,6		1,3
	min	10,5	10		11,6		11,6
	Max	14	15		14,7		16,1
	n	14	50		4		12
DT Dist	Moy	15,2	15,6	16,4	15,8	16,1	15,7
	Ecart-type	1,3	1,2		0,8	1,1	1,2
	min	13,5	13	16	14,9	14	14
	Max	17,5	18	17	16,3	18,7	17,7
	n	13	35	4	3	34	9
DAP Dist	Moy	17,5	17,4	19	18	18,3	
	Ecart-type	1,6	1,1		0,5	1,2	
	min	15	15	18,5	17,3	16,2	
	Max	20	19,5	19,5	18,4	20,6	
	n	13	36	4	4	30	
		Guadelli,1987	Guadelli,1987	Laquay,1981			



P2/		Combe-Grena c35-11	Bize (IIB)	Bize (II moy)	La Quina	Camiac	Solutré	Solutré	Vergisson2	Oetrangle	Gigny
		E. germanicus	E. germanicus	E. gallicus	E. gallicus	E. gallicus	E. gallicus	E. gallicus			
DMDo	Moy	39,1	40,5	35,9	37,6	37,8	36,8	37,1	38,0	38,0	40,3
	Ecart-type	1,6			1,7	1,6	1,2	2,2	2,1	1,6	1,7
	min	36	37,3	32,1	34	36	35	33,3	34,2	35,9	38,5
	Max	41,5	46,5	41,9	40,7	40	38,7	39,6	40,8	40,4	42,7
DVLo	n	25	12	8	17	10	8	10	7	5	5
	Moy	26,5	26,1	23,4	25,2	25,5	24,9	24,3	24,7	22,8	26,2
	Ecart-type	1,1			1,5	1,0	0,9	1,4	1,8	2,6	1,8
	min	24	22,7	20,2	22,7	24,4	23,2	21,5	22,3	18,7	24,1
Longueur protocone	Max	29	29,8	26,8	27,9	27	26	26,4	27,3	25,2	27,8
	n	33	13	8	19	10	8	9	9	5	4
	Moy	9,8				9,8	9,3	10	10	9,4	10,8
	Ecart-type	0,8				0,5	0,7	0,8	1,6	0,6	1,6
	min	8				9	8,5	9	8	8,7	8,5
	Max	12				10,5	10,6	11,5	12,9	10	12,1
	n	36				10	8	9	7	4	4
		Guadelli, 1987	Patou, 1993	Patou, 1993	Armand, 1998	Guadelli, 1987	Guadelli, 1987	Guadelli, 1987			

P/2		Combe-Grena c35-1	Camiac	Solutré	Solutré	Bize (II moy)	Bize (III)	La Quina	Vergisson2	Oetrangle	Gigny
		E. germanicus	E. gallicus	E. gallicus	E. arcelini	E. germanicus	E. gallicus	E. gallicus			
DMDo	Moy	34,2	31,1	32,9	33,7	32,5	32,6	32,9	33,8		35,2
	Ecart-type	1,9			1,8	1,8		1,8	2,1		0,8
	min	29	29,5	29	31,2	30	31,5	29,2	29,2		34,4
	Max	38	34	35,6	36	35,5	33,4	36,3	36,2		35,9
DVLo	n	49	4	16	11	7	3	35	13		4
	Moy	15,4	15,2	15,1	14,8	16,0	15,6	16,0	16,1	16,0	15,5
	Ecart-type	1,0	0,6	1,2	0,4			1,2	1,0		0,6
	min	13	14,2	13,5	14	15	14,9	13,4	14,5		15
Longueur Boucle	Max	18	15,9	18	15,6	18,2	16,6	18,7	17,7		16,1
	n	51	6	17	12	7	3	34	10	1	4
	Moy	16,4	14	16,8	17				15,4	14,3	16,7
	Ecart-type	1,3	2,8	1,3	1,9				1,6		
	min	14	9	14,4	12				13,5		16,12
	Max	20	16,5	19,3	20				18,5		17,18
	n	49	6	18	12				11	1	2
		Guadelli, 1987	Guadelli, 1987	Guadelli, 1987	Guadelli, 1987	Patou, 1994	Patou, 1994	Armand, 1998			

Annexe 103 : Données biométriques des dents de Cheval

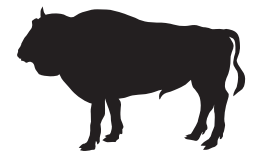


M1/		Bau de l'Aubesier	Livernon	Moru	Blache-Saint-Vaast	Jaurens	Saint-Germain-la rivière	Roc de Marcamps	Mauran	Combe-Grenal c35-1	Camiac	Vergisson2	Oetrange
		Bos	Bos	Bos	Bos	Bison	Bison	Bison	Bison	Bison	Bison	Bison	Bison
DMDo	Moy	30,1			30,8	34,9				30,3	29,7	28,2	28
	Ecart-type	3,3			1,7	1,5				3,5	1,4	3	2,4
	min	23,4			27,5	32				25,5	28,7	27,1	25,2
	Max	38			36	37				35	30,7	35,6	31,5
	n	46			23	11				9	2	8	8
DVLo	Moy	22,1			23,7	28,8				21,0	18,1	20,1	20,9
	Ecart-type	2			1,6	1,3				2,4	1,2	1,2	2,8
	min	18,5			20,5	24,5				17,1	17,8	18,4	18,4
	Max	26			26,3	29				23,5	21,4	26,9	26,9
	n	41			23	31				9	7	8	8
DMDp	Moy	28,2	27,8	28,8	27,6		24,5	26,2	27,0	27,4	25,9	24,2	23,4
	Ecart-type	1,9			1,6			0,7		1,7	2,6	2,3	2,1
	min	24	23,6	28,6	24		22,5	24,5	24	25,3	24	22,6	20,5
	Max	30,6	31	29	32,5		26	27,5	31	31	27,7	28,7	26,6
	n	24	23	2	47		2	8	59	12	2	6	7
DVLp	Moy	26,0	25	24,3	28,3		25,8	25,9	25,5	23,6	23,9	25,8	25,8
	Ecart-type	1,5	1,5		1,2			1,6		1,1	1,3	1,3	3,5
	min	23,2	22	23,6	25,4		25,5	24	22,5	22,1	22,1	24,1	21,8
	Max	28,7	27,5	25	30,8		26	27,5	28,5	25,6	25,6	27,7	29,9
	n	24	23	2	44		4	7	59	11	11	6	7
		Fernandez.2006	Slott-Moller.1990	Slott-Moller.1990	Auguste.1995	Guérin & Valli.2000	Ouzrit in Slott-Moller.1990	Slott-Moller.1990	David & Fanzy.1994	Guadelli.1987	Guadelli.1987		

M2/		Bau de l'Aubesier	Livernon	Moru	Blache-Saint-Vaast	Jaurens	Saint-Germain-la rivière	Roc de Marcamps	Mauran	Combe-Grenal c35-1	Camiac	Vergisson2	Oetrange
		Bos	Bos	Bos	Bos	Bison	Bison	Bison	Bison	Bison	Bison	Bison	Bison
DMDo	Moy	31,5			35,6	35,9				34,1	34,6	34,2	32,7
	Ecart-type	1,6			2,0	1,7				1,9	1,4	2,5	2,7
	min	29,2			30,9	32,5				31,3	33,3	31,6	27,3
	Max	35,8			40	38				37,5	36,3	38,3	35,5
	n	35			50	7				13	5	13	10
DVLo	Moy	27,6			26,5	27,6				22,5	23,9	24,5	19,1
	Ecart-type	2			2,4	1,9				4,0	3,5	2,7	1,4
	min	23,8			20,7	23				13,3	21,6	20,7	17,1
	Max	33,2			31,5	30				27,8	29	29,3	21,3
	n	36			46	23				13	4	13	10
DMDp	Moy	33,7	31,2	33,15	32,7		31,6	30,7	31,7	31,6	31,2	31,8	26,5
	Ecart-type	2,5	1,8		1,9			1,6	1,7	1,7	2,6	0,7	1,1
	min	24	28,6		28,2		30,5	28	29,2	28,3	28,4	28,4	21,5
	Max	38,2	34,5	34,3	37,3		34	33	36,5	34,9	35,2	34,5	31,7
	n	50	25	2	75		4	10	71	12	5	9	9
DVLp	Moy	22,5	25,7	25,85	30,2		29,3	28,6	27,4	26,8	27,9	29,1	27,9
	Ecart-type	2,7	1,3		1,7			1,7	1,7	1,7	1,3	0,5	1,1
	min	19	23	25	26,6		27	26,5	21,4	22,8	26,6	26,8	21,8
	Max	32	28,8	26,7	34		35,1	31,5	31,5	29	29,2	30,8	31,6
	n	44	27	2	68		9	9	71	12	4	9	9
		Fernandez.2006	Slott-Moller.1990	Slott-Moller.1990	Auguste.1995	Guérin & Valli.2000	Ouzrit in Slott-Moller.1990	Slott-Moller.1990	David & Fanzy.1994	Guadelli.1987	Guadelli.1987		

M3/		Bau de l'Aubesier	Combe Grenal c35-1	Camiac	Livernon	Moru	Blache-Saint-Vaast	Jaurens	Roc de Marcamps	Enlène	Mauran	Vergisson2	Oetrange
		Bos	Bison	Bison	Bos	Bos	Bos	Bison	Bison	Bison	Bison	Bison	Bison
DMDo	Moy	34,4	33,3	33,8			37,7	35,0				33,3	32,1
	Ecart-type	2,1	2,5	0,9			2,0	2,8				2	3,9
	min	30	28,3	32,4			33,8	31				30,1	26,4
	Max	38,3	37,8	35,7			42,8	37				35,1	36,6
	n	21	22	10			60	4				6	13
DVLo	Moy	21,8	22,0	21,2			26,1	28,9				20,8	20,4
	Ecart-type	2,2	2,2	2,0			2,5	1,2				2	1,4
	min	17,5	17,7	17,9			18,5	26				18,1	17,1
	Max	27	26,8	25,4			31,5	31				22,8	21,3
	n	44	19	9			62	18				6	10
DMDp	Moy	34,8	33,0	34,1	35,3	38,6	38,6	33,2	33	33,8	33,8	33,8	29,8
	Ecart-type	2,3	1,8	1,0	1,4		2,83	1,9	1,3			1,6	1,1
	min	31	30	33	32,5	38,5	33	30	31	30	30	29,4	24,4
	Max	39	36	35,6	38,5	38,6	48,5	35	35	35	38,5	36,7	34
	n	36	22	8	24	2	75	5	8	67	67	4	9
DVLp	Moy	26,5	26,9	27,3	25,7	28,9	29,9	28,1	28,1	26,2	27,2	29,3	26,9
	Ecart-type	1,8	1,2	1,4	1,5		1,8	0,7	0,7			0,9	1,2
	min	25,7	25	25,3	22,8	28,2	26,1	27,3	25	25	25	28,1	21,6
	Max	32	29,6	28,9	28,2	29,6	36,7	30	27	32	32	30,1	31,1
	n	36	21	8	23	2	75	4	8	67	67	4	8
		Fernandez.2006	Guadelli.1987	Guadelli.1987	Slott-Moller.1990	Slott-Moller.1990	Auguste.1995	Guérin & Valli.2000	Slott-Moller.1990	Slott-Moller.1990	David & Fanzy.1994		

Annexe 106 : Données biométriques des dents supérieures de Bovinés



M/1

		Bau de l'Aubesier	Livernon	Blache-Saint-Vaast	Jaurens	Saint-Germain-la rivière	Roc de Marcamps	Mauran	Combe-Grenal c35-1	Camiac	Vergisson2	Oetrange
		Bos	Bos	Bos	Bison	Bison	Bison	Bison	Bison	Bison	Bison	Bison
DMDo	Moy	29,2		29,3	33,8				28,4	26,8	31,7	27,5
	Ecart-type	2,8		1,6	1,3				2,3	2,8	3,9	0,5
	min	22,4		26	32,5				24	23,6	27,3	27,2
	Max	35		32,5	35				32,8	30,5	39,1	27,9
	n	41		48	3				18	4	9	2
DVLo	Moy	15,7		18	18,5				17,6	19,9	15,6	13,2
	Ecart-type	1,6			1,5				3,7	4,6	1,8	2,3
	min	13,3		14,3	14				12,8	15,3	13,2	11,5
	Max	19,8		20,2	21,5				26,5	26	18,8	14,8
	n	37		46	27				17	4	9	2
DMDp	Moy	27,3	26,4	27,6		27,8	28,0	26,9	27,3	27,3	27,6	
	Ecart-type	1,7	1,7	1,2		1,2	1,0		1,5	0,8	0,9	
	min	23	21,7	24,1		26	26,5	17,5	25,4	26,7	26,2	
	Max	32	29	34		29,5	30	31	31	27,8	30	
	n	27	20	53		8	11	94	16	2	4	
DVLp	Moy	17,8	17,5	19,8		19,3	18,8	17,6	18,0	18,5	18,4	
	Ecart-type	0,94	0,7	1,0		0,9	1,2		1,2	0,8	0,8	
	min	15,7	15,9	16,8		18	17,5		15	17,9	16,2	
	Max	19,6	18,5	21,6		20,2	21		20,2	19,1	20,1	
	n	29	21	51		8	10		15	2	4	
		Fernandez 2006	Slott-Moller, 1990	Auguste, 1995	Guérin & Valli, 2000	Ouzrit in Slott-Moller, 1990	Slott-Moller, 1990	David & Farizy, 1994	Guadelli, 1987	Guadelli, 1987		

M/2

		Bau de l'Aubesier	Livernon	Moru	Blache-Saint-Vaast	Jaurens	Saint-Germain-la rivière	Roc de Marcamps	Mauran	Combe-Grenal c35-1	Camiac	Vergisson2	Oetrange
		Bos	Bos	Bos	Bos	Bison	Bison	Bison	Bison	Bison	Bison	Bison	Bison
DMDo	Moy	32,9			29,3	38,2				33	33	31,2	32,8
	Ecart-type	2,5			1,6	0,8				1,6	1,2	1,1	3
	min	27			26	36,5				29,5	28,5	29,6	27,2
	Max	38,3			32,5	39				35,9	35	32	38,4
	n	30			48	9				18	6	4	9
DVLo	Moy	16,1			18	19,6				17	16,5	17,2	15,8
	Ecart-type	1,6			1,2	1,8				1,7	2,8	1,6	1,4
	min	13,5			14,3	15				14,5	14,5	15,7	13,9
	Max	20,8			20,2	22				19,6	21,4	19	17,9
	n	31			46	21				18	5	4	9
DMDp	Moy	31,1	29,1	31	32		32,9	33,3	31,6	31,4	32,4	31,0	28,0
	Ecart-type	1,6	1,6		1,7		2,1	1,4		1,4	1,0	0,6	0,8
	min	28,7	26,1	29,3	29,2		30	31,5	27,5	29,2	31,6	29,5	24,4
	Max	34	31,5	32,9	36,9		36	35	36	35	33,5	32,4	31,1
	n	25	16	3	70		6	9	60	16	3	4	7
DVLp	Moy	20,0	18,4	19,7	19,8		21,4	20,9	19,3	19,9	19,5	21,1	19,3
	Ecart-type	1,0	0,9		1,0		1,3	1,2		1,1	0,5	0,3	0,6
	min	18,5	17	19	16,8		21,4	19,5	17,5	18	19,1	20,6	16,4
	Max	21,7	21	20	21,6		22,5	23	23,2	22,5	20	21,7	20,9
	n	26	16	3	51		8	9	60	18	3	4	7
		Fernandez 2006	Slott-Moller, 1990	Slott-Moller, 1990	Auguste, 1995	Guérin & Valli, 2000	rit in Slott-Moller, 1	Slott-Moller, 1990	David & Farizy, 1994	Guadelli, 1987	Guadelli, 1987		

M/3

		Bau de l'Aubesier	Combe Grenal c35-1	Livernon	Moru	Blache-Saint-Vaast	Jaurens	Roc de Marcamps	Enlène	Mauran	Camiac	Vergisson2	Oetrange
		Bos	Bison	Bos	Bos	Bos	Bison	Bison	Bison	Bison	Bison	Bison	Bison
DMDo	Moy	44,1	44,2			47,5	46,3				43,5	43,2	37,7
	Ecart-type	2,9	3,6			3,6	2,8				2,4	3,7	7,4
	min	37,9	37,1			35,5	44,5				41,3	34,6	22,4
	Max	50,4	49,5			54,3	48,5				47,4	50	46,22
	n	34	16,2			71	8				5	12	8
DVLo	Moy	16,4	16,2			18,7	19,2				17,5	15,8	13,7
	Ecart-type	1,7	1,7			1,8	1,4				2,8	2,2	1,2
	min	13	14			14,1	16				13,7	13,4	12,8
	Max	19,6	19,5			21,6	21				20	20,3	16,9
	n	33	13			80	16				5	12	10
DMDp	Moy	45,3	43,5	46,3	46,6	48,7		47,0	44,1	44,8	44,1	43,8	
	Ecart-type	2,6	3,3	2,0	1,8	4,0		1,7	2,1		3,0	1,5	
	min	40,9	37,8	42,7	44,1	34,8		45	41		39	41,5	37,6
	Max	49,6	50,1	51,2	49	56,4		50	49		52	47,4	48,1
	n	23	10	23	6	76		12	38		95	3	6
DVLp	Moy	19,4	19,2	18,3	19,02	20,5		19,4	19,3	18,6	18,6	19,2	
	Ecart-type	0,8	1,2	0,7	0,4	1,2		0,9	0,7		1,4	0,6	
	min	17,6	17,5	16,9	18,5	17,7		17,5	18		17	17,3	16,4
	Max	21,3	21,8	19,6	19,7	23,4		21	21		22	20	20,9
	n	22	11	23	6	86		13	36		95	3	8
		Fernandez 2006	Guadelli, 1987	Slott-Moller, 1990	Slott-Moller, 1990	Auguste, 1995	Guérin & Valli, 2000	Slott-Moller, 1990	Slott-Moller, 1990	David & Farizy, 1994	Guadelli, 1987	Guadelli, 1987	

Annexe 107 : Données biométriques des dents supérieures de Bovinés



Radius

		Lunel-Viel	Lunel-Viel	Biache-Saint-Vaast	Jaurens	Livernon	Oetrange
		Bos mâle	Bos femelle	Bos	Bison	Bos	
DT Prox	Moy	119,8	102,4	117,6	106,2	94	85,9
	Ecart-type	5,2	3,9	12,6	8,6		12,7
	min	111,7	94	98,6	89,5	89	75,7
	Max	125	109,2	140,6	123	101	101,9
	n	8	28	34	22	3	4
DAP Prox	Moy	63,7	53,0	61,9	54,54	51,17	43,6
	Ecart-type	3,6	2,88	6,9	4,85		4,8
	min	57	43,9	50	45	46	38,6
	Max	68,6	58,5	74,5	62,5	56,5	49
	n	8	31	34	23	3	4
DT SA Prox	Moy	108,97	93,1	103,3			
	Ecart-type	5,2	2,6	11,2			
	min	99,8	88,3	84,4			
	Max	119,2	98	124			
	n	9	28	33			
		Brugal, 1983	Brugal, 1983	Auguste, 1995	Guérin & Valli, 2001	Slott-Moller, 1990	

Tibia

		Camiac	Combe Grenal c35-1	Chatillon-St-Jean	Lunel-Viel	Lunel-Viel	Biache-Saint-Vaast	Jaurens	Camiac	Vergisson 2
		Bos	Bison	Bison	Bos mâle	Bos femelle	Bos	Bison	Bison	
DT Dist	Moy	97,5	78,2	83,1	82	77,2	88,4	83,2	87	86
	Ecart-type		5		3,8	1,6	6,3	5,4	11,8	5,3
	min		75	77	78,1	73,4	76,8	71	73,5	78,8
	Max		84	94	90,2	80	99,2	91,5	94	96
	n		3	18	18	20	66	23	3	8
DAP Dist	Moy	75	58,3	58,9	64,6	62,2	70,6	61,2	62,3	61,4
	Ecart-type		2,9		3,8	2,5	5,6	4,1	7,7	3,9
	min		55,2	53	57,9	58,3	58,7	55	53,5	53,7
	Max		61	67	75,2	67,5	80	68	67	66,5
	n		3	18	15	18	69	23	3	8
		Guadelli, 1987	Guadelli, 1987	hauviré, 1972 in Guad	Brugal, 1983	Brugal, 1983	Auguste, 1995	Guérin & Valli, 2001	Guadelli, 1987	Chaput, 1998

Annexe 108 : Données biométriques des os longs de Bovinés

Talus

		Bau de l'Aubesier	Lunel-Viel	Lunel-Viel	Biache-Saint-Vaast	Jaurens	Jaurens	Livernon	La Fage II	Camiac	Combe Grenal c35-1	Vergisson2	Oetrange
		Bos	Bos mâle	Bos femelle	Bos	Bison	Bos	Bos	Bison	Bison	Bison	Bison	Bison
Longueur	Moy	89,1	96,8	87,5	96,0	92,9	89,9	81,9	84,3	90,6	82,0	88,3	92,0
	Ecart-type	2,8	2,8	2,8	4,4	4,0	4,6	5,0			7,0	4,9	5,2
	min	85	91,1	81,7	85,7	84	81	75,5	83	84,2	77	82,4	86
	Max	91,3	100,8	93,3	104,3	99,5	102,5	89	85,6	97	86,9	98,4	95,1
	n	4	14	66	28	43	52	7	3	2	2	9	3
DT Max	Moy	61,3	68	57,8	65,3	64,7	60,3	55,7	47,7	60,5	55,6	62,2	63,5
	Ecart-type		3,2	2,3	5,1	3,1	4,2				1,6	4,4	6,5
	min	57	65,2	50,5	55	59	53	51	45,5	54	54,4	56,1	56,4
	Max	67,5	75,2	63,6	74,7	70	74,5	61	51	67	56,7	66,6	69
	n	3	13	65	34	39	50	9	3	2	2	9	3
Epaisseur	Moy	49,2	54,5	48,9	54,2	52,7	50,1	48,1		50,5	44,6	51,7	
	Ecart-type		1,7	1,8	2,6	2,3	2,9	3,6				7	
	min	47	51,2	45	48,7	48	44,5	43		47		42,6	
	Max	51,5	57,2	53,1	58,8	57	58,5	53,5		54		67,5	
	n	3	14	66	28	42	52	9		2		9	
		Fernandez, 2006	Brugal, 1983	Brugal, 1983	Auguste, 1995	Guérin & Valli, 2000	Guérin & Valli, 2000	Slott-Moller, 1990	Bouchud, 1972	Guadelli, 1987	Guadelli, 1987		

Annexe 109 : Données biométriques des os courts de Bovinés

Rangifer tarandus

Parties du squelette	NR			
	D	G	Indét.	Total
Bois	1	4	32	37
Crâne	2	3	7	12
Maxillaire	3	1	2	6
Dents sup.	97	108	8	213
Total machoire sup.	103	116	49	268
Hémi-mandibule				0
Fragment de mandibule	20	35	3	58
Dents inf.	80	89	3	172
Total machoire inf.	100	124	6	230
Dents indét.				0
Atlas			2	2
Axis			7	7
Autres v.cervicales			6	6
V.thoraciques			10	10
V.lombaires			2	2
Sacrum				0
V.coccygiennes				0
Vertèbres indét.			5	5
Total vertèbres			32	32
Côtes				0
Scapula	11	12	1	24
Humérus entier				0
Humérus proximal			2	2
Humérus diaphyse	2	3		5
Humérus distal	26	21	1	48
Total Humerus	28	24	3	55
Radius entier	1			1
Radius proximal	18	13	2	33
Radius diaphyse	3	1	1	5
Radius distal	12	13		25
Total Radius	34	27	3	64
Ulna	11	7		18
Métacarpe entier				0
Métacarpe proximal	15	13	1	29
Métacarpe diaphyse			6	7
Métacarpe distal	5	5	18	28
Total Métacarpe	20	19	25	64
Pisiforme			1	1
Pyramidal	4	4		8
Semi-lunaire	4	5		9
Scaphoïde	4	11		15
Unciforme	2	5		7
Capitato-trapézoïde	5	7		12
Total carpe	19	33	0	52
Coxal	16	16		32
Fémur entier				0
Fémur proximal	7	5	3	15
Fémur diaphyse			1	2
Fémur distal	5	4	1	10
Total Fémur	12	10	5	27
Patella	2	2		4
Tibia entier				0
Tibia proximal	1	8		9
Tibia diaphyse	3	8		11
Tibia distal	21	29		50
Total Tibia	25	45	0	70
Métatarse Entier				0
Métatarse proximal	15	10	1	26
Métatarse diaphyse	1	1	37	39
Métatarse distal	4	5	10	19
Total Métatarse	20	16	48	84
Métapodes indét.			1	43
Métapodes Vest Indét	4			2
Calcaneum	29	22	1	52
Talus	28	40		68
Naviculo-cuboïde	16	13		29
Grand cunéiforme	3	5		8
Petit cunéiforme				0
Total tarse	76	80	1	157
Grand sésamoïde	1	2		3
Petit sésamoïde				0
Os malléolaire	2	2		4
Phalange I	37	39	4	80
Phalange Vest I	2	2		4
Phalange II	33	22	7	62
Phalange Vest II	1	1		2
Phalange III	7	5		12
Total	564	605	229	1398

Equus caballus

Parties du squelette	NR			
	D	G	Indét.	Total
Crâne				0
Maxillaire		1		1
Dents sup.	52	64	2	118
Total machoire sup.	52	65	2	119
Hémi-mandibule				0
Fragment de mandibule	2	2		4
Dents inf.	51	68	4	123
Total machoire inf.	53	70	4	127
Dents indét.			4	4
Atlas				0
Axis				0
Autres v.cervicales			1	1
V.thoraciques			2	2
V.lombaires			3	3
Sacrum			1	1
V.coccygiennes				0
Vertèbres indét.				0
Total vertèbres			7	7
Côtes				0
Scapula	1	1		2
Humérus entier				0
Humérus proximal	1	1		2
Humérus diaphyse	3			3
Humérus distal	6	3		9
Total Humerus	10	4	0	14
Radius entier				0
Radius proximal	1	2	1	4
Radius diaphyse	1	1	1	3
Radius distal	7	2		9
Total Radius	9	5	2	16
Ulna				0
Métacarpe entier	1	1		2
Métacarpe proximal	5	11		16
Métacarpe diaphyse				0
Métacarpe distal				0
Total Métacarpe	6	12	0	18
Métacarpe Vest 2	4	1		5
Métacarpe Vest 4	2			2
Pisiforme	2	2		4
Pyramidal	2	2		4
Semi-lunaire	4	2		6
Scaphoïde	2	2		4
Unciforme	3	4		7
Trapézoïde	1			1
Grand Os	1			1
Total carpe	15	12	0	27
Coxal	4	5	3	12
Fémur entier				0
Fémur proximal	3	3		6
Fémur diaphyse	4	1		5
Fémur distal	1	3	1	5
Total Fémur	8	7	1	16
Patella	1	5		6
Tibia entier				0
Tibia proximal		2		2
Tibia diaphyse	3	4	2	9
Tibia distal	7	5		12
Total Tibia	10	11	2	23
Métatarse Entier				0
Métatarse proximal	3	4		7
Métatarse diaphyse		1		1
Métatarse distal				0
Total Métatarse	3	5	0	8
Métatarse Vest 2	1	3		4
Métatarse Vest 4	3	2		5
Métapodes Vest Indét			1	1
Métapodes indét.	5	5	9	19
Calcaneum	6	2		8
Talus	5	9		14
Cuboïde	1	2		3
Naviculaire	2	2		4
Grand cunéiforme	1			1
Petit cunéiforme	1			1
Total tarse	16	15	0	31
Grand sésamoïde	1			1
Petit sésamoïde			2	2
Os malléolaire				0
Phalange I			22	22
Phalange II			5	5
Phalange III			6	6
Indét		2	1	3
Total	204	230	71	505

Bison priscus

Parties du squelette	NR			
	D	G	Indét.	Total
Crâne			1	1
Maxillaire		1		1
Dents sup.	33	28	8	69
Total machoire sup.	33	29	9	71
Hémi-mandibule				0
Fragment de mandibule				0
Dents inf.	20	29	5	54
Total machoire inf.	20	29	5	54
Dents indét.			3	3
Atlas			1	1
Axis				0
Autres v.cervicales				0
V.thoraciques			2	2
V.lombaires			2	2
Sacrum				0
V.coccygiennes				0
Vertèbres indét.				0
Total vertèbres			5	5
Côtes				0
Scapula	3			3
Humérus entier				0
Humérus proximal				0
Humérus diaphyse	10	6	4	20
Humérus distal	4	4		8
Total Humerus	14	10	4	28
Radius entier				0
Radius proximal	2	1		3
Radius diaphyse				0
Radius distal	1	1		2
Total Radius	3	2	0	5
Ulna		2		2
Métacarpe entier				0
Métacarpe proximal	2	4		6
Métacarpe diaphyse			1	1
Métacarpe distal			1	1
Total Métacarpe	2	4	2	8
Pisiforme				0
Pyramidal				0
Semi-lunaire			2	2
Scaphoïde	1	2		3
Unciforme	1	1		2
Capitato-trapézoïde	1	1		2
Total carpe	3	6	0	9
Coxal	2			2
Fémur entier				0
Fémur proximal				0
Fémur diaphyse		2		2
Fémur distal	1			1
Total Fémur	1	2	0	3
Patella	2			2
Tibia entier				0
Tibia proximal				0
Tibia diaphyse	5	1		6
Tibia distal	7	3		10
Total Tibia	12	4	0	16
Métatarse Entier			1	1
Métatarse proximal	3	3		6
Métatarse diaphyse				0
Métatarse distal	1	2	1	4
Total Métatarse	4	6	1	11
Métapodes indét.			1	1
Calcaneum	7	2		9
Talus	9	4		13
Naviculo-cuboïde	5	1	2	8
Grand cunéiforme				0
Petit cunéiforme				0
Total tarse	21	7	2	30
Grand sésamoïde	1	1		2
Petit sésamoïde				0
Os malléolaire				0
Phalange I	1		1	2
Phalange II			1	1
Phalange III	1	1	1	3
Total	123	104	34	261



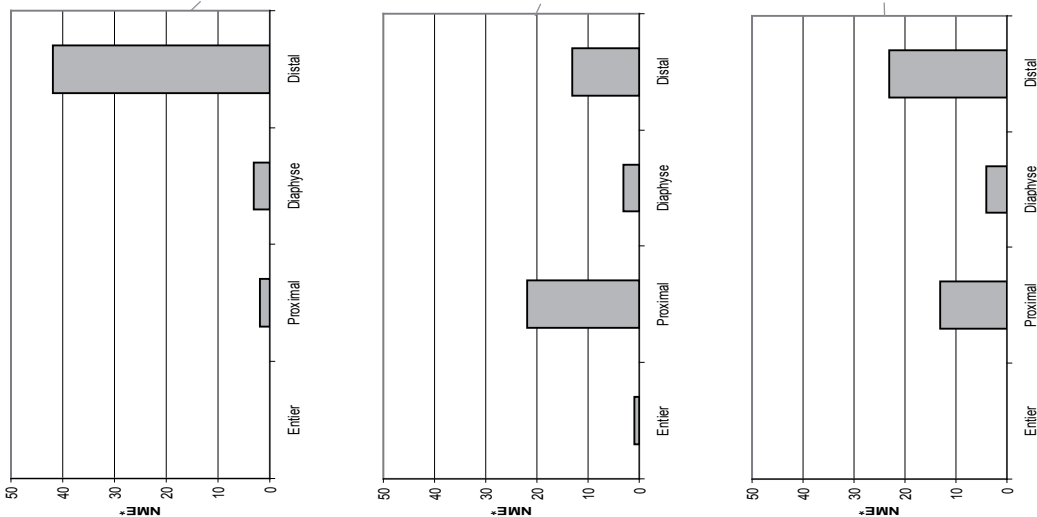
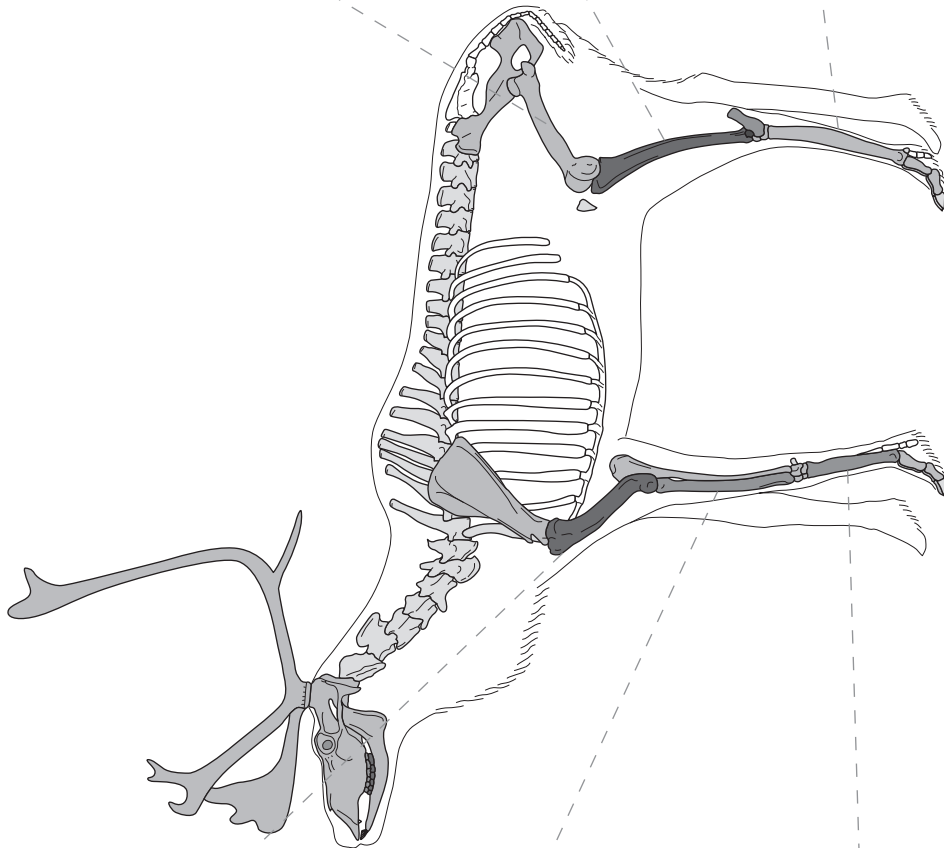
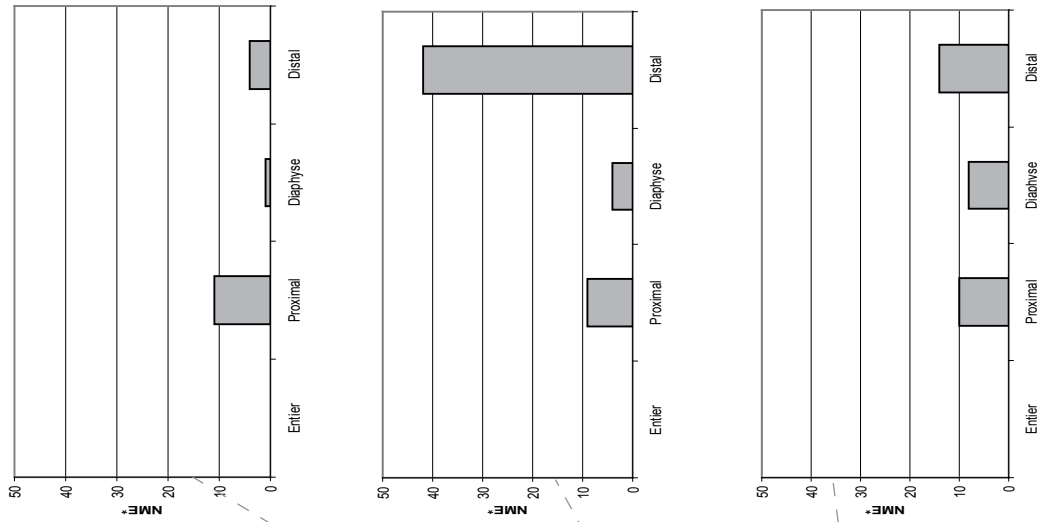
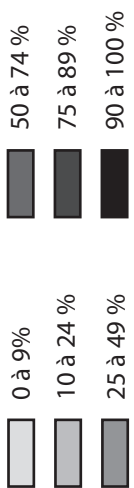
		Squelette	NME Attendu	NME*	MAU	% Survie
Céphalique	Bois	2	80	14	7	18
	Crâne	1	40	7	7	18
	Mandibule	2	80	18	9	23
	Incisive	6	240		0	0
	Canine	2	80		0	0
	Dent Jugale >	12	480	225	18,8	47
	Dent Jugale <	12	480	249	20,8	52
Ceinture	Scapula	2	80	18	9	23
	Coxal	2	80	16	8	20
Axial	Vertèbre	27	1080	26	1	2
	Côte	26	1040		0	0
Os Long	Humérus	2	80	42	21	53
	Radius	2	80	23	11,5	29
	Ulna	2	80	16	8	20
	Métacarpe	2	80	23	11,5	29
	Fémur	2	80	11	5,5	14
	Tibia	2	80	42	21	53
	Métatarse	2	80	14	7	18
Os Court	Carpe	12	480	52	4,3	11
	Talus	2	80	60	30	75
	Calcaneum	2	80	36	18	45
	Autre Tarse	6	240	37	6,2	15
	Patella	2	80	4	2	5
	Sésamoïde	20	800	3	0,2	0,4
	Os malléolaire	2	80	4	2	5
Autopode	Phalange 1	8	320	58	7,3	18
	Phalange 2	8	320	47	5,9	15
	Phalange 3	8	320	12	1,5	4

Annexe 111 : (Vergisson II) NME, MAU et pourcentage de survie des restes de Renne (* NME que sur individu adulte)

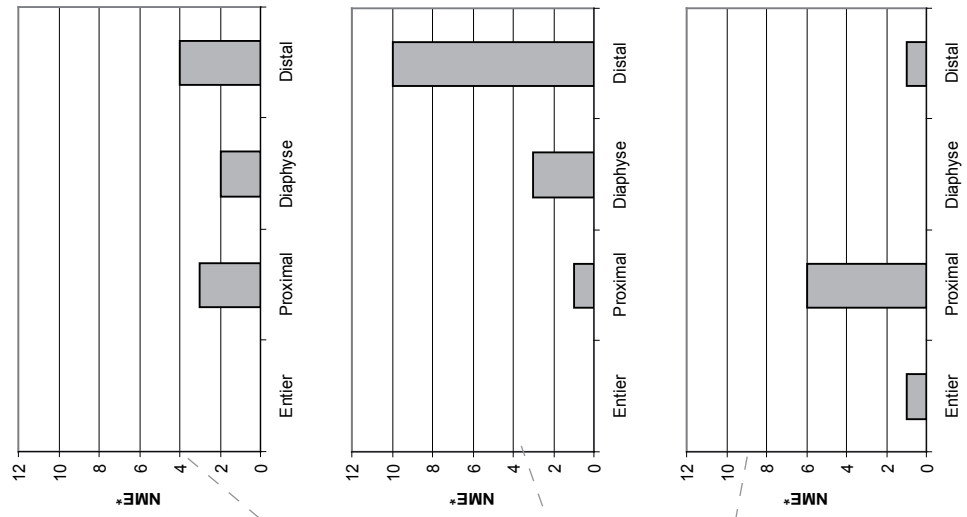
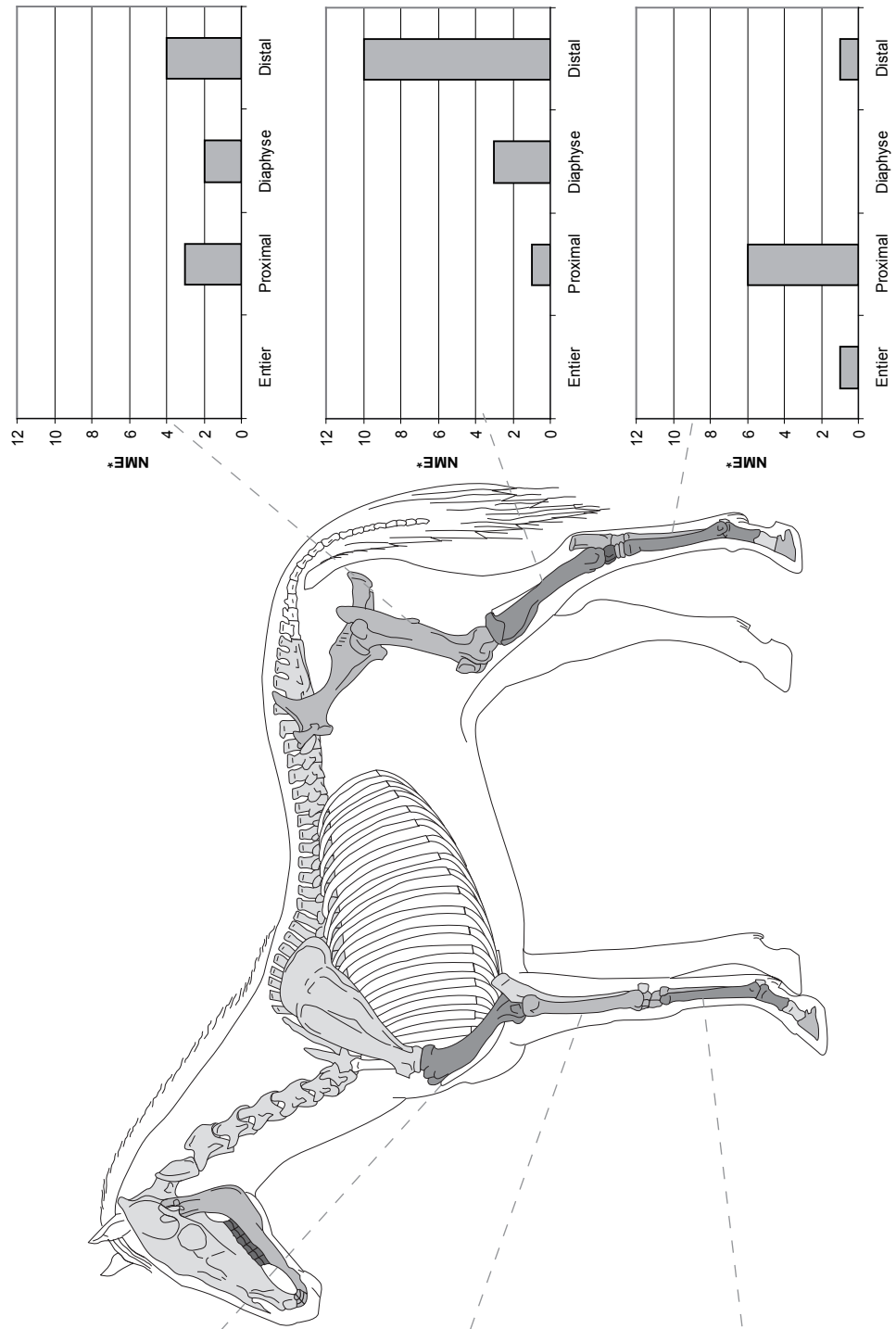
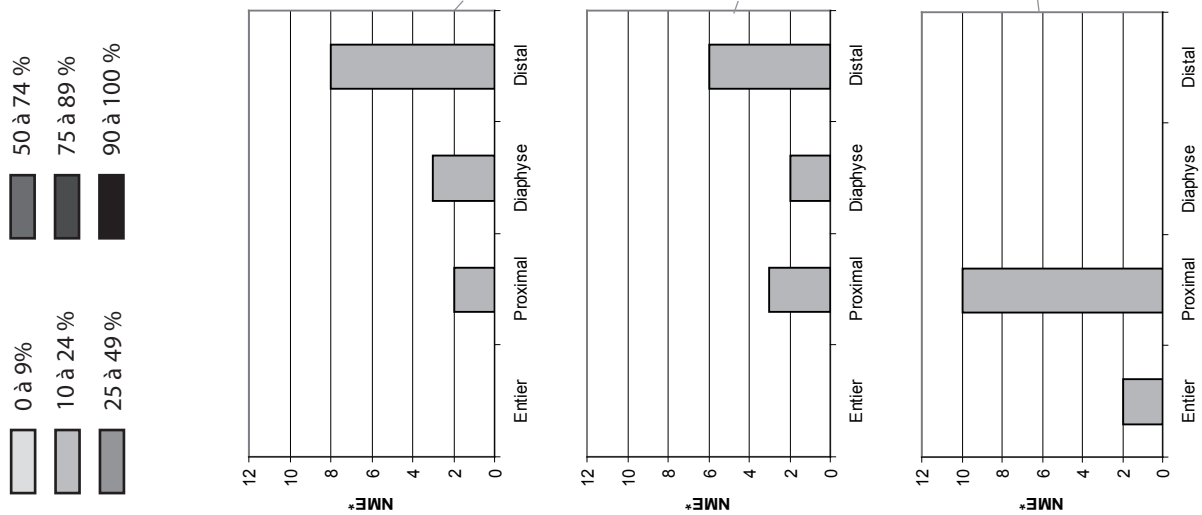


		Squelette	NME Attendu	NME*	MAU	% Survie
Céphalique	Crâne	1	14	1	1,0	7
	Mandibule	2	28	4	2,0	14
	Incisive	12	168	32	2,7	19
	Canine	4	56	6	1,5	11
	Dent Jugale >	12	168	105	8,8	63
	Dent Jugale <	12	168	102	8,5	61
Ceinture	Scapula	2	28	2	1,0	7
	Coxal	2	28	5	2,5	18
Axial	Vertèbre	31	434	6	0,2	1
	Côte	34	476		0,0	0
Os Long	Humérus	2	28	8	4,0	29
	Radius	2	28	6	3,0	21
	Ulna	2	28	1	0,5	4
	Métacarpe	2	28	12	6,0	43
	Mcc Vest	4	56	7	1,8	13
	Fémur	2	28	4	2,0	14
	Tibia	2	28	10	5,0	36
	Métatarse	2	28	7	3,5	25
	Mtt Vest	4	56	9	2,3	16
Os Court	Carpe	14	196	27	1,9	14
	Talus	2	28	14	7,0	50
	Calcaneum	2	28	6	3	21
	Autre Tarse	8	112	11	1,4	10
	Patella	2	28	6	3,0	21
	Sésamoïde	12	168	3	0,3	2
Autopode	Phalange 1	4	56	16	4,0	29
	Phalange 2	4	56	5	1,3	9
	Phalange 3	4	56	6	1,5	11

Annexe 112 (Vergisson II) : NME, MAU et pourcentage de survie des restes de Cheval (* NME que sur individu adulte)



Annexe 113 : (Vergisson II) : Représentation squelettique du Renne

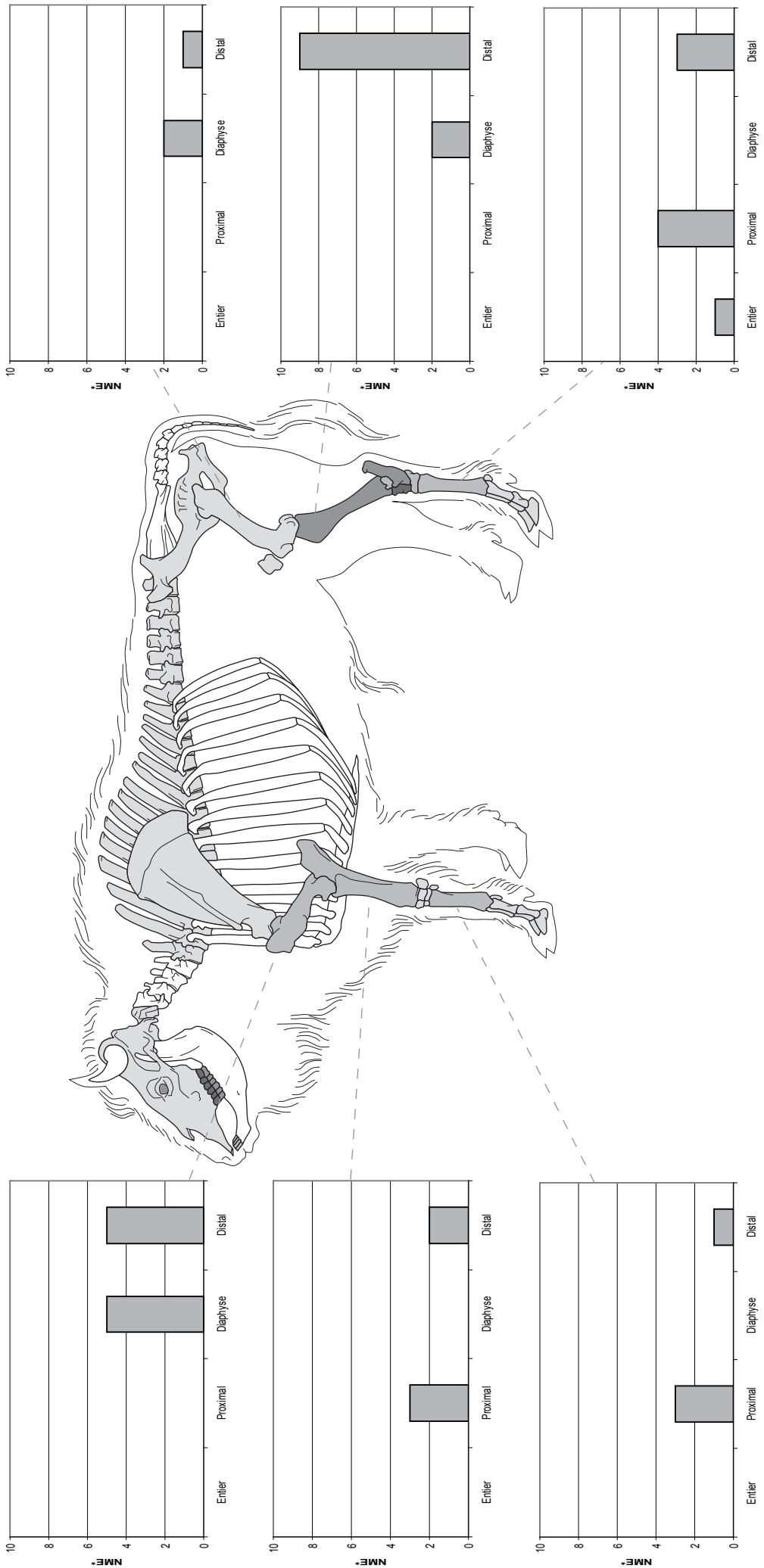
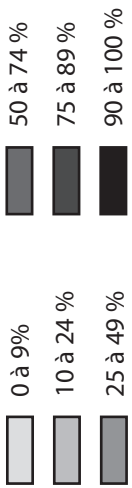


Annexe 114 (Vergisson II) : Représentation squelettique du Cheval



		Squelette	NME Attendu	NME*	MAU	% Survie
Céphalique	Chev. Oss.	2	22	0	0	0
	Crâne	1	11	1	1	9
	Mandibule	2	22	0	0	0
	Incisive	6	66	7	1,2	11
	Canine	2	22	0	0	0
	Dent Jugale >	12	132	72	6	55
	Dent Jugale <	12	132	47	3,9	36
Ceinture	Scapula	2	22	1	0,5	5
	Coxal	2	22	1	0,5	5
Axial	Vertèbre	27	297	5	0,2	2
	Côte	26	286		0	0
Os Long	Humérus	2	22	5	2,5	23
	Radius	2	22	3	1,5	14
	Ulna	2	22	2	1	9
	Métacarpe	2	22	3	1,5	14
	Fémur	2	22	2	1	9
	Tibia	2	22	9	4,5	41
	Métatarse	2	22	5	2,5	23
Os Court	Carpe	12	132	9	0,8	7
	Talus	2	22	13	6,5	59
	Calcaneum	2	22	8	4	36
	Autre Tarse	6	66	8	1,3	12
	Patella	2	22	2	1	9
	Sésamoïde	20	220	2	0,1	1
	Os malléolaire	2	22		0	0
Autopode	Phalange 1	8	88	2	0,3	2
	Phalange 2	8	88	1	0,1	1
	Phalange 3	8	88	3	0,4	3

Annexe 115 (Vergisson II) : NME, MAU et pourcentage de survie des restes de Bison (* NME que sur individu adulte)



Annexe 117 (Vergisson II) : Représentation squelettique du Bison

Dissolution	Stade 1		Stade 2		Stade 3		Stade 4	
	NR	%	NR	%	NR	%	NR	%
<i>Rangifer tarandus</i>	62	56,9	33	30,3	12	11	2	1,8
<i>Equus caballus</i>	15	31,9	27	57,4	5	10,6		
Bovinés	7	25	8	28,6	11	39,3	2	7,1
<i>Vulpes vulpes</i>	1	33,3	2	66,6				
<i>Canis lupus</i>	3	42,9	2	28,6	2	28,6		
Total	89	43,6	78	38,2	33	16,2	4	2

Coloration	Stade 1		Stade 2		Stade 3		Stade 4	
	NR	%	NR	%	NR	%	NR	%
<i>Rangifer tarandus</i>	160	37,2	217	50,5	43	10	10	2,3
<i>Equus caballus</i>	55	40,7	58	43	19	14,1	3	2,2
Bovinés	7	25	8	28,6	11	39,3	2	7,1
<i>Vulpes vulpes</i>	16	24,6	26	40	20	30,8	3	4,6
<i>Canis lupus</i>	11	26,8	17	41,5	12	29,3	1	2,4
Total	289	36,6	371	47	106	13,4	23	2,9

Concrétion	Stade 1		Stade 2		Stade 3		Stade 4	
	NR	%	NR	%	NR	%	NR	%
<i>Rangifer tarandus</i>	131	50	93	35,5	33	12,6	5	1,9
<i>Equus caballus</i>	21	41,2	21	41,2	4	7,8	5	9,8
Bovinés	10	35,7	13	46,4	4	14,3	1	3,6
<i>Vulpes vulpes</i>	14	77,8	2	11,1	1	5,6	1	5,6
<i>Canis lupus</i>	9	69,2	3	23,1	1	7,7		
Total	193	49,1	141	35,9	46	11,7	13	3,3

Fissure	Stade 1		Stade 2		Stade 3		Stade 4	
	NR	%	NR	%	NR	%	NR	%
<i>Rangifer tarandus</i>	204	46,7	166	38	65	14,9	2	0,5
<i>Equus caballus</i>	50	33,3	63	42	33	22	4	2,7
Bovinés	25	29,1	40	46,5	18	20,9	3	3,5
<i>Vulpes vulpes</i>	17	48,6	15	42,9	3	8,6		
<i>Canis lupus</i>	19	39,6	20	41,7	9	18,8		
Total	341	41,4	334	40,6	136	16,5	12	1,5

Abrasion	Stade 1		Stade 2		Stade 3		Stade 4	
	NR	%	NR	%	NR	%	NR	%
<i>Rangifer tarandus</i>	10	43,5	9	39,1	3	13	1	4,3
<i>Equus caballus</i>	12	60	6	30	1	5	1	5
Bovinés	6	46,2	5	38,5	2	15,4		
<i>Vulpes vulpes</i>								
<i>Canis lupus</i>	4	80			1	20		
Total	34	47,2	27	37,5	9	12,5	2	2,8

Annexe 118 (Vergisson II) : Intensité des altérations taphonomiques



	Nb	Zone	Localisation I	Localisation II	Taille	Orientation/Axe	Agencement	Appuyé/Effleuré	Action Anthropique
Atlas	2		Ventrale	Crâniale	Courte	Oblique <45°	Parallèle	Appuyé	Désarticulation
Vert. Tho.	7	Base Proc. Epi.			Courte	Oblique <45°	Parallèle	Appuyé	Décharnement
Scapula	5	P	Médiale	Antérieure	Courte	Transverse	Parallèle	Effleuré	Désarticulation
	3	P	Médiale	Antérieure	Courte	Oblique <45°	Parallèle	Appuyé	Désarticulation
	3	P	Médiale	Antérieure	Courte	Transverse	Parallèle	Appuyé	Désarticulation
	7	P	Médiale	Antérieure	Courte	Oblique <45°	Parallèle	Appuyé	Désarticulation
	4	P	Latérale	Centrale	Courte	Oblique <45°	Parallèle	Appuyé	Désarticulation/Décharnement
Humérus	5	P	Médiale	Antérieure	Courte	Transverse	Parallèle	Appuyé	Désarticulation
	4	D	Médiale	Antérieure	Moyenne	Oblique >45°	Parallèle	Appuyé	Désarticulation
	1	D	Latérale	Antérieure	Moyenne	Oblique >45°		Effleuré	Désarticulation
	1	D	Médiale	Antérieure	Courte	Oblique <45°		Effleuré	Désarticulation
	2	D	Médiale	Postérieure	Courte	Transverse	Parallèle	Effleuré	Désarticulation/Décharnement
	2	D	Médiale	Antérieure	Courte	Transverse	Parallèle	Appuyé	Désarticulation
	3	D	Médiale	Antérieure	Courte	Oblique à Transverse	Sécant	Appuyé	Désarticulation
	1	D	Médiale	Postérieure	Courte	Oblique <45°		Appuyé	Désarticulation/Décharnement
	3	D	Latérale	Antérieure	Courte	Oblique à Transverse	Parallèle	Effleuré	Désarticulation
	1	D	Médiale	Postérieure	Courte	Oblique <45°		Appuyé	Désarticulation/Décharnement
	9	D	Médiale	Antérieure	Courte	Parallèle	Sécant	Appuyé	Désarticulation
	3	D	Médiale	Antérieure	Courte	Oblique <45°	Parallèle	Appuyé	Désarticulation
Radius	2	D	Postérieure	Médiale	Courte	Transverse	Parallèle	Effleuré	Désarticulation
	2	DP	Médiale	Postérieure	Courte	Oblique >45°	Parallèle	Appuyé	Décharnement
	2	P	Médiale	Postérieure	Courte	Oblique <45°	Parallèle	Appuyé	Désarticulation
	10	DM	Antérieure	Médiale	Courte	Oblique <45°	Sécante	Effleuré	Décharnement
Ulna	3	P	Médiale		Courte	Oblique <45°	Parallèle	Appuyé	Désarticulation
	2	P	Postérieure		Courte	Oblique <45°	Parallèle	Appuyé	Désarticulation/Décharnement
Métacarpe	17	DP	Latérale		Courte	Variable	Variable	Appuyé	Désarticulation/Décharnement
	1	P	Antérieure	Centrale	Courte	Transverse		Appuyé	Désarticulation
Carpe	2	SA	Dorsale		Courte	Oblique >45°	Parallèle	Appuyé	Désarticulation
Coxal	10	A	Latérale		Courte	Oblique <45°	Sécante	Effleuré	Désarticulation
	2	A	Latérale		Courte	Oblique <45°	Parallèle	Appuyé	Désarticulation
Tibia	5	DM	Postérieure	Latérale	Courte	Transverse	Parallèle	Effleuré	Décharnement
	6	DD	Latérale	Centrale	Courte	Oblique <45°	Parallèle	Effleuré	Dépouillement/Décharnement
	6	DP	Postérieure	Latérale	Courte	Oblique <45°	Parallèle	Appuyé	Décharnement
Talus	3		Médiale	Plantaire	Courte	Oblique <45°	Parallèle	Appuyé	Désarticulation
	1		Médiale	Dorsale	Courte	Oblique <45°		Appuyé	Désarticulation
	2		Médiale	Centre	Courte	Oblique <45°	Parallèle	Appuyé	Désarticulation
	1		Médiale	Centre	Moyenne	Transverse		Effleuré	Désarticulation
	3		Médiale	Plantaire	Courte	Oblique <45°	Parallèle	Effleuré	Désarticulation
	5		Médiale	Dorsale	Courte	Oblique <45°	Parallèle	Appuyé	Désarticulation
	2		Médiale	Plantaire	Courte	Oblique <45°	Parallèle	Effleuré	Désarticulation
	2		Médiale	Plantaire	Courte	Oblique <45°	Parallèle	Appuyé	Désarticulation
	2		Médiale	Centre	Courte	Transverse	Parallèle	Appuyé	Désarticulation
Calcaneum	1		Médiale	Dorsale	Courte	Transverse		Appuyé	Désarticulation
	4	Trochlée fibulaire	Latérale		Courte	Oblique <45°	Parallèle	Appuyé	Désarticulation
Phalange I	11	DP	Postérieure	Latérale	Courte	Oblique <45°	Parallèle	Effleuré	Dépouillement
	3	P	Postérieure	Latérale	Courte	Oblique >45°	Parallèle	Effleuré	Dépouillement
	2	P	Postérieure	Latérale	Courte	Transverse	Parallèle	Appuyé	Dépouillement
Phalange II	4	P	Postérieure	Médiale	Courte	Transverse	Parallèle	Appuyé	Dépouillement
	2	P	Médiale	Antérieure	Courte	Parallèle	Parallèle	Effleuré	Dépouillement
	2	DP	Postérieure	Centrale	Courte	Parallèle	Parallèle	Effleuré	Dépouillement

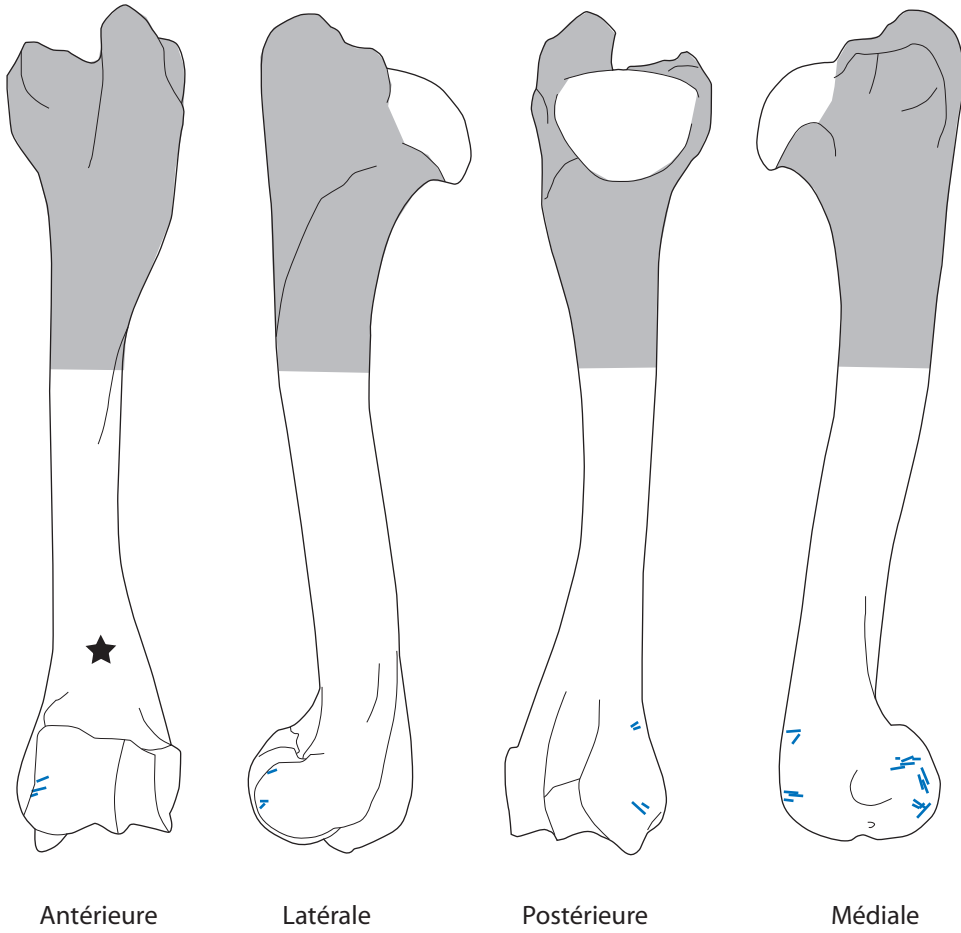


	Nb	Zone	Localisation I	Localisation II	Taille	Orientation/Axe	Agencement	Appuyé/Effleuré	Action Anthropique
Humérus	10	D	Médiale	Centre	Longue	Transverse	Parallèle	Appuyé	Désarticulation
	7	D	Médiale	Antérieure	Longue	Oblique <45°	Parallèle	Appuyé	Désarticulation
Fémur	1	DM	Antérieure	Médiale	Longue	Oblique >45°		Appuyé	Décharnement
	3	DD	Postérieure	Latérale	Courte	Oblique <45°	Parallèle	Effleuré	Décharnement
	3	P	Tête		Courte	Oblique <45°	Parallèle	Appuyé	Désarticulation
Métapode	4	DD	Postérieure	Centrale	Courte	Transverse	Parallèle	Effleuré	Dépouillement
	5	DD	Antérieure		Courte	Oblique <45°	Parallèle	Effleuré	Dépouillement
Talus	2	DD	Postérieure	Côté	Courte	Oblique <45°	Parallèle	Appuyé	Dépouillement
	5		Latérale	Antérieure	Courte	Oblique <45°	Parallèle	Appuyé	Désarticulation



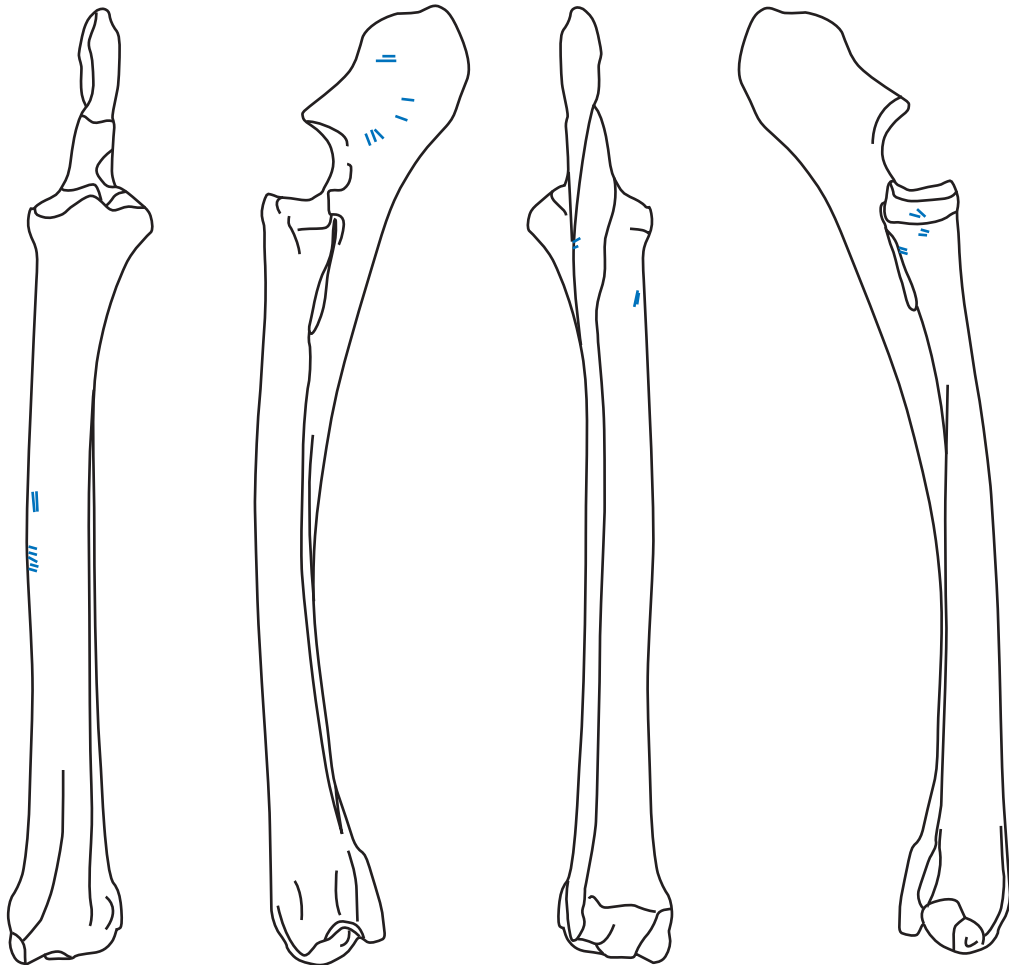
	Nb	Zone	Localisation I	Localisation II	Taille	Orientation/Axe	Agencement	Appuyé/Effleuré	Action Anthropique
Humérus	16	DM	Antérieure	Central	Longue	Parallèle	Parallèle	Appuyé	Raclage
Tibia	3	D	Postérieure	centre	Courte	Parallèle	Parallèle	Effleuré	Décharnement/Dépouillement
	1	DM	Postérieure						Percussion
	6	DM	Médiale	Postérieure	Courte	Oblique >45°	Parallèle	Appuyé	Décharnement
Talus	14	DD	Médiale	Postérieure	Courte	Transverse	Parallèle	Appuyé	Décharnement/Dépouillement
	2		Médiale	Plantaire	Courte	Transverse	Parallèle	Effleuré	Désarticulation

NRDa=8



— Strie de découpe
★ Point d'impact

NRDa=6



Partie absente

Annexe 120 (Vergisson II) : Localisation des stries de découpe et des points d'impact sur l'humérus et le radio-ulnaire de Renne.

NRDa=3




Antérieure

Latérale

Postérieure

Médiale

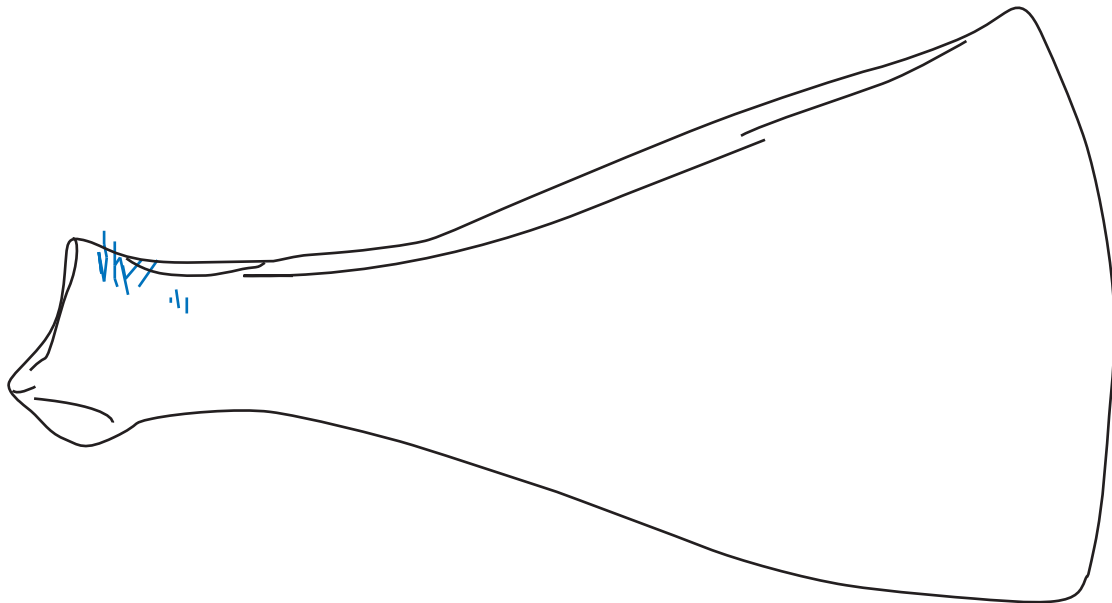
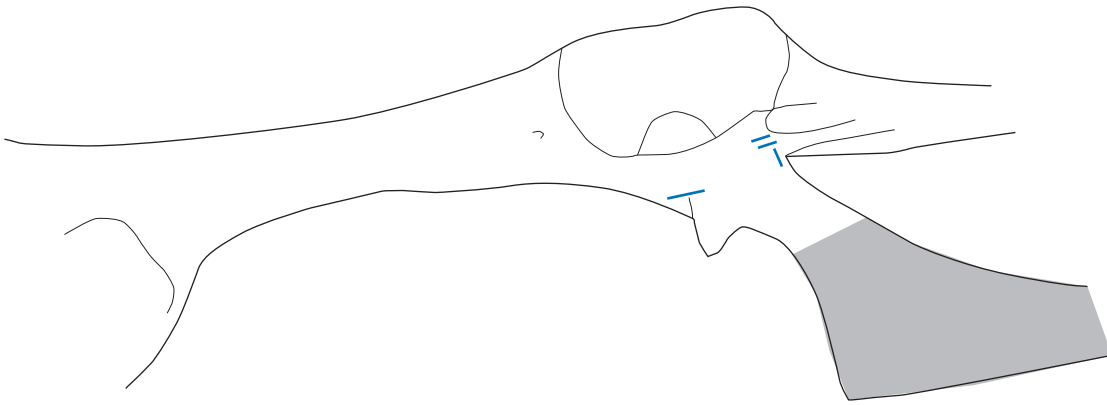
 Partie absente

 Point d'impact

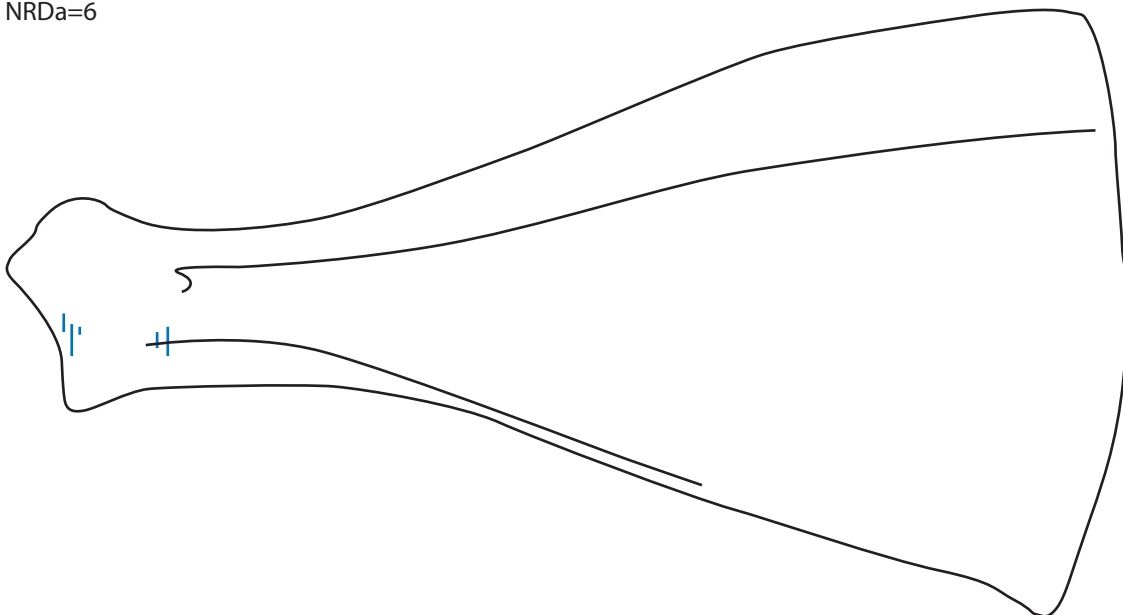
 Strie de découpe

Annexe 121 (Vergisson II) : Localisation des stries de découpe et des points d'impact sur tibia de Renne.

NRDa=2



NRDa=6



— Strie de découpe

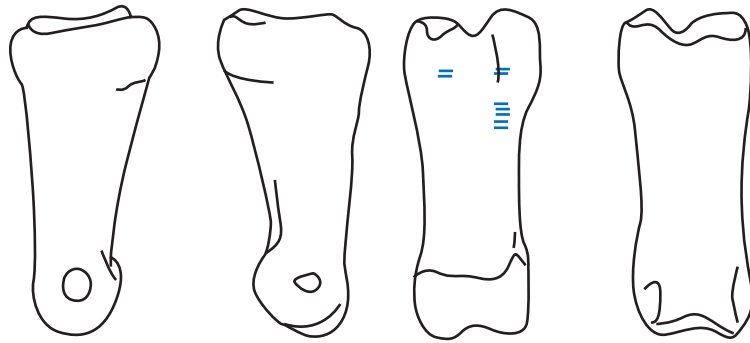
★ Point d'impact

Partie absente

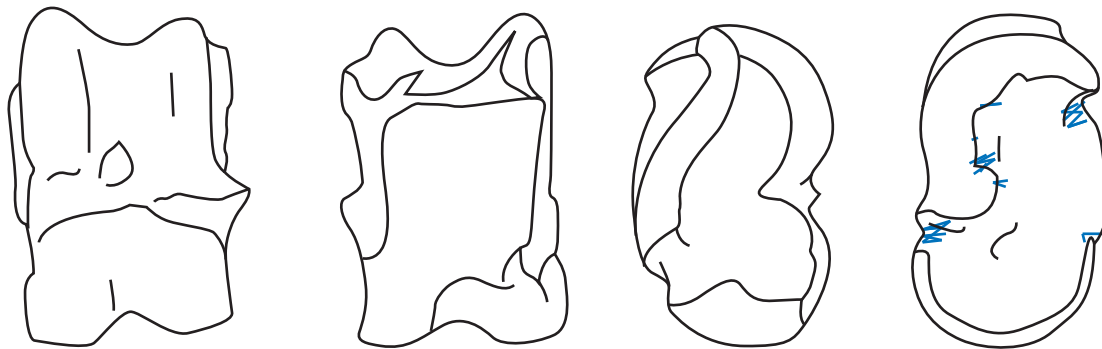
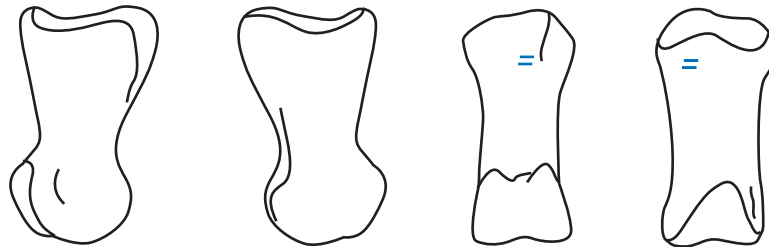


Annexe 122 (Vergisson II) : Localisation des stries de découpe et des points d'impact sur la scapula et le coxal de Renne.

NRDa=2




NRDa=2

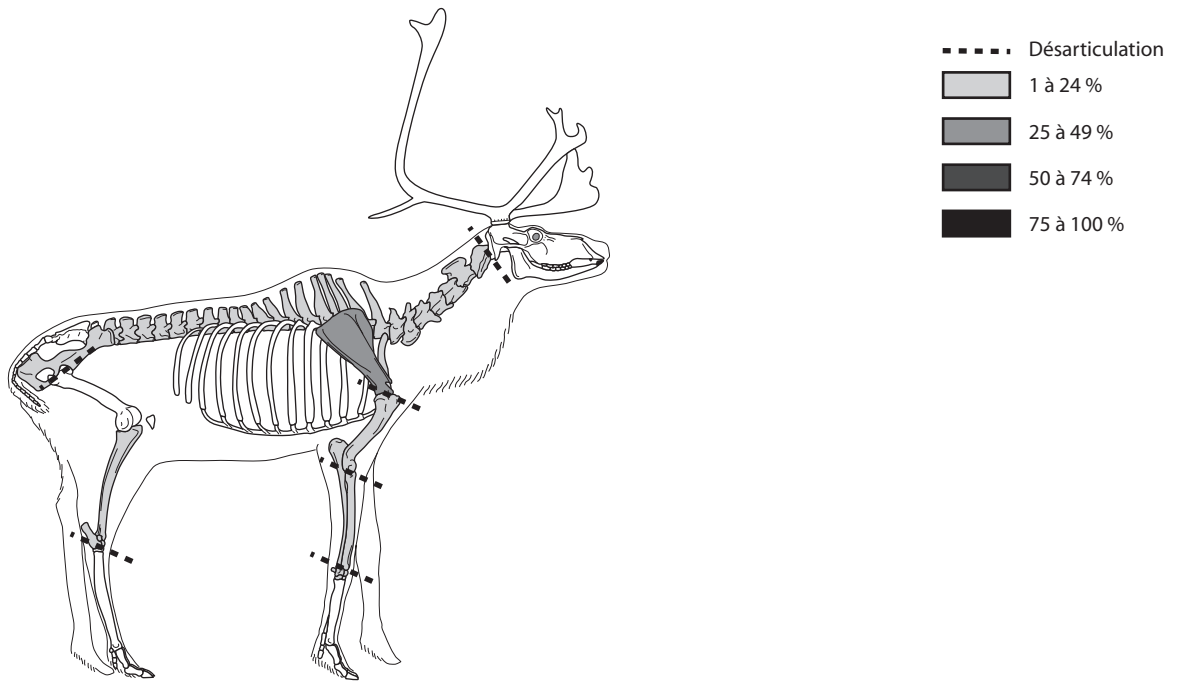


NRDa=9

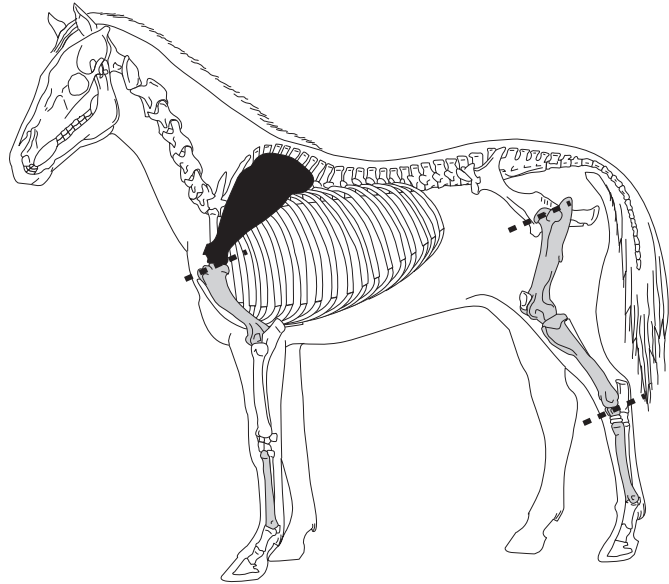
 Partie absente

 Point d'impact

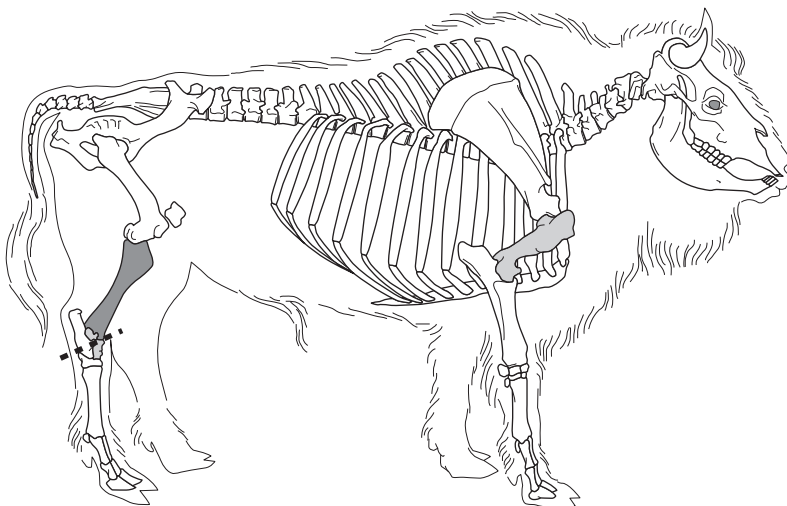
 Strie de découpe



Annexe 124 (Vergisson II) : Pourcentage de restes de Renne avec des stries anthropiques

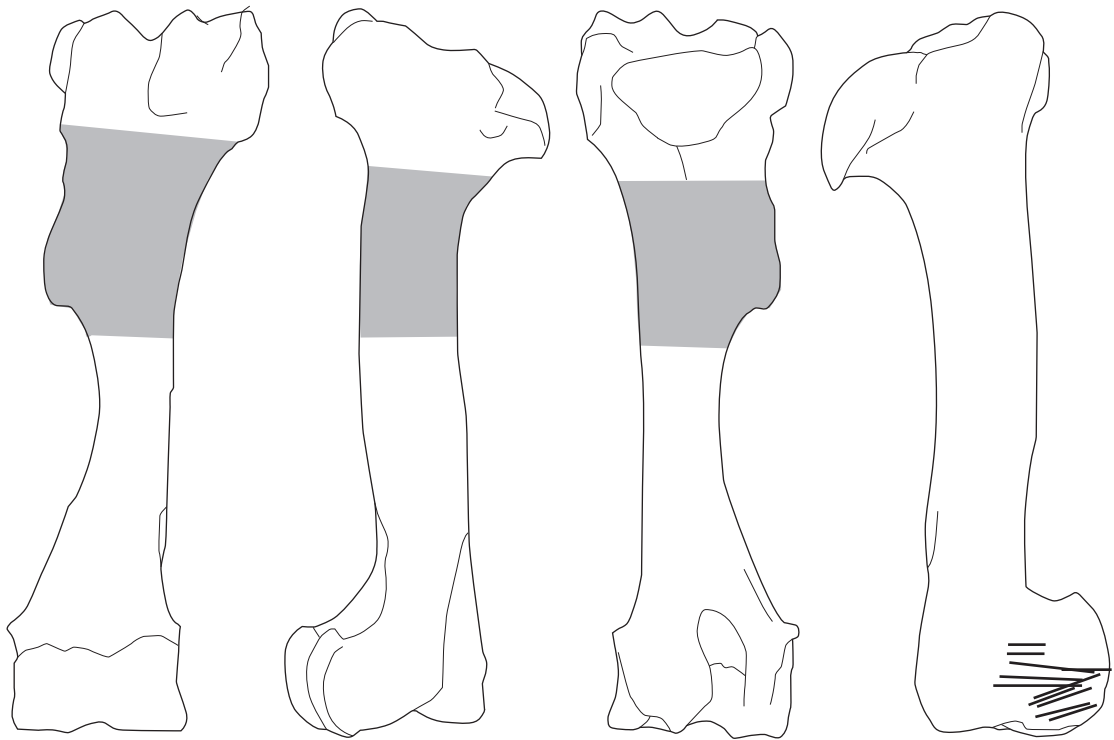


Annexe 125 (Vergisson II) : Pourcentage de restes de Cheval avec des stries anthropiques



Annexe 126 (Vergisson II) : Pourcentage de restes de Bison avec des stries anthropiques

NRDa=2



Antérieure

Latérale

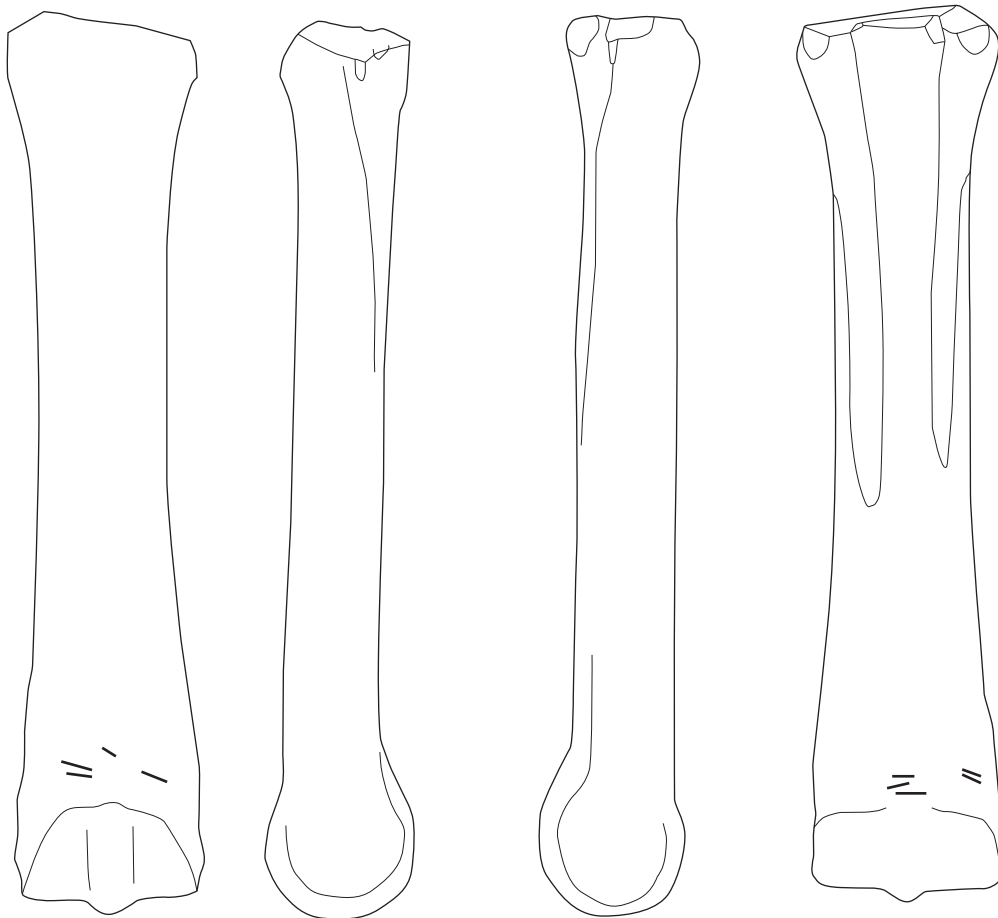
Postérieure

Médiale

— Strie de découpe

★ Point d'impact

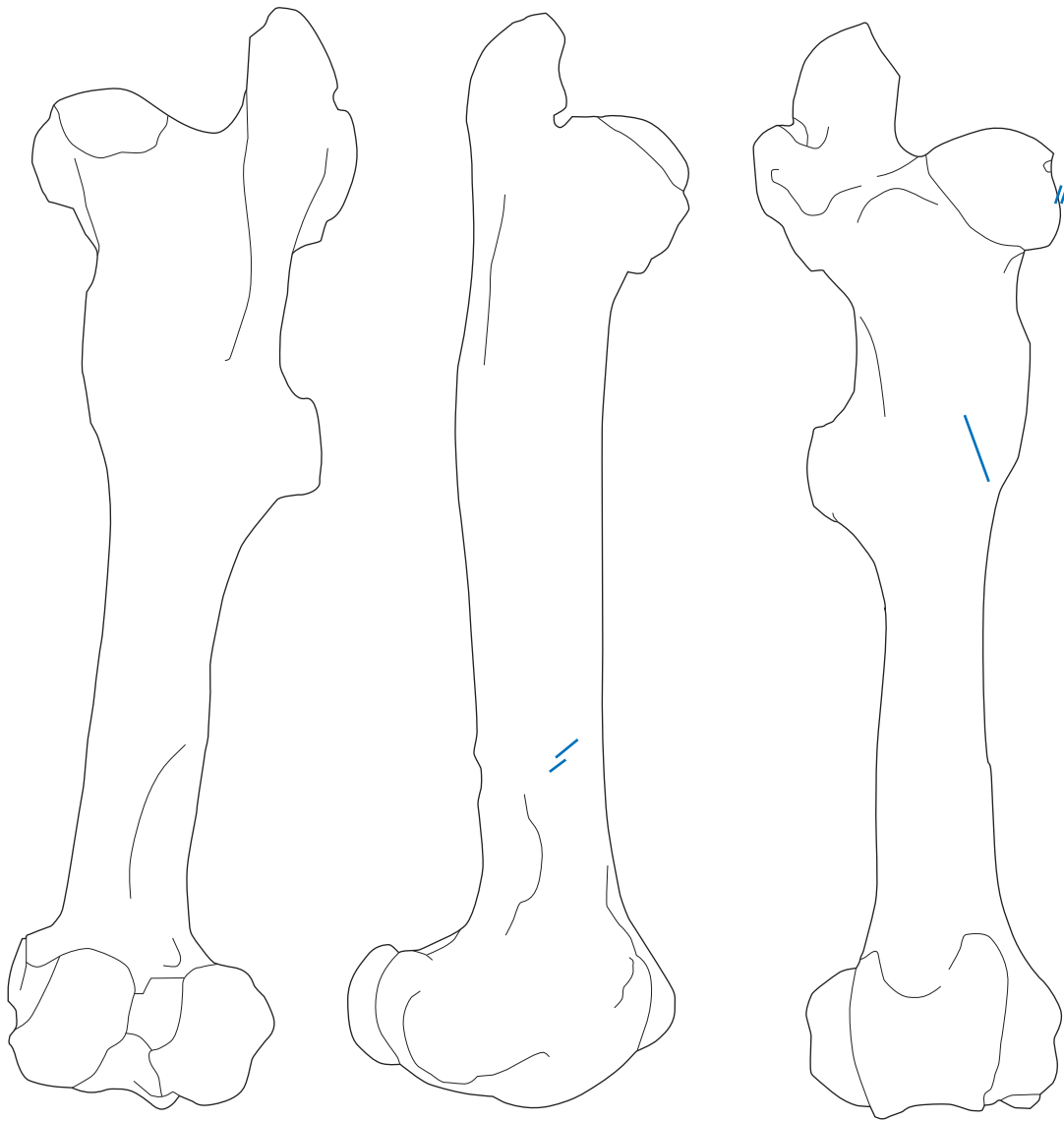
NRDa=3



Partie absente

Annexe 127 (Vergisson II) : Localisation des stries de découpe et des points d'impact sur l'humérus et le métapode de Cheval.

NRDa=3



Partie absente



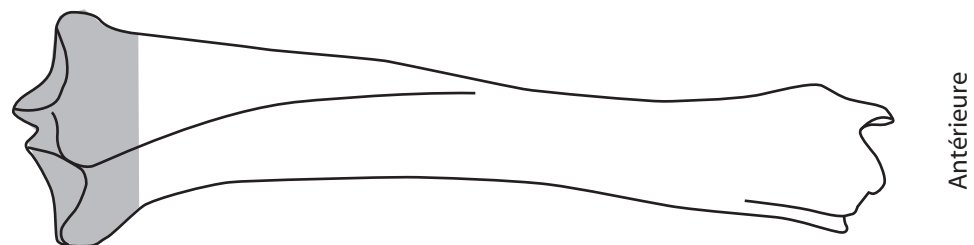
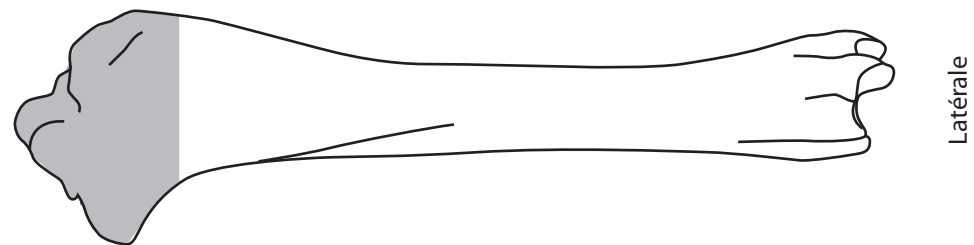
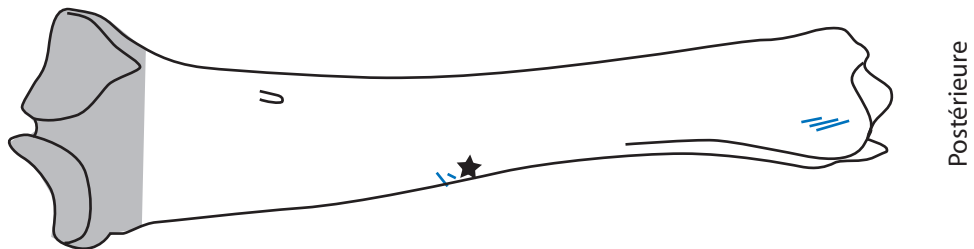
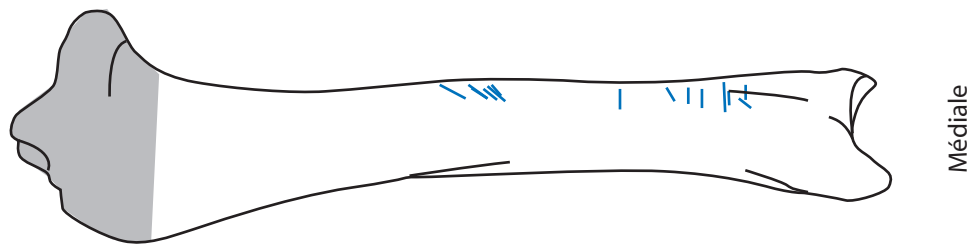
Point d'impact



Strie de découpe

Annexe 128 (Vergisson II) : Localisation des stries de découpe et des points d'impact sur le fémur de Cheval.

NRDa=3



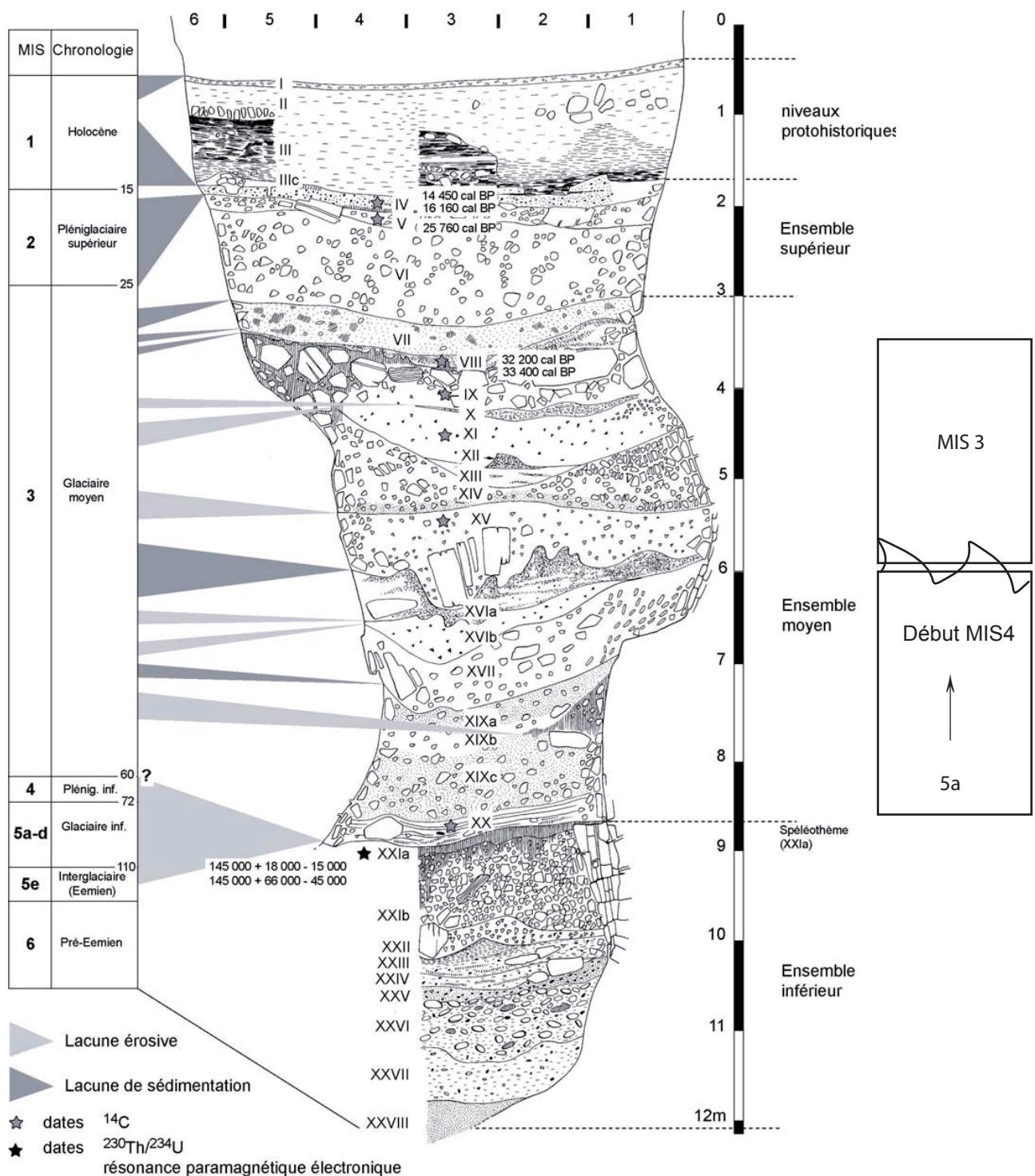
■ Partie absente ★ Point d'impact — Strie de découpe

Espèce	NRD	% NRD	NM/ic	Age					Saison	Carnivore	Homme	Origine	Accessibilité	Profil Squelet.	Traitement de la carcasse			Acquisition
				F	J	A	V	Dépeuplement							Décharnement	Fracturation	Ind. Osseuse	
<i>Rangifer tarandus</i>	1426	51,6	44	4	35	5	Printemps-été	8,6	4,5	Anthropique	Primaire	manque axial	x	x	x	Chasse		
<i>Equus caballus</i>	505	18,3	15	1	11	3	Printemps-été	10,2	5,3	Anthropique	Primaire	manque axial	x	x	x	Chasse		
<i>Bison priscus</i>	261	9,4	12	1	10	1		14,8	8,2	Anthropique	Primaire	manque axial	x	x	x	Chasse		
<i>Cervus elaphus</i>	28	1	2	1	1	1		9,1		Naturelle ou Carnivore		manque axial						
<i>Equus hydruntinus</i>	7	0,3	1	1	1	1		33,3		Naturelle ou Carnivore		Dents + métapode						
<i>Mammuthus primigenius</i>	6	0,2	1	1	1	1						Dents + humérus						
<i>Capra ibex</i>	5	0,2	1	1	1	1				Naturelle ou Carnivore		Dent + Carpe + phalange						
<i>Sus scrofa</i>	3	0,1	2	1	1	1				Naturelle ou Carnivore		Coxal + phalange						
<i>Capreolus capreolus</i>	1	0,04	1	1	1	1						Phalange						
<i>Coelodonta antiquitatis</i>	1	0,04	1	1	1	1						Dent						
<i>Megaboceros giganteus</i>	1	0,04	1	1	1	1						Crâne						
<i>Vulpes vulpes</i>	255	9,2	12	1	11	1		6,1		Naturelle		Entier						
<i>Canis lupus</i>	211	7,6	7	5	2	2		23,2		Naturelle		Entier						
<i>Ursus spelaeus</i>	13	0,5	3	1	2	2		20		Naturelle		Dents + côte + humérus						
<i>Crocuta crocuta</i>	12	0,4	3	1	2	2		25		Naturelle		Céphalique + humérus + phalange						
<i>Meles meles</i>	7	0,3	3	1	2	2				Naturelle		Métapode + dent + tarse						
<i>Mustela erminea</i>	2	0,07	1	1	1	1				Naturelle		Mandibule						
<i>Putorius putorius</i>	2	0,07	1	1	1	1				Naturelle		Os long						
<i>Gulo gulo</i>	2	0,07	1	1	1	1				Naturelle		Dents						
<i>Lepus sp.</i>	13	0,5	3	1	2	2				Naturelle ou Carnivore		Divers éléments						
<i>Castor fiber</i>	2	0,07	1	1	1	1				Naturelle ou Carnivore		Incisive						

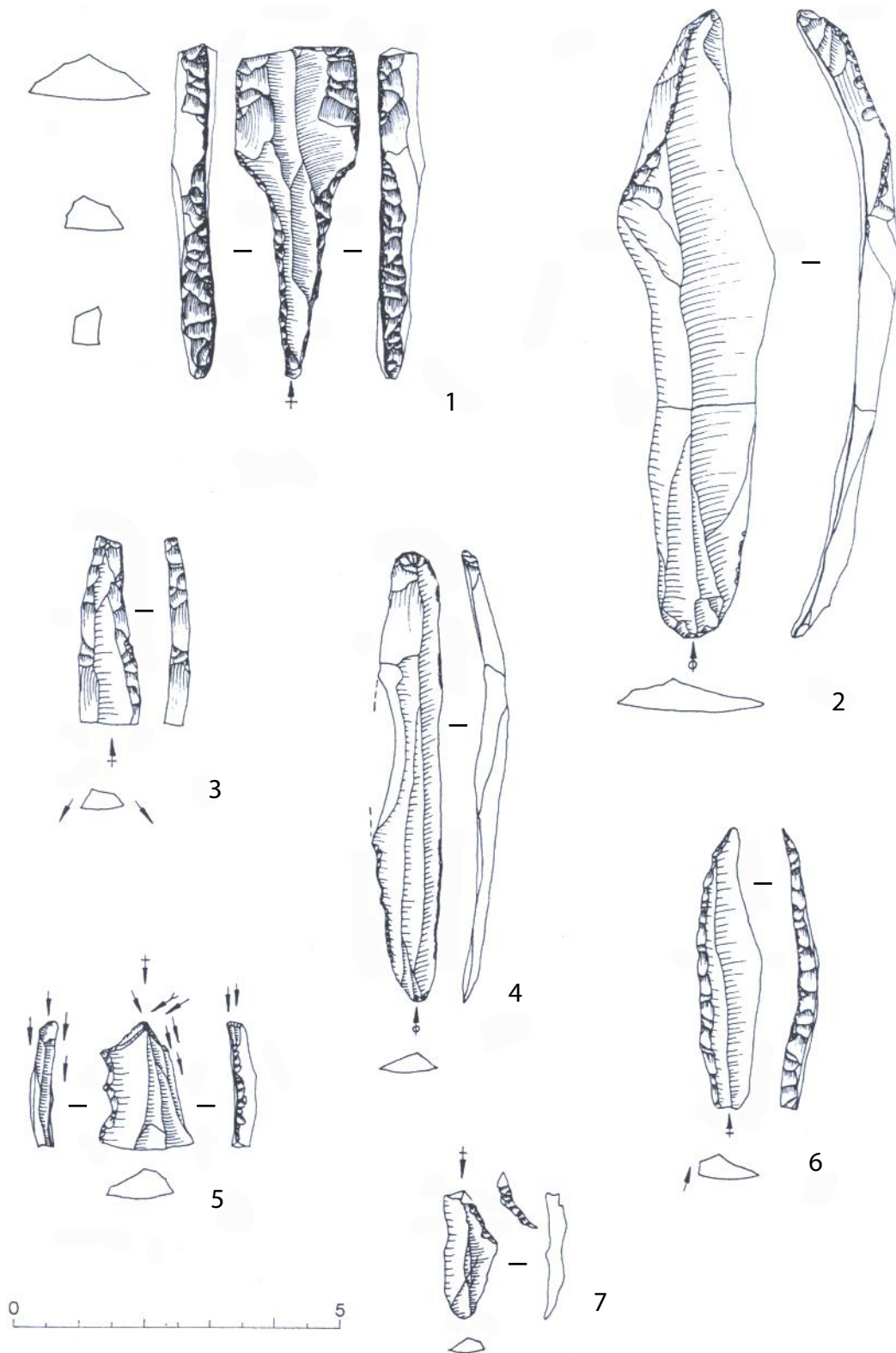
Annexe 130 (Vergisson II) : Synthèse sur les différentes espèces

Ancienne attribution
(Chaline et al, 1995)

Nouvelle attribution
chronologique



Annexe 131 : Nouvelle attribution chronologique proposée pour l'ensemble moyen de la séquence de la Baume de Gigny



Industrie Lithique d'Otrange-Kakert :

- 1 : Pointe de La Font-Robert
- 2 : Lame
- 3 : Lame sous crête
- 4 : Grattoir sur lame

- 5 : Burin
- 6 : Lame à dos (pointe de la Gravette)
- 7 : Micro-pointe



<i>Rangifer tarandus</i>				
Parties du squelette	NR			
	D	G	Indét.	Total
Bois	2	2	11	15
Crâne			2	2
Maxillaire				0
Dents sup.	18	17	1	36
Total machoire sup.	20	19	14	53
Hémi-mandibule				0
Fragment de mandibule		2		2
Dents inf.	13	5		18
Total machoire inf.	13	7	0	20
Dents indét.				0
Atlas			1	1
Axis			3	3
Autres v.cervicales			2	2
V.thoraciques			3	3
V.lombaires				0
Sacrum				0
V.coccygiennes				0
Vertèbres indét.				0
Total vertèbres			9	9
Côtes				0
Scapula	12	14		26
Humérus entier	1			1
Humérus proximal				0
Humérus diaphyse	11	8		19
Humérus distal	4	4		8
Total Humerus	16	12	0	28
Radius entier				0
Radius proximal	10	7		17
Radius diaphyse	2	1	1	4
Radius distal	3	1		4
Total Radius	15	9	1	25
Ulna	8	4		12
Métacarpe entier	1	1		2
Métacarpe proximal	10	4		14
Métacarpe diaphyse	1			1
Métacarpe distal	2	5	5	12
Total Métacarpe	14	10	5	29
Pisiforme	1	2		3
Pyramidal	3	10		13
Semi-lunaire	2	4		6
Scaphoïde	4	9		13
Unciforme	2	2		4
Capitato-trapézoïde	7	8		15
Total carpe	19	35	0	54
Coxal	6	3		9
Fémur entier				0
Fémur proximal		1	3	4
Fémur diaphyse	5	5		10
Fémur distal	1			1
Total Fémur	6	6	3	15
Patella	1	2		3
Tibia entier		1		1
Tibia proximal	1	2		3
Tibia diaphyse	10	16	1	27
Tibia distal	14	7		21
Total Tibia	25	26	1	52
Métatarse Entier				0
Métatarse proximal	22	19		41
Métatarse diaphyse	1	3	14	18
Métatarse distal		1	5	6
Total Métatarse	23	23	19	65
Métapodes indét.			6	6
Métapodes Vest	1	1		2
Calcaneum	13	12		25
Talus	10	9		19
Naviculo-cuboïde	6	4		10
Grand cunéiforme	2	4		6
Petit cunéiforme	1			1
Total tarse	32	29	0	61
Grand sésamoïde	3	3		6
Petit sésamoïde	2	2		4
Os malléolaire	3	5		8
Phalange I	26	32	4	62
Phalange I Vest			2	2
Phalange II	15	9		24
Phalange II Vest	1			1
Phalange III	3	6		9
Indéterminé				0
Total	262	256	62	585

<i>Moyen</i>				
Parties du squelette	NR			
	D	G	Indét.	Total
Bois			1	1
Crâne			20	20
Maxillaire			1	1
Dents sup.		1		1
Total machoire sup.	0	1	22	23
Hémi-mandibule				0
Fragment de mandibule	4	2	7	13
Dents inf.	1	1		2
Total machoire inf.	5	3	7	15
Dents indét.			7	7
Atlas			5	5
Axis				0
Autres v.cervicales			22	22
V.thoraciques			37	37
V.lombaires			27	27
Sacrum			3	3
V.coccygiennes			2	2
Vertèbres indét.			12	12
Total vertèbres			108	108
Côtes			284	284
Scapula	4	3	4	11
Humérus entier				0
Humérus proximal				0
Humérus diaphyse	8	14	1	23
Humérus distal		1		1
Total Humerus	8	15	1	24
Radius entier				0
Radius proximal				0
Radius diaphyse	9	9	6	24
Radius distal				0
Total Radius	9	9	6	24
Ulna	5	2	1	8
Métacarpe entier				0
Métacarpe proximal	3	1	1	5
Métacarpe diaphyse		1	4	5
Métacarpe distal				0
Total Métacarpe	3	2	5	10
Pisiforme				0
Pyramidal	1			1
Semi-lunaire				0
Scaphoïde	1			1
Unciforme				0
Capitato-trapézoïde				0
Total carpe	2	0	0	2
Coxal	5	5	10	20
Fémur entier				0
Fémur proximal				0
Fémur diaphyse	1	1	7	9
Fémur distal	1	2	4	7
Total Fémur	2	3	11	16
Patella				0
Tibia entier				0
Tibia proximal		2	1	3
Tibia diaphyse	2	4	4	10
Tibia distal		1	2	3
Total Tibia	2	7	7	16
Métatarse Entier				0
Métatarse proximal		1	1	2
Métatarse diaphyse	2	1	34	37
Métatarse distal				0
Total Métatarse	2	2	35	39
Métapodes indét.			39	39
Calcaneum	4	7		11
Talus				0
Naviculo-cuboïde				0
Grand cunéiforme				0
Petit cunéiforme				0
Total tarse	4	7	0	11
Grand sésamoïde				0
Petit sésamoïde				0
Os malléolaire				0
Phalange I	4	1	8	13
Phalange II			1	1
Phalange III				0
Indéterminé			2	2
Total	55	60	558	673

<i>Cervus elaphus</i>				
Parties du squelette	NR			
	D	G	Indét.	Total
Bois			22	22
Crâne		1	4	5
Maxillaire				0
Dents sup.		1	1	2
Total machoire sup.	0	1	27	29
Hémi-mandibule	2	5		7
Fragment de mandibule				0
Dents inf.	4	3		7
Total machoire inf.	6	8	0	14
Dents indét.				0
Atlas				0
Axis			1	1
Autres v.cervicales				0
V.thoraciques			4	4
V.lombaires				0
Sacrum				0
V.coccygiennes				0
Vertèbres indét.				0
Total vertèbres			5	5
Côtes				0
Scapula	11	5		16
Humérus entier				0
Humérus proximal				0
Humérus diaphyse	6	5	1	12
Humérus distal		5		5
Total Humerus	6	10	1	17
Radius entier				0
Radius proximal	3	1		4
Radius diaphyse			1	1
Radius distal	5	1		6
Total Radius	8	2	1	11
Ulna	2	2		4
Métacarpe entier		2		2
Métacarpe proximal	6	3		9
Métacarpe diaphyse	3	2	17	22
Métacarpe distal	1			1
Total Métacarpe	10	7	17	34
Pisiforme		1		1
Pyramidal	1	1		2
Semi-lunaire	1	2		3
Scaphoïde	1			1
Unciforme	1	1		2
Capitato-trapézoïde		1		1
Total carpe	4	6	0	10
Coxal	7	4		11
Fémur entier				0
Fémur proximal	1	1	1	3
Fémur diaphyse	5	6		11
Fémur distal	3	3		6
Total Fémur	9	10	1	20
Patella	1			1
Tibia entier				0
Tibia proximal	4		1	5
Tibia diaphyse	5	3		8
Tibia distal	6	4		10
Total Tibia	15	7	1	23
Métatarse Entier			1	1
Métatarse proximal	5	5	1	11
Métatarse diaphyse	2		10	12
Métatarse distal	1	3	3	7
Total Métatarse	8	8	15	31
Métapodes indét.			6	6
Calcaneum	12	8		20
Talus	4	1		5
Naviculo-cuboïde	3	3		6
Grand cunéiforme		1		1
Petit cunéiforme				0
Total tarse	19	13	0	32
Grand sésamoïde				0
Petit sésamoïde				0
Os malléolaire	1			1
Phalange I	7	6		13
Phalange II	1	1		2
Phalange III		3		3
Indéterminé				0
Total	115	93	74	283





Equus caballus

Parties du squelette	NR			Total
	D	G	Indét.	
Crâne			5	5
Maxillaire		1	1	2
Dents sup.	39	23	5	67
Total machoire sup.	39	24	11	74
Hémi-mandibule			0	0
Fragment de mandibule			2	2
Dents inf.	3	14		17
Total machoire inf.	3	14	2	19
Dents indét.		1	4	5
Atlas			0	0
Axis			0	0
Autres v.cervicales			0	0
V.thoraciques			0	0
V.lombaires			0	0
Sacrum			0	0
V.coccygiennes			0	0
Vertèbres indét.			0	0
Total vertèbres			0	0
Côtes				0
Scapula		3		3
Humérus entier			0	0
Humérus proximal			0	0
Humérus diaphyse	2	2	1	5
Humérus distal	1	1	1	3
Total Humerus	3	3	2	8
Radius entier			0	0
Radius proximal	5			5
Radius diaphyse	3	3		6
Radius distal	2	3		5
Total Radius	10	6	0	16
Ulna	4	1	1	6
Métacarpe entier	3	3		6
Métacarpe proximal	1	2		3
Métacarpe diaphyse			1	1
Métacarpe distal		2	5	7
Total Métacarpe	4	7	6	17
Métacarpe Vest 2	1	2		3
Métacarpe Vest 4	2	4		6
Pisiforme	1	5		6
Pyramidal	1	1		2
Semi-lunaire	1	2		3
Scaphoïde	4			4
Unciforme	1	4		5
Trapézoïde	3	1		4
Grand Os	1	2		3
Total carpe	12	15	0	27
Coxal	3	6		9
Fémur entier		2		2
Fémur proximal	1	1	3	5
Fémur diaphyse	8	5		13
Fémur distal		2		2
Total Fémur	9	10	3	22
Patella				0
Tibia entier		2		2
Tibia proximal	2			2
Tibia diaphyse	13	8	6	27
Tibia distal	4	6	2	12
Total Tibia	19	16	8	43
Métatarse Entier	1	3		4
Métatarse proximal	5	6		11
Métatarse diaphyse		2		2
Métatarse distal			4	4
Total Métatarse	6	11	4	21
Métatarse Vest 2	4	5		9
Métatarse Vest 4	4	8		12
Métapodes Vest Indét			3	3
Métapodes indét.			15	15
Calcaneum	3	6		9
Talus	4	8	1	13
Cuboïde	1	1		2
Naviculaire	3	3		6
Grand cunéiforme	2	2		4
Petit cunéiforme	1	4		5
Total tarse	14	24	1	39
Grand sésamoïde	15	12		27
Petit sésamoïde			19	19
Os malléolaire				0
Phalange I	14	17	12	43
Phalange II			28	28
Phalange III			17	17
Indét			3	3
Total	166	189	139	494

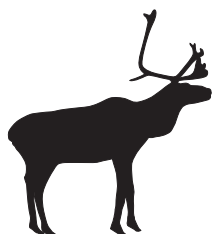
Grand

Parties du squelette	NR			Total
	D	G	Indét.	
Crâne			13	13
Maxillaire			3	3
Dents sup.			1	1
Total machoire sup.	0	0	17	17
Hémi-mandibule			0	0
Fragment de mandibule			2	2
Dents inf.			0	0
Total machoire inf.	0	0	2	2
Dents indét.			6	6
Atlas			2	2
Axis			0	0
Autres v.cervicales			15	15
V.thoraciques			14	14
V.lombaires			8	8
Sacrum			2	2
V.coccygiennes			0	0
Vertèbres indét.			16	16
Total vertèbres			57	57
Côtes			150	150
Scapula	2	2		4
Humérus entier			0	0
Humérus proximal			2	2
Humérus diaphyse	1	2		3
Humérus distal			1	1
Total Humerus	0	1	5	6
Radius entier			0	0
Radius proximal			4	4
Radius diaphyse	2		2	4
Radius distal			1	1
Total Radius	2	1	6	9
Ulna			1	1
Métacarpe entier			0	0
Métacarpe proximal			0	0
Métacarpe diaphyse			0	0
Métacarpe distal			0	0
Total Métacarpe	0	0	0	0
Pisiforme			0	0
Pyramidal			0	0
Semi-lunaire			0	0
Scaphoïde			0	0
Unciforme			0	0
Capitato-trapézoïde			0	0
Total carpe	0	0	0	0
Coxal			10	10
Fémur entier			0	0
Fémur proximal			1	1
Fémur diaphyse			1	1
Fémur distal			6	7
Total Fémur	0	2	8	10
Patella			0	0
Tibia entier			0	0
Tibia proximal			1	1
Tibia diaphyse	1		4	5
Tibia distal			1	1
Total Tibia	1	1	5	7
Métatarse Entier			0	0
Métatarse proximal			0	0
Métatarse diaphyse			0	0
Métatarse distal			0	0
Total Métatarse	0	0	0	0
Métapodes indét.			8	8
Calcaneum	3	4		7
Talus			0	0
Naviculo-cuboïde			0	0
Grand cunéiforme			0	0
Petit cunéiforme			0	0
Total tarse	3	4	0	7
Grand sésamoïde			0	0
Petit sésamoïde			0	0
Os malléolaire			0	0
Phalange I			0	0
Phalange II			0	0
Phalange III			0	0
Indéterminé			0	0
Total	6	11	277	294

Bos / Bison

Parties du squelette	NR			Total
	D	G	Indét.	
Cheville Osseuse			2	2
Crâne			3	3
Maxillaire			0	0
Dents sup.	17	22	1	40
Total machoire sup.	17	22	6	45
Hémi-mandibule			0	0
Fragment de mandibule	1		2	3
Dents inf.	12	11		23
Total machoire inf.	13	11	2	26
Dents indét.			0	0
Atlas			1	1
Axis			0	0
Autres v.cervicales			0	0
V.thoraciques			3	3
V.lombaires			0	0
Sacrum			0	0
V.coccygiennes			0	0
Vertèbres indét.			0	0
Total vertèbres			4	4
Côtes			0	0
Scapula	1	2		3
Humérus entier			0	0
Humérus proximal			0	0
Humérus diaphyse	4	3	1	8
Humérus distal	3	2		5
Total Humerus	7	5	1	13
Radius entier			0	0
Radius proximal	7	7		14
Radius diaphyse	1	1		2
Radius distal	2	1		3
Total Radius	10	9	0	19
Ulna	4	3	2	9
Métacarpe entier	1			1
Métacarpe proximal	3	6	1	10
Métacarpe diaphyse	1	1	5	7
Métacarpe distal			2	2
Total Métacarpe	5	7	8	20
Pisiforme	3			3
Pyramidal	1	1		2
Semi-lunaire		1		1
Scaphoïde	2	1		3
Unciforme	2	3		5
Capitato-trapézoïde	5			5
Total carpe	13	6	0	19
Coxal	2	4	3	9
Fémur entier			0	0
Fémur proximal		1	2	3
Fémur diaphyse	6	2		8
Fémur distal	1			1
Total Fémur	7	3	2	12
Patella			1	1
Tibia entier			0	0
Tibia proximal		1		1
Tibia diaphyse	2	4		6
Tibia distal	1	8		9
Total Tibia	3	13	0	16
Métatarse Entier		1		1
Métatarse proximal	9	1	1	11
Métatarse diaphyse	4	2	10	16
Métatarse distal		2	1	3
Total Métatarse	13	6	12	31
Métapodes indét.			7	7
Calcaneum	2	1	1	4
Talus	5	2		7
Naviculo-cuboïde	2	3		5
Grand cunéiforme	1			1
Petit cunéiforme			0	0
Total tarse	9	7	1	17
Grand sésamoïde		1		1
Petit sésamoïde	2	2		4
Os malléolaire			0	0
Phalange I	13	6	1	20
Phalange II	9	9	1	19
Phalange III	11	3		14
Indét			0	0
Total	128	117	50	309





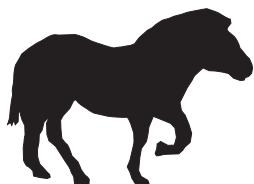
		Squelette	NME Attendu	NME*	MAU	% Survie
Céphalique	Bois	2	20	10	5	50
	Crâne	1	10	2	2	20
	Mandibule	2	20	2	1	10
	Incisive	6	60	0	0	0
	Canine	2	20	0	0	0
	Dent Jugale >	12	120	31	2,6	26
	Dent Jugale <	12	120	14	1,2	12
Ceinture	Scapula	2	20	20	10	100
	Coxal	2	20	4	2	20
Axial	Vertèbre	27	270	6	0,2	2
	Côte	26	260		0	0
Os Long	Humérus	2	20	12	6	60
	Radius	2	20	14	7	70
	Ulna	2	20	10	5	50
	Métacarpe	2	20	13	6,5	65
	Fémur	2	20	7	3,5	35
	Tibia	2	20	17	8,5	85
	Métatarse	2	20	17	8,5	85
Os Court	Carpe	12	120	54	4,5	45
	Talus	2	20	19	9,5	95
	Calcaneum	2	20	12	6	60
	Autre Tarse	6	60	17	2,8	28
	Patella	2	20	3	1,5	15
	Sésamoïde	20	200	10	0,5	5
	Os malléolaire	2	20	8	4	40
Autopode	Phalange 1	8	80	40	5	50
	Phalange 2	8	80	16	2	20
	Phalange 3	8	80	8	1	10

Annexe 135 : (Oetrage) NME, MAU et pourcentage de survie des restes de Renne (* NME que sur individu adulte)



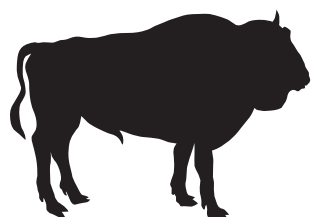
		Squelette	NME Attendu	NME*	MAU	% Survie
Céphalique	Bois	2	14	1	1	7
	Crâne	1	7	2	2	29
	Mandibule	2	14	4	2	29
	Incisive	6	42	1	0,2	2
	Canine	2	14		0	0
	Dent Jugale >	12	84	2	0,2	2
	Dent Jugale <	12	84	10	0,8	12
Ceinture	Scapula	2	14	11	5,5	79
	Coxal	2	14	4	2	29
Axial	Vertèbre	27	189	5	0,2	3
	Côte	26	182		0	0
Os Long	Humérus	2	14	7	3,5	50
	Radius	2	14	6	3	43
	Ulna	2	14	2	1	14
	Métacarpe	2	14	6	3	43
	Fémur	2	14	6	3	43
	Tibia	2	14	10	5	71
	Métatarse	2	14	7	4	50
Os Court	Carpe	12	84	9	0,8	11
	Talus	2	14	5	2,5	36
	Calcaneum	2	14	14	7	100
	Autre Tarse	6	42	6	1	14
	Patella	2	14	1	0,5	7
	Sésamoïde	20	140		0	0
	Os malléolaire	2	14	1	0,5	7
Autopode	Phalange 1	8	56	9	1,1	16
	Phalange 2	8	56	2	0,3	4
	Phalange 3	8	56	3	0,4	5

Annexe 136 (Oetrage) NME, MAU et pourcentage de survie des restes de Cerf (* NME que sur individu adulte)



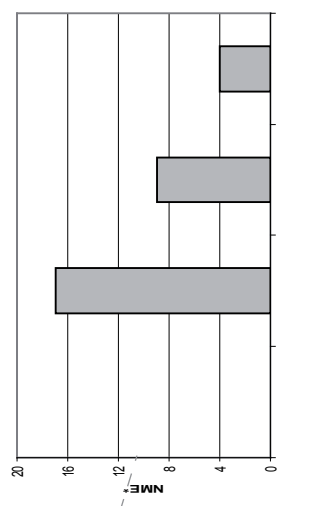
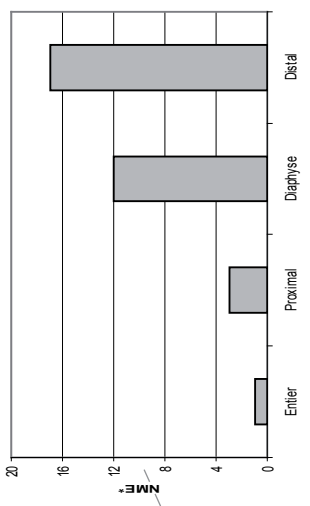
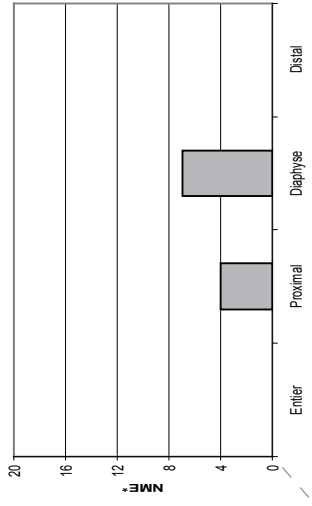
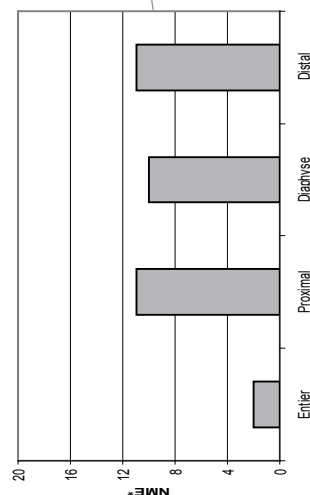
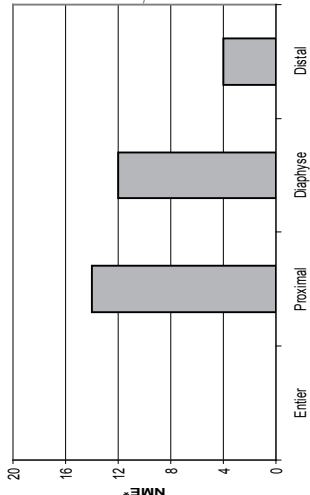
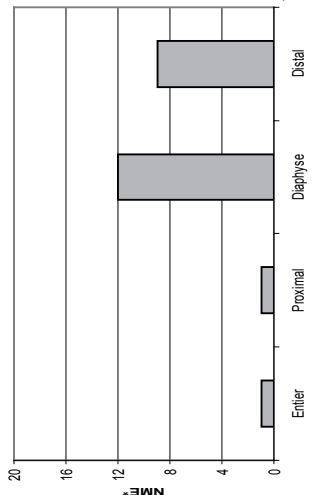
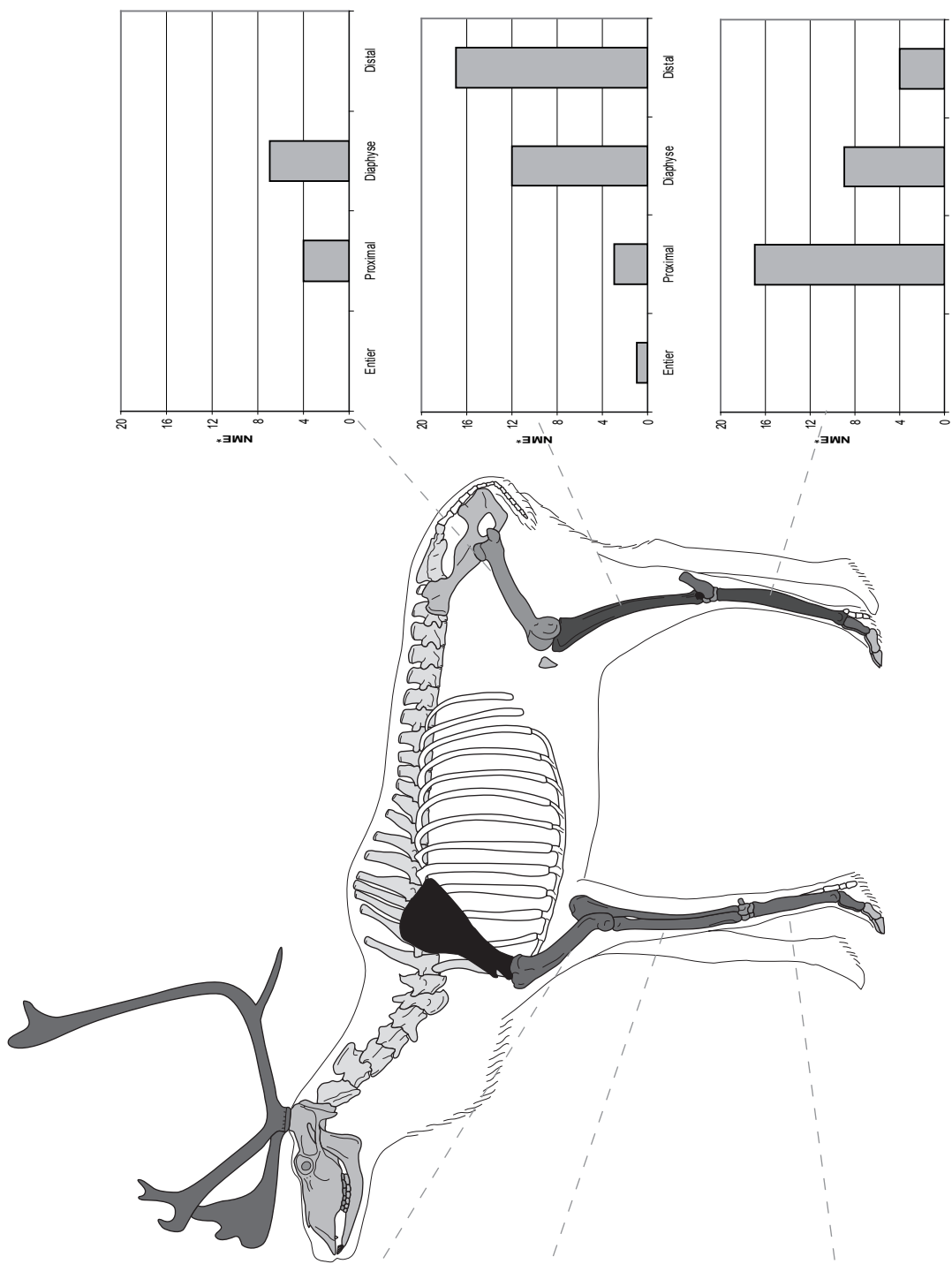
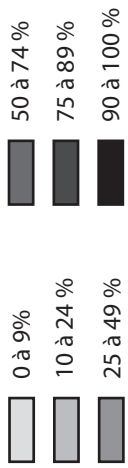
		Squelette	NME Attendu	NME*	MAU	% Survie
Céphalique	Crâne	1	11	1	1	9
	Mandibule	2	22	1	0,5	5
	Incisive	12	132	8	0,7	6
	Canine	4	44	0	0	0
	Dent Jugale >	12	132	59	4,9	45
	Dent Jugale <	12	132	15	1,3	11
Ceinture	Scapula	2	22	2	1	9
	Coxal	2	22	4	2	18
Axial	Vertèbre	31	341		0	0
	Côte	34	374		0	0
Os Long	Humérus	2	22	3	1,5	14
	Radius	2	22	5	2,5	23
	Ulna	2	22	4	2	18
	Métacarpe	2	22	13	6,5	59
	Mcc Vest	4	44	9	2,3	20
	Fémur	2	22	6	3	27
	Tibia	2	22	9	4,5	41
	Métatarse	2	22	13	6,5	59
	Mtt Vest	4	44	21	5,3	48
Os Court	Carpe	14	154	27	1,9	18
	Talus	2	22	13	6,5	59
	Calcaneum	2	22	6	3	27
	Autre Tarse	8	88	20	2,5	23
	Patella	2	22		0	0
	Sésamoïde	12	132	46	3,8	35
Autopode	Phalange 1	4	44	42	10,5	95
	Phalange 2	4	44	26	6,5	59
	Phalange 3	4	44	17	4,3	39

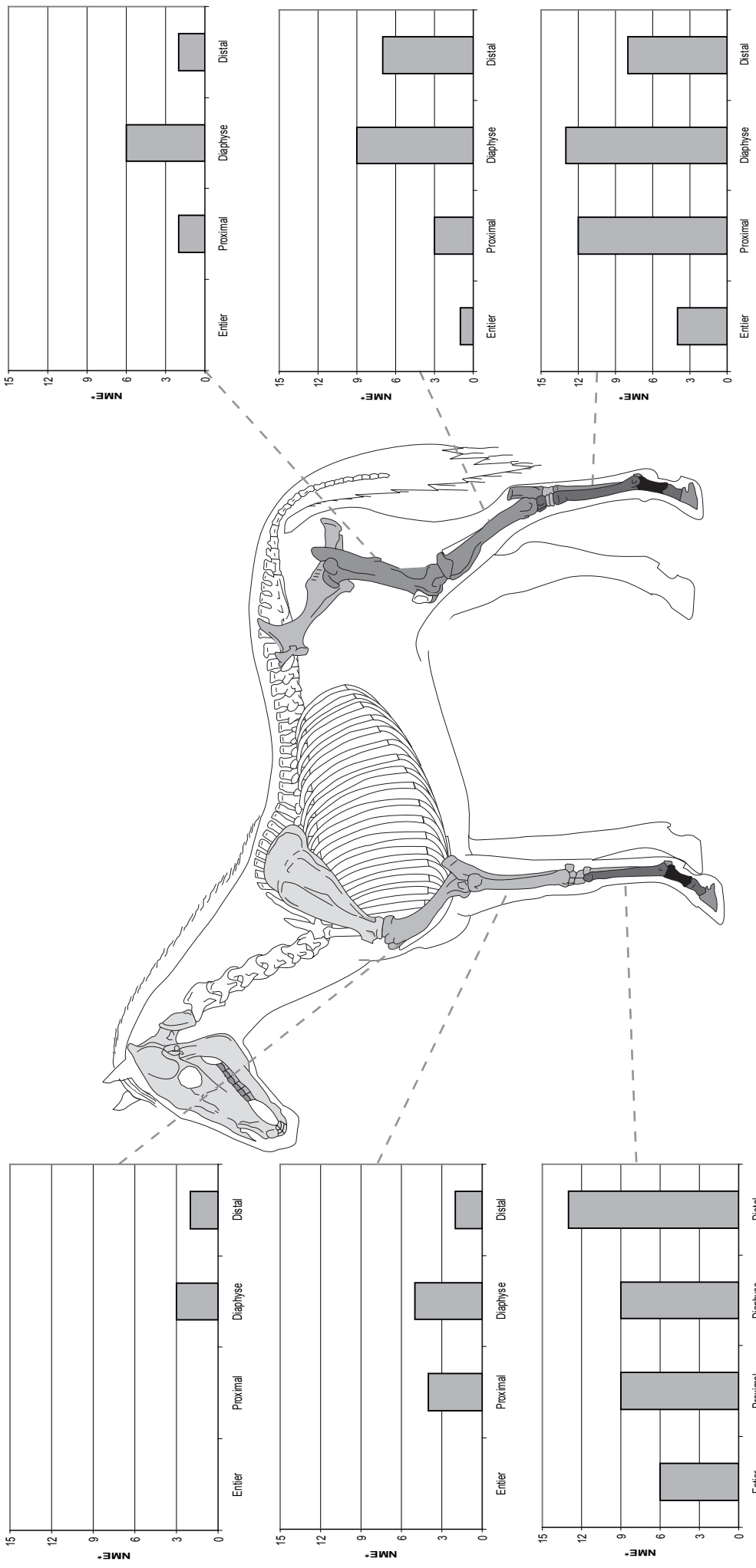
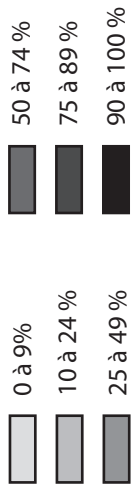
Annexe 137 (Oeuvre) NME, MAU et pourcentage de survie des restes de Cheval (* NME que sur individu adulte)



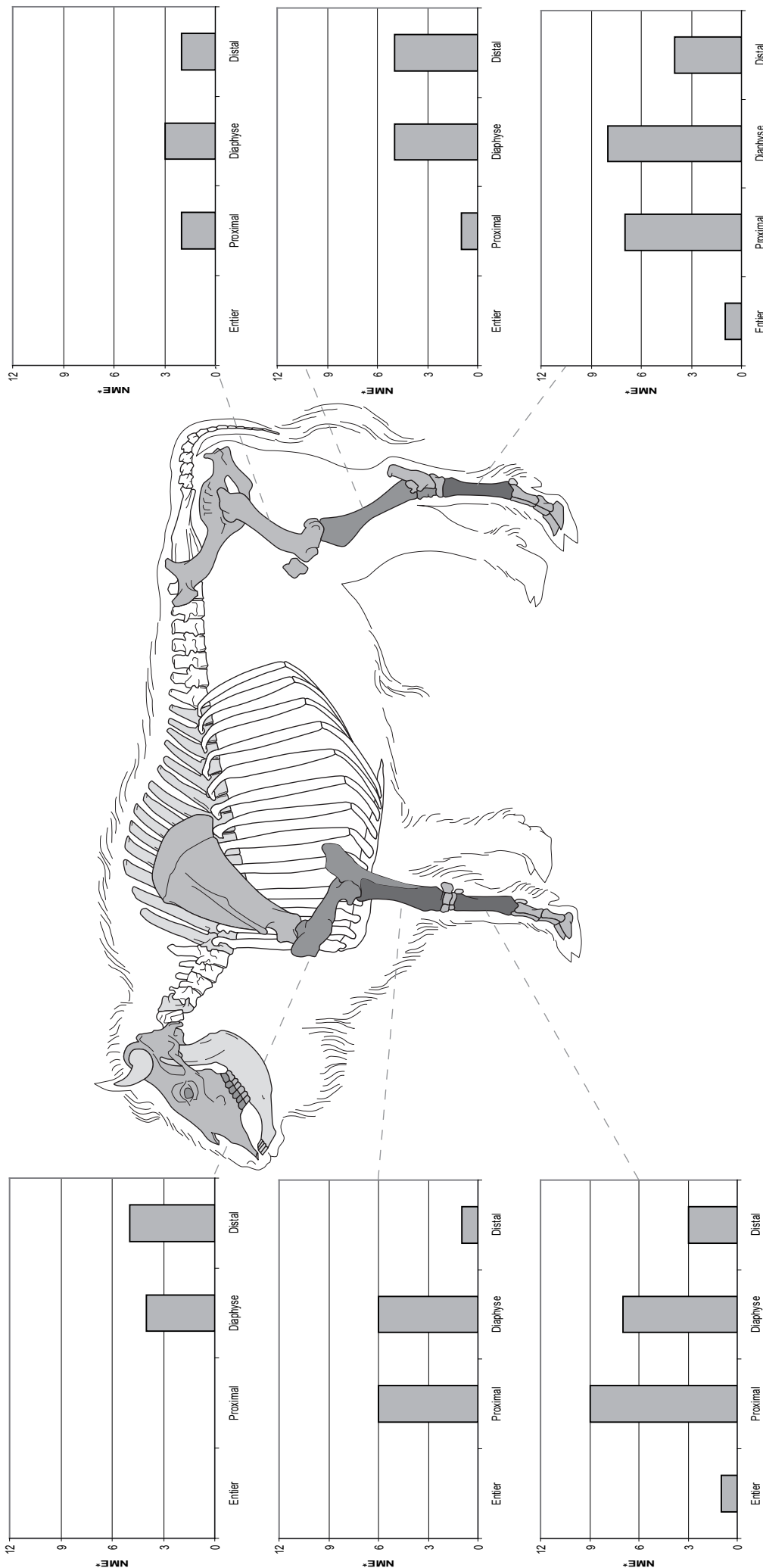
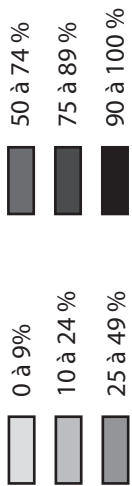
		Squelette	NME Attendu	NME*	MAU	% Survie
Céphalique	Chev. Oss.	2	16	1	0,5	6,3
	Crâne	1	8	1	1	12,5
	Mandibule	2	16	1	0,5	6,3
	Incisive	6	48	3	0,5	6,3
	Canine	2	16		0	0
	Dent Jugale >	12	96	38	3,2	39,6
	Dent Jugale <	12	96	21	1,8	21,9
Ceinture	Scapula	2	16	3	1,5	18,8
	Coxal	2	16	3	1,5	18,8
Axial	Vertèbre	27	216	4	0,1	1,9
	Côte	26	208		0	0
Os Long	Humérus	2	16	5	2,5	31,3
	Radius	2	16	10	5	63
	Ulna	2	16	4	2	25
	Métacarpe	2	16	9	4,5	56,3
	Fémur	2	16	3	1,5	18,8
	Tibia	2	16	5	2,5	31,3
	Métatarse	2	16	8	4	50
Os Court	Carpe	12	96	13	1,1	13,5
	Talus	2	16	7	3,5	43,8
	Calcaneum	2	16	2	1	12,5
	Autre Tarse	6	48	6	1	12,5
	Patella	2	16	1	0,5	6,3
	Sésamoïde	20	160	5	0,3	3,1
	Os malléolaire	2	16		0	0
Autopode	Phalange 1	8	64	11	1,4	17,2
	Phalange 2	8	64	14	1,8	21,9
	Phalange 3	8	64	8	1	12,5

Annexe 138 (Oeuvre) NME, MAU et pourcentage de survie des restes de Boviné (* NME que sur individu adulte)

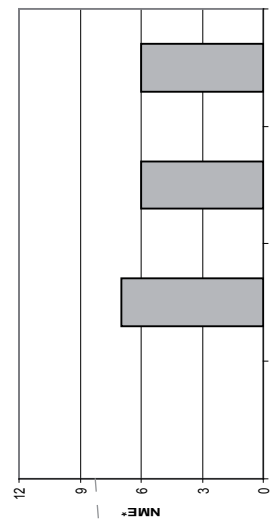
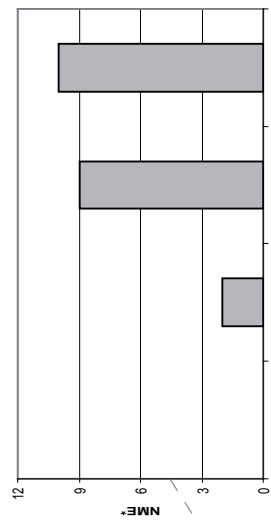
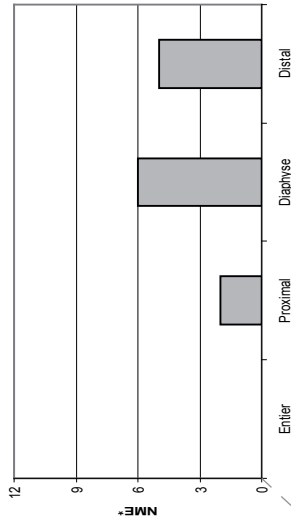
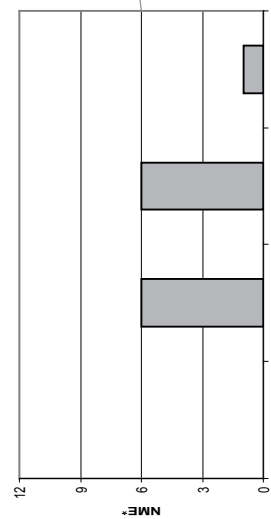
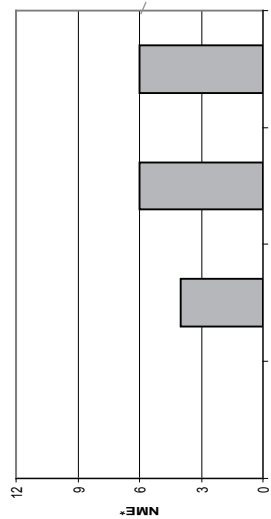
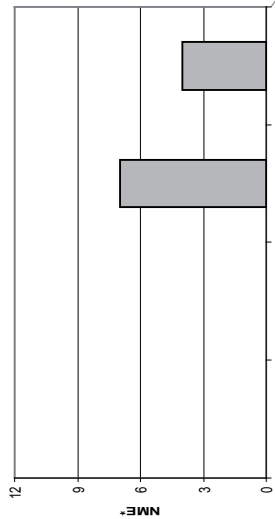
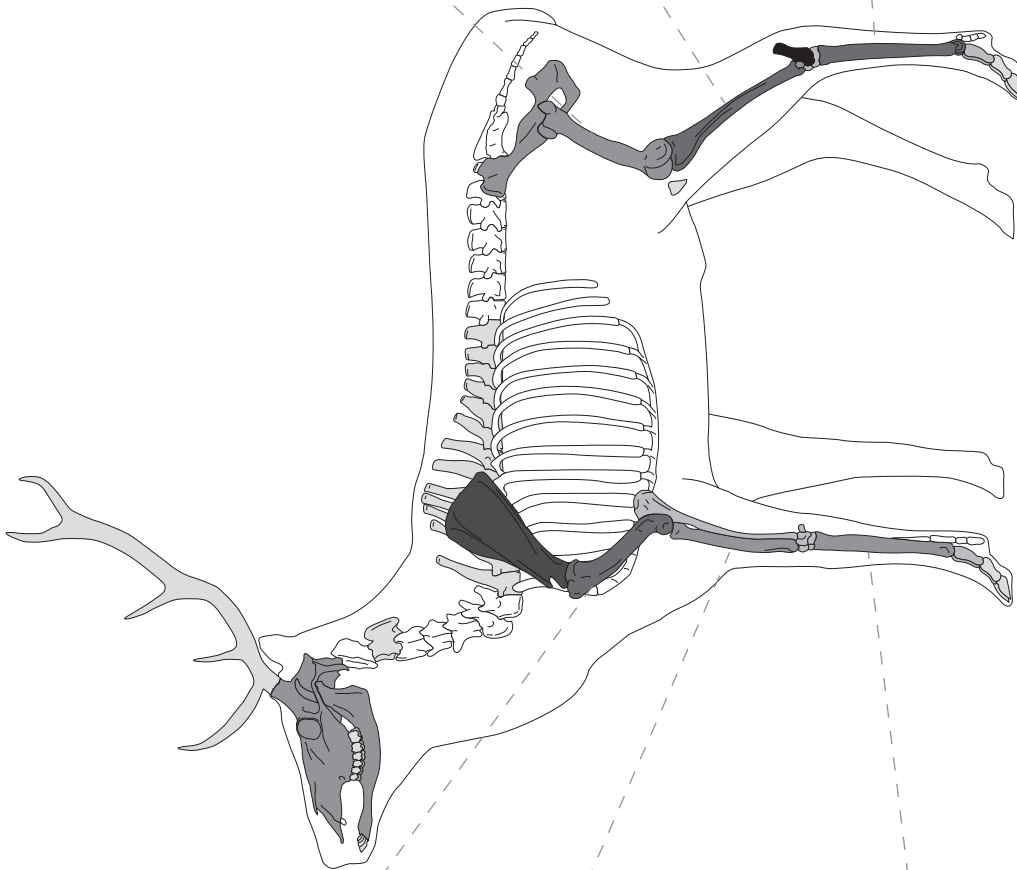
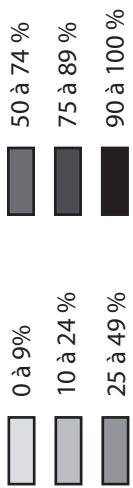




Annexe 140 (Oeorange) : Représentation squelettique du Cheval

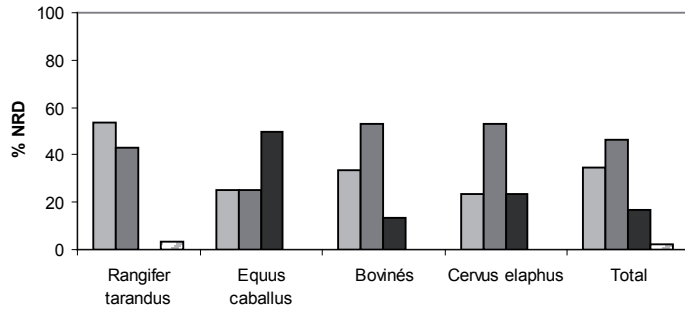


Annexe 141 (Oetrage) : Représentation squelettique du Bison

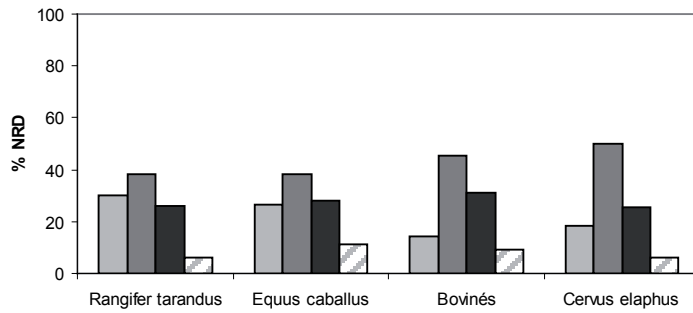


Annexe 142 (Oetrage) : Représentation squelettique du Cerf

Intensité d'altération de la dissolution

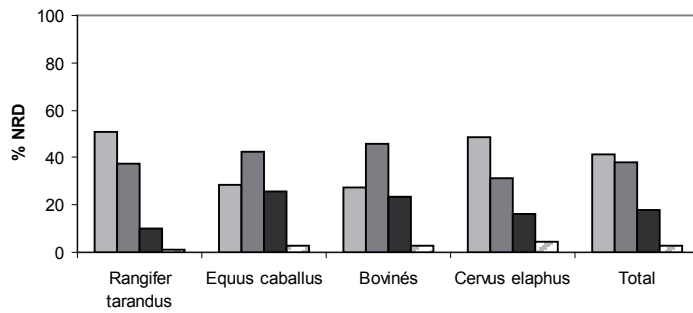


Intensité d'altération de la coloration noire

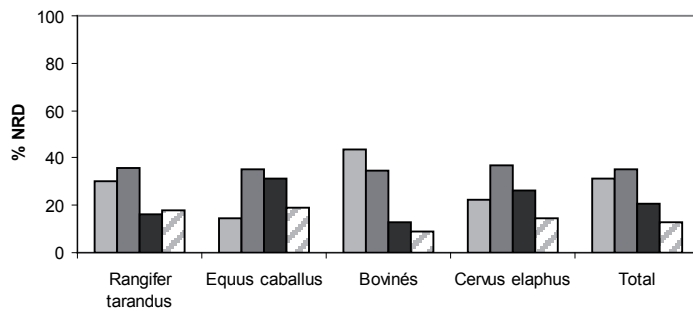


- Légende :
- Stade 1
 - Stade 2
 - Stade 3
 - Stade 4

Intensité d'altération des fissures



Intensité d'altération de la vermiculation





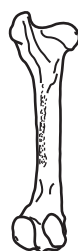
Longueur fragment Humérus Cerf	
Moyenne	8,6
Écart-type	3,3
Variance de l'échantillon	10,9
Minimum	3
Maximum	16
Nombre d'échantillons	37

Largeur fragment Humérus Cerf	
Moyenne	4,8
Écart-type	1,3
Variance de l'échantillon	1,8
Minimum	2
Maximum	7
Nombre d'échantillons	37



Longueur fragment Radius Cerf	
Moyenne	8,2
Écart-type	3,4
Variance de l'échantillon	11,4
Minimum	3
Maximum	16
Nombre d'échantillons	55

Largeur fragment Radius Cerf	
Moyenne	4,6
Écart-type	1,6
Variance de l'échantillon	2,6
Minimum	1
Maximum	8
Nombre d'échantillons	55



Longueur fragment Fémur Cerf	
Moyenne	8,4
Écart-type	3,5
Variance de l'échantillon	12,3
Minimum	4
Maximum	19
Nombre d'échantillons	24

Largeur fragment Fémur Cerf	
Moyenne	4,6
Écart-type	1,4
Variance de l'échantillon	1,9
Minimum	2
Maximum	7
Nombre d'échantillons	24



Longueur fragment Tibia Cerf	
Moyenne	8,1
Écart-type	3,6
Variance de l'échantillon	13,3
Minimum	2
Maximum	19
Nombre d'échantillons	94

Largeur fragment Tibia Cerf	
Moyenne	4,4
Écart-type	1,6
Variance de l'échantillon	2,6
Minimum	1
Maximum	8
Nombre d'échantillons	94

Longueur fragment Cerf	
Moyenne	7,8
Écart-type	3,5
Variance de l'échantillon	12,1
Minimum	2
Maximum	19
Nombre d'échantillons	126

Largeur fragment Cerf	
Moyenne	4,3
Écart-type	1,6
Variance de l'échantillon	2,4
Minimum	1
Maximum	8
Nombre d'échantillons	126



Longueur fragment Humérus Cheval	
Moyenne	9,5
Écart-type	2,1
Variance de l'échantillon	4,5
Minimum	6
Maximum	12
Nombre d'échantillons	11

Largeur fragment Humérus Cheval	
Moyenne	5,6
Écart-type	1,6
Variance de l'échantillon	2,5
Minimum	4
Maximum	9
Nombre d'échantillons	11



Longueur fragment Radius Cheval	
Moyenne	8,9
Écart-type	2,8
Variance de l'échantillon	8
Minimum	3
Maximum	13
Nombre d'échantillons	14

Largeur fragment Radius Cheval	
Moyenne	5,4
Écart-type	2,3
Variance de l'échantillon	5,5
Minimum	2
Maximum	9
Nombre d'échantillons	14



Longueur fragment Fémur Cheval	
Moyenne	10,2
Écart-type	6,2
Variance de l'échantillon	38,9
Minimum	4
Maximum	26
Nombre d'échantillons	19

Largeur fragment Fémur Cheval	
Moyenne	4,9
Écart-type	1,8
Variance de l'échantillon	3,1
Minimum	2
Maximum	8
Nombre d'échantillons	19



Longueur fragment Tibia Cheval	
Moyenne	10,2
Écart-type	4,5
Variance de l'échantillon	20,5
Minimum	4
Maximum	28
Nombre d'échantillons	35

Largeur fragment Tibia Cheval	
Moyenne	4,4
Écart-type	1,8
Variance de l'échantillon	3,1
Minimum	2
Maximum	8
Nombre d'échantillons	35

Longueur fragment Cheval	
Moyenne	8,7
Écart-type	4,1
Variance de l'échantillon	16,7
Minimum	3
Maximum	28
Nombre d'échantillons	181

Largeur fragment Cheval	
Moyenne	4,3
Écart-type	1,7
Variance de l'échantillon	2,9
Minimum	1
Maximum	9
Nombre d'échantillons	181

Liste des annexes

- Annexe 1** : Synthèse chrono-climatique depuis le stade isotopique 5e jusqu'à la fin du stade 3.
- Annexe 2** : Variation des paramètres au cours du Quaternaire à l'échelle globale (1 et 2) et à l'échelle régionale (3).
- Annexe 3** : Paramètres utilisés pour chaque espèce.
- Annexe 4** : Ethologie des espèces
- Annexe 5** : Ethologie des espèces
- Annexe 6** (La Baume de Gigny) : Contexte géologique
- Annexe 7** (La Baume de Gigny) : Coupe transversale passant par le porche
- Annexe 8** (La Baume de Gigny) : Coupe stratigraphique
- Annexe 9** (La Baume de Gigny ; couche VIII) : industrie lithique
- Annexe 10** (La Baume de Gigny ; couche VIII) : industrie lithique
- Annexe 11** (La Baume de Gigny ; couche XV) : industrie lithique
- Annexe 12** (La Baume de Gigny ; couche XV) : industrie lithique
- Annexe 13** (La Baume de Gigny ; couche XV) : industrie lithique
- Annexe 14** (La Baume de Gigny ; couche XVI) : industrie lithique
- Annexe 15** (La Baume de Gigny ; couche XVI) : industrie lithique
- Annexe 16** (La Baume de Gigny ; couche XIX) : industrie lithique
- Annexe 17** (La Baume de Gigny ; couche XIX) : industrie lithique
- Annexe 18** (La Baume de Gigny ; couche XX) : industrie lithique
- Annexe 19** (La Baume de Gigny ; couche XX) : industrie lithique
- Annexe 20** (La Baume de Gigny ; couche XXIa) : industrie lithique
- Annexe 21** (La Baume de Gigny) : Listing des dents utilisées lors des analyses géochimiques
- Annexe 22** (La Baume de Gigny) : Températures moyennes annuelle, été et hiver de différentes villes européennes
- Annexe 23** (La Baume de Gigny) : Evolution des paramètres paléoécologiques le long de l'ensemble moyen
- Annexe 24** (La Baume de Gigny ; couche XXIa) : Comparaison entre les spectres de faune sans prise en compte des fragments (monographie, 1989) et avec prise en compte des fragments (cette étude).
- Les données entre parenthèses indiquent le changement de rang de l'espèce.
- Annexe 25** (La Baume de Gigny ; couche XX) : Comparaison entre les spectres de faune sans prise en compte des fragments (monographie, 1989) et avec prise en compte des fragments (cette étude).
- Annexe 26** (La Baume de Gigny) : Facteurs abiotiques.
- Annexe 27** (La Baume de Gigny ; couche XXIa) : Nombre, Localisation et Orientation des stries de découpe sur les éléments squelettiques.
- Annexe 28** (La Baume de Gigny ; couche XX) : Nombre, Localisation et Orientation des stries de découpe sur les éléments squelettiques.
- Annexe 29** (La Baume de Gigny ; couche XX) : Nombre de Restes par éléments squelettiques en fonction des espèces.
- Annexe 30** (La Baume de Gigny ; couche XX) : NME, MAU et pourcentage de survie des restes de Cerf
- Annexe 31** (La Baume de Gigny ; couche XX) : NME, MAU et pourcentage de survie des restes de Chevaux
- Annexe 32** (La Baume de Gigny ; couche XX) : Représentation squelettique du Cerf.
- Annexe 33** (La Baume de Gigny ; couche XX) : Nombre, Localisation et Orientation des stries de découpe sur les éléments squelettiques
- Annexe 34** (La Baume de Gigny ; couche XX) : Pourcentage de restes de Cerf avec des stries anthropiques
- Annexe 35** (La Baume de Gigny ; couche XX) : Localisation des stries de découpe et des points d'impact sur l'humérus et le radio-ulnaire de Cerf.
- Annexe 36** (La Baume de Gigny ; couche XX) : Localisation des stries de découpe et des points d'impact sur le fémur et le tibia de Cerf
- Annexe 37** (La Baume de Gigny ; couche XX) : Localisation des stries de découpe et des points d'impact sur le métacarpe et le métatarse de Cerf.

- Annexe 38** (La Baume de Gigny; couche XX) : Localisation des stries de découpe et des points d'impact sur l'humérus de Cheval
- Annexe 39** (La Baume de Gigny ; couche XX) : Localisation des stries de découpe et des points d'impact sur le fémur et le tibia de Cheval.
- Annexe 40** (La Baume de Gigny ; couche XX) : Description détaillée des os à impressions
- Annexe 41** (La Baume de Gigny) : Comparaison entre les spectres de faune sans prise en compte des fragments (monographie, 1989) et avec prise en compte des fragments (cette étude).
- Annexe 42** (La Baume de Gigny) : Nombre de Restes par éléments squelettiques en fonction des espèces
- Annexe 43** (La Baume de Gigny ; couche XIX) : NME, MAU et pourcentage de survie des restes de Cerf
- Annexe 44** (La Baume de Gigny ; couche XIX) : NME, MAU et pourcentage de survie des restes de Chevaux
- Annexe 45** (La Baume de Gigny ; couche XIX) : Représentation squelettique du Cheval.
- Annexe 46** (La Baume de Gigny ; couche XIX) : Représentation squelettique du Cerf.
- Annexe 47** (La Baume de Gigny ; couche XIX) : Nombre, Localisation et Orientation des stries de découpe sur les éléments squelettiques
- Annexe 48** (La Baume de Gigny ; couche XIX) : Pourcentage de restes de Cerf avec des stries anthropiques
- Annexe 49** (La Baume de Gigny ; couche XIX) : Pourcentage de restes de Cheval avec des stries anthropiques
- Annexe 50** (La Baume de Gigny ; couche XIX) : Localisation des stries de découpe et des points d'impact sur l'humérus et le radio-ulnaire de Cerf.
- Annexe 51** (La Baume de Gigny ; couche XIX) : Localisation des stries de découpe et des points d'impact sur le fémur et le tibia de Cerf.
- Annexe 52** (La Baume de Gigny ; couche XIX) : Localisation des stries de découpe et des points d'impact sur le métacarpe et le métatarse de Cerf.
- Annexe 53** (La Baume de Gigny ; couche XIX) : Localisation des stries de découpe et des points d'impact sur la scapula et le coxal de Cerf.
- Annexe 54** (La Baume de Gigny ; couche XIX) : Nombre, Localisation et Orientation des stries de découpe sur les éléments squelettiques
- Annexe 55** (La Baume de Gigny; couche XIX) : Localisation des stries de découpe et des points d'impact sur l'humérus et le métacarpe de Cheval.
- Annexe 56** (La Baume de Gigny ; couche XIX) : Localisation des stries de découpe et des points d'impact sur l'humérus et le métacarpe de Cheval.
- Annexe 57** (La Baume de Gigny ; couche XIX) : Nombre, Localisation et Orientation des stries de découpe sur les éléments squelettiques
- Annexe 58** (La Baume de Gigny ; couche XIX) : Description détaillée des os à impressions
- Annexe 59** (La Baume de Gigny ; couche XVII-XVIII) : Description détaillée des os à impressions
- Annexe 60** (La Baume de Gigny ; couche XVI) : Description détaillée des os à impressions
- Annexe 61** (La Baume de Gigny ; couche XV) : Description détaillée des os à impressions
- Annexe 62** (La Baume de Gigny ; couche VIII) : Description détaillée des os à impressions
- Annexe 63** (La Baume de Gigny ; couche XVII-XVIII) : Nombre, Localisation et Orientation des stries de découpe sur les éléments squelettiques
- Annexe 64** (La Baume de Gigny ; couche VIII) : Nombre, Localisation et Orientation des stries de découpe sur les éléments squelettiques
- Annexe 65** (La Baume de Gigny) : Comparaison entre les spectres de faune sans prise en compte des fragments (monographie, 1989) et avec prise en compte des fragments (cette étude). Les données entre parenthèses indiquent le changement de rang de l'espèce.
- Annexe 66** (La Baume de Gigny ; couche XVI) : Nombre, Localisation et Orientation des stries de découpe sur les éléments squelettiques
- Annexe 67** (La Baume de Gigny ; couche XV) : Nombre, Localisation et Orientation des stries de découpe sur les éléments squelettiques
- Annexe 68** (La Baume de Gigny) : Comparaison entre les spectres de faune sans prise en compte des fragments (monographie, 1989) et avec prise en compte des fragments (cette étude). Les données entre parenthèses indiquent le changement de rang de l'espèce.
- Annexe 69** (La Baume de Gigny) : Comparaison entre les spectres de faune sans prise en compte des fragments (monographie, 1989) et avec prise en compte des fragments (cette étude). Les données entre parenthèses indiquent le changement de rang de l'espèce.

- Annexe 70** (La Baume de Gigny) : Evolution du nombre de taxon, de la richesse spécifique, de la diversité, du NRD en fonction du volume fouillé le long de l'ensemble moyen
- Annexe 71** (La Baume de Gigny) : Longueur et Largeur (en cm) des restes osseux.
- Annexe 72** (La Baume de Gigny) Distribution des longueurs et des largeurs des restes de Cerf
- Annexe 73** (La Baume de Gigny ; couche XX) : Taille des fragments des os longs du Cerf
- Annexe 74** (La Baume de Gigny ; couche XIX) : Taille des fragments des os longs du Cerf
- Annexe 75** (La Baume de Gigny) : Distribution des longueurs et des largeurs des restes de Cheval.
- Annexe 76** (La Baume de Gigny ; couche XX) : Taille des fragments des os longs du Cheval
- Annexe 77** (La Baume de Gigny ; couche XIX) : Taille des fragments des os longs du Cheval
- Annexe 78** (La Baume de Gigny) : Comparaison des densités osseuse et lithique avec l'impact carnivore et anthropique
- Annexe 79** (La Baume de Gigny ; couche XXIa) : Tableau récapitulatif des données fauniques
- Annexe 80** (La Baume de Gigny ; couche XX) : Tableau récapitulatif des données fauniques
- Annexe 81** (La Baume de Gigny ; couche XIX) : Tableau récapitulatif des données fauniques
- Annexe 82** (La Baume de Gigny ; couche XVII-XVIII) : Tableau récapitulatif des données fauniques
- Annexe 83** (La Baume de Gigny ; couche XVI) : Tableau récapitulatif des données fauniques
- Annexe 84** (La Baume de Gigny ; couche XV) : Tableau récapitulatif des données fauniques
- Annexe 85** (La Baume de Gigny ; couche VIII) : Tableau récapitulatif des données fauniques
- Annexe 86** (La Baume de Gigny) : Synthèse finale
- Annexe 87** (Vergisson II) : Industrie lithique provenant de la couche 2 (Combiér, 2001)
- Annexe 88** (Vergisson II) : Comparaison inter-sites des mesures moyennes des éléments squelettiques de Rennes
- Annexe 89** (Vergisson II) : Comparaison inter-sites des mesures moyennes des éléments squelettiques de Rennes
- Annexe 90** (Vergisson II) : Comparaison inter-sites des mesures moyennes des éléments squelettiques du Cheval
- Annexe 91** (Vergisson II) : Comparaison inter-sites des mesures moyennes des éléments squelettiques du Cheval
- Annexe 92** (Vergisson II) : Comparaison inter-sites des mesures moyennes des éléments squelettiques du Cheval
- Annexe 93** (Vergisson II) : Comparaison inter-sites des mesures moyennes des éléments squelettiques des Bovinés
- Annexe 94** : Comparaison inter-sites des mesures moyennes des éléments squelettiques des Bovinés
- Annexe 95** : Données biométriques des dents de Renne
- Annexe 96** : Données biométriques des dents de Renne
- Annexe 97** : Données biométriques des dents du Renne
- Annexe 98** : Données biométriques des os longs du Renne
- Annexe 99** : Données biométriques des os courts du Renne
- Annexe 100** : Données biométriques des métapodes du Renne
- Annexe 101** : Données biométriques des phalanges du Renne
- Annexe 102** : Données biométriques des dents de Cheval
- Annexe 103** : Données biométriques des dents de Cheval
- Annexe 104** : Données biométriques des os longs de Cheval
- Annexe 105** : Données biométriques des os longs de Cheval
- Annexe 106** : Données biométriques des dents supérieures de Bovinés
- Annexe 107** : Données biométriques des dents supérieures de Bovinés
- Annexe 108** : Données biométriques des os longs de Bovinés
- Annexe 109** : Données biométriques des os courts de Bovinés
- Annexe 110** (Vergisson II) : Détail des décomptes des restes osseux des espèces majoritaires d'herbivores
- Annexe 111** : (Vergisson II) NME, MAU et pourcentage de survie des restes de Renne
- Annexe 112** (Vergisson II) : NME, MAU et pourcentage de survie des restes de Cheval
- Annexe 113** : (Vergisson II) : Représentation squelettique du Renne
- Annexe 114** (Vergisson II) : Représentation squelettique du Cheval
- Annexe 115** (Vergisson II) : NME, MAU et pourcentage de survie des restes de Bison
- Annexe 117** (Vergisson II) : Représentation squelettique du Bison
- Annexe 118** (Vergisson II) : Intensité des altérations taphonomiques
- Annexe 119** (Vergisson II) : Nombre, Localisation et Orientation des stries de découpe sur les éléments squelettiques

- Annexe 120** (Vergisson II) : Localisation des stries de découpe et des points d'impact sur l'humérus et le radio-ulnaire de Renne.
- Annexe 122** (Vergisson II) : Localisation des stries de découpe et des points d'impact sur la scapula et le coxal de Renne.
- Annexe 123** (Vergisson II) : Localisation des stries de découpe et des points d'impact sur les phalanges I et II et sur le talus de Renne.
- Annexe 124** (Vergisson II) : Pourcentage de restes de Renne avec des stries anthropiques
- Annexe 125** (Vergisson II) : Pourcentage de restes de Cheval avec des stries anthropiques
- Annexe 126** (Vergisson II) : Pourcentage de restes de Bison avec des stries anthropiques
- Annexe 127** (Vergisson II) : Localisation des stries de découpe et des points d'impact sur l'humérus et le métapode de Cheval.
- Annexe 128** (Vergisson II) : Localisation des stries de découpe et des points d'impact sur le fémur de Cheval.
- Annexe 129** (Vergisson II) : Localisation des stries de découpe et des points d'impact sur le tibia de Bison.
- Annexe 130** (Vergisson II) : Synthèse sur les différentes espèces
- Annexe 131** : Nouvelle attribution chronologique proposée pour l'ensemble moyen de la séquence de la Baume de Gigny
- Annexe 132** (Oetrange) : Industrie lithique
- Annexe 133** (Oetrange) : Nombre de Restes par éléments squelettiques en fonction des espèces
- Annexe 134** (Oetrange) : Nombre de Restes par éléments squelettiques en fonction des espèces
- Annexe 135** (Oetrange) NME, MAU et pourcentage de survie des restes de Renne
- Annexe 136** (Oetrange) NME, MAU et pourcentage de survie des restes de Cerf
- Annexe 137** (Oetrange) NME, MAU et pourcentage de survie des restes de Cheval
- Annexe 138** (Oetrange) NME, MAU et pourcentage de survie des restes de Boviné
- Annexe 139** (Oetrange) : Représentation squelettique du Renne
- Annexe 140** (Oetrange) : Représentation squelettique du Cheval
- Annexe 141** (Oetrange) : Représentation squelettique du Bison
- Annexe 142** (Oetrange) : Représentation squelettique du Cerf
- Annexe 143** (Oetrange) : Intensité abiotique
- Annexe 144** (Oetrange) : Taille des fragments des os longs du Cerf
- Annexe 145** (Oetrange) : Taille des fragments des os longs du Cheval